量子芯片技术解决方案

量子计算芯片系统技术解决方案 完整研究报告

—— 比特、纠错与集成工艺三位一体的量子计算之路 ——

版本 2.0（完善增订版）

作者：西楚霸王

2026 年 7 月

摘 要

量子芯片是承载量子比特并实现其操控、读出与纠错的物理载体，是量子计算从理论走向工程实践的核心枢纽。本报告在初版基础上全面完善增订，系统阐述了量子计算芯片系统的完整技术解决方案：以量子比特、测控系统、纠错体系三大支柱为技术基座，从叠加、纠缠、测量与退相干的量子力学第一性原理出发，建立起从物理比特到逻辑比特的完整理论链条；在技术路线层面，报告横向剖析了超导、离子阱、光量子、中性原子、半导体量子点与拓扑量子六大主流路线的物理机理、工艺瓶颈与规模化前景，并归纳了低温测控、三维集成、材料损耗抑制等共性关键技术；在演化路径层面，报告描绘了从含噪声中等规模量子（NISQ）时代，经量子优势验证与逻辑量子比特工程化，最终抵达容错通用量子计算（FTQC）的阶段跃迁蓝图，并给出各阶段的资源估算与时间线预测；在产业层面，报告深入分析了量子计算对密码安全、药物研发、材料能源、金融优化与人工智能等领域的深远影响，以及后量子密码迁移的紧迫性；报告最后系统梳理了技术、工程、人才、安全与治理五个维度的实施挑战，并给出了风险—对策矩阵与综合治理思路。希望本报告能够为量子芯片的研究者、工程实践者与政策制定者提供一份兼具理论深度与工程视野的参考。

关键词：量子芯片；量子比特；量子纠错；表面码；超导量子计算；容错量子计算；量子测控；后量子密码

目 录

第一章 引言与研究背景 12

1.1 量子计算发展历程回顾 12

1.1.1 经典计算的物理极限与费曼构想 12

1.1.2 量子算法的理论突破:Shor与Grover 14

1.1.3 物理实现的起步:从NMR到超导量子比特 15

1.1.4 工程化时代:量子优越性实验 16

1.1.5 纠错转向:从物理比特到逻辑比特 17

1.1.6 从NISQ走向容错通用量子计算 17

1.1.7 全球发展格局与研究热点演进 18

1.2 量子芯片的定义与特征 19

1.2.1 量子芯片的核心定义 19

1.2.2 DiVincenzo判据:量子计算物理载体的五项标准 22

1.2.3 相干性:量子芯片的首要判据 22

1.2.4 保真度与门操控精度 23

1.2.5 可扩展性与集成度 23

1.2.6 量子芯片与经典芯片的异同 24

1.2.7 量子芯片的评估标准:量子体积、CLOPS与逻辑错误率 25

1.2.8 本研究对量子芯片的界定视角 25

1.3 研究意义与价值 26

1.3.1 科学意义 26

1.3.2 技术意义 26

1.3.3 经济意义 27

1.3.4 安全意义 28

1.3.5 产业与文明意义 28

1.4 研究方法论与框架 29

1.4.1 研究哲学基础 29

1.4.2 多层次研究框架:物理层-器件层-系统层-应用层 30

1.4.3 多维度分析框架 30

1.4.4 系统动力学视角 30

1.4.5 具体研究方法 31

1.4.6 研究路线与创新点 32

1.4.7 研究局限性 32

1.5 报告结构说明 32

1.5.1 第一章的功能定位 33

1.5.2 第二章 量子芯片技术架构基础理论 33

1.5.3 第三章 量子力学理论基础:量子世界观的工程诠释 33

1.5.4 第四章 量子芯片核心技术体系:六大技术路线与关键技术详解 33

1.5.5 第五章 演化路径:从NISQ到容错通用量子计算机 33

1.5.6 第六章 量子芯片的产业影响:机遇与挑战 34

1.5.7 第七章 实施挑战与应对策略 34
1.5.8 第八章 量子芯片制造工艺 34
1.5.9 第九章 总结与展望 34
1.5.9 章节间逻辑关系 34
1.5.10 阅读建议 34

第二章 量子芯片技术架构基础理论 36

2.1 三大核心支柱概述 36
2.1.1 三大支柱的基本定义与作用边界 37
2.1.2 三者相互依赖关系 38
2.1.3 三大支柱的协同演进历程 39
2.1.4 面向容错量子计算的三大支柱升级方向 39
2.1.5 本方案中的三大支柱体现 40
2.1.6 第四支柱:经典-量子混合软件栈 40
2.1.7 三大支柱平衡发展原则 41
2.1.8 小结 41
2.2 量子比特体系:物理实现的基础理论 42
2.2.1 量子比特的本质 42
2.2.2 人工原子与谐振腔量子电动力学 cQED 45
2.2.3 量子门的物理实现 46
2.2.4 读出机制 47
2.3 测控基础:从室温电子学到低温接口 47
2.3.1 微波测控链路架构 47
2.3.2 布线瓶颈与信号完整性 49
2.3.3 低温 CMOS 与室温 FPGA 控制器 50
2.3.4 校准自动化:参数漂移与闭环校准 50
2.3.5 噪声温度预算:级联放大与热光子管理 51
2.3.6 时钟分发与相位噪声的误差折算 52
2.4 制造工艺基础:超导量子芯片的微纳加工 53
2.4.1 材料体系:铝、铌、钽与界面损耗 53
2.4.2 结制备:双角度蒸发与结电阻均匀性 53
2.4.3 三维集成:倒装焊、硅通孔 TSV 与空气桥 54
2.4.4 良率与参数靶向 54
2.5 经典-量子混合计算集成架构 55
2.5.1 混合架构的必要性 55
2.5.2 量子指令集与编译栈 55
2.5.3 实时反馈与纠错解码的时延约束 55
2.5.4 云接入与调度 56
2.6 本章总结 57

第三章 量子力学理论基础:量子世界观的工程诠释 58

3.1 叠加原理与量子比特设计 58

3.1.1 叠加的基本原理 58
3.1.2 从叠加到计算资源:n比特 2^n 维态空间 59
3.1.3 叠加的工程代价:初始化、操控与维持 60
3.1.4 叠加在芯片设计中的映射 61
3.2 纠缠:量子计算力量的真正来源 61
3.2.1 纠缠的定义与 Bell 态 62
3.2.2 纠缠与量子加速的关系 62
3.2.3 片上纠缠的产生:双比特门与耦合器 63
3.2.4 纠缠的度量与验证:保真度、纠缠熵与随机基准测试 64
3.2.5 大规模纠缠的工程挑战:串扰与频率拥挤 64
3.3 测量与退相干:量子信息的敌人与出口 65
3.3.1 测量问题的工程视角 65
3.3.2 退相干的物理机制:能量弛豫 T1 与相位退相干 T2 66
3.3.3 噪声谱与环境耦合:TLS 缺陷、准粒子、磁通噪声、宇宙射线 66
3.3.4 退相干的抑制策略:材料、屏蔽、动力学解耦 67
3.3.5 测量作为计算资源:中路测量与实时反馈 68
3.4 量子纠错理论:从物理比特到逻辑比特 68
3.4.1 量子纠错为何可能:数字化错误与离散化定理 68
3.4.2 稳定子形式主义 69
3.4.3 表面码:阈值定理与约 1% 容错阈值 70
3.4.4 逻辑错误率随码距的指数压低 71
3.4.5 资源开销估算:千比特到百万比特 72
3.4.6 魔态蒸馏:非 Clifford 门的资源工厂 72
3.4.7 新兴纠错码:qLDPC、色码与玻色编码 73
3.4.8 解码器:MWPM、Union-Find 与神经网络解码 74
3.5 量子理论与芯片工程的统一意义 74
3.6 本章小结 75

第四章 量子芯片核心技术体系:六大技术路线与关键技术详解 76
4.1 超导量子芯片 77
4.1.1 物理原理:Josephson结与transmon 77
4.1.2 优势:门速度快、微纳工艺兼容、生态成熟 78
4.1.3 瓶颈:毫开尔文制冷、布线、相干时间 79
4.1.4 代表性进展与指标现状 80
4.1.5 规模化路径:模块化互连与低温接口 80
4.2 离子阱量子芯片 81
4.2.1 物理原理:Paul阱、激光操控、声子总线 81
4.2.2 优势:最高门保真度、全连通、超长相干 82
4.2.3 瓶颈:门速度慢、激光系统复杂、规模化受限 82
4.2.4 表面电极阱与QCCD架构 83
4.2.5 光互连组网 84
4.3 光量子芯片 84

4.3.1 物理原理:光子编码、线性光学、测量诱导非线性 84
4.3.2 优势:室温运行、天然抗退相干、与通信融合 85
4.3.3 瓶颈:确定性双光子门缺失、光子损耗 86
4.3.4 集成光子学平台:硅光、铌酸锂薄膜 86
4.3.5 基于测量的量子计算MBQC与融合网络 87
4.4 中性原子量子芯片 87
4.4.1 物理原理:光镊阵列、Rydberg阻塞 87
4.4.2 优势:比特数扩展快、可重构几何、原子全同 88
4.4.3 瓶颈:原子装载与丢失、门保真度追赶中 89
4.4.4 动态重排与纠错实验进展 89
4.5 半导体量子点芯片 90
4.5.1 物理原理:栅控量子点、自旋比特 90
4.5.2 优势:最小比特尺寸、CMOS产线兼容、1K以上工作温度潜力 91
4.5.3 瓶颈:比特间差异性、扩展互连 91
4.5.4 硅28同位素纯化与保真度进展 92
4.6 拓扑量子芯片 92
4.6.1 物理原理:任意子、Majorana零模、拓扑保护 92
4.6.2 潜在优势:硬件级容错 93
4.6.3 现状:基础物理验证阶段、争议与撤稿教训 94
4.6.4 长期价值评估 94
4.7 共性关键技术 94
4.7.1 极低温制冷与稀释制冷机 94
4.7.2 低温电子学与量子-经典接口 95
4.7.3 量子芯片EDA与自动化设计 96
4.7.4 封装、屏蔽与互连 96
4.7.5 三维集成:倒装焊、TSV与多层布线 96
4.7.6 材料损耗与界面TLS 98
4.7.7 基准测试体系:RB、XEB、量子体积 99
4.7.8 量子软件栈与编译优化 99
4.7.9 面向容错的资源估算:从物理误差到码距开销 100
4.8 第四章小结 100

第五章 演化路径:从NISQ到容错通用量子计算机 102

5.1 NISQ:含噪声中等规模量子时代 103
5.1.1 NISQ的定义与能力边界 103
5.1.2 变分算法VQE/QAOA及其局限 104
5.1.3 NISQ的真实价值:工程练兵与生态培育 105
5.1.4 NISQ阶段的芯片设计取向 105
5.2 量子优势验证:从采样问题到实用问题 106
5.2.1 随机线路采样与玻色采样的意义与争议 106
5.2.2 实用量子优势的判据 107
5.2.3 量子模拟:最可能率先落地的方向 108

5.2.4 该阶段的芯片指标要求 108
5.2.5 量子经典混合算法的过渡角色 109
5.3 逻辑量子比特时代:纠错的工程化 110
5.3.1 从物理比特到逻辑比特的跨越意义 110
5.3.2 盈亏平衡点:纠错增益大于开销 111
5.3.3 逻辑门操作:横向门、格点手术与魔态蒸馏 111
5.3.4 早期容错ELQ阶段的应用形态 112
5.3.5 该阶段的系统架构变革:实时解码链路 113
5.4 FTQC:容错通用量子计算 114
5.4.1 定义与能力 114
5.4.2 资源需求:百万物理比特量级的来源 114
5.4.3 模块化与分布式量子计算 115
5.4.4 量子数据中心形态 116
5.4.5 与经典超算的协同定位 117
5.4.6 资源估算方法学:从算法需求到芯片规模的自上而下核算 117
5.5 演化时间线预测 118
5.5.1 预测方法论 118
5.5.2 乐观/基准/保守三情景 119
5.5.3 关键不确定性因素 121
5.5.4 对“量子泡沫”论的回应 121
5.6 阶段跃迁条件总结 122
5.7 第五章小结 123
第六章 量子芯片的产业影响:机遇与挑战 124
6.1 密码与信息安全的重构 125
6.1.1 Shor算法对RSA/ECC的威胁与“先存后解”风险 126
6.1.2 后量子密码PQC迁移(NIST标准化) 127
6.1.3 量子密钥分发QKD与量子互联网 130
6.1.4 安全产业的重新洗牌 131
6.2 药物研发与生命科学 131
6.2.1 量子化学模拟的指数壁垒 132
6.2.2 药物研发管线的价值重估 132
6.2.3 蛋白质、酶与生物大分子 133
6.3 材料科学与能源 134
6.3.1 电池、催化与固氮 134
6.3.2 超导、磁性与量子材料 135
6.4 金融、优化与人工智能 135
6.4.1 组合优化与量子算法 135
6.4.2 量子机器学习的谨慎乐观 136
6.4.3 投资回报与产业化节奏 136
6.4.4 量子云服务与算力商业模式 137

6.5 量子传感与量子精密测量 138
6.6 挑战、风险与产业生态 139
6.6.1 技术不确定性与“炒作周期” 139
6.6.2 人才、供应链与制度环境 140
6.6.3 生态协同与理性预期 140
第七章 实施挑战与应对策略 141
7.1 技术挑战 141
7.1.1 退相干与噪声:永恒的主战场 141
7.1.2 规模化悖论:比特数与质量的张力 142
7.1.3 布线与互连瓶颈 144
7.1.4 纠错解码的实时性 145
7.1.5 应对策略:材料攻关/3D集成/低温电子学/算法-硬件协同设计 146
7.2 工程与制造挑战 147
7.2.1 工艺一致性与良率 147
7.2.2 测试验证的时间成本(逐比特校准) 148
7.2.3 稀释制冷机等关键设备依赖 149
7.2.4 应对策略:量产化工艺移植/自动化校准/国产化替代路径 150
7.3 人才与生态挑战 151
7.3.1 跨学科人才断层(量子物理+微波工程+软件) 151
7.3.2 教育体系滞后 152
7.3.3 开发者生态薄弱 153
7.3.4 产业链上下游断层与关键环节自主化 154
7.3.5 应对策略:学科交叉培养/开源社区/云平台降门槛 155
7.4 安全挑战 156
7.4.1 "先存后解"与PQC迁移窗口期 156
7.4.2 量子供应链安全 157
7.4.3 双重用途技术的扩散风险 158
7.4.4 应对策略:密码敏捷性/分级管控/国际协调 159
7.5 政策与治理挑战 160
7.5.1 长周期投入与短期考核的错配 160
7.5.2 泡沫与寒冬的周期风险(对标AI寒冬教训) 161
7.5.3 出口管制与国际合作的平衡 162
7.5.4 标准化滞后 163
7.5.5 应对策略:耐心资本/里程碑评估/参与国际标准 164
7.6 风险—对策矩阵与综合治理思路 165
7.6.1 风险矩阵 165
7.6.2 综合治理框架:技术-工程-生态-安全-政策五层联动 167
7.6.3 面向从业者的行动清单 167
第八章 量子芯片制造工艺 169
8.1 工艺链总览与洁净室环境 170

8.1.1 工艺链的整体组织 170
8.1.2 洁净室与真空环境的定量要求 170
8.2 衬底选择与超导薄膜沉积 171
8.2.1 衬底:高阻硅与蓝宝石的工程权衡 171
8.2.2 超导薄膜材料与沉积方式 171
8.2.3 薄膜质量表征:残余电阻比与临界温度 172
8.3 图形化与刻蚀 172
8.3.1 光学光刻与电子束曝光的分工 172
8.3.2 干法刻蚀与侧壁形貌控制 173
8.3.3 剥离工艺与图形化路线的选择 173
8.4 约瑟夫森结制备 174
8.4.1 Dolan桥双角度蒸发:自对准的几何学 174
8.4.2 氧化参数窗口:势垒的原子级调控 175
8.4.3 从结电阻到临界电流:Ambegaokar-Baratoff关系 175
8.4.4 结老化与稳定化 176
8.5 界面损耗与材料工程 176
8.5.1 工艺步骤与两能级缺陷的对应关系 176
8.5.2 表面处理:清洗、退火与封帽 177
8.6 封装与互连 177
8.6.1 芯片-封装互连:打线、倒装焊与信号完整性 177
8.6.2 封装腔模与磁屏蔽 178
8.6.3 红外滤波与热光子管理 178
8.7 低温测试筛选与良率 179
8.7.1 分级测试流水线:从室温普测到低温全测 179
8.7.2 相干时间统计与频率碰撞 179
8.7.3 良率模型与过程能力指数 180
8.8 工艺-性能闭环与本章小结 180
8.8.1 数据驱动的工艺闭环 180
8.8.2 本章小结 181

第九章 总结与展望 182

9.1 核心要点回顾 182
9.1.1 三大支柱架构的总体回顾 182
9.1.2 量子力学的工程化诠释 182
9.1.3 六大技术路线的竞合格局 183
9.1.4 四阶段演化路径的历史定位 184
9.1.5 产业影响与价值释放逻辑 185
9.1.6 风险治理的总体逻辑 186
9.2 主要贡献与综合结论 187
9.2.1 系统性框架贡献 187
9.2.2 工程化视角贡献 187

9.2.3 六条综合结论 187
9.3 局限性与未决问题 189
9.4 未来研究方向 191
9.4.1 量子互联网与分布式量子计算 192
9.5 量子时代的文明展望 194
9.6 行动建议与结语 196

参考文献 198

附录 201

附录A 量子芯片关键术语表 201
附录B 量子芯片发展时间线 204
附录C 主要研究力量与公开资源 205
附录D 量子技术治理与出口管制概览 206
附录E 量子芯片评估框架 207
附录F 多层次研究问题清单 208
物理层开放问题 208
器件层开放问题 208
系统层开放问题 209
应用层开放问题 209
生态层开放问题 209

致谢 210

第一章 引言与研究背景

1.1 量子计算发展历程回顾

量子计算并不是经典计算机的简单加速版本，而是在信息表征、逻辑演化与误差控制三个层面同时改写计算范式的一条技术路线。若从更长的科学史视角观察，其形成并非源于单一器件突破，而是由物理学对微观世界的重新理解、计算复杂性理论的推进以及高精度实验工程能力的累积共同促成。尤其在二十世纪后半叶，经典半导体工业虽然持续依靠微缩、并行与体系结构优化延展算力边界，但这一演化越来越清晰地触及能耗、散热、噪声与材料尺度等物理极限，因此“能否借助量子力学本身进行计算”逐步从思想实验转化为严肃的研究方向。量子计算的发展史，本质上就是人类试图将叠加、纠缠和测量等量子现象从自然规律转化为可编程工程资源的历史。

回顾这段历史还有一个常被忽视的方法论价值：量子计算的每一次关键跃迁，几乎都可以用少数几条定量关系加以刻画和检验。摩尔定律的指数律解释了经典算力为何辉煌又为何终将减速，希尔伯特空间维数的指数律解释了经典模拟为何注定失败，算法复杂度的多项式与指数分野解释了量子加速为何具有结构性而非工程性，纠错阈值定理的幂律则解释了容错量子计算为何在原理上可以收敛。本章在梳理历程时将有意识地把这些定量关系显式写出，并代入具体参数进行数量级估算，以说明量子芯片的兴起不是叙事驱动的产物，而是可以被计算所支撑、也必须接受计算检验的技术判断。

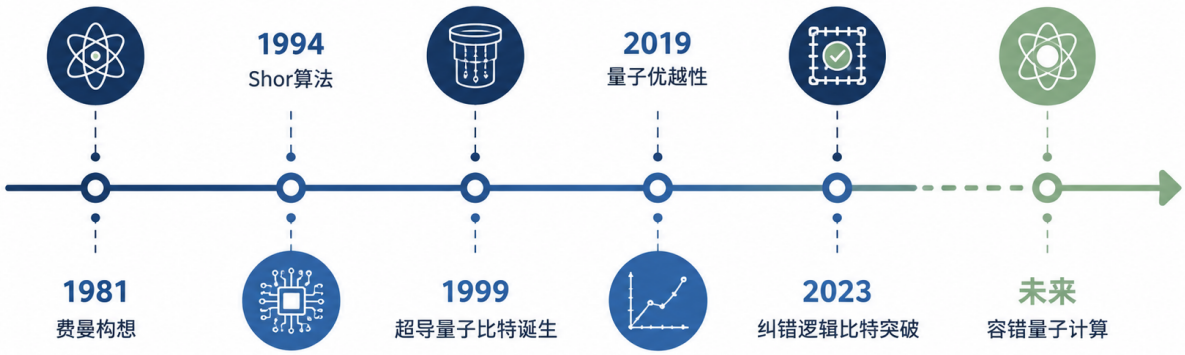


图 1-1 量子计算发展历程时间线

1.1.1 经典计算的物理极限与费曼构想

经典计算在二十世纪取得了近乎决定性的工业胜利，冯·诺依曼体系、晶体管逻辑和集成电路共同塑造了现代信息社会的底层基础。然而，当器件尺寸逼近纳米尺度之后，经典比特的稳定翻转

不再只是版图设计问题，更受到热涨落、漏电流、量子隧穿与互连延迟的系统性制约。摩尔定律在很长时间内表现为产业经验规律，但它从来不是自然法则；当单位面积内可堆叠的晶体管数量持续增加时，功耗密度、时钟提升和可靠性维护的代价也同步上升。也正是在这样的背景下，人们逐渐意识到，经典计算的局限不仅体现为“做得不够快”，更体现为“某些物理系统难以被经典方式高效模拟”。

摩尔定律的经典表述，可以写成单位芯片上晶体管数量随时间的指数增长关系：

$$N_{tr}(t) = N_0 \cdot 2^{t/2} \tag{式 1-1}$$

其中 N_0 为基准年份的晶体管数量，t 为以年计的时间跨度，指数中的除数对应“约每两年翻一番”的产业节奏。以1971年约 2.3×10^3 个晶体管的早期微处理器为基准，代入 $t = 50$ 年可得增长倍数为 $2^{25} \approx 3.4 \times 10^7$，即约 7.7×10^{10} 个晶体管，与当代顶级处理器数百亿晶体管的实际水平在数量级上高度吻合。这一验证恰恰说明指数律在过去半个世纪的惊人有效性；但同样的公式也预示其不可持续，因为若再外推五十年，单芯片晶体管数将达到 10^{18} 量级，对应的特征尺寸将远小于硅原子间距，这在物理上没有意义。指数外推撞上原子尺度，正是经典微缩路线的第一重天花板。

第二重天花板来自热力学。兰道尔原理指出，任何不可逆的单比特擦除操作都必须耗散不低于某一下限的能量：

$$E_{min} = k_B T \ln 2 \approx 2.87 \times 10^{-21}\,\mathrm{J} \tag{式 1-2}$$

其中 k_B 为玻尔兹曼常数，T 为环境温度，数值按室温 $T \approx 300\,\mathrm{K}$ 代入。这个下限本身极小：即便一台机器每秒执行 10^{18} 次不可逆位操作，其兰道尔极限功耗也只有约 $3 \times 10^{-3}\,\mathrm{W}$。然而现实中的百亿亿次超级计算机功耗普遍在 $2 \times 10^7\,\mathrm{W}$ 量级，与理论极限相差约十个数量级，说明现有CMOS器件每次开关的实际耗能仍在 10^{-18} 至 $10^{-17}\,\mathrm{J}$ 水平，距离物理极限尚有三到四个数量级的改进空间。表面上看这似乎意味着经典路线仍有巨大余量，但工程现实是：每逼近极限一个数量级，器件对热涨落与噪声的敏感度就急剧上升，可靠性代价呈非线性增长。可以据此做一个保守外推：即使器件能效每十年改善一个数量级，逼近兰道尔极限也需三十到四十年，而在此之前，散热密度、互连延迟与制造成本早已构成更紧的约束。经典计算的极限因此不是某一个单点，而是一组相互咬合的物理与经济约束的交集。

1981年，费曼在有关物理模拟的讨论中鲜明指出，若要高效模拟量子系统，最自然的思路不是使用更庞大的经典机，而是构造同样服从量子规律的计算装置。1982年，他进一步系统阐述了这一思想：经典概率资源难以紧凑表示一般量子态，而一个受控的量子系统却能够在其自身演化中“原生”承载这些信息结构。这一构想之所以具有划时代意义，不在于它立即给出了通用量子计算机的工程蓝图，而在于它把“量子力学是计算障碍”改写为“量子力学可以成为计算能力来源”。从此，量子计算不再只是物理学内部的哲学猜想，而开始成为计算理论、实验物理和器件工程共同投入的交叉前沿。

费曼论断的定量基础，在于量子态空间维数随粒子数的指数增长。一个由 n 个二能级系统构成的量子体系，其希尔伯特空间维数为

$$D_n = 2^n \tag{式 1-3}$$

其中 n 为量子比特数目，D_n 为描述该体系一般纯态所需的复振幅个数。若用双精度复数存储每个振幅，每个振幅占 16 字节，则完整表示一个 n 比特量子态所需的经典存储量为

$$M(n) = 2^n \times 16\text{B} \tag{式 1-4}$$

代入 $n = 50$ 可得 $M(50) = 2^{50} \times 16 \approx 1.8 \times 10^{16}\text{B}$，即约 18 PB，已经超过单台顶级超级计算机的全部内存容量；这正是经典精确模拟随机量子线路的实际边界停留在五十比特上下的根本原因。若进一步代入 $n = 300$，则 $2^{300} \approx 2 \times 10^{90}$，而可观测宇宙中的原子总数通常估计为 10^{80} 量级——事实上只要 n 超过约 266，振幅个数 $2^{266} \approx 1.2 \times 10^{80}$ 就已与宇宙原子总数相当。换言之，哪怕把宇宙中每一个原子都用作一个存储单元，也不足以写下一个三百比特量子态的完整描述。这个估算的意义不在于渲染量子计算的神秘性，而在于给出一条清晰的判决线：任何试图以经典资源穷举量子态空间的路线，在 n 超过数十之后都将遭遇指数墙，而一个物理量子系统只需要 n 个真实比特就“原生”生活在这个空间之中。费曼构想的全部力量，就浓缩在式 1-3 这条最简单的指数律里。

1.1.2 量子算法的理论突破:Shor与Grover

如果说费曼的贡献在于提出问题，那么量子算法理论的突破则证明了这一问题值得被持续追索。1994年，Shor提出可在多项式时间内完成大整数因数分解与离散对数求解的量子算法，这一结果直接冲击了基于相关困难问题构建的公钥密码学安全假设。Shor算法的重要性并不只体现在“比经典更快”，更在于它展示了量子傅里叶变换、相位估计与周期发现可以形成一种具有结构性优势的算法范式，即通过干涉放大量子态中的全局规律，而不是逐一穷举候选答案。理论上，这意味着量子计算首次在一类具有现实安全与经济意义的问题上表现出超越经典主流算法的潜力。

这一“结构性优势”可以被精确地定量化。Shor算法分解一个 L 位整数 N 的门复杂度为多项式量级：

$$T_{Shor} = O((\log_2 N)^3) \tag{式 1-5}$$

其中 $\log_2 N \approx L$ 为整数的二进制位数。而已知最优的经典算法——广义数域筛法——的运行时间随位数呈亚指数增长：

$$T_{GNFS} \approx \exp(1.923(\ln N)^{1/3}(\ln \ln N)^{2/3}) \tag{式 1-6}$$

把 RSA-2048（$L = 2048$，$\ln N \approx 1420$）代入式 1-6，指数部分约为 $1.923 \times 11.2 \times 3.75 \approx 81$，即 $T_{GNFS} \approx e^{81} \approx 10^{35}$ 次基本运算量级。假设动用一台持续输出 10^{18} 次每秒的百亿亿次超级计算机，所需时间约为 10^{17} 秒，即数十亿年，远超宇宙年龄的十分之一。与之对照，代入式 1-5 可得 $T_{Shor} \approx 2048^3 \approx 8.6 \times 10^9$ 量级的逻辑门操作；若未来容错量子计算机的逻辑门频率达到 10^5 至 10^6 赫兹，则纯逻辑执行时间约为 10^4 秒上下，即数小时量级。公开文献中更精细的全栈资源估算亦落在同一区间：以约两千万个物理量子比特、运行约八小时完成 RSA-2048 分解。从数十亿年压缩到数小时，中间横亘着约十四个数量级——这不是工程优化能够弥合的差距，而是复杂度类的差距，也是各国将量子计算列为战略技术的最硬核的一条算术理由。当然，必

须同时强调这一估算的前提：它要求容错逻辑比特而非裸物理比特，因此其威胁的兑现时间取决于纠错工程的进度，而非比特数量的简单堆叠。

1996年，Grover提出量子无结构搜索算法，使在未排序数据库中查找目标项的查询复杂度从经典的线性量级降低至平方根量级。与Shor算法相比，Grover算法并未造成单一领域那样剧烈的范式震荡，却揭示了另一种更普遍的事实：即便问题不具备显式代数结构，量子演化仍有可能通过振幅放大带来系统性加速。两类算法共同推动了量子复杂性研究的成熟，也让学界与产业界认识到，量子计算的价值并不限于模拟量子物理，而是可能在优化、搜索、密码分析和采样等方向形成新的计算层级。自此以后，量子信息科学不再只是“能否做出来”的工程命题，而变成“做出来之后会改变什么”的战略命题。

Grover加速的定量形式同样值得写出，因为它划定了量子威胁的另一条边界。在规模为 N 的无结构搜索空间中，找到目标项所需的量子迭代次数约为

$$T_{Grover} \approx \frac{\pi}{4}\sqrt{N} \tag{式 1-7}$$

其中 N 为候选项总数，且已证明平方根量级是无结构搜索的量子最优下界，不存在更快的通用量子搜索。以攻击 128 位对称密钥为例，$N = 2^{128}$，代入式 1-7 得约 $\frac{\pi}{4} \times 1.8 \times 10^{19} \approx 1.4 \times 10^{19}$ 次串行迭代；即便假设每次迭代仅需 10^{-9} 秒——这远超当前任何量子平台的能力——总耗时仍约 1.4×10^{10} 秒，即四百年以上。这个计算给出一个常被误读的重要结论：Grover加速对对称密码的威胁是温和的，只需将密钥长度加倍（如 AES-128 升级至 AES-256，使 $\sqrt{N}$ 回到 2^{128} 量级）即可恢复安全裕度；真正具有颠覆性的是 Shor 对公钥体系的指数级打击。平方根加速与指数加速的这一分野，直接塑造了后量子密码迁移的优先级排序，也说明对量子算法能力的评估必须逐类计算、逐类下结论，而不能笼统地宣称“量子计算机将破解一切密码”。

1.1.3 物理实现的起步:从NMR到超导量子比特

理论突破之后，真正困难的问题转向物理实现：量子态极其脆弱，任何环境耦合都可能导致退相干，而可计算性要求又必须对量子态进行初始化、受控操纵和可重复测量。二十世纪九十年代至本世纪初，多种实验平台开始并行探索，包括核磁共振系统、离子阱、量子点、光子体系和超导电路等。早期的核磁共振量子计算之所以重要，不在于它最终成为可扩展路线，而在于其在室温环境下验证了若干基本量子算法与门操作概念，证明“量子程序”可以在实验上被编码、执行与读出。与此同时，离子阱平台依托长相干时间与高保真操控，成为精密量子控制的重要代表；光量子路线则凭借弱退相干和天然适于通信的特性，在玻色采样、量子网络等方向不断推进。

退相干的定量描述，是理解这一阶段全部工程斗争的钥匙。以最常用的两能级模型为例，量子比特密度矩阵的非对角元（即相干项）随时间按指数规律衰减：

$$\rho_{01}(t) = \rho_{01}(0)e^{-t/T_2} \tag{式 1-8}$$

其中 ρ_{01} 为密度矩阵非对角元，T_2 为退相位时间，刻画量子叠加相位信息保持的特征时标。这条指数律解释了为什么早期各平台的比较不能只看单一时间参数：核磁共振系综的 T_2 可达秒量级，但其信号来自热平衡系综的赝纯态，随比特数增加信噪比指数下降，可扩展性在原理上受限；离子阱单比特 T_2 可长达秒甚至更久，但门速度处于微秒量级；超导比特的 T_2 早期仅有纳秒水平，经过

材料与设计二十余年迭代提升到数十至数百微秒，却拥有数十纳秒的门速。真正决定计算能力的是 T_2 与门时间的比值而非 T_2 本身，这一点将在 1.2.3 节以专门的公式展开。回望这段历史可以看到，平台竞争的本质是各自沿不同方向优化同一条指数衰减律：要么延长分母上的 T_2，要么压缩分子上的操作时间，要么通过纠错在系统层面重写这条规律。

超导量子比特的崛起则体现出工程体系能力的决定性作用。约瑟夫森结使宏观电路获得可量子化能级，人们进而能够在微波腔、电容和非线性元件构成的电路中定义并操控量子比特。尤其是transmon量子比特的提出与成熟，显著降低了电荷噪声敏感性，在牺牲部分非简谐性的同时换取更高的相干稳定性和可制造性。这一路线与半导体工艺、微波控制电子学和低温系统集成之间具有较高兼容性，因此更容易形成“设计—制备—封装—测试—迭代”的工业闭环。也正因如此，超导平台逐渐从多种候选载体中脱颖而出，成为本世纪第二个十年后最受关注的量子芯片主赛道之一。

值得补充的是，transmon 的设计哲学本身就是一次典型的定量权衡。其通过增大约瑟夫森能与充电能之比，使能级对电荷噪声的敏感度随该比值近似指数下降，代价是非简谐性仅按比值的平方根缓慢减弱。正是这种“指数收益对多项式代价”的不对称，使 transmon 成为鲁棒性与可操控性之间的优选解，也使其相干时间在十余年内提升了约五个数量级——从纳秒到百微秒。这段历史给量子芯片工程学留下的启示是：路线胜出的关键往往不是发现新物理，而是找到参数空间中收益与代价呈不对称标度的那个方向，并以制造工艺把它锁定下来。

1.1.4 工程化时代:量子优越性实验

当量子比特数量从个位数增长至数十位时，学界开始追问一个更尖锐的问题：量子装置是否已经在某些定义明确的任务上超越最强经典计算机。所谓“量子优越性”或“量子优势”的早期讨论，实质上是在寻找能够同时满足两项条件的实验任务：其一，量子设备可在现实噪声条件下完成；其二，经典超级计算资源难以在可接受时间内精确复现。2019年，基于53个超导量子比特的随机线路采样实验成为这一进程中的标志性节点。该实验并不意味着通用量子计算机已经到来，也不意味着量子设备在通用应用上全面领先经典计算，而是证明在经过精心定义的问题空间内，含噪中尺度量子处理器已经具备形成可观计算分离的能力。

选择53比特并非偶然，而是式 1-4 存储估算的直接工程投影：$2^{53} \times 16 \approx 1.4 \times 10^{17}\mathrm{B}$，恰好越过当时最大超级计算机内存容量的边界，使得全振幅精确模拟在物理上不可行，经典方仅能依靠张量网络收缩等近似或以巨量磁盘换内存的方案迂回应战。随后数年经典模拟算法的持续反击——把最初宣称的上万年经典耗时压缩到数天乃至更短——同样具有方法论意义：它表明“优越性”不是一次性判定，而是量子硬件规模与经典算法巧思之间的动态边界。每当量子方增加若干比特或提升线路深度，经典方的模拟成本就按指数律抬升；每当经典方发现新的收缩顺序或利用噪声降低有效秩，边界又向回移动。这条移动的边界本身，就是式 1-3 指数律在现实计算生态中的具体显影。

这一里程碑的意义常被误读为单纯的“比快慢”，事实上它更深层地表明，量子芯片工程已经从验证单个门与单个比特的阶段，迈入了系统级联合优化阶段。比特数量、连通结构、双比特门保真度、控制脉冲整形、读出串扰抑制与误差建模能力不再是相互独立的指标，而是共同决定一个处理器是否具备可展示优势的整体条件。也就是说，量子优越性实验并不是终点，而是一个分水岭：

自此之后，量子芯片竞争不再主要围绕“是否能做量子门”，而是围绕“能否在噪声、规模与校准开销之间实现系统级平衡”。

1.1.5 纠错转向:从物理比特到逻辑比特

随着实验规模扩大，一个更根本的事实愈发清晰：单纯增加物理比特数量并不会自动带来可用计算能力，若误差率、串扰和退相干无法被系统压低，规模增长反而可能让有效计算深度更快崩塌。量子纠错因此从理论保障机制转变为工程主线。与经典纠错不同，量子态不能被直接复制，测量又会扰动信息本身，因此量子纠错必须通过冗余编码、稳定子测量和容错门设计，在不直接读取逻辑信息的情况下推断并修正错误。表面码之所以成为当前最受重视的纠错方案之一，正是因为其局域相互作用要求相对友好，且在独立误差模型下阈值通常约为1%的量级，这意味着只要底层物理门错误率足够低，扩大编码规模就有机会持续压低逻辑错误率。

纠错转向的核心定量依据，是逻辑错误率随码距的幂律压低关系。对码距为 d 的表面码，每个纠错周期的逻辑错误率可近似写为

$$P_L \approx A(p/p_{th})^{(d+1)/2} \tag{式 1-9}$$

其中 p 为物理门错误率，$p_{th} \approx 10^{-2}$ 为表面码阈值，A 为量级接近 0.1 的拟合常数，d 为码距。这条公式的力量在于指数位置上的 d：只要 p 低于阈值，每增大码距两个单位，逻辑错误率就再乘以一次因子 p/p_{th}。代入当前先进水平 $p = 10^{-3}$（即 $p/p_{th} = 0.1$）与 $d = 25$，可得 $P_L \approx 0.1 \times 10^{-13} = 10^{-14}$，足以支撑万亿次量级逻辑操作的深层算法；而实现一个 $d = 25$ 的逻辑比特约需 $2d^2 \approx 1250$ 个物理比特。由此可以完成一次贯通式估算：运行 Shor 分解 RSA-2048 所需的数千个逻辑比特，对应数百万物理比特——这与前述约两千万物理比特的精细估算在数量级上一致（后者还计入了魔态蒸馏等开销）。反过来，若 p 仅为 5×10^{-3}（即 $p/p_{th} = 0.5$），达到同样 P_L 所需码距将超过 90，物理开销膨胀一个数量级以上。这组代入计算解释了为什么业界把物理错误率从 10^{-3} 推向 10^{-4} 看得比增加比特数更重：在式 1-9 中，p 的每一分改善都在指数上被放大。

从物理比特到逻辑比特的转向，标志着量子芯片评价体系发生了根本变化。过去人们常以“有多少个量子比特”作为最直观指标，但在纠错框架下，更关键的问题变成“这些物理比特能否组织成可持续运行的逻辑比特”“逻辑循环中综合错误能否随码距扩大而下降”“测控与解码延迟是否能闭合反馈回路”。这意味着量子芯片研发不再只是器件性能竞赛，而必须同时推进架构设计、实时控制、经典协处理与制程一致性。只有当逻辑层真正开始优于裸物理层时，量子计算才算从演示型技术进入可积累型技术阶段。近年若干平台已在实验上观测到“码距增大、逻辑错误率下降”的标度行为，即式 1-9 的指数压低开始在真实器件上兑现，这被普遍视为容错路线从理论承诺转为工程事实的第一批证据。

1.1.6 从NISQ走向容错通用量子计算

NISQ，即“含噪中等规模量子”阶段，用来描述当代量子硬件的一种过渡性现实：设备已有数十到数百量级物理比特，能够执行有限深度量子线路，但远未达到大规模容错计算所需的稳定性和资源效率。在这一阶段，人们尝试通过变分量子算法、量子化学近似求解、组合优化启发式方案以及采样类任务寻找应用窗口。然而实践逐渐表明，NISQ的价值并非线性展开，算法深度受限、误差

累积、参数训练景观恶化和经典预后处理成本等问题，使其在许多任务上尚难稳定压过成熟经典方法。换言之，NISQ阶段提供了宝贵的实验平台，却未必能直接导出广泛商业闭环。

NISQ 的困境同样可以算出来。在无纠错条件下，一条包含 N_g 个门的线路，其整体成功概率近似按单门保真度的幂次衰减，即 $F_{total} \approx F_g^{N_g}$（该关系将在 1.2.4 节正式给出并展开）。取双比特门保真度 $F_g = 0.999$，当 $N_g = 10^3$ 时 $F_{total} \approx e^{-1} \approx 0.37$，当 $N_g = 10^4$ 时 $F_{total} \approx 4.5 \times 10^{-5}$，信号几乎完全淹没于噪声。而具有明确工业价值的量子化学与密码分析类算法，其门数普遍在 10^8 以上。这道简单的幂运算划出了 NISQ 与容错时代之间的鸿沟：中间隔着四到五个数量级的深度差距，任何单点保真度改良都无法凭自身填平，必须依靠式 1-9 的纠错标度律来重写游戏规则。这也解释了为何误差缓解技术——零噪声外推、概率误差消除等——虽然能在浅层线路上榨取有效信号，其采样开销却随线路规模指数增长，注定只是通往容错途中的过渡性桥梁。

正因如此，全球量子芯片研究正在从“更多物理比特”转向“更可靠逻辑计算”的路线重构。未来通向通用量子计算机的关键，不仅在于扩展阵列规模，更在于建立从材料缺陷控制、器件一致性、封装互连、低温电子学到纠错编译与运行时系统的全栈工程体系。NISQ并非失败的过渡，而是逼迫领域完成一次战略清醒：量子芯片的成熟路径不会像早期半导体那样仅依靠微缩自然涌现，而必须在误差校正、系统架构与制造工艺三者之间形成协同演进。由此，量子计算的发展史也从“发现量子可以计算”进入“如何把量子计算做成可靠机器”的新阶段。

1.1.7 全球发展格局与研究热点演进

量子计算从学院议题演变为国家战略议程，其转折点大致出现在2016年至2018年之间。在此之前，各国投入以科研基金的分散资助为主；在此之后，主要经济体几乎同步完成了立法与专项化：欧盟启动为期十年、总额十亿欧元量级的量子旗舰计划，美国通过国家量子倡议法案建立跨部门协调机制并持续追加授权，中国将量子信息列入面向中长期的重大科技专项并推进国家实验室体系建设，日本、英国、德国、法国、韩国、加拿大、澳大利亚等也相继发布国家级量子战略。据公开统计口径估算，全球政府层面对量子科技的累计承诺投入已达数百亿美元量级，其中量子计算通常占据最大份额。这一轮布局的共同特征在于：没有一个主要经济体敢于只押注单一技术路线，几乎所有国家战略都同时覆盖计算、通信与精密测量三个方向，并在计算方向内部保持多条物理路线的并行资助——这种资助结构本身，就是对当前技术不确定性的一种理性定价。

从格局分布看，不同区域形成了各具特征的推进范式。美国的主力是大型科技企业与初创公司构成的产业梯队，以超导与离子阱为主线，形成“硬件路线图定期迭代、量子云平台开放接入、软件生态同步培育”的产业化范式，其优势在于工程组织能力与资本纵深；中国则呈现科研机构攻关与企业跟进的双轨结构，超导与光量子双线并进，先后完成光量子玻色采样与超导随机线路采样的优越性演示，成为少数在两条物理路线上都验证过量子计算分离能力的国家，同时在量子通信基础设施上保持领先布局；欧洲依托离子阱、中性原子与半导体自旋方向的长期学术积累，走精密控制与高质量中小规模系统的路线，并试图以跨国协作弥补单一市场纵深不足；日本在超导量子器件的物理源头上有奠基性贡献，近年则侧重超导整机、光量子与经典量子混合计算的产业转化。格局的整体面貌是：第一梯队与后发者之间的差距在拉大，但第一梯队内部没有任何一方形成通吃优势，多极竞争与路线分散仍是基本盘。

研究热点的迁移轨迹，则清晰复现了本章前述的逻辑链条。第一阶段大致在2015年前后，热点是“比特数竞赛”，各平台竞相公布数十至上百比特的扩展路线图，比特数是最常被引用的单一指标；第二阶段以2019年优越性实验为节点，热点转向“质量优先”，双比特门保真度、量子体积与误差表征方法成为评价焦点，业界开始普遍接受“少而好优于多而差”的判断；第三阶段自2022年前后延续至今，热点收敛于“纠错标度验证”，包括码距增大时逻辑错误率是否按式 1-9 预期下降、实时解码延迟能否闭合反馈回路、逻辑比特间的门操作如何容错实现等问题，同时中性原子路线凭借可重构原子阵列与高并行度操控迅速上升为新热点。从文献计量看，量子计算方向的年发文量在过去十年增长约一个数量级，专利布局重心也从早期的器件结构专利逐步迁移到测控系统、纠错方法与编译软件——知识产权结构的这种上移，通常是一个硬件领域走向系统工程阶段的可靠信号。

值得注意的还有开放与管制并行的双重态势。一方面，量子计算的学术共同体保持着高度的国际开放性，关键实验结果、器件设计乃至校准方法大多通过公开渠道传播，跨国合作论文比例居高不下；另一方面，主要经济体已陆续将量子计算硬件及其关键配套——稀释制冷机、低温电子学、高纯衬底材料、专用微波组件等——纳入出口管制框架，供应链环节的战略属性快速凸显。两种力量的并存意味着，量子芯片领域的国际竞争既不会退回封闭的军备竞赛模式，也不会维持纯粹的开放科学模式，而更可能形成“基础研究开放、工程能力设防”的混合秩序。与此同时，全球性的人才缺口构成所有参与方的共同约束：量子芯片需要同时理解量子物理、微波工程、低温技术与计算机体系结构的复合型人才，而现有学科建制培养这类人才的速度远低于产业扩张速度，人才供给因此可能比资本供给更早成为格局演化的限速环节。

综合来看，全球发展格局呈现出多极化与收敛化同时发生的特征：各国的投入结构、产业组织与路线偏好各不相同，但研究热点却在向同一个问题收敛——如何把足够多、足够好的物理比特组织成可持续运行的逻辑比特。这一收敛本身就是对本章核心判断的集体背书：量子芯片竞争的下半场不在比特数量的报表上，而在纠错标度律能否在真实器件与真实产线上兑现。谁先完成这一步，谁就将在下一阶段的算力格局中掌握定义权。

1.2 量子芯片的定义与特征

如果说量子计算回答的是“为何需要一种新型计算范式”，那么量子芯片所回答的则是“这种范式依靠何种物理实体得以落地”。在许多非专业讨论中，量子芯片常被简化理解为“带有量子比特的芯片”，但这种表述既不足以揭示其工程复杂性，也容易遮蔽其与传统微电子器件之间在信息论和物理控制层面的根本差异。严格而言，量子芯片既不是单个量子器件，也不是仅供实验展示的微观样品，而是一个能够承载量子信息编码、实现受控量子演化并支持读出与扩展集成的系统化硬件平台。它的价值不在于拥有某种神秘的新材料，而在于能否在现实噪声环境中把量子规律稳定转化为可重复、可验证、可放大的计算过程。

1.2.1 量子芯片的核心定义

量子芯片的核心定义，可以概括为“面向量子信息处理而设计与制造的集成化物理载体及其片上耦合结构”。这里的“量子信息处理”至少包括量子态制备、量子门操控、量子比特间耦合、误差探测与量子测量五个基础环节，因此量子芯片并不只是一个静态承载基板，而是一整套动态控制

对象。不同技术路线对“芯片”的物理含义并不完全一致，例如超导体系中的芯片更多指低温微波电路与量子比特阵列，半导体自旋体系强调纳米结构与栅控器件，光量子体系则可能体现为集成光路与干涉网络，但它们共享的本质在于：以工程方式定义可操控的量子自由度，并让这些自由度能够组成可扩展的计算结构。

在这一意义上，量子芯片不是传统CPU或GPU的直接替代物，而更像是一类全新的“计算物理内核”。它不仅承担信息存储与逻辑执行功能，更深度依赖外部控制系统、低温环境、真空系统或激光平台等配套基础设施。其能力边界并非由时钟频率单独决定，而是由相干时间、门保真度、连通拓扑、读出效率和校准可维护性共同塑造。因此，对量子芯片的定义必须从“器件实体”上升到“系统功能载体”，否则就难以解释为何某些实验样品虽然可以展示单量子态，却并不能构成具有计算意义的量子处理器。

从信息论角度还可以给出一个更本质的区分：经典芯片上一个 n 比特寄存器在任意时刻只处于 2^n 个状态中的一个，其状态描述只需 n 个二值变量；而量子芯片上 n 个量子比特的一般状态由式 1-3 所示的 2^n 维复矢量描述，且这些维度可以通过纠缠被同时操纵。量子芯片的定义因此内在地包含一个双重要求：既要让这个指数维空间在物理上真实存在（相干性），又要让它在工程上可被寻址（控制与读出）。缺少前者，芯片退化为噪声发生器；缺少后者，芯片退化为不可编程的物理标本。正是这对要求的同时成立，把量子芯片与一般量子器件区分开来。

这一信息论区分可以借助一个直观的几何图像加以固定。经典比特的状态空间只有离散的两点，0 与 1 之间不存在任何中间合法状态，其全部动力学就是两点之间的受控翻转；量子比特的纯态空间则是一个连续的二维球面——布洛赫球——其北极与南极分别对应基态 $|0\rangle$ 与激发态 $|1\rangle$，球面上任意一点都是一个合法的叠加态，由极角与方位角两个连续参数唯一标定。图 1-2 给出了这两种信息单元的对比示意：左侧的经典比特形如一个只有两个稳态的开关，右侧的量子比特则是一个带有相位结构的球面，任何单比特量子门都对应球面上的一次确定旋转，任何测量都把球面上的连续状态坍缩回两极之一。这幅图像同时预告了工程困难的来源：开关只需分辨两个稳态，噪声必须大到足以翻转状态才构成错误；而球面上的连续自由度意味着控制偏差与环境扰动可以用任意小的角度误差形式潜入并逐步累积，这正是量子操控对精度要求远苛于经典逻辑的几何根源。

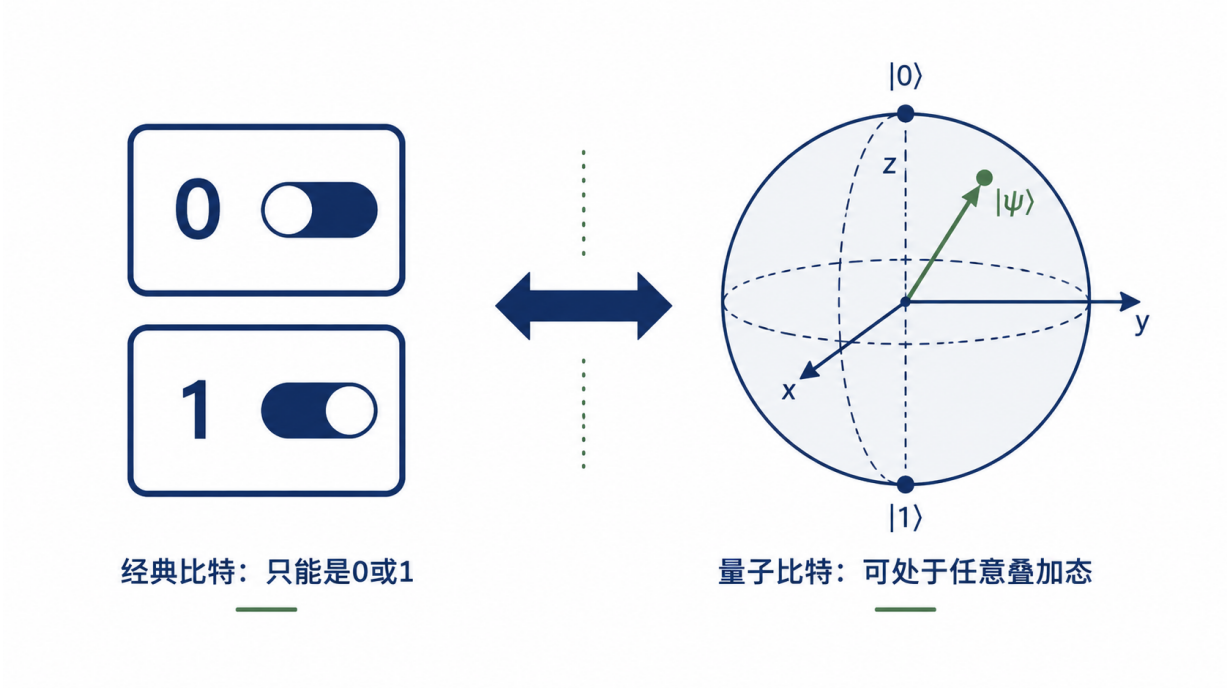


图 1-2 经典比特与量子比特对比示意

图 1-2 所示的差异可以进一步精确为一条参数计数关系。一个 n 比特经典寄存器的状态由 n 个二值变量完全确定，而 n 个量子比特的一般纯态，在扣除归一化条件与不可观测的全局相位之后，仍需要

$$K_n = 2 \cdot 2^n - 2 \tag{式 1-10}$$

个独立实参数才能完全描述。其中 K_n 为自由实参数个数，2^n 为式 1-3 给出的希尔伯特空间维数，因子 2 来自每个复振幅的实部与虚部，减去的 2 对应归一化与全局相位两个约束。代入 $n=1$ 得 $K_1=2$，恰好对应布洛赫球面的两个角坐标；代入 $n=10$ 得 $K_{10}=2046$，即仅仅十个量子比特的联合状态已需两千余个连续参数——这远多于十个相互独立的球面所含的二十个参数，多出来的自由度全部来自纠缠。这一计数清楚表明，量子寄存器的描述复杂度随比特数指数增长，而经典寄存器仅线性增长，图 1-2 在单比特层面呈现的差异，到多比特层面会被指数放大为完全不同的资源形态。

然而，状态空间的指数膨胀并不意味着信息可以被无限制地存入与取出，这正是量子信息论对朴素“量子并行”想象的关键修正。Holevo 界给出了从量子系统中提取经典信息的普适上限：

$$\chi = S(\rho) - \sum_k p_k S(\rho_k) \le n \tag{式 1-11}$$

其中 $\rho = \sum_k p_k \rho_k$ 为编码系综的平均密度矩阵，$S(\rho)$ 为以比特计的冯诺依曼熵，χ 为任何测量方案可访问信息的上界，n 为量子比特数目。这条不等式的含义是：无论编码与测量方案多么精巧，对 n 个量子比特的一次读出至多只能可靠提取 n 比特经典信息。“存入需要指数个参数、取出至多线性个比特”的深刻不对称，决定了量子加速从来不是把 2^n 个候选答案并行算出再一并读走，而必须依靠干涉把答案的全局结构集中到少数几个可测量比特上——Shor 算法借相位估计提取周期，Grover 算法借振幅放大聚焦目标项，都是这种结构提取的典范。理解了这一点，就能明白图 1-2 的

对比为何不能被简化为“量子比特是容量更大的比特”：它是一种资源类型完全不同的信息载体，其威力与限制共同写在式 1-10 与式 1-11 这对公式的张力之中，而量子芯片的全部工程使命，就是在真实器件上守住这份威力、管理这份限制。

1.2.2 DiVincenzo判据:量子计算物理载体的五项标准

任何关于量子芯片的严肃讨论，都必须回到DiVincenzo提出的判据框架。其五项面向量子计算核心功能的标准通常包括：可扩展的物理系统并具有表征良好的量子比特；能够将量子比特初始化到简单已知状态；相干时间显著长于门操作时间；能够实现一组通用量子门；能够进行量子比特特定测量。这五项标准之所以历久弥新，是因为它们并未绑定某一种材料或架构，而是从信息处理功能的角度刻画了任何量子计算载体都必须满足的最小完备条件。若一条技术路线无法同时回应这五个问题，那么它即便在某一物理指标上表现优异，也难以支撑通用量子计算。

DiVincenzo还进一步提出面向量子通信的两项扩展判据，即能够在静止量子比特与飞行量子比特之间相互转换，以及能够在不同位置之间忠实传输飞行量子比特。这两项要求对于分布式量子计算、量子网络和模块化量子处理器尤其关键。也就是说，量子芯片的未来边界未必局限于单片超大规模集成，模块间互连、量子总线和网络化架构同样可能成为扩展路径。由此可见，DiVincenzo判据不仅是一张准入清单，更是一种分析框架：它迫使研究者同时思考静态物理可行性与动态系统扩展性，而不是仅用某个单点实验纪录代替整体能力评估。

值得强调的是，五项判据中的第三项——相干时间显著长于门操作时间——本质上是一条可计算的比值判据，而非定性描述。以初始化环节为例，热初始化的极限同样可以定量估计：一个跃迁频率为 f 的量子比特在温度 T 下的热激发布居近似正比于 $\exp(-hf/k_BT)$，其中 h 为普朗克常数。对典型超导比特 $f\approx 5\mathrm{GHz}$，在稀释制冷机 $T\approx 20\mathrm{mK}$ 条件下，$hf/k_BT\approx 12$，热激发布居被压到 10^{-6} 量级以下，初始化判据得以满足；而同一比特若置于 $4\mathrm{K}$ 环境，该比值降至约 0.06，比特几乎完全热化，判据即告失效。这类估算说明，DiVincenzo判据表面上是五句定性陈述，背后却各自对应一组可以代入数字加以裁决的物理不等式——这正是它能够作为不同技术路线统一“体检表”的原因。

1.2.3 相干性:量子芯片的首要判据

相干性之所以被视为量子芯片的首要判据，是因为量子计算的全部优势都建立在量子态能够在足够长的时间内保持可控相位关系这一前提之上。若叠加态在操控尚未完成前就因环境噪声塌缩为经典混合态，那么再精巧的算法设计也无从发挥作用。通常所说的弛豫时间、退相位时间与有效相干时间，分别从能量耗散和相位随机化等角度描述量子信息保存能力。不同平台的量级差异很大，离子阱往往具有较长相干时间，超导比特虽相对较短却可通过快速门操作和工程补偿实现系统平衡，因此相干性不能脱离具体门速与架构一起孤立评价。

把“相干性不能孤立评价”翻译成公式，就是有效线路深度的比值判据：

$$D_{max}\approx \frac{T_2}{t_g} \tag{式 1-12}$$

其中 T_2 为退相位时间，t_g 为单次门操作时间，D_{max} 给出在退相干吞噬信号之前可串行执行的门数上限。代入典型参数即可看清各平台的真实位置：超导比特 $T_2\approx 100\mu\mathrm{s}$、双比特门

$t_g \approx 40\text{ns}$，得 $D_{max} \approx 2500$；离子阱 $T_2 \approx 1\text{s}$、双比特门 $t_g \approx 100\mu\text{s}$，得 $D_{max} \approx 10^4$。两个平台的 T_2 相差四个数量级，可用深度却只差数倍，这正是比值判据的价值所在。更重要的是，式 1-12 只是上界：结合式 1-8 的指数衰减，当线路深度达到 D_{max} 的十分之一时，相干信号已衰减至 $e^{-0.1} \approx 0.9$，误差已不可忽略。因此工程上通常要求 T_2/t_g 至少达到 10^4 至 10^5，才能在纠错编码引入的额外操作开销下仍保持在阈值以内。

更重要的是，相干性从来不是单比特孤立属性，而是系统级环境工程的综合结果。材料缺陷、界面两能级体系、封装寄生模、辐射损耗、温度波动、电磁串扰以及控制线噪声都可能削弱相干能力。对量子芯片而言，相干性越强，意味着可执行的线路深度越大、纠错开销越低、可验证实验范围越广；反之，若相干时间仅略高于门操作时间，系统几乎只能停留在演示性门序列阶段。因此，在所有指标中，相干性不仅是“能否工作”的底线，更是决定后续保真度、可扩展性与容错潜力的源头变量。

1.2.4 保真度与门操控精度

如果说相干性决定量子信息能保存多久，那么保真度则决定量子操作有多接近理论目标。量子门保真度通常用于衡量实际门操作与理想酉变换之间的接近程度，单比特门、双比特门和读出过程都有各自独立而又相互耦合的误差来源。对通用量子计算而言，真正具挑战性的往往不是单比特门，而是双比特门与测量链路，因为它们更容易受到耦合非理想性、串扰、频率拥挤与控制脉冲漂移影响。特别在超导体系中，双比特门的稳定性常常决定芯片能否跨过纠错阈值附近的实用门槛。

保真度对线路规模的制约可以用一条近似乘法律来刻画：

$$F_{total} \approx F_g^{N_g} = e^{N_g \ln F_g} \approx e^{-N_g(1-F_g)} \tag{式 1-13}$$

其中 F_g 为平均单门保真度，N_g 为线路包含的门总数，F_{total} 为整条线路的近似成功概率，最后一步利用了 $1-F_g \ll 1$ 时的近似 $\ln F_g \approx -(1-F_g)$。这条公式给出一个非常实用的经验律：可用线路规模大致等于单门错误率的倒数，即 $N_g^{max} \sim 1/(1-F_g)$。代入 $F_g = 0.99$ 得约百门规模，$F_g = 0.999$ 得约千门规模，$F_g = 0.9999$ 得约万门规模——保真度每增加一个“9”，可用算法空间就扩大一个数量级。由此也能反推容错门槛的苛刻性：若某算法需要 10^{10} 个逻辑门，等效要求逻辑层错误率低于 10^{-10}，而这正是式 1-9 中通过增大码距才能兑现的指标，任何裸物理门在可预见的将来都无法直接达到。

保真度的重要性还在于，它把“可做量子门”和“可持续做大量量子门”区分开来。一次成功演示并不能说明平台已可用于复杂算法，因为量子线路深度增加时，误差会以近似乘法方式累积，并通过串扰与泄漏效应进一步放大。也正因此，门操控精度不仅依赖脉冲设计、校准策略与硬件稳定性，还依赖编译器是否能把抽象线路映射为误差更低的本地操作序列。高保真并不等于单点极限纪录，而意味着在大规模运行中保持统计一致性、可重校准性与跨器件可复用性，这才是量子芯片迈向工程产品所需的真实精度。

1.2.5 可扩展性与集成度

量子芯片研究若只停留在少数高质量量子比特的孤立展示，就难以转化为真正的计算能力，因此可扩展性始终是其核心特征之一。这里的可扩展性并不单指“在版图上放下更多比特”，而是指

随着比特数量增加，控制复杂度、热负载、校准成本、布线密度、误差传播与制造良率不会以不可承受的方式爆炸。许多实验路线在小规模上表现优异，但一旦走向二维阵列、稠密耦合或模块化互连，问题便会迅速显现。由此可见，量子芯片的扩展难点并不在单项技术，而在多种约束共同作用下的系统协调。

扩展性约束同样可以做数量级核算。以布线为例，当前超导芯片普遍采用每比特数条微波控制线与读出线的方案，若按每比特三条线保守估计，一个百万物理比特的容错处理器将需要数百万条穿入毫开尔文低温区的射频链路，而现有稀释制冷机的穿线容量通常在数千量级，两者相差三个数量级——这直接催生了低温CMOS控制、多路复用读出与片上信号生成等研究方向。良率约束则更为苛刻：若单比特制备良率为 y，一个要求全部 n 个比特可用的朴素方案成品率为 y^n，代入 $y = 0.99$、$n = 1000$ 得 $0.99^{1000} \approx 4 \times 10^{-5}$，几乎不可能量产；因此大规模量子芯片必然要求架构层面容忍缺陷比特，即以冗余映射和绕行路由把良率问题从制造层转移到编译层。这类估算表明，可扩展性不是把小系统按比例放大，而是每跨一个数量级就要重构一次瓶颈。

集成度则体现为量子器件、耦合结构、谐振腔、读出链路与外部控制接口能否形成高度协同的物理布局。对超导芯片而言，走向高集成意味着不仅要优化量子比特本身，还要处理穿线、封装、三维互连、低温放大器与片上滤波结构之间的整体电磁环境；对自旋量子点和光量子芯片而言，则分别涉及纳米制造一致性和片上光源探测器集成等问题。可以说，可扩展性是量子芯片从科研样机走向工程平台的战略门槛，而集成度正是跨越这一门槛的物质基础。

1.2.6 量子芯片与经典芯片的异同

量子芯片与经典芯片都属于高度工程化的信息处理载体，都依赖材料、制程、版图、封装、测试和系统软件的协同优化，因此二者在产业组织形式上存在明显连续性。然而二者的信息单元、逻辑规则与误差处理哲学却根本不同。经典芯片以确定态比特为基础，通过布尔逻辑和时钟同步执行大规模确定性计算，其主要挑战在于速度、能效和面积优化；量子芯片则以可叠加、可纠缠的量子比特为基础，通过酉演化和概率测量处理信息，其主要挑战在于相干维持、误差抑制和可验证控制。前者默认噪声可以通过阈值设计被压到系统外部，后者则必须承认噪声始终伴随计算全过程并主动构建纠错机制。

这种“误差哲学”的差异可以用数字直接呈现：现代经典逻辑门的等效错误率低于 10^{-15} 量级，一颗处理器运行数年才可能出现一次未被察觉的位翻转；而当前最好的量子双比特门错误率约 10^{-3}，两者相差十二个数量级。经典工程的全部经验都建立在“错误罕见到可以事后处理”的前提上，量子工程则必须在“每千次操作就错一次”的现实中构造可靠计算，这正是纠错开销高达千倍冗余（见式 1-9 的码距估算）的根源。另一个常被忽视的对照是能耗结构：经典芯片的功耗发生在计算本身，而超导量子芯片的量子部分功耗几乎可以忽略，真正的能耗大头在稀释制冷与室温控制电子，整机功耗量级约数十千瓦且近似与比特数解耦——这意味着一旦量子加速成立，其单位任务能耗可能远优于消耗兆瓦级功率的经典超算，能效比将成为量子优势的第二个维度。

二者也并非彼此割裂。量子芯片运行高度依赖经典控制电子学、脉冲合成、反馈解码和任务编排系统，因此量子计算机本质上是一种量子—经典混合系统。未来更现实的格局，不是量子芯片全面替代经典芯片，而是二者在不同计算层级上形成分工：经典芯片承担通用控制、数据预处理和容

错管理，量子芯片承担具有量子优势潜力的核心算子。换言之，量子芯片的意义不在于复制经典芯片的成功路径，而在于在更高层次上重塑计算体系结构。

1.2.7 量子芯片的评估标准:量子体积、CLOPS与逻辑错误率

随着量子芯片从实验室样机走向公开比较，单纯使用“量子比特数”已无法准确反映真实能力，因此需要更综合的评估指标。量子体积试图通过同时纳入比特数、连通性、门保真度与可执行线路深度，刻画设备在随机线路任务中的有效计算规模。它的价值在于提醒业界，一个拥有更多比特但误差更大的处理器，未必优于一个比特数较少但可执行更深线路的系统。尽管量子体积并不是适用于所有平台和任务的统一尺度，但它为“综合性能”建立了早期讨论框架。

量子体积的定义本身就是一条“木桶公式”：

$$\log_2 QV = \max_m \min(m, d(m)) \tag{式 1-14}$$

其中 m 为参与测试的比特数，$d(m)$ 为该比特子集上能以合格成功率完成的随机线路有效深度，QV 为量子体积。公式的含义是：在“宽度”与“深度”这对短板变量上取最小值，再在所有规模选择上取最大值。它与式 1-13 存在直接联系：由于 $d(m)$ 受限于累积保真度，近似有 $d(m) \sim 1/(m(1-F_g))$，因此比特数与保真度必须匹配增长，量子体积才会翻倍。代入 $F_g = 0.999$ 可估算出 $\log_2 QV$ 的上限约在 $\sqrt{1/(1-F_g)} \approx 30$ 附近，这解释了为何业界量子体积长期停留在 2^5 至 2^{10} 区间且提升缓慢——瓶颈从来不在比特数，而在双比特门错误率的缓慢改善。

CLOPS，即电路层操作每秒，更强调量子处理器在实际工作流中的吞吐能力，包括线路编译下发、控制执行、测量读出与多次重复采样的整体效率。这个指标之所以重要，是因为许多量子任务并不是单次运行即可获得结果，而需要大量shots来估计分布或优化参数，因此系统级运行效率会直接影响应用可行性。吞吐需求同样可以定量化：量子测量的统计涨落决定了估计一个概率型观测量到精度 ε 所需的采样次数满足

$$\varepsilon \approx \sqrt{\frac{p(1-p)}{S}} \le \frac{1}{2\sqrt{S}} \tag{式 1-15}$$

其中 p 为待估计概率，S 为采样次数，ε 为标准误。要把期望值估计到 10^{-3} 精度就需要 $S \approx 2.5 \times 10^5$ 次重复；若一个变分算法迭代上千轮、每轮测量数百个观测量，总采样量将达 10^{10} 量级。此时系统吞吐直接决定任务是耗时数小时还是数年，CLOPS 由此从运营指标上升为可行性指标。进一步向容错阶段推进时，逻辑错误率则成为更核心的终局指标。只有当随着码距扩大、周期运行增加，逻辑错误率呈可预测下降趋势，量子芯片才真正进入“可累计可靠性”的阶段。由此可见，量子芯片评估正经历从单点器件指标到系统吞吐指标，再到逻辑层可靠性指标的层层上移。

1.2.8 本研究对量子芯片的界定视角

本研究并不把量子芯片狭义理解为某一类物理路线上的裸芯片样品，也不将其宽泛泛化为所有量子硬件的统称，而是采取“系统化量子信息载体”的界定视角。也就是说，凡是能够围绕量子比特的产生、耦合、控制、读出与纠错组织起稳定工程闭环的集成硬件平台，都属于本报告所讨论的量子芯片范畴。这样界定的目的，在于避免过度纠缠不同平台在命名习惯上的差异，同时突出其共同面临的核心问题：如何在真实噪声与制造约束下，把微观量子效应提升为可扩展的计算资源。

在这一视角下，量子芯片的研究不应被割裂为纯物理、纯器件或纯产业话题，而必须放在多层系统演化中理解。其竞争力不仅表现为单比特相干时间或双比特门纪录，更表现为能否向逻辑比特、模块互连、软件栈适配和应用场景闭环持续推进。本章前述各公式实际上已经给出了这一界定的操作化版本：一个合格的量子芯片平台，应当同时在式 1-12 的相干比值、式 1-13 的保真度标度、式 1-9 的纠错压低斜率与式 1-15 的采样吞吐上给出可核算、可复现、可外推的数据链。因此，本报告后续章节将围绕“物理可实现性—工程可扩展性—系统可容错性—产业可部署性”这一主线展开，以建立对量子芯片技术路线和发展路径的整体认识。

1.3 研究意义与价值

量子芯片并非单一行业的局部创新，而是可能重塑未来计算能力边界、信息安全结构、产业组织形态与国家科技竞争格局的基础性技术方向。其研究意义不能仅从现阶段商业化成熟度判断，因为许多底层技术在真正进入规模应用之前，往往已经对科研方法、工程标准和产业资源配置产生深远影响。量子芯片研究的重要性，恰恰在于它同时连接最基础的量子力学问题与最现实的制造、算力和安全问题。也正因此，对其价值的评估必须超越短期市场收益，进入科学、技术、经济、安全与文明演进的综合视野。

1.3.1 科学意义

从科学层面看，量子芯片研究是将量子力学从“解释自然”推进到“重构计算”的关键桥梁。长期以来，量子理论在解释原子、分子、凝聚态和场论现象方面极为成功，但这些规律大多停留在观测与验证层面。量子芯片的出现，使研究者能够在受控环境中主动制备、操控并复用复杂量子态，从而把量子现象从被动对象转化为主动资源。这样的转变不仅有助于验证量子信息理论本身，也为研究多体系统、非平衡动力学、拓扑态和量子热力学等前沿问题提供了新型实验平台。

这种科学价值可以用模拟能力的标度关系加以具体化。求解一个含 n 个自旋轨道的强关联电子体系，精确对角化的经典代价随 n 按式 1-3 的 2^n 增长：$n=40$ 时波函数存储约 16TB 尚可勉强处理，$n=60$ 时即需约 16EB，超过全球数据中心存储总量的现实供给能力。而催化反应活性中心、高温超导模型、固氮酶铁钼辅因子等真实科学问题所需的活性空间普遍在数十到上百轨道之间，恰好落在经典方法崩溃、而数百个高质量逻辑比特即可覆盖的窗口内。换言之，量子芯片对基础科学的意义不是抽象的“更强算力”，而是把一批被指数墙挡在门外数十年的具体科学问题重新拉回可计算范围。

更进一步看，量子芯片研究迫使不同学科之间建立新的共同语言。理论物理需要将抽象模型压缩为可测可控的门级结构，材料科学需要解释噪声源如何在宏观器件中表现为退相干，控制理论与信息论则需要共同处理不完全观测下的稳定反馈问题。其关系并非线性叠加，而是通过具体硬件对象把若干原本相对分离的学术问题耦合起来。正因为如此，量子芯片不仅是一个工程目标，也是驱动基础科学重新组织的一种平台型问题。

1.3.2 技术意义

从技术意义上看，量子芯片推动的是一条不同于经典微电子延续优化的新型硬科技路线。经典芯片工业数十年来主要围绕微缩、架构并行和封装协同持续演进，而量子芯片则要求在极低温、高

隔离、高精度测控和高容错编码条件下重新构造计算硬件。这意味着大量关键技术必须被重新发明或深度重组，例如超低损耗材料与衬底处理、微波与激光控制链路、低温互连、量子测量电子学、实时解码器以及面向纠错的编译运行时系统。其影响不仅限于量子计算主设备本身，更可能外溢到精密测量、低温电子、先进封装和专用控制器件等多个方向。

这些技术要求的苛刻程度可以用几个数字标定：表面码解码器必须在约 $1\mu s$ 的纠错周期内完成对数千个稳定子测量结果的实时推断，其等效算力与延迟约束超过多数经典实时系统；控制脉冲的幅度与相位稳定性需达到 10^{-4} 量级才能支撑 99.99% 的门保真度目标；毫开尔文级低温平台的可用冷却功率仅有微瓦量级，迫使全部片上耗散被压缩十个数量级以上。每一项都在把相应经典技术推向其性能包络的边缘，因此量子芯片研发实质上是一台面向整个精密工程体系的“压力测试机”。

更重要的是，量子芯片把技术评价标准从单纯性能峰值转向系统可靠性与跨层协同。一个量子比特是否可用，不仅取决于器件设计，更取决于制造批次一致性、控制软件自动校准能力、系统运行漂移补偿机制以及与纠错架构的适配程度。也就是说，量子芯片发展要求技术体系从“单点突破”转向“全栈闭环”，这种转向本身就具有方法论价值。它会反过来影响未来复杂系统工程的组织方式，为高不确定性前沿技术研发提供新的工程范式。

1.3.3 经济意义

量子芯片的经济意义首先体现在其可能催生新一代高附加值硬科技产业链。围绕量子处理器，不仅会形成芯片设计、制造、测试与整机集成市场，还会带动稀释制冷机、微波组件、激光系统、低温放大器、EDA工具、量子云平台与行业软件服务等配套产业发展。与许多轻资产数字产业不同，量子芯片具有鲜明的“重装备—强协同—高壁垒”特征，因此一旦形成规模化能力，往往会在设备、工艺、标准与人才上建立较长周期的竞争护城河。其价值不在短期出货量，而在于能否塑造下一代算力基础设施中的高端供给能力。

其次，量子芯片潜在的应用收益具有显著的非线性特征。在药物设计、材料发现、复杂优化、组合金融建模和高精度仿真等方向，哪怕只在部分关键算子上实现可靠加速，都可能在研发周期、资源配置和试错成本上带来成倍变化。这种非线性可以用一个保守的算例说明：新药研发平均周期约十年、单药研发成本以十亿美元计，其中分子模拟与筛选环节若因量子加速将候选空间评估效率提升一个数量级，即便只压缩整体周期的百分之十，按全球医药研发年投入数千亿美元的基数折算，年化价值也在百亿美元量级。因此，量子芯片的经济价值并不一定首先表现为普适消费市场，而更可能先在高价值、强专业、算力稀缺的领域释放。必须看到，这种价值兑现速度可能慢于资本市场早期预期，但一旦进入实用窗口，其产业溢出效应往往更深、更持久。

还应注意到，量子芯片的商业化路径已经呈现出与经典芯片截然不同的形态：算力服务先于整机销售成为主导模式。一台超导量子计算整机的建造成本在千万美元量级，其中稀释制冷机即占百万美元量级，加之运维需要专业团队常驻，绝大多数潜在用户既无必要也无能力自建系统，因此通过云平台按线路执行时间或任务量计费，成为当前几乎所有头部厂商的共同选择。这种服务化形态带来两个结构性后果：其一，量子算力的定价单位从“芯片颗数”变为“有效量子计算时间”，硬件质量的改善可以直接折算为单位时间产出的提升，从而使式 1-13 所刻画的保真度标度第一次获得了明确的商业换算率；其二，云接入把使用门槛压低到一次注册的成本，使算法研究、人才训练和

应用探索可以在硬件成熟之前先行积累，形成“生态先于产品”的独特培育路径。从产业史的角度看，这与早期大型机时代的分时租用模式颇为相似，而后者恰恰孕育了软件产业的雏形。量子算力服务化因此不应被视为过渡期的权宜之计，而更可能是这一产业长期的基本组织形态，其竞争焦点也将相应地从器件参数扩展到调度效率、编译优化与服务可靠性等系统运营能力。

1.3.4 安全意义

量子芯片的安全意义至少包括密码安全、算力主权和关键基础设施韧性三个层面。首先，Shor算法所揭示的密码分析能力意味着，一旦大规模容错量子计算成为现实，现有基于大整数分解与离散对数困难性的主流公钥体系将面临根本性挑战。虽然这一时刻尚未到来，但“先存储、后解密”的安全威胁已经使后量子密码迁移成为现实议题。量子芯片研究因此不是单纯追求新算力，也是在倒逼整个数字社会提前重构信任基础设施。

“先存储、后解密”威胁的紧迫性，可以用密码迁移领域广为引用的时间窗不等式加以形式化：

$$x + y > z \Rightarrow \text{risk} \tag{式 1-16}$$

其中 x 为敏感数据要求保密的年限，y 为完成后量子密码迁移所需的年限，z 为具备密码分析能力的容错量子计算机问世的年限。只要不等式左侧超过右侧，就存在一段数据在保密期内被追溯破解的暴露窗口。代入一组并不激进的参数：政务与医疗数据常要求 $x \geq 25$ 年保密，大型基础设施的密码体系更换历史上普遍耗时 $y \approx 10$ 至 20 年，而多数技术路线图对 z 的估计集中在 15 至 30 年区间——三者叠加后，$x + y$ 达到 35 至 45 年，几乎必然大于 z。这条简单的加法解释了为何各国在量子计算机远未成熟的今天就强制推进后量子密码标准化：对手今天截获的密文，只需在 z 年后解开仍有价值，防御方的时钟从现在就已开始倒计时。

其次，量子芯片是典型的战略性底层技术，其研制能力关系到未来高端算力体系是否受制于人。与通用软件不同，量子芯片涉及材料、设备、工艺、控制与算法多环节耦合，一旦在关键节点形成外部依赖，后续追赶成本极高。对国家与大型产业体而言，自主掌握量子芯片核心能力，不仅是技术竞争问题，更是信息安全、供应链安全和科研主权问题。安全意义因此并非附属价值，而是量子芯片被各国视为战略前沿的重要原因之一。

1.3.5 产业与文明意义

从更长周期的产业与文明演化角度看，量子芯片代表的是一种可能改变人类处理复杂性的方式。经典计算推动了数字化、网络化与智能化浪潮，而量子计算若能在某些核心问题上建立稳定优势，就可能改变我们设计新材料、理解化学反应、优化大规模系统乃至组织科学知识的效率结构。这种改变未必会以“替代一切”的形式出现，更可能像早期电子计算机那样，先在少数关键部门形成压倒性价值，再逐步重构更广泛的社会技术体系。

同时，量子芯片研究也在重塑产业协作模式。它要求基础研究机构、先进制造企业、系统集成商、软件团队与终端应用部门形成前所未有的高耦合创新网络。其意义不仅是多造出一种芯片，更是训练一个社会如何围绕高不确定、长周期、强交叉的重大技术进行持续投入与协同学习。就这一

点而言，量子芯片的价值已超出单项技术本身，而成为衡量一个国家科技组织能力与文明适应能力的重要试金石。

若把时间尺度再拉长，量子芯片还可以被视为人类计算载体第三次大迁移的候选者。第一次迁移把计算从人脑与机械装置转移到电子器件，使运算速度获得约六个数量级的跃升；第二次迁移通过集成电路的持续微缩，把单位算力成本压低了十个数量级以上，使算力从稀缺资源变为普遍基础设施；量子芯片试图完成的第三次迁移，则不再以速度或成本为主要标度，而是以可及问题空间的维数为标度——它要把式 1-3 所刻画的指数维空间纳入可计算范围。这种迁移的价值兑现或许需要数十年，正如晶体管从发明到重构全球产业结构也经历了三十年以上的酝酿期。但历史经验同样提示，载体迁移一旦完成，其影响从不限于替代旧载体的存量任务，而在于催生此前无法被提出的增量任务——电子计算机留给世界的最大遗产不是算得更快的弹道表，而是互联网与人工智能这类发明之初无人预设的新形态。量子芯片若能兑现其载体潜力，真正的回报同样很可能落在今天尚未被想到的问题上，这也是对其价值评估必须保留想象余量的根本原因。

1.4 研究方法论与框架

量子芯片问题之所以难以被单一学科或单一指标充分解释，是因为它同时具有基础科学问题、复杂工程问题、产业组织问题与战略治理问题的多重属性。若仅从物理可行性出发，容易低估制造一致性与系统运维成本；若仅从产业化视角切入，又可能误判其长期技术拐点与基础科学约束。因此，本报告的方法论选择，强调在不同层级之间建立可追溯的分析链条，使概念定义、技术比较、产业判断与战略建议能够在同一套逻辑框架中相互支撑。研究的目标不是给出某条路线的短期胜负结论，而是构造一种足以解释技术演进方向与约束条件的系统分析方法。

1.4.1 研究哲学基础

本报告的研究哲学基础，建立在技术现实主义与系统整体论的结合之上。所谓技术现实主义，是指对量子芯片的判断必须以可验证的物理规律、实验数据和工程约束为基础，既不能被资本叙事放大短期前景，也不能因现阶段困难而否定其长期潜力。所谓系统整体论，则强调量子芯片并不是独立器件，而是由材料、结构、控制、算法、纠错、应用和产业环境共同塑造的复合对象。任何脱离系统上下文的单点优劣，往往都不足以推导其最终竞争力。

在这一哲学基础上，本报告采取“层次分析优先、指标比较从属、演化机制贯穿”的基本原则。也就是说，本文并不先验假定某一技术路线必然获胜，而是考察其在不同发展阶段中如何处理关键矛盾，如何在局部优势与全局约束之间实现平衡。其关系并非线性叠加，而是一个不断重构瓶颈的动态过程。通过这种方法，报告试图避免陷入静态清单式综述，而转向对技术生命力和演化方向的结构性判断。

技术现实主义在操作层面还体现为一条纪律：凡涉及前景判断，必须落到可代入数字的标度关系上。本章已示范这一纪律——用式 1-3 与式 1-4 裁决经典模拟边界，用式 1-5 至式 1-7 裁决算法威胁的类型与时限，用式 1-9、式 1-12 与式 1-13 裁决容错工程的可行域。后续章节将延续同一做法：任何“某路线更有前途”的陈述，都应能被还原为若干参数在标度律中的位置比较，否则只作为待验证假设处理。这条纪律并不排斥定性判断，而是要求定性判断始终携带其定量锚点。

1.4.2 多层次研究框架:物理层-器件层-系统层-应用层

量子芯片的研究必须分层展开，否则不同问题会在讨论中相互混淆。首先是物理层，核心关注量子态载体是否稳定、噪声机制为何、相互作用如何被设计以及门操作可否在物理定律允许范围内实现。其次是器件层，讨论具体量子比特单元、耦合结构、材料工艺、封装与测试方法是否能支撑批量制造和性能复现。第三是系统层，聚焦多比特架构、测控系统、误差抑制、纠错编码、编译运行时与量子—经典协同机制，分析其能否形成可持续运行的平台能力。第四是应用层，考察在化学模拟、优化、密码分析、机器学习或混合工作流中，量子芯片是否能形成真实任务价值。

这一四层框架的关键，不在于人为分割研究对象，而在于建立“自下而上约束、自上而下牵引”的双向关系。物理层决定可实现边界，器件层决定工程成本与一致性，系统层决定有效算力与可靠性，应用层决定资源投入是否具有外部价值回报。任何一层发生瓶颈，都会反向影响其他层级的优先级排序。因此，本报告在后续章节中将反复使用这一分层结构，用以比较不同技术路线的真实成熟度与战略意义。

值得指出的是，四层框架中每一层都有其代表性的定量指标族：物理层对应 T_1、T_2 与噪声谱密度，器件层对应良率、参数离散度与门错误率 p，系统层对应码距 d、逻辑错误率 P_L 与 CLOPS，应用层对应端到端任务时间与单位任务成本。层间的换算关系——如式 1-9 把器件层的 p 换算为系统层的 P_L，式 1-15 把系统吞吐换算为应用层任务时间——正是本框架得以贯通的数学纽带。缺少这些换算关系，分层就会退化为平行叙述；拥有它们，才能回答“底层指标改善一个数量级，顶层能力改善多少”这类真正的决策问题。

1.4.3 多维度分析框架

除层次框架外，本报告还引入多维度分析框架，对不同量子芯片路线进行横向比较。核心维度包括但不限于：相干时间、门保真度、连通性、可扩展性、制造兼容性、低温或环境要求、读出效率、纠错适配性、系统吞吐能力以及产业链成熟度。通过这些维度，可以避免单一指标造成的误导。例如，相干时间长并不必然意味着更优，因为若门速较慢或系统集成困难，最终有效计算深度未必占优；同样，量子比特数较多也不必然代表更强，因为若双比特门错误率偏高，逻辑扩展反而会更困难。

多维度框架的意义还在于揭示“优势并非免费获得”。一条路线在某个维度上的改善，往往伴随其他维度成本的上升，例如更强耦合可能带来更大串扰，更高集成度可能削弱可校准性，更复杂封装可能增加制造难度。因此，本报告不采用简单排名法，而采用“约束—补偿—适用场景”的分析方式。这样才能解释为什么多条量子芯片技术路线得以长期并存，也才能识别它们未来可能的分化方向。

1.4.4 系统动力学视角

量子芯片的发展并不是直线式增长过程，而更接近一个由技术突破、资源投入、标准形成、人才流动与应用反馈共同驱动的系统动力学过程。早期阶段，单个关键实验可能显著提升领域信心并吸引资本与政策支持；中期阶段，规模扩大又会暴露制造良率、运维复杂度和真实应用不足等问题，导致发展节奏出现波动；后期若纠错与系统架构取得稳定突破，则又可能进入新的正反馈循

环。因此，理解量子芯片不能只看某一年的参数纪录，而必须观察其正反馈与负反馈机制如何相互作用。

这类“早期加速—中期受限”的演化形态，在技术扩散研究中常用逻辑斯蒂增长模型近似描述：

$$\frac{dx}{dt} = rx(1 - \frac{x}{K}) \tag{式 1-17}$$

其中 x 为技术能力或采纳规模的度量，r 为早期指数增长速率，K 为当前约束条件所决定的容量上限。该模型的启示在于：早期 $x \ll K$ 时增长近似指数 $x \propto e^{rt}$，容易被外推为永久趋势；而当 x 接近 K 时增速转入平台期，此时真正的战略变量不再是 r，而是能否通过范式更替抬高 K 本身。以此透视量子芯片：物理比特数在过去十年近似按年化数十个百分点增长，但若纠错与互连瓶颈不解，其 K 将被封在数千比特量级；而表面码等纠错架构一旦成熟，相当于把系统从“物理比特曲线”切换到一条 K 高出三个数量级的“逻辑比特曲线”。作为一则可检验的猜想：若逻辑比特数自当前个位数至数十的水平按两年翻一番的保守节奏增长（即 $x(t) \approx x_0 \cdot 2^{t/2}$，与式 1-1 同形），达到密码分析所需的数千逻辑比特约需 15 至 20 年，这与主流路线图对 Z（式 1-16）的中位估计相互印证。

采用系统动力学视角，有助于解释许多表面看似矛盾的现象。例如，一条路线在科研论文中频繁刷新纪录，却未必能形成可复制工程平台；另一条路线虽然短期指标不抢眼，却可能因工艺兼容性和产业协同性更强而在长期占优。其关系并非由单次突破决定，而是由“性能—成本—可靠性—生态”四者之间的耦合反馈决定。正因为如此，本报告在讨论技术路线时，将特别关注其发展惯性、瓶颈迁移和路径依赖特征，而非仅停留在静态参数比较。

1.4.5 具体研究方法

在具体研究方法上，本报告综合采用文献分析、技术路线比较、案例剖析、指标归纳与系统推演五种方式。文献分析用于梳理量子计算理论、代表性实验、公开产业进展和评估指标的演化脉络，确保论述建立在可追溯的学术与产业证据之上。技术路线比较用于从超导、离子阱、光量子、半导体自旋、中性原子和拓扑量子等代表路径中提炼共性与差异。案例剖析则选择若干具有里程碑意义的实验和系统节点，观察其背后的方法论含义，而不仅是纪录数字本身。

此外，指标归纳用于把分散在论文、企业报告和技术演示中的异质数据转化为可比较的分析维度；系统推演则用于讨论不同路线在通往容错通用量子计算过程中的资源需求、时间结构和潜在分岔点。这种组合方法的好处在于，既能保留技术细节，又能形成宏观判断；既避免纯理论推演脱离工程现实，也避免经验罗列缺乏解释力。对量子芯片这样一个仍在快速演化的领域而言，这种方法上的折中与整合是必要的。

需要说明的是，系统推演环节将大量复用本章建立的公式工具箱：资源估算沿式 1-9 与式 1-13 的链条自下而上核算，时间结构沿式 1-17 的增长曲线自外而内校准，威胁窗口沿式 1-16 的不等式做敏感性分析。所有推演结果都将标注其输入参数与置信区间，使读者能够替换假设、重算结论。这种“可重算性”是本报告区别于叙事型行业报告的方法论承诺。

1.4.6 研究路线与创新点

本报告的研究路线，按照“定义问题—建立框架—梳理理论—比较技术—分析演化—评估影响—提出策略”的顺序展开。第一章负责明确概念、背景、意义与方法；第二章界定量子芯片的技术架构基础；第三章回到量子力学与量子信息理论，为后续工程分析建立统一语义；第四章系统拆解六大技术路线及关键技术问题；第五章讨论从NISQ到容错通用量子计算的演化路径；第六章评估产业影响与机会挑战；第七章提出实施层面的约束与应对策略；第八章沉入制造现场，给出从衬底到封装测试的完整工艺链条；第九章则在前述分析基础上总结趋势并展望未来。

本报告的创新点主要体现在三个方面。其一，不以单一路线优劣为核心，而以“量子芯片作为系统化解决方案”展开分析，强调跨层耦合。其二，不仅讨论物理与器件问题，更把纠错、运行时、产业链与安全治理纳入同一逻辑框架，从而避免“技术路线分析”和“产业分析”彼此断裂。其三，强调从物理比特走向逻辑比特的评价重心迁移，把逻辑错误率、可扩展控制与系统吞吐能力视为更具决定性的中长期指标。这种视角有助于校正当前领域中常见的短期参数崇拜。

1.4.7 研究局限性

尽管本报告力求在科学准确性与系统完整性之间取得平衡，但仍需承认若干研究局限。首先，量子芯片领域变化极快，公开数据的时间窗口有限，不同机构对指标定义和测试条件也并不完全一致，因此任何横向比较都带有一定语境依赖性。其次，部分关键工程数据涉及企业内部工艺、校准流程和失效模式，公开信息往往只能呈现结果而非全部因果链条。再次，一些应用价值仍停留在中试或验证阶段，其长期经济性与通用性尚需更多实证支撑。

本章使用的各条估算公式同样存在适用边界，应当明确交代：式 1-9 假定误差独立同分布，真实器件中的关联噪声与泄漏误差会使有效阈值下移；式 1-13 的乘法律忽略了误差间的相干相消与放大；式 1-17 的容量参数 K 本身随技术范式变动，外推超过一个范式周期即失去约束力。因此，本报告中所有代入计算都应理解为数量级论证而非精确预测，其作用是划定可能性空间的边界，而不是给出时间表承诺。

此外，本报告采取的是研究型分析框架，而非投资决策报告或单项工程设计说明，因此不会对具体机构给出短期胜负预测，也不会把尚未被广泛验证的实验结果当作确定性趋势。必须看到，量子芯片的发展受科学发现、供应链突破、政策投入和人才结构等多重因素影响，其未来路径具有明显的不确定性。本报告所能提供的，更适合作为理解技术逻辑和识别关键变量的认知框架，而不是替代现实中的持续跟踪与动态评估。

1.5 报告结构说明

为了避免量子芯片这一高度交叉主题在叙述中失去重心，本报告采取由背景导入、理论奠基、技术拆解、路径推演到影响评估与策略收束的递进结构。这样的安排并非形式上的章节分配，而是试图让读者在概念、原理、路线、应用和治理之间形成稳定的理解链条。第一章作为全书入口，任务不在于穷尽技术细节，而在于回答三个基础问题：量子芯片为何重要、应当如何界定、以及应当用什么方法理解其演化。其后各章则依次展开，从而使整份报告既保持学术严肃性，也具备方案研究报告所要求的结构清晰度。

1.5.1 第一章的功能定位

第一章承担全书的问题提出、概念校准与方法奠基功能。它通过回顾量子计算的发展历程，说明量子芯片并不是凭空出现的新名词，而是经典计算边界、量子算法突破与实验工程积累共同推动的结果；通过界定量子芯片的定义与特征，明确本报告讨论对象并建立评价坐标；通过阐述研究意义与方法论，则为后续章节提供价值判断和分析工具。换言之，第一章的作用不是得出结论，而是让后续结论拥有清晰的问题来源与论证边界。此外，本章还刻意承担了“公式工具箱”的构建功能：式 1-1 至式 1-17 所建立的指数律、幂律与比值判据，将在后续章节反复被引用与细化，构成全书定量论证的公共基座。

1.5.2 第二章 量子芯片技术架构基础理论

第二章将进一步转入量子芯片的技术架构基础理论，重点讨论量子比特、耦合机制、门操作、测量原理、噪声来源和基础系统结构等内容。这一章的作用相当于全书的“工程词典”，它把后续讨论中频繁出现的概念转化为可比较、可推演的技术语言。没有这一层基础，读者很容易把不同路线的术语差异误认为本质差异，或者把局部实验现象误解为普遍规律。因此，第二章将为后续技术路线分析提供统一底盘。

1.5.3 第三章 量子力学理论基础:量子世界观的工程诠释

第三章将回到更底层的量子力学理论基础，但其目标并非重复教材式原理陈述，而是给出面向工程问题的量子世界观诠释。叠加、纠缠、测量、幺正演化、退相干与不可克隆原理等概念，只有在被重新解释为“可计算资源”与“工程约束”之后，才能真正服务于量子芯片分析。该章因此承担理论重释功能，即把抽象物理语言转换为与芯片设计、误差控制和系统架构直接相关的理解框架。

1.5.4 第四章 量子芯片核心技术体系:六大技术路线与关键技术详解

第四章是全书的核心主体之一，将系统展开量子芯片核心技术体系，对超导、离子阱、光量子、半导体自旋、中性原子以及拓扑量子等六大技术路线进行逐一分析。重点不仅在于介绍各路线“是什么”，更在于回答它们“为什么成立”“关键瓶颈在哪里”“扩展路径是否清晰”“与纠错体系是否匹配”。这一章将通过统一的分析维度进行横向比较，从而让读者看到不同技术路线之间既竞争又互补的真实格局。

1.5.5 第五章 演化路径:从NISQ到容错通用量子计算机

第五章将聚焦量子芯片的演化路径，讨论如何从NISQ阶段走向容错通用量子计算机。这里特别强调写作中的NISQ概念，应理解为当前含噪中等规模量子设备的历史阶段，而不是未来终局。该章将围绕误差抑制、纠错编码、逻辑比特构建、模块化扩展、经典协处理与资源估算展开，回答量子芯片为何必须从“展示可行”转向“实现可靠”，以及这一转向将如何重塑技术评价标准与产业竞争逻辑。

1.5.6 第六章 量子芯片的产业影响:机遇与挑战

第六章将把视角从实验室与技术架构延伸到产业影响层面，分析量子芯片可能带来的机遇与挑战。内容将涉及产业链构成、算力服务模式、潜在应用行业、资本与政策驱动、国际竞争格局以及标准体系演进等议题。这一章的重点不在于渲染市场规模，而在于识别哪些环节具有真实进入壁垒，哪些预期可能被高估，以及产业成熟需要哪些配套条件。因此，它将成为连接技术分析与战略决策的重要桥梁。

1.5.7 第七章 实施挑战与应对策略

第七章将进一步聚焦实施层面的问题，讨论量子芯片在现实推进过程中面临的材料、制造、测控、软件、人才、生态和治理挑战，并提出相应的应对策略。对于一项尚处快速演进期的深科技而言，真正决定成败的常常不是“原理是否成立”，而是“能否被稳定实施”。因此，这一章将强调从工程组织、资源配置、标准建设、平台协作和安全治理角度理解技术落地逻辑，使报告不止于描述趋势，而能形成具有操作性的策略视角。

1.5.8 第八章 量子芯片制造工艺

第八章将把前述技术路线与共性技术落到制造现场，系统梳理量子芯片从衬底材料、薄膜生长、图形化加工、约瑟夫森结制备到封装互连与低温测试筛选的完整工艺链条。与第二章的工艺基础和第四章的集成技术不同，这一章以"工艺流程—参数窗口—质量控制"为主线，强调每一道工序如何影响最终的相干时间与门保真度,并讨论良率管理与工艺-性能闭环迭代的工程方法。对读者而言，这一章将回答"一枚量子芯片究竟是如何被制造出来的"这一具体而关键的问题。

1.5.9 第九章 总结与展望

第九章将对全书进行总结与展望，回到量子芯片作为技术解决方案的整体命题，提炼关键判断并讨论未来若干可能的分化路径。它既要收束前文的理论与实证分析，也要对中长期趋势保持开放判断，避免简单给出过度确定的结论。对读者而言，这一章将帮助形成对量子芯片发展阶段、主要矛盾与未来窗口的总体把握。

1.5.9 章节间逻辑关系

从结构逻辑看，本报告各章之间并非简单并列关系，而是遵循“提出问题—解释原理—分析路线—推演路径—评估影响—提出对策—总结前瞻”的连续链条。前一章为后一章提供术语、问题意识与判断边界，后一章则反向检验前一章的概念与框架是否具备解释力。因此，这份报告不是若干材料的拼接，而是一套逐层递进的研究论证结构。只有把这种章节间的逻辑依赖看清，读者才能准确把握每一部分在全书中的位置与作用。

1.5.10 阅读建议

从结构逻辑看，本报告各章之间并非简单并列关系，而是遵循“提出问题—解释原理—分析路线—推演路径—评估影响—提出对策—总结前瞻”的连续链条。若读者希望建立系统理解，宜按章节顺序阅读全文，因为前后章节在概念与判断上具有较强依赖关系；若读者更关心技术路线选择，可在阅读第一、二、三章后重点进入第四、五章；若更关注产业和战略问题，则可在理解前述基础

后重点阅读第六、七、八章。无论采用何种阅读方式，本报告都试图说明一个核心命题：量子芯片的真正难度，不在于单项物理现象的展示，而在于如何把量子规律、工程体系与产业组织整合为一个可持续演化的技术解决方案。

第二章 量子芯片技术架构基础理论

2.1 三大核心支柱概述

量子芯片并不是单一器件尺度上的材料创新，也不是仅靠算法抽象即可独立成立的计算范式，而是由量子比特、测控系统与纠错体系三大核心支柱共同构成的系统工程。三者分别回答“信息存储于何种物理对象”“信息如何被精确操纵与可靠读出”“信息如何在噪声与退相干环境中维持可扩展计算意义”这三个根本问题，其边界清晰却又无法割裂。若只有高质量量子比特而缺少高保真测控，量子态将停留在不可编程的物理演示层面；若只有复杂测控链路而缺少纠错体系，系统规模一旦上升便会被误差积累迅速吞没；若纠错理论脱离具体器件与控制条件，也无法在工程上形成闭环。因此，量子芯片技术的真正难点，并不在于某一项单点指标达到先进水平，更在于三大支柱之间必须形成协同匹配的整体架构。其关系并非线性叠加，而是具有强耦合约束的共演化系统，任何一根短板都会在规模扩展阶段被成倍放大。

这种“短板被成倍放大”的判断并非修辞，而可以用最朴素的保真度乘法关系加以定量说明。若每个量子门的平均保真度为 F，且各次操作误差近似独立，则深度为 N 的线路整体成功概率大致按 F^N 指数衰减。代入当前先进水平 $F = 0.999$、线路深度 $N = 1000$，可得 $0.999^{1000} \approx 0.37$，即整机层面只有约三分之一的运行是完全无错的；而若门保真度退化到 $F = 0.99$，同样深度下成功概率骤降为 $0.99^{1000} \approx 4 \times 10^{-5}$，量子加速在统计意义上已不复存在。这一指数敏感性说明，量子芯片的系统能力对单点误差的依赖是乘性而非加性的，也正因如此，三大支柱中任何一个环节的百分之零点几退化，都可能在千门级任务上转化为数量级的性能损失。理解这一点，是理解本章全部架构讨论的出发点。

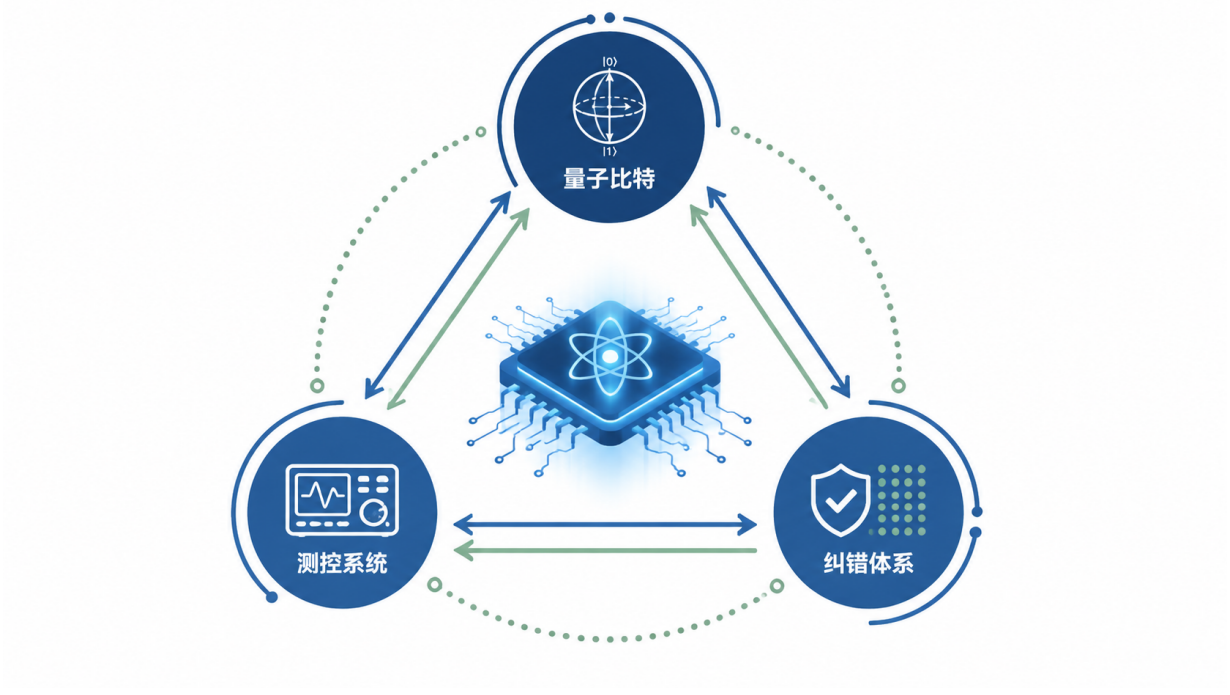


图 2-1 量子芯片三大核心支柱关系图

2.1.1 三大支柱的基本定义与作用边界

量子比特:量子信息的物理载体 量子比特是能够承载、保持并演化量子叠加态与纠缠态的最小物理单元，其实现形式可以是超导电路中的人工原子、离子阱中的内部能级，也可以是自旋体系中的双能级子空间。在量子芯片技术语境下，量子比特并不只是抽象的二能级符号，而是带有频率、非简谐性、耦合强度、退相干时间与加工分布的实体器件。它的核心任务是提供可初始化、可操控、可耦合、可测量的量子态载体，并在门操作期间维持足够长的相干性。从系统视角看，量子比特还必须以阵列形式存在，其频率排布、近邻耦合拓扑与读出资源分配都属于载体定义的一部分，这使得“量子比特”在工程语境下天然是一个批量概念而非单体概念。

量子比特:性能边界与约束来源 量子比特的优劣首先体现在能否满足 DiVincenzo 判据中的基本要求，即可扩展的物理体系、可重复初始化、长相干时间、通用门集以及可区分测量。然而其工程边界不仅由物理原理决定，更受材料缺陷、工艺波动、频率拥挤和寄生耦合共同限制。以当前主流超导 transmon 为例，其通过增大约瑟夫森能 E_J 与充电能 E_C 的比值抑制电荷噪声，但代价是非简谐性下降到约 200 至 300 MHz 量级，导致门操作速度与泄漏误差之间必须权衡。粗略地说，脉冲频谱宽度与门时长成反比，门时长若压缩到 10 纳秒以下，频谱展宽将逼近非简谐性本身，向更高能级的泄漏便不再可忽略。由此可见，量子比特这一支柱的边界在于它负责“能否存下正确的量子态”，却不单独保证“能否持续进行大规模正确计算”。

测控系统:量子态的操纵与读出通道 测控系统是连接经典电子学与低温量子芯片的中介层，承担波形生成、频率合成、脉冲整形、时序同步、信号放大、数据采集与状态判别等任务。对于超导量子芯片而言，室温任意波形发生器、微波源、FPGA 控制器、射频线缆、低温衰减器、环行器、参量放大器以及后端数字解调共同组成一条完整链路。它的本质作用不是简单“给量子比特发指令”，而是在极其狭窄的时间窗和误差预算内，把理想量子门与实际电磁脉冲之间建立稳定映射。这一映射的精度要求极高：对纳秒级脉冲而言，皮秒级的时钟抖动与百分之一以下的幅度漂移都会直接进入门误差预算，成为与器件本征退相干同一量级的误差来源。

测控系统:作用边界与系统代价 测控系统可以提升门保真度、缩短校准周期并扩展并行控制能力，但它不能凭空创造相干性，也无法掩盖器件本征缺陷。当量子比特频率漂移、两能级近似恶化或材料损耗主导时，再精细的脉冲工程也只能部分补偿而非根本消除问题。与此同时，测控系统本身会引入额外代价，包括室温设备体积庞大、低温布线热负载高、串扰通道增多以及控制延迟对实时反馈构成上限。这意味着测控支柱负责“如何精确驱动与读取量子信息”，其边界则在于它必须依托于可制造、可重复的物理器件基础。

纠错体系:对抗退相干的系统保障 纠错体系是量子芯片走向可扩展计算的第三根支柱，其核心使命在于将单次门操作、空闲保持和测量过程中不可避免的局部误差，转化为可检测、可定位、可纠正的离散事件。由于量子态不可克隆且直接测量会导致波函数塌缩，量子纠错并非简单复制备份，而是通过冗余编码把一个逻辑量子比特分布到多个物理量子比特中，再利用辅助量子比特重复提取稳定子综合征。其目标并不是让物理量子比特“无错”，而是让逻辑错误率随码距增大而指数下降，从而建立容错计算的理论与工程通道。

纠错体系:落地条件与边界限制 纠错体系只有在底层器件与测控性能达到一定阈值后才真正有效，这也是表面码受到广泛重视的原因之一。表面码在局域最近邻耦合结构下具有相对友好的实现

条件，其误差阈值通常以约 1% 量级表述，但要实现有意义的逻辑优势，实际门保真、测量保真、泄漏控制、译码吞吐与反馈时延都必须显著优于阈值线。纠错支柱的边界在于它负责“如何让错误变得可管理”，却无法替代高质量量子比特和高精度测控本身。换言之，纠错不是对糟糕硬件的补丁，而是以足够好的硬件为前提、以更高层系统设计为路径的能力放大器。一个直观的推论是：当物理错误率仅比阈值低两三倍时，纠错带来的开销收益比极差，只有当物理错误率被压到阈值的十分之一附近，编码冗余才开始产生数量级意义上的回报，这一定量关系将在下一小节展开。

2.1.2 三者相互依赖关系

三大支柱之间最本质的关系，在于它们共同围绕误差预算与可扩展性展开耦合。量子比特决定误差源的底噪水平，包括弛豫、退相位、泄漏和残余耦合；测控系统决定这些误差在实际操作中被放大还是被抑制；纠错体系则决定剩余误差能否在架构层被吸收。若量子比特的 T1、T2 仅处于过短量级，则门操作时间即便优化到数十纳秒，也无法为多轮稳定子测量留下足够余量；若测控系统的相位噪声与时钟抖动过大，则本征较好的量子比特也会因驱动误差而失去优势；若纠错译码延迟高于综合征循环节拍，则检测到的错误无法在正确时间窗内反馈，系统便会从“可纠正误差”退化为“来不及利用的信息”。

这种耦合关系可以借助表面码逻辑错误率的标度律获得定量表达。在物理错误率 p 低于阈值 p_{th} 的条件下，码距为 d 的表面码逻辑错误率近似满足

$$P_L \approx A(p/p_{\mathrm{th}})^{(d+1)/2} \tag{式 2-1}$$

其中 P_L 为每轮纠错循环的逻辑错误率，p 为物理层综合错误率，p_{th} 为纠错阈值（表面码约为 10^{-2} 量级），d 为码距，A 为量级约 0.1 的拟合系数。这一标度律把三大支柱的贡献压缩到同一个表达式中：量子比特与测控共同决定 p，纠错架构决定 d 与 p_{th}。代入具体数字可以看清耦合的严酷性：若量子比特与测控协同将 p 压到 10^{-3}，即 $p/p_{\mathrm{th}}=0.1$，取 $d=11$，则 $P_L \approx 0.1\times(0.1)^6 = 10^{-7}$，逻辑层已比物理层改善约四个数量级；若继续增大到 $d=25$，则 $P_L \approx 0.1\times(0.1)^{13} = 10^{-14}$，足以支撑千万门级容错算法。反之，若物理错误率仅达到 $p=5\times10^{-3}$，即 $p/p_{\mathrm{th}}=0.5$，同样 $d=11$ 时 $P_L \approx 0.1\times(0.5)^6 \approx 1.6\times10^{-3}$，几乎与物理错误率同量级，投入上百个物理量子比特换来的改善不足一个数量级。这组对比说明：物理错误率相对阈值的裕度，指数级地决定纠错编码的“杠杆率”，任何一根支柱的短板都会通过 p 直接进入指数底数。

这种依赖关系还表现在目标函数的变化上。在小规模原型机阶段，研究重点通常是提升单比特与双比特门保真度，但进入数十至数百量子比特后，关注点必须转向阵列均匀性、可校准性、批量制造一致性以及译码吞吐能力。也就是说，量子比特的“好”不再由单点最优定义，而要看其是否适合集成；测控系统的“强”不再由设备参数堆砌定义，而要看其是否支持并行、复用与自动化；纠错体系的“优”也不再停留在纸面阈值，而要看其是否能在真实噪声模型下稳定工作。以稳定子循环为例，每轮周期通常压缩在 1 微秒量级，其中要完成双比特门序列、辅助比特测量与复位，这要求测控链路的端到端确定性时延同样进入亚微秒区间，而译码器必须以不低于综合征产生速率的吞吐持续消化数据。三者相互依赖的本质，是量子芯片从物理实验走向工程体系时，评价标准由局部性能转向全局闭环能力。

2.1.3 三大支柱的协同演进历程

量子芯片技术的历史演进可以概括为四个阶段，而且每一阶段都对应三大支柱的不同主导矛盾。第一阶段是单比特演示期，其核心任务是证明某一物理体系确实能够实现可控叠加与可重复读出。在这一时期，量子比特本身是绝对中心，研究者更关注能级结构、相干时间和基本操控脉冲，而测控系统主要服务于实验可见性，纠错仍停留在理论可行性与简化实验层面。以超导平台为例，早期电荷量子比特的相干时间仅为纳秒量级，此后经由磁通、相位到 transmon 的器件演化以及材料与屏蔽环境的改善，相干时间以大约每三年一个数量级的速度爬升至今天的百微秒量级，这一“类摩尔”式的经验爬升曲线正是单比特演示期积累的最重要遗产。

第二阶段是多比特集成期，其标志并非单纯增加量子比特数量，而是出现可编程耦合、双比特门和小规模线路执行能力。此时测控系统的重要性快速上升，因为多路同步、频率规划、串扰抑制和重复校准成为系统能否稳定运行的关键。量子比特设计也由“追求单个器件最好”转向“追求阵列整体可用”，工艺均匀性和封装可靠性开始成为与相干时间同等重要的指标。纠错体系在这一阶段虽未全面部署，却开始反向约束芯片拓扑、读出布局和辅助量子比特配置。事实上，正是在这一阶段，二维近邻网格、辅助比特与数据比特交错排布等表面码友好结构，逐渐固化为超导芯片版图的事实标准。

第三阶段可称为优越性验证期，即系统已能在特定受控任务上展示经典计算难以高效复制的量子动力学行为。这里的重点不再是证明某个量子门存在，而是证明一整台机器在规定深度和宽度上可以保持足够高的整体保真度。三大支柱在这一阶段形成第一次真正意义上的工程耦合：量子比特需要批量可用，测控系统需要高度自动校准，纠错思想虽未实现完全容错，却已通过随机线路基准测试、交叉熵基准、误差缓解与泄漏管理等方式渗透到系统运行逻辑中。此阶段暴露出的核心矛盾是：数十比特、二十层左右深度的随机线路要求整机综合保真度维持在百分之几十的水平，而这恰好处于 F^N 指数衰减的临界区间，任何单点指标的松动都会使整机信号淹没在噪声本底之中。

第四阶段则是纠错扩展期，也是当前量子芯片技术竞争的核心。进入这一阶段后，单个物理量子比特性能仍然重要，但更重要的是能否形成连续稳定的错误检测循环、逻辑量子比特寿命提升和可扩展译码反馈闭环。测控系统开始从“实验仪器链”转向“面向大规模阵列的基础设施”，包括低温多路复用、专用控制芯片和近实时译码加速。量子比特设计则必须兼顾高保真、频率可排布、制造一致性和表面码兼容性。这一阶段的标志性验证目标，是随码距增大逻辑错误率确实按式 2-1 预言的方式指数下降，即所谓“越纠越好”而非“越纠越糟”，公开报道的码距扩展实验已经初步跨过这一分水岭。三大支柱由先后接力转向同步推进，这是量子芯片迈向容错时代的根本标志。

2.1.4 面向容错量子计算的三大支柱升级方向

面向容错量子计算，量子比特支柱的升级方向首先体现为从“高相干单器件”转向“可规模化逻辑单元底座”。这意味着不仅要继续提升 T1 与 T2 至百微秒乃至更高量级，更要降低参数离散度、压制频率碰撞并控制两能级以外的泄漏通道。对于超导平台而言，transmon、fluxonium 等方案的比较，不再只是看单点相干时间谁更长，而要看其与二维阵列、读出复用、门实现路径和制造可重复性之间的整体适配关系。fluxonium 以大电感分流换取更大的非简谐性和对若干噪声通道的

钝感，其单比特相干时间在部分实验中已进入毫秒量级，但其磁通偏置需求与更复杂的制备工艺，使其阵列化路径尚需与 transmon 的成熟生态进行系统级对比，而不是单点对比。

测控系统的升级方向，则是从通用实验室仪器堆叠转向专用化、集成化、自动化控制基础设施。未来高通道数系统不可能长期依赖大量分立室温设备与人工校准流程，而必须通过 SoC、FPGA、ASIC、低温电子学和软件编排平台实现大规模波形分发、参数管理和闭环反馈。尤其在稳定子循环场景下，控制链路需要把测量、判决、反馈与下一拍脉冲编排压缩到微秒级甚至更紧的预算内，这要求硬件架构与控制协议共同演进。一个可作粗略参照的推算是：千比特级阵列若沿用每比特两至三根独立同轴线的传统布线方式，将需要两三千根穿越全部温区的线缆，无论冷量还是机械空间都难以承受，因此通道数与线缆数之间的比例关系本身，就是测控升级路线是否成立的硬指标。

纠错体系的升级方向则体现在从“证明可检测错误”迈向“持续压低逻辑错误率”。这不仅涉及更高效的编码方案和译码算法，也涉及错误模型与器件噪声之间的真实匹配。表面码之所以成为主流路线，是因为其在二维局域耦合结构下更适应超导芯片，但要真正实现逻辑优势，仍需解决泄漏错误、相关错误、测量偏置和有限译码时延等问题。与此同时，量子低密度奇偶校验码等高编码率方案正在成为潜在的第二曲线，其单位逻辑比特的物理开销可能显著低于表面码，但对长程连接的需求又反过来向量子比特与测控支柱提出新要求，这再次印证三大支柱的升级从来不是独立事件。因此，纠错支柱未来的竞争焦点并非纸面阈值，而是逻辑量子比特寿命、逻辑门可执行性以及单位经典资源下的译码吞吐效率。

2.1.5 本方案中的三大支柱体现

在本方案的技术组织框架中，三大支柱并非作为并列章节机械展开，而是作为后续系统设计决策的统一坐标系。量子比特支柱将集中体现于超导量子芯片中人工原子、耦合网络、读出谐振器和门操作物理机制的选择；测控支柱则体现于从室温电子学到低温接口的链路设计、时序控制、信号完整性和校准自动化；纠错支柱则体现于对表面码等容错路径的架构预留，包括物理拓扑、读出节拍、反馈链路和经典解码资源配比。这样的结构安排有助于避免把量子芯片误解为单纯的材料工艺问题，或者反过来误解为单纯的算法与软件问题。

更重要的是，本方案强调三大支柱的“同尺度设计”。所谓同尺度，并不是要求三者在每一阶段投入完全平均，而是要求任何局部优化都必须回答它对另外两根支柱意味着什么。例如，提高量子比特耦合强度可能改善双比特门速度，却也可能恶化串扰和频率拥挤；增加读出复用度可以降低布线压力，却可能带来判别串音和动态范围损失；采用更激进的纠错循环节拍可以压低逻辑错误率，却会提高控制器和译码器的实时性压力。本方案因此把三大支柱视为相互校验的设计维度，而不是可独立最优化的三个孤立模块。在具体章节的技术选型中，本方案将反复使用式 2-1 所代表的误差预算视角进行交叉检验：任何一项设计变更，最终都必须折算为其对物理错误率 p、码距可实现性 d 或循环节拍的影响，否则该变更的价值便无法在系统层面被证实。

2.1.6 第四支柱:经典-量子混合软件栈

如果说前三大支柱构成量子芯片的物理与硬件基础，那么经典—量子混合软件栈正在成为越来越不可忽视的“第四支柱”。它覆盖量子指令抽象、线路编译、映射布线、脉冲级调度、参数管

理、运行时反馈、误差缓解、任务编排以及云端接口等多个层次。对于今天尚处于噪声中等规模量子阶段的系统而言，量子程序的有效可执行性并不只由硬件决定，还高度依赖经典软件如何理解硬件限制并把抽象算法转写为底层可运行序列。

这一支柱之所以重要，在于量子芯片的许多能力只有通过软件才能被稳定释放。相同的一组物理量子比特，在不同编译映射策略、脉冲调度策略和误差缓解策略下，实际可完成的任务深度与结果可信度可能相差悬殊。一个常见的经验事实是，未经硬件感知优化的朴素编译可能使线路中交换门数量占比过半，等效于把有效错误率放大数倍，而这与把器件相干时间提升数倍在系统收益上是等价的，软件优化因此是“零制冷成本的相干时间”。更进一步，在容错阶段，稳定子测量数据流、译码输出和逻辑门调度必须嵌入统一运行时框架，经典计算与量子计算之间不再是“前处理与后处理”的松耦合关系，而是以微秒到毫秒级回路紧密互锁的混合执行体系。因此，第四支柱不是对前三者的简单包装，而是把物理硬件能力转换为可持续算力供给的操作系统层。

2.1.7 三大支柱平衡发展原则

量子芯片发展最忌讳的路径，是围绕单一指标展开局部极致优化，却忽视系统约束随规模扩大而重排。平衡发展的第一原则，是任何指标提升都要放入系统误差预算之中考察，而不是孤立看待。例如单量子比特保真度从 99.95% 提升到 99.97% 固然重要，但若读出错误率仍停留在 1% 量级，则稳定子循环中的综合错误率几乎完全由测量项主导，门保真度的改善会被淹没在测量噪声之中，未必能转化为逻辑错误率的显著下降。第二原则，是优先改善制约整体扩展的瓶颈环节，因为量子芯片并不像经典芯片那样能通过简单冗余屏蔽大量器件离散性。

第三原则，是研发节奏必须从“成果展示驱动”转向“平台能力驱动”。前者容易追逐特定实验纪录，后者则更重视重复性、自动化、维护性与可制造性。第四原则，是硬件路线选择必须服务于容错架构，而不能长期停留在单次演示最优。对于超导平台，这意味着器件设计、封装形式、控制协议与译码机制都应围绕二维阵列、局域互连和高频重复测量来规划。所谓平衡发展，本质上不是平均分配资源，而是在不同阶段识别决定下一步跃迁的关键耦合项，使三大支柱始终围绕共同目标同向演进。识别关键耦合项的操作化方法，是把整机指标对各分项指标做敏感度分解：哪一项分指标的单位改善带来的逻辑错误率下降最大，哪一项就是当前阶段的主导矛盾，这种敏感度会随规模与工作点漂移，因而平衡本身是动态的。

2.1.8 小结

三大核心支柱构成了理解量子芯片技术的一组基础坐标。量子比特解决“算力寄托于何种物理对象”，测控系统解决“如何把量子态转化为可控过程”，纠错体系解决“如何让噪声下的计算具备可扩展意义”，而经典—量子混合软件栈则把这些能力整合成可运行的平台。式 2-1 所刻画的指数标度律进一步说明，三大支柱并非松散并列，而是通过物理错误率与码距这两个参数深度纠缠在同一个目标函数之中。后续关于量子比特、测控、制造工艺与混合集成的讨论，都必须回到这一组坐标中理解其定位与边界，只有这样，量子芯片技术方案才不会沦为分散概念的拼接，而能呈现为一个具有内在逻辑的系统工程。

2.2 量子比特体系:物理实现的基础理论

2.2.1 量子比特的本质

量子比特的本质，是在某个可控物理体系中选取两个可分辨且可外部操纵的量子态，作为计算基矢 $|0\rangle$ 与 $|1\rangle$ 的编码空间。与经典比特只能处于 0 或 1 不同，量子比特允许一般态写成叠加形式

$$|\psi\rangle = \alpha|0\rangle + \beta|1\rangle, |\alpha|^2 + |\beta|^2 = 1 \quad \text{(式 2-2)}$$

其中 α、β 为复概率幅，归一化条件保证测量概率守恒。这使得系统不仅具有离散读出结果，更具有连续演化的相位结构。正是这一相位结构，使量子干涉能够在算法中扮演资源角色，也使量子计算不能被理解为经典随机并行的简单扩展。量子比特因此既是信息载体，又是动力学对象，其价值取决于人们能否在噪声环境下精确操控其幅值与相位。

定义内涵:编码空间与可控性 一个可用的量子比特并非任意两能级系统即可承担，而必须同时满足初始化、门操作、耦合与测量的可工程实现性。编码空间之外总会存在更高激发态、旁路模态或环境连续谱，因此“二能级近似”本身就是一种在具体参数区间内成立的有效理论。对于超导量子芯片，这一有效理论建立在非线性电路量子化基础之上，即利用约瑟夫森结提供无耗散非线性，再通过外部电容、电感与腔体模式构造可选择寻址的低能级子空间。量子比特的定义内涵，正是在这样的有效子空间中取得可控制与可隔离之间的平衡。

核心特征:叠加、纠缠与相干演化 量子比特区别于经典信息单元的三项核心特征是叠加、纠缠和相干演化。叠加意味着单个量子比特可以分布在 Bloch 球表面任意方向的纯态上，利用两个实参数即可把式 2-2 改写为几何化的球面参数形式

$$|\psi\rangle = \cos(\theta/2)|0\rangle + e^{i\phi}\sin(\theta/2)|1\rangle \quad \text{(式 2-3)}$$

其中 $\theta \in [0, \pi]$ 为极角，决定 $|0\rangle$ 与 $|1\rangle$ 的布居比重，$\phi \in [0, 2\pi)$ 为方位角，编码两分量间的相对相位，任意单比特纯态与单位球面上的点一一对应，门操作本质上是对该球面状态的幺正旋转。纠缠意味着多个量子比特的整体态不可分解为各自独立态的直积，从而形成经典关联无法完全描述的非局域结构；这种非局域性可以由贝尔型不等式定量检验，在 CHSH 形式下，四组关联函数的组合满足

$$S = E(a_1, b_1) - E(a_1, b_2) + E(a_2, b_1) + E(a_2, b_2) \le 2\sqrt{2} \quad \text{(式 2-4)}$$

其中 $E(a_i, b_j)$ 为两侧分别沿测量设置 a_i、b_j 测得结果的关联期望值。任何定域隐变量理论都要求 $|S| \le 2$，而量子力学允许最大纠缠态达到 Tsirelson 上界 $2\sqrt{2} \approx 2.83$，实验上超出经典上界约 41% 的富余量，正是判定芯片上双比特门确实产生了真纠缠而非经典关联的操作性判据。相干演化则意味着这些相位关系能够在有限时间内被保留并用于计算。若缺失其中任一项，量子比特都只能退化为某种受噪声影响的经典开关，而无法承载量子算法所依赖的干涉资源。

与经典比特的根本区别:状态空间与测量规律 经典比特的状态空间随位数线性扩充，其操作通常可以理解为对确定或概率分布状态的离散更新。量子比特系统则在 n 个量子比特时张成维数为 2^n 的希尔伯特空间，其规模增长的速度远超任何经典存储可以追赶的范围：$n = 50$ 时状态向量已含约

10^{15} 个复振幅，$n=300$ 时 $2^{300}\approx 2\times 10^{90}$，已超过可观测宇宙中原子数目的估计量级 10^{80}。系统演化服从薛定谔方程（下文取约化普朗克常数为 1 的自然单位）

$$i\frac{\partial}{\partial t}|\psi(t)\rangle=\hat{H}|\psi(t)\rangle \tag{式 2-5}$$

其中 $\hat{H}$ 为系统哈密顿量，其本征值给出能级结构，其时间依赖部分即外加控制场。测量则遵循 Born 概率规则并伴随态塌缩。更关键的是，量子态不能在未知情况下被无损复制，这使得容错与信息转发必须依赖编码、测量综合征与受控反馈，而不能依赖经典计算中习以为常的复制冗余。因此，量子计算的“并行性”不在于一次读取得到指数多结果，而在于幺正演化过程中对指数维状态空间的相位结构进行有目的塑形。

理论基础:量子两能级系统、Bloch 球、Rabi 振荡 从形式上看，量子比特可以视为有效哈密顿量 $H=(\omega/2)\sigma_z$ 所描述的两能级系统，而外加谐振驱动会在旋转参考系中诱导绕 x 或 y 轴的受控旋转。Bloch 球图像提供了直观几何表示，使态制备、相位积累与门误差分析能够以旋转角、旋转轴偏差与退相位收缩来理解。Rabi 振荡则是驱动场与跃迁偶极矩耦合后的最基本实验现象：在共振驱动下，从基态出发的激发态布居随时间按

$$P_1(t)=\sin^2\left(\frac{\Omega_R t}{2}\right) \tag{式 2-6}$$

周期振荡，其中 Ω_R 为 Rabi 频率，正比于驱动场幅度与跃迁偶极矩的乘积。通过观测激发概率随脉冲面积变化，可标定 π 脉冲、π/2 脉冲以及驱动失谐对保真度的影响。这一关系直接决定门速度与驱动强度的换算：取典型的 $\Omega_R/2\pi=25$ MHz，完成一次完整翻转所需的 π 脉冲时长为 $t_\pi=\pi/\Omega_R=20$ 纳秒，与当前超导单比特门的主流时长一致；若要把门时长再压缩一半，驱动幅度必须翻倍，而这将同步扩大频谱展宽并加剧泄漏，可见“更快的门”并非无代价可取。虽然这些概念最早来自原子物理，但在超导电路中同样适用，只是对象由天然原子变为人工设计的宏观量子电路。

理论基础:Josephson 结与能级非简谐性 超导量子芯片之所以能够构造量子比特，关键在于约瑟夫森结提供了区别于线性 LC 振子的非抛物势能项。若系统完全线性，其能级将等间距分布，任一共振驱动都会同时激发多级跃迁，难以选出稳定的两能级子空间。引入约瑟夫森非线性后，电路的有效哈密顿量可写为

$$\hat{H}=4E_C(\hat{n}-n_g)^2-E_J\cos\hat{\phi} \tag{式 2-7}$$

其中 $\hat{n}$ 为库珀对数算符，n_g 为门电荷偏置，$\hat{\phi}$ 为结两端超导相位差算符，E_C 为单电子充电能，E_J 为约瑟夫森能。在 transmon 工作区 $E_J/E_C\gg 1$（典型取 50 至 100）下，余弦势可在极小值附近展开为弱非简谐振子，最低两能级间距与非简谐性近似为（能量均以频率单位表述）

$$E_{01}\approx\sqrt{8E_JE_C}-E_C,\alpha\approx -E_C \tag{式 2-8}$$

其中 E_{01} 为量子比特工作频率，α 为相邻跃迁频率之差即非简谐性。代入典型参数 $E_C=250$ MHz、$E_J=12.5$ GHz（即 $E_J/E_C=50$），可得 $E_{01}\approx\sqrt{8\times 12.5\times 0.25}-0.25=4.75$ GHz，非简谐性约为 -250 MHz，与主流 transmon 器件的实测区间高度一致。大比值 E_J/E_C 的物理收益在于电荷色散随该比值指数式压低，使器件对电荷噪声近乎免疫，而付出的代价正是非简谐性被压缩到

E_C 量级：其绝对值仅为工作频率的约 5%，足以在数十纳秒量级门脉冲下区分工作跃迁与更高能级，但又不足以完全忽略泄漏，因此 DRAG 等脉冲整形方法才成为超导控制的重要组成部分。

形式化框架:哈密顿量、噪声通道与保真度 在量化分析中，量子比特通常由系统哈密顿量、控制哈密顿量和环境耦合项共同描述。门操作不再只是抽象矩阵，而是时间有序指数形式的演化算符，其偏离理想目标的部分可分解为相位误差、幅值误差、泄漏误差和相关串扰。当系统与环境纠缠后，单比特自身不再处于纯态，必须改用密度矩阵描述

$$\rho = \sum_i p_i |\psi_i\rangle\langle\psi_i \tag{式 2-9}$$

其中 p_i 为系综中各纯态分量 $|\psi_i\rangle$ 出现的经典概率。密度矩阵的纯度由 $\mathrm{Tr}(\rho^2)$ 度量，对单量子比特满足

$$\frac{1}{2} \le \mathrm{Tr}(\rho^2) \le 1 \tag{式 2-10}$$

上界 1 对应 Bloch 球面上的纯态，下界 $1/2$ 对应球心处的最大混合态。退相干过程在几何上表现为 Bloch 矢量长度收缩、纯度单调下降，因此 $\mathrm{Tr}(\rho^2)$ 是比单一布居数更完整的相干性损失度量。退相干的两条基本通道分别是能量弛豫与相位随机化：激发态布居按指数律衰减

$$P_1(t) = P_1(0)e^{-t/T_1} \tag{式 2-11}$$

其中 T_1 为能量弛豫时间；而叠加态的非对角相干项按 e^{-t/T_2} 衰减，两个时间尺度满足

$$\frac{1}{T_2} = \frac{1}{2T_1} + \frac{1}{T_\phi} \tag{式 2-12}$$

其中 T_ϕ 为纯退相位时间，由此可得 $T_2 \le 2T_1$ 的普适上限；实验中 T_2 接近 $2T_1$ 表明相位噪声已被压制到弛豫极限，反之则提示磁通噪声或光子数涨落等退相位机制仍占主导。实验中通过 Ramsey、spin echo、随机基准测试和量子过程层析等手段估计性能，但最终评价不应局限于单项参数，而应回到特定门集与特定架构中的可用误差预算。把门时长与相干时间联系起来，可得到相干受限的门误差下界估计

$$\varepsilon_g \approx \frac{t_g}{2}\left(\frac{1}{T_1} + \frac{1}{T_2}\right) \tag{式 2-13}$$

其中 t_g 为门时长，ε_g 为单门平均误差。代入当前典型值 $T_1 = T_2 = 100$ 微秒、$t_g = 20$ 纳秒，可得 $\varepsilon_g \approx 2 \times 10^{-4}$，对应门保真度约 99.98%，这解释了为何主流超导平台的单比特门保真度报告值普遍收敛于 99.95% 至 99.99% 区间——它们已经逼近相干时间设定的物理天花板。由此还可外推一个关键的系统量：在误差累积到量级 1 之前，可执行的门数约为 $N \approx 1/\varepsilon_g \approx 5 \times 10^3$，与直接估算 $T_1/t_g = 5000$ 一致。也就是说，裸物理比特只能支撑数千门规模的相干计算，而 Shor 算法分解 2048 位整数需要 10^9 量级以上的门操作，两者之间横亘着约六个数量级的鸿沟，这正是纠错体系不可回避的定量理由：要么把相干时间与门速度的比值再提升六个数量级（在可见的材料与器件路线上没有依据），要么依靠式 2-1 的指数压低机制用码距换寿命，工程上唯一现实的选择是后者。

在量子芯片中的核心地位:一切系统指标的起点 无论测控系统多么先进，纠错算法多么精巧，量子比特始终是所有系统能力的物理源头。门速度取决于其能级结构与耦合强度，读出保真度取决于

其与谐振腔的色散位移，纠错阈值能否跨越也取决于其综合错误率能否被压入有效区间。量子比特因此不像经典晶体管那样只需满足统一开关模型，而更像一个需要在材料、器件、控制和架构多个尺度同时被优化的“脆弱核心”。其核心地位并不意味着其他支柱可从属于它，而是意味着其他支柱的全部设计都必须围绕它的物理限制展开。

挑战与前沿:从高质量单体到可扩展阵列 当前量子比特研究面临的最大挑战，是如何把实验室中表现优异的单器件性能，转化为大规模阵列中的稳定可复现性能。随着数量增加，频率碰撞、杂散模、封装寄生、热光子污染和批量工艺离散性都会放大。前沿方向因此不仅包括进一步延长相干时间，也包括开发更强非线性而又可控的新型超导比特、改进二维与三维集成结构、构建更可预测的噪声模型以及增强器件可制造性。量子比特的竞争，已经从“谁能做出一个好器件”转向“谁能做出一整片可用于纠错的器件生态”。

2.2.2 人工原子与谐振腔量子电动力学 cQED

超导量子芯片的物理语言，越来越多地建立在人工原子与谐振腔量子电动力学，即 cQED 框架之上。所谓人工原子，是指通过超导电路参数设计得到离散能级结构的宏观量子器件，其最低能级可模拟天然原子的跃迁行为；所谓 cQED，则是研究这些人工原子与微波谐振腔、传输线及读出模之间耦合和相互作用的理论与实验框架。它不仅为量子门与读出提供统一语言，也把超导芯片从单器件研究推进到可编排的场—物质耦合系统。

在 Jaynes-Cummings 及其色散近似描述下，量子比特与谐振腔之间既可以交换激发，也可以在远失谐条件下通过频率拉移实现非破坏性读出。对于实际超导平台，人工原子往往并非严格的二能级，而是弱非简谐多能级系统，因此需要采用扩展的 Duffing 振子模型来描述。计及第三能级修正后，色散区中读出腔的频率拉移量由下式给出

$$\chi = \frac{g^2}{\Delta} \cdot \frac{\alpha}{\Delta + \alpha} \tag{式 2-14}$$

其中 g 为比特—腔耦合强度，Δ 为比特与腔的失谐，α 为比特非简谐性。代入典型设计值 $g/2\pi = 70$ MHz、$\Delta/2\pi = 1.3$ GHz、$\alpha/2\pi = -250$ MHz，可得 $|\chi|/2\pi \approx 0.9$ MHz，即量子比特处于 $|0\rangle$ 或 $|1\rangle$ 会使读出腔共振频率相对移动约 2 MHz（2χ），恰好与典型读出腔线宽 $\kappa/2\pi$ 的 1 至 2 MHz 匹配——色散读出的最优信噪比正出现在 $2\chi \sim \kappa$ 附近，这一匹配关系是读出腔设计的首要定量准则。式 2-14 同时暴露了 transmon 的一个固有代价：由于 α 只有 Δ 的五分之一左右，色散位移相对理想二能级模型被显著削弱，设计上必须以更大的 g 或更小的 Δ 补偿，而二者又分别受 Purcell 损耗与直接激发泄漏的约束。cQED 的工程价值在于，它使耦合强度 g、失谐 Δ、腔衰减率 κ 与比特退相干率 γ 这些参数能够被统一纳入设计指标。强耦合区有利于快速信息交换，但过强耦合也会增加 Purcell 损耗和频率拥挤；高 Q 腔体有利于保持光子寿命，却可能拖慢读出速度和复位节拍。

对于量子芯片架构而言，谐振腔并不只是“附属配件”，而是承担多重角色的基础设施。它可以是单比特的读出腔，通过色散位移把量子态映射到透射或反射信号；也可以是耦合总线，在两个或多个量子比特之间中介交换相互作用；还可以是滤波与隔离设计的一部分，用于抑制不希望的辐射通道。随着阵列规模扩大，cQED 设计开始强调频率规划与模式管理，即必须避免大量读出腔、耦合腔和封装模形成不可控杂散谱。由此可见，cQED 不仅是解释实验现象的理论工具，更是量子芯片版图设计、封装设计与系统误差分析的核心框架。

2.2.3 量子门的物理实现

量子门的物理实现，本质上是把抽象线路模型中的幺正变换翻译为具体可执行的时间依赖控制过程。在自然单位下，时不变哈密顿量生成的演化算符为

$$U(t) = \exp(-i\hat{H}t) \tag{式 2-15}$$

其中 $U(t)$ 为幺正演化算符，任何量子门都是通过设计 $\hat{H}$ 的时间轮廓，使有限时长的演化精确落在目标幺正矩阵上；时变控制场下该式推广为时间有序指数，但“门即受控演化窗口”的本质不变。对于超导量子芯片，单比特门通常通过共振或近共振微波脉冲实现，双比特门则依赖可设计的静态或动态耦合机制，使两个量子比特的联合哈密顿量在有限时间内产生目标相位或激发交换。门实现的难点不在于写出理想矩阵形式，而在于如何在有限相干时间、有限非简谐性与复杂串扰背景下，使实际演化尽可能贴近理想目标。

单比特门:微波脉冲驱动的受控旋转 在旋转坐标系中，接近跃迁频率的微波脉冲可实现 Bloch 球上的 x、y 轴旋转，而自由演化或虚拟 Z 门可实现 z 轴相位调整。通过控制脉冲振幅、持续时间和相位，可构成任意单比特 SU(2) 操作。实际工程中，门时间常取数十纳秒量级，以兼顾相干时间利用率与频谱选择性，但过快脉冲会扩大频谱展宽，从而诱发向 $|2\rangle$ 等更高能级的泄漏。以 20 纳秒高斯脉冲为例，其频谱主瓣宽度已达数十 MHz，与 250 MHz 量级的非简谐性之间只剩一个数量级不到的隔离裕度。为抑制这类问题，常采用高斯包络、余弦整形以及 DRAG 校正，通过在正交通道引入导数分量来抵消由弱非简谐性带来的非理想激发，可把泄漏抑制两个数量级左右，使单比特门在 20 纳秒时长下仍能维持 10^{-4} 量级误差。

双比特门:CZ 与 iSWAP 的耦合机制 双比特门是构造纠缠的核心，其实现依赖两个量子比特之间存在可控相互作用。CZ 门通常通过把系统瞬时调到某些避免交叉附近，使 $|11\rangle$ 态相对其它计算基态积累条件相位；iSWAP 类门则更侧重激发在 $|10\rangle$ 与 $|01\rangle$ 子空间中的受控交换。不同门型对应不同硬件偏好：频率可调比特更便于通过磁通脉冲实现快速条件相位，但也更容易引入通量噪声；固定频率比特在相干性和制造一致性上较有优势，却需要依赖更精细的微波驱动或耦合器设计来生成等效双比特相互作用。近年可调耦合器方案的流行，正是为了在“关断”状态下把残余 ZZ 耦合压低到数十 kHz 甚至更低，同时在“开启”状态下提供数十 MHz 的有效耦合以支撑数十纳秒量级的双比特门，其开关比达到三个数量级，是双比特门保真度进入 99.5% 以上区间的关键使能技术。因此，门型选择从来不是孤立问题，而是器件路线与控制难度共同决定的结果。

交叉共振门:固定频率体系的重要路径 在固定频率 transmon 阵列中，交叉共振门成为一种重要方案。其基本思想是在控制比特频率附近，对耦合的目标比特施加驱动，借助两比特间静态耦合与失谐结构，在有效哈密顿量中生成 ZX 项，从而实现受控旋转。交叉共振门的优点在于无需频繁磁通调谐，较适合固定频率架构；但其代价是有效哈密顿量往往伴随 IZ、IX、ZZ 等寄生项，需要通过回声序列、脉冲补偿和标定优化加以抑制。其有效 ZX 强度大致与 g^2/Δ 成正比且对失谐窗口高度敏感，这使得交叉共振架构对制造侧的频率命中率提出了比可调架构更苛刻的要求。正因如此，双比特门性能不仅反映器件耦合质量，也反映控制建模和校准算法的成熟度。

2.2.4 读出机制

量子读出是量子芯片把内部量子态转换为外部可判别经典信息的关键步骤，也是测控与器件耦合最紧密的界面之一。对于超导量子芯片，主流方案是基于 cQED 的色散读出，即在量子比特与谐振腔远失谐条件下，量子比特所处状态会导致读出腔共振频率发生微小偏移。向读出腔注入探测微波后，透射或反射信号的相位与幅度便携带了关于量子态的统计信息。其关键不在于“看到量子态本身”，而在于通过与电磁模式的受控耦合，把不可直接访问的量子信息投影到可放大的经典信号通道。

色散读出:频率拉移与判别窗口 色散区中，有效哈密顿量包含与光子数算符和 σ_z 乘积成正比的相互作用项，表示谐振腔频率会随量子比特的 σ_z 本征值而产生正负拉移，拉移幅度即式 2-14 给出的 χ。若 χ 足够大且探测链噪声足够低，$|0\rangle$ 与 $|1\rangle$ 对应的 IQ 平面分布便可被清晰区分。设计读出时必须平衡多个因素：更强读出功率可以提升单次信噪比，却可能引发测量诱导跃迁；更大腔线宽有助于加快读出，却会降低频率分辨能力；更高色散位移提升可分性，却可能牺牲 Purcell 保护。定量地看，读出时长受 $1/\kappa$ 设定的腔响应时间限制，取 $\kappa/2\pi = 2$ MHz 时腔场建立与泄空的特征时间约为 80 纳秒，加上积分与判决，当前先进系统的单次读出可压缩到数百纳秒并达到 99% 以上保真度，这一时长与稳定子循环 1 微秒量级的节拍预算直接挂钩。因此，读出优化本质上是对信噪比、速度、回扰和复位节拍的多目标权衡。

量子非破坏测量:重复综合征提取的前提 量子非破坏测量并非意味着测量完全不影响系统，而是指被测可观测量在理想条件下可重复获得相同结果，不会因测量过程本身随机翻转。对于超导纠错架构，这一点极为关键，因为稳定子测量要求辅助量子比特和数据量子比特在多轮循环中持续工作。若读出会频繁诱发额外跃迁或长寿命腔内残余光子，则综合征将混入与真实错误无关的伪信号，严重破坏译码效果。由此，量子非破坏性不是读出系统的附加美学，而是纠错体系得以成立的前提条件之一。

参量放大器:JPA 与 TWPA 由于单个读出脉冲中携带的信息极弱——腔内光子数通常只有个位数到十位数量级，对应功率仅约 10^{-16} 瓦量级——室温放大前必须在低温级引入接近量子极限的前置放大器。约瑟夫森参量放大器 JPA 通过非线性泵浦在有限带宽内提供高增益、低附加噪声，适合高保真单通道或少通道读出。行波参量放大器 TWPA 则通过分布式非线性结构在更宽频带上实现增益，典型带宽达数 GHz，可同时服务数十个频分复用的读出通道，更适合多路复用读出架构。二者都不是简单“把信号放大”，而是在尽量少引入噪声的前提下保留量子态映射出的细微信息差异：若首级放大器把系统噪声温度从量子极限的数百毫开推高到数开量级，读出保真度损失将无法由任何后端处理弥补。随着阵列规模扩大，放大链从单器件性能问题上升为读出并行化与系统热负载管理问题。

2.3 测控基础:从室温电子学到低温接口

2.3.1 微波测控链路架构

超导量子芯片的测控链路，是一条跨越室温与毫开尔文环境、同时承载控制与测量双向信息流的分层系统。上行链路负责从经典控制器生成基带或中频波形，经 IQ 调制与频率变换后送入低温芯片；下行链路则把读出谐振器返回的极弱微波信号经低温放大、室温解调与数字积分后转化为量子

态判别结果。其核心并非简单连接设备，而是要在时域、频域与噪声域三个维度同时保持可预测性。任意一个环节的相位漂移、增益波动或反射失配，都可能在门保真和读出保真上表现为可观误差。这条链路横跨的物理条件极为悬殊：从约 300 K 的室温到约 10 mK 的混合腔底板，温度跨越四个半数量级，而信号功率则要从室温源输出的毫瓦量级逐级衰减到芯片端的飞瓦量级，衰减总量通常配置为 60 至 70 dB，其目的正是把室温热噪声光子数压低到低温环境本底以下。这条自室温控制器出发、穿越各温级法兰、终结于芯片键合点又原路折返的完整信号链，其分层结构与各温级的功能划分如图 2-2 所示。

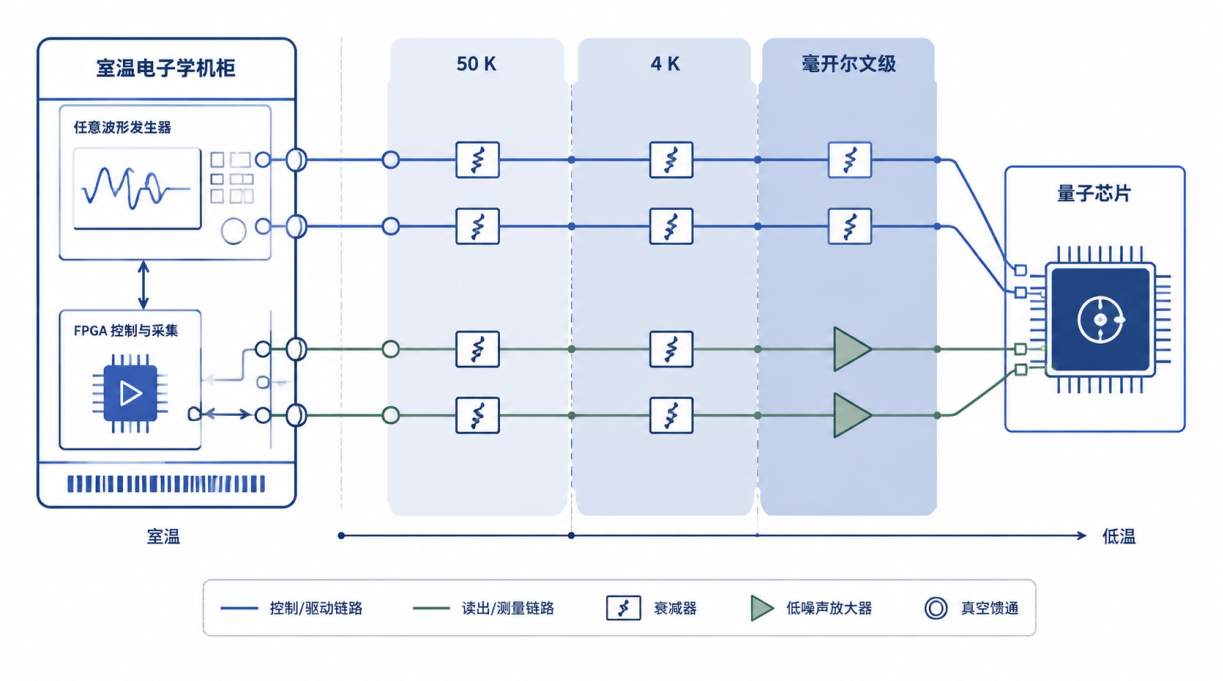


图 2-2 量子测控系统信号链架构

如图 2-2 所示，典型链路包括任意波形发生器、微波本振、IQ 混频器、可编程衰减器、同步时钟、FPGA 触发逻辑以及低温端的衰减器、滤波器、环行器和参量放大器。控制信号沿下行方向逐级被衰减，以消除室温热噪声进入芯片；读出信号则在最前端被低噪放大，以防后续级联噪声淹没态信息。这种“下行重衰减、上行早放大”的不对称设计，本质上是级联噪声系数公式在极低温条件下的直接应用：链路总噪声主要由第一级决定，因此读出链的首级必须是接近量子极限的参量放大器，随后才是 4 K 级的高电子迁移率晶体管放大器与室温放大器。环行器和隔离器在传统方案中用于实现单向传播和阻断放大器回噪，但它们体积大、难集成，也成为未来无磁化、片上集成读出链替代的重要对象。链路架构的设计目标，不仅是一次实验成功，而是长期运行中保持稳定、可校准和可批量复制。

进一步观察图 2-2 可以发现，整条信号链天然分为三个性质迥异的域。最上层是数字域，波形以采样点序列形式存在，误差表现为量化噪声、时钟抖动与调度冲突，其优势是可无损复制与精确重放；中间是室温模拟域，信号以连续微波形式传输，误差表现为混频器非线性、本振泄漏、镜像边带与增益温漂，这一域的非理想性可测量、可建模、可预失真补偿，却无法彻底消除；最底层是低温域，信号进入以毫开尔文为环境温度的量子边界，任何一个无源器件的插入损耗、驻波与热锚

接质量都直接进入误差预算，且降温之后几乎不可调整、不可更换。三个域之间的两道边界——数模转换界面与室温低温界面——正是测控设计的两处咽喉：前者决定波形保真度的理论上限，后者决定噪声与热负载的物理下限。测控架构的历史演化，本质上就是数字域不断向下侵蚀模拟域（直接数字合成取代模拟混频）、低温域不断向上收编室温功能（低温放大、低温复用乃至低温控制芯片）的双向挤压过程，图 2-2 所刻画的正是这一挤压过程当前的平衡断面。

2.3.2 布线瓶颈与信号完整性

量子芯片一旦从单个样品扩展到数十乃至数百量子比特，布线问题就迅速从工程细节上升为体系瓶颈。每增加一个控制或读出通道，往往就意味着额外的同轴线、衰减器、连接器和热负载，而稀释制冷机的冷功率在毫开尔文级极其有限。大量线缆不仅侵占空间，更通过热传导把室温能量不断带入低温级，从而恶化基底温度和激发态热占据。这里的数量级关系值得明确写出:主流稀释制冷机在 20 mK 温级的冷功率仅为约 20 微瓦，在 100 mK 温级约为数百微瓦，而一根从室温直通低温的不锈钢同轴线在最低温级的漏热即可达到微瓦级的可观份额；若按每比特两至三根控制读出线粗略外推，百比特系统需要数百根线缆，千比特系统需要两三千根，冷量与法兰空间在没有复用与低温电子学介入的前提下均会先于量子比特数量触顶。这使得“增加更多通道”不再是线性扩展问题，而变成冷量预算、机械布线密度与电磁完整性共同约束的系统难题。

信号完整性同样是决定可扩展性的关键。高速微波脉冲在长链路中会经历频率依赖衰减、色散畸变、连接反射和通道间串扰，导致芯片端实际波形与控制器生成波形之间存在显著偏差。对单量子比特门而言，这会表现为旋转角误差与相位偏移；对双比特门与读出复用而言，则可能表现为串音、旁带污染和判决边界漂移。以 10^{-4} 量级的目标门误差反推,脉冲幅度的系统性偏差需要控制在百分之一以内、相位需要控制在一度以内,这已经进入线缆温漂与连接器重复性误差的同一量级。因此，现代量子控制越来越依赖传递函数表征、预失真补偿、通道正交化与封装级电磁仿真。其目标不是把链路理想化，而是建立足够精确的模型，使软件可以对硬件非理想性进行反补偿。

把信号完整性问题再向器件层拆解一步，可以识别出三类主导机制及其量级。第一类是频变衰减：同轴线内导体的趋肤深度与频率的平方根成反比，导致数 GHz 载波及其调制边带经历不同的衰减与相移，一个 20 纳秒量级的整形脉冲频谱跨越上百 MHz，经数米线缆传输后包络会出现可观的展宽与拖尾，若不加补偿，脉冲末端的残余驱动会持续旋转量子比特并污染紧随其后的测量窗口。第二类是阻抗失配反射：链路中每一个连接器、衰减器和转接头都是潜在的失配点，即便单点反射系数控制在百分之几，多点反射叠加形成的驻波也会使芯片端等效驱动幅度随频率出现百分之几的起伏，对于依赖幅度精度到千分之一量级的高保真门而言，这一起伏必须通过逐通道传递函数标定折入波形预失真表。第三类是通道间串扰：相邻控制线之间的电磁耦合、共享接地路径的回流串扰以及封装内引线键合的互感，通常要求在比特工作频段内压制到负 40 dB 乃至更低——负 40 dB 意味着邻道会以百分之一的幅度比例驱动非目标比特，恰好落在单比特门误差预算的边缘，这解释了为何串扰矩阵标定与主动串扰消除已成为百比特级系统的标准配置而非可选项。三类机制的共同特征是：单点看都是百分之几的小量，但它们以乘性方式进入 F^N 指数，规模化之后没有任何一项可以豁免。

2.3.3 低温 CMOS 与室温 FPGA 控制器

传统量子实验室大量依赖商用室温仪器，这一模式在原型研发阶段灵活有效，但在大规模系统中会面临体积、功耗、成本与同步复杂度急剧上升的问题。室温 FPGA 控制器因具备确定性时序、并行数字信号处理能力和可编程反馈逻辑，已成为量子测控链的核心部件。它负责触发序列编排、数字下变频、积分判别、脉冲选择以及与上层软件栈的协议衔接，是稳定子循环与实时控制的第一执行层。对其评价标准，不能只看逻辑资源规模，更要看端到端延迟、抖动一致性与可扩展互连能力。对纠错场景而言,从 ADC 采样到判决输出再到条件脉冲触发的完整反馈延迟需要压缩到数百纳秒量级,这只有在 FPGA 上以流水线化的硬件逻辑实现,任何经过通用操作系统的软件路径都会引入不可接受的微秒级抖动。

与此同时，低温 CMOS 电子学正在成为缓解布线危机的重要方向。其基本思路是在 4K 级甚至更低温级放置部分多路复用、数模转换、模数转换或前端控制电路，从而减少必须穿越整个温区的高带宽线缆数量。低温电子学并非简单把室温芯片搬到低温环境中，因为晶体管阈值、电荷迁移率、噪声行为与功耗模型都会发生变化。其价值在于把部分控制复杂度向低温近端迁移，但其挑战同样显著，包括功耗对制冷负载的影响、电磁干扰隔离、长期可靠性和与超导器件共封装的兼容性。这里存在一条清晰的定量红线:4 K 温级的可用冷功率通常在 1 至 2 瓦量级,若低温控制芯片每通道功耗为毫瓦级,则单台制冷机内可支撑的通道数上限即为千级,因此每通道功耗每下降一个数量级,低温电子学路线的可扩展上限就上移一个数量级,这是该方向所有电路设计权衡的总纲。未来量子系统很可能呈现“室温 FPGA 负责全局调度，低温 ASIC 或 CMOS 负责近端驱动与复用”的分层结构。

低温 CMOS 的器件物理值得单独说明，因为它决定了这条路线的真实工程边界。当工作温度降到 4 K 附近，硅中杂质电离不完全带来的载流子冻析、阈值电压整体上移约百毫伏量级、亚阈值摆幅改善与迁移率上升同时出现，器件“更快但更偏”，室温工艺设计套件的模型在低温下系统性失准，因此低温设计必须建立在专门的低温器件表征与建模库之上，全耗尽绝缘体上硅等工艺因沟道静电控制更好、体效应可控而被普遍认为更适合低温场景。噪声方面，低温下热噪声按温度比例下降，但闪烁噪声并不同步改善，反而常成为振荡器相位噪声与偏置漂移的主导项，这直接限制了低温本振与低温数模转换器的频谱纯度上限。功耗方面的推演则给出清晰的代际目标：当前公开报道的低温控制芯片每通道功耗大致处于数毫瓦到十毫瓦量级，对应单台制冷机数百通道的上限；若通过简化波形架构、电荷复用与近阈值设计把每通道功耗压入百微瓦量级，通道上限即可进入万级，才真正与十万物理比特量级的容错原型机需求接轨。也就是说，低温 CMOS 的竞争焦点不是“能否在 4 K 工作”，而是“每通道每纳秒消耗多少焦耳、引入多少附加相位噪声”，这两个比值决定它是布线危机的解药还是新的热负载来源。

2.3.4 校准自动化:参数漂移与闭环校准

量子芯片并不是一次校准后即可长期稳定运行的静态机器，恰恰相反，它对频率漂移、增益波动、环境热光子、磁通偏置变化和封装应力都极为敏感。单比特 π 脉冲幅度、DRAG 参数、读出判别阈值、双比特门相位补偿和谐振频点都会随时间发生缓慢或突发变化。两能级缺陷的随机翻转甚至可能使个别量子比特的 T1 在小时尺度上发生成倍波动,这类“参数天气”现象决定了校准必须是持续过程而非一次事件。若仍依赖人工逐项调参，不仅效率低下，更无法支撑大规模阵列的日常运

行:按每比特每轮完整校准耗时数分钟估算,百比特阵列一次全量校准即需十小时量级,若漂移周期短于校准周期,系统将永远追不上自身的漂移。因此，校准自动化已经从实验便利工具演变为平台级核心能力。

闭环校准的本质，是让系统在“测量—建模—更新参数—再验证”的循环中持续逼近目标工作点。常见方法包括自动 Rabi 扫描、Ramsey 跟踪、AllXY 检查、随机基准测试嵌入式优化以及基于贝叶斯或梯度自由算法的参数搜索。更进一步，面向大规模芯片的校准自动化还必须考虑参数之间的耦合，即某个量子比特的频率修正可能改变邻近双比特门条件，某路读出功率调整可能影响同频复用通道的判别分布。真正可用的自动化体系，不是把人工脚本批处理化，而是建立分层依赖图、优先级调度和异常回退机制，使校准本身也具备工程可维护性。其发展方向是把全量校准拆解为轻量监测与靶向修复两层:用秒级的 Ramsey 与判别直方图哨兵持续感知漂移,只有当哨兵指标越界时才触发局部深度校准,从而把日常维护开销压缩一个数量级以上,这正是校准体系从“实验流程”升级为“运行时服务”的标志。

2.3.5 噪声温度预算:级联放大与热光子管理

图 2-2 所示信号链的上下行两个方向，遵循两条方向相反却同源的噪声管理原则，而这两条原则都可以归结到同一个定量框架——噪声温度预算。对读出方向而言，问题是如何在放大百万倍的同时尽量少地添加噪声；对驱动方向而言，问题是如何在把波形送到芯片的同时把室温热辐射挡在外面。二者共同决定了链路中每一个放大器、衰减器与隔离器的类型、位置和参数，任何器件都不是孤立选型，而是预算表上相互耦合的一行。多级放大链的总体噪声性能由级联噪声温度公式给出

$$T_{\mathrm{sys}} = T_1 + \frac{T_2}{G_1} + \frac{T_3}{G_1 G_2} + \cdots \tag{式 2-16}$$

其中 T_{sys} 为折算到链路输入端的系统等效噪声温度，T_i 为第 i 级放大器的附加噪声温度，G_i 为第 i 级的功率增益。该式的结构决定了一条铁律：后级噪声被前级总增益除低，因此首级的噪声温度几乎单独决定整个链路的品质。代入典型配置即可看清各级的悬殊地位：首级采用行波参量放大器，系统噪声温度约为零点几开量级（5 GHz 处的量子极限约为 0.12 K，实际器件总在其上留有余量），增益取 20 dB 即一百倍；第二级为 4 K 温级的高电子迁移率晶体管放大器，噪声温度约 2 K，经首级增益折算后仅贡献约 20 mK；第三级室温放大器噪声温度约 100 K，经前两级共 60 dB 增益折算后贡献不足 1 mK。三级合计约 0.5 K 量级，与首级自身几乎相同。反过来，若省去参量放大器而让 HEMT 直接面对芯片，系统噪声温度立即抬升到 2 K 以上，比量子极限高出一个数量级以上，单次读出信噪比按比例塌缩，色散读出将从数百纳秒的单发判别退化为需要大量重复平均的统计测量，纠错所要求的实时综合征提取便无从谈起。这就是式 2-16 对读出架构的裁决：接近量子极限的首级放大不是锦上添花，而是容错节拍成立的必要条件。

驱动方向的预算则由热光子占据数主导。处于温度 T 的耗散元件向频率 ω 的模式辐射的平均光子数遵循玻色—爱因斯坦分布

$$\bar{n}(\omega, T) = \frac{1}{\exp(\hbar\omega / k_B T) - 1} \tag{式 2-17}$$

其中 $\bar{n}$ 为该模式的平均热光子占据数，$\hbar$ 为约化普朗克常数，k_B 为玻尔兹曼常数。对 5 GHz 的读出腔而言，特征温度 $\hbar\omega/k_B \approx 0.24$ K：室温 300 K 下 $\bar{n} \approx 1250$，即室温端每个模式携带上千个

热光子；而在 10 mK 环境中 $\bar{n}$ 按指数压低到 10^{-10} 量级，实际系统受线缆漏热与衰减器热化质量限制，芯片端可实现的残余占据通常在 10^{-3} 至 10^{-2} 量级。把室温的约 1250 个光子压到 10^{-3} 以下，所需衰减约为 60 dB，这正是 2.3.1 节所述 60 至 70 dB 总衰减配置的定量出处。但衰减不能集中一处：衰减器在吸收上游噪声的同时会按自身物理温度重新发射热光子，因此必须把总衰减拆分到 4 K、100 mK 与 20 mK 各温级分级布置，让每一级发射的噪声再被下一级衰减，最末级衰减器与混合腔底板的热锚接质量因而成为决定残余占据的最后一环。残余热光子的危害并不抽象：读出腔内 $\bar{n} \approx 10^{-3}$ 的涨落光子经色散耦合调制量子比特频率，所致退相位时间与百微秒量级的本征 T_2 已属同一量级，也就是说，衰减配置每差 10 dB，热光子退相位就可能上升为主导退相干通道。噪声温度预算由此把“链路设计”与“相干时间”这两个看似分属测控与器件的话题，锁定为同一张预算表的上下两行。

2.3.6 时钟分发与相位噪声的误差折算

当系统从数个通道扩展到数百个通道，时钟与本振不再是仪器背板上的一根参考线，而成为与冷量、布线同等级别的基础设施。量子门的定义本身就依赖相位参考：单比特门的旋转轴由驱动脉冲相对本振的相位决定，双比特门的条件相位要求两个通道的载波相位在纳秒时间窗内保持确定关系，稳定子循环则要求全阵列的测量窗口按统一节拍对齐。任何通道间的时钟偏差、任何脉冲与脉冲之间的相位随机游走，都会以旋转轴偏差的形式直接写入门误差。时钟抖动对门误差的贡献可以用一个简洁的折算关系估计

$$\varepsilon_{\mathrm{clk}} \approx (2\pi f_{01}\sigma_t)^2 \tag{式 2-18}$$

其中 f_{01} 为量子比特工作频率，σ_t 为时序抖动的均方根值，$\varepsilon_{\mathrm{clk}}$ 为由此引入的门误差量级，其物理图像是抖动经载波频率放大为相位误差、再按小角度平方进入误差预算。代入 $f_{01} = 5$ GHz 与当前优质时钟树可实现的 $\sigma_t = 100$ 飞秒，得 $\varepsilon_{\mathrm{clk}} \approx 10^{-5}$，比 10^{-4} 量级的门误差预算低一个数量级，尚属安全；但若抖动恶化到 1 皮秒，误差贡献即抬升至 10^{-3}，反超器件本征退相干成为主导项。这一平方标度给出的工程结论十分明确：微波量子控制的全链路时序抖动预算必须锁定在百飞秒量级，这已经接近高端时钟分发芯片的物理极限，因此大规模系统普遍采用“单一低相噪主时钟加树状再生分发”的架构，并把关键通道对安排在同一分发节点之下，使共模相位噪声在双比特门的相位差中自然对消。

除随机抖动之外，确定性的相位误差同样需要系统性管理。IQ 混频方案中本振泄漏与镜像边带会在目标频率之外产生寄生驱动，其抑制依赖对 IQ 幅度失衡与相位偏差的精细校正，且校正参数随温度以小时尺度漂移；多台波形发生器之间的触发对齐存在采样周期量级的固有量化，需要通过亚采样延时线或数字相位旋转补齐；跨机柜的长距离参考分发则会引入随昼夜温度变化的相位缓漂。这些确定性项的共同点是可测量、可建模、可补偿，因此它们最终都被吸收进 2.3.4 节所述的闭环校准体系，由轻量哨兵持续跟踪。时钟与相位管理由此呈现出与噪声温度预算相同的结构：随机部分靠架构与器件压制底噪，确定性部分靠校准闭环持续修正，两者共同保证图 2-2 中数百条并行通道在纳秒时间窗内表现得像一台单一仪器。

2.4 制造工艺基础:超导量子芯片的微纳加工

2.4.1 材料体系:铝、铌、钽与界面损耗

超导量子芯片的性能上限，往往并不首先由线路设计图纸决定，而是由材料与界面中那些难以直接观测的微观损耗机制决定。当前主流材料包括铝、铌与钽，其中铝因氧化形成稳定隧穿势垒、工艺成熟且适配约瑟夫森结制备，长期占据核心地位；铌具备较高临界温度与成熟微波工艺，常用于谐振器、接地与封装导体；钽则因部分实验中展现出更低表面损耗而受到广泛关注。不同材料的差异，不能只以“谁更超导”来概括，而要看其氧化层、晶界、表面粗糙度与污染吸附如何共同作用于介质损耗和两能级缺陷。一个有用的换算关系是:量子比特的弛豫时间与其有效品质因子的关系为 $T_1 = Q/\omega$,对 5 GHz 器件而言,$T_1 = 100$ 微秒对应 $Q \approx 3 \times 10^6$,而 T_1 要进入毫秒量级则要求 Q 逼近 3×10^7,这意味着全部界面参与损耗的加权和必须被压到 10^{-7} 量级以下,材料工程的每一步都要以这一预算为标尺。

在量子芯片中，界面往往比体材料更关键。金属—空气、金属—基底、基底—空气三类界面都会承载电场参与比，若这些区域存在非晶氧化物、残余光刻胶、等离子损伤或吸附分子，就可能形成两能级系统缺陷并吸收微波能量，进而缩短相干时间。这些界面层的厚度通常只有数纳米,电场参与比合计不过千分之几,却往往贡献总损耗的主要份额,因为非晶氧化物的本征损耗角正切比晶体基底高出数个数量级。近年相干时间进入百微秒量级后，单纯追求更复杂版图已不足以继续提升性能，制造路线必须转向界面工程，包括更温和的刻蚀、原位清洗、表面钝化与更洁净的沉积流程。钽膜器件将相干时间推入数百微秒区间的报道,正是通过更稳定的表面氧化物与更少的缺陷态印证了这一逻辑。材料体系的竞争，本质上是对“如何降低看不见的损耗”的持续攻坚。

2.4.2 结制备:双角度蒸发与结电阻均匀性

约瑟夫森结是超导量子比特非线性的来源，其尺寸虽小，却对芯片频率分布、非简谐性和门条件有决定性影响。当前广泛采用的工艺之一是基于电子束曝光与双角度蒸发的 Al/AlOx/Al 结制备方法，通过悬空桥结构在两次不同角度金属沉积之间形成自对准重叠区，再经受控氧化生成势垒。该工艺成熟、可实现较高质量的小面积结，但也高度敏感于曝光剂量、显影形貌、蒸发角度、氧化压力与时间稳定性。结的隧穿势垒厚度仅约 1 至 2 纳米,氧化层厚度的原子尺度涨落即可造成结电阻的百分级波动,这是均匀性问题的物理根源。

在多比特阵列中，结电阻均匀性直接决定约瑟夫森能 E_J 的分布，进而影响量子比特频率散布与双比特门可排布性。这一传导链可以定量化:由 E_J 与结电阻成反比及式 2-8 的平方根关系可得,频率相对散布约为结电阻相对散布的一半,即 $\delta f_{01}/f_{01} \approx \delta R/(2R)$。代入当前工艺典型的 2% 结电阻离散度与 4.75 GHz 工作频率,片内频率散布约为 1% 即 50 MHz 量级,已与固定频率架构要求的频率规划窗口同量级;若要把频率命中精度提升到 10 MHz 以内,结电阻控制必须进入千分之几的水平,或者引入激光退火等制备后修调手段对个别偏离器件进行靶向校正。若同片离散度过大，频率规划将更加困难，可能引发碰撞、死区或只能依靠过强补偿来维持门性能。因此，制备挑战不只是“把结做出来”，而是把数十上百个结做得足够一致。为实现这一目标，工业化趋势正在推动更严格的过程监控、片内测试结构、统计工艺控制以及替代性结工艺探索。结制备精度，已经成为量子芯片由研究样品走向制造平台的关键门槛之一。

2.4.3 三维集成:倒装焊、硅通孔 TSV 与空气桥

随着量子芯片规模扩大，传统平面布线方式会同时遭遇互连拥堵、寄生模增多和接地连续性不足的问题，因此三维集成成为重要方向。平面路由的几何极限很直观:二维阵列内部比特的引线必须穿越外圈比特的领地,可引出的通道数只随芯片边长线性增长,而待连接的器件数随面积平方增长,规模一旦超过数百比特,纯平面方案在拓扑上即告失效。倒装焊通过微凸点把量子芯片与中介层或控制/读出芯片面对面连接，可缩短互连路径、改善地参考并为更高 I/O 密度提供空间。硅通孔 TSV 则允许信号和地线垂直穿过基板，从而释放平面边缘引线的压力，更适合大阵列布局。空气桥则用于跨越平面导线、抑制槽线模并维持超导地平面的连续性，是微波完整性和寄生模控制中的关键结构。

三维集成的价值不仅在于“塞进更多连线”，更在于重新组织电磁环境。量子芯片对封装模极为敏感，任何腔体共振、接地断裂或机械缝隙都可能成为额外损耗与串扰源。封装腔体的最低模式频率与其线尺寸成反比,厘米级空腔的基模已落入数 GHz 的比特工作频段,因此大尺寸封装必须通过缩小腔体、密布接地过孔与凸点把杂散模推到 10 GHz 以上的安全区。采用三维集成后，设计者必须同时处理热膨胀匹配、超导接触可靠性、机械应力、微凸点电感以及封装可维修性等问题。铟凸点因低温延展性与超导性成为主流选择,但键合工艺引入的应力与高度不均仍会转化为比特参数的额外离散。也就是说，三维集成并不是传统先进封装概念的直接平移，而是要在极低温、极低功耗和极高相位敏感条件下重建一套新的封装工程学。

2.4.4 良率与参数靶向

对于实验室原型机而言，只要少数几个器件达到预期即可支撑论文结果；但对于量子芯片平台而言，真正决定可扩展性的指标是整片良率与参数命中率。良率不仅指器件是否导通、谐振器是否可见，更指量子比特频率、耦合强度、读出腔位置和结电阻是否落在架构预定窗口内。若大量器件偏离靶值，即使单器件相干时间很高，也可能因无法排布有效门集而降低整机可用性。简单的乘法估算足以说明其严酷性:若单比特落入靶窗的概率为 99%,百比特芯片全部命中的概率为 $0.99^{100} \approx 0.37$,千比特芯片则跌至 $0.99^{1000} \approx 4 \times 10^{-5}$;要让千比特整片命中概率过半,单器件命中率必须达到 99.93% 以上。这一指数关系与式 2-1 的逻辑同构:器件良率与门保真度一样,都是被系统规模指数放大的量。量子芯片由此呈现出与先进逻辑芯片相似却又更苛刻的制造特征:不是功能正确即可，而是参数必须“落点正确”，或者架构必须内建绕开坏点与偏点的冗余映射能力。

参数靶向要求设计、仿真、工艺和测试形成闭环。设计阶段需要考虑统计容差而非理想值，工艺阶段要通过监控结构和过程控制压缩波动，测试阶段则要把频率、Q 值、结电阻与失效率快速反馈到设计数据库。室温下的结电阻普测在此扮演关键角色:由于 E_J 可由结电阻直接推算,室温电学测试即可在不降温的条件下预测量子比特频率,从而以极低成本实现整片筛选与修调决策,这是量子制造中少有的“廉价可观测量”。未来更成熟的量子芯片制造，很可能走向类似 PDK 的工艺平台模式，即用受控元件库和统计模型指导架构设计。只有当良率与参数靶向能力同时提高，量子比特数量扩展才不会把系统拖入“数量上升、可用率下降”的悖论。

2.5 经典-量子混合计算集成架构

2.5.1 混合架构的必要性

量子计算并不是经典计算的替代物，而是一种必须嵌入经典控制、经典编译和经典后处理之中的专用加速范式。之所以必须采用混合架构，一方面是因为量子比特本身无法承担大规模稳定存储、条件分支与复杂控制流，另一方面也是因为当前与可见未来的量子硬件仍处于高噪声、强约束环境中，需要经典系统持续承担初始化、调度、误差分析与结果验证。即便进入容错时代，量子核负责的是相干演化与逻辑门，而任务拆分、资源分配、译码反馈和数据管理仍离不开经典计算支撑。资源配比上的不对称也说明了这一点:按式 2-1 的估算,一个 $d = 11$ 的表面码逻辑量子比特需要 $2d^2 - 1 = 241$ 个物理量子比特,千逻辑比特机器对应约 2.4×10^5 个物理比特,而支撑它们的测控通道、译码算力与数据管道全部是经典资源,经典部分的工程体量将数倍于量子芯片本身。

从应用流程看，量子程序通常要经历问题表示、线路生成、硬件映射、脉冲下发、重复采样、误差后处理和结果解释等多个步骤，其中只有中间一段真正发生在量子芯片上。这意味着量子加速若要形成可用服务，就必须与经典软件和计算基础设施深度耦合。对于变分量子本征求解、量子近似优化等算法，经典优化器与量子测量环节更构成迭代闭环，二者任何一侧效率低下都会使整体收益消失。以变分算法为例,单次能量估计往往需要 10^4 至 10^6 次采样,优化器再乘以数百轮迭代,端到端耗时几乎完全由“采样吞吐乘以通信往返”决定,量子芯片的门速度反而不是首要瓶颈。因此，混合架构不是过渡性妥协，而是量子计算作为系统技术的基本形态。

2.5.2 量子指令集与编译栈

量子芯片要成为可编程平台，必须在算法描述与物理脉冲之间建立多层抽象。最上层是量子线路或高级语言表示，中间层是与硬件相关的门集、布局与调度表示，最底层则是脉冲序列、触发时钟和测量判决参数。量子指令集的作用，在于定义硬件可接受的操作语义，例如单比特旋转、双比特受控门、测量、复位与条件反馈。与经典 ISA 不同，量子指令集既受哈密顿量约束，也受相干时间和串扰预算限制，因此它不是稳定不变的接口，而是随着器件路线与控制能力共同演化。

编译栈的关键任务包括初始布局、门分解、耦合图映射、交换门插入、时序调度和误差感知优化。对超导二维阵列而言，最近邻约束通常要求大量逻辑相邻但物理不邻近的门通过交换路径实现，因此编译器必须在深度、保真度和资源占用之间做权衡。这一代价可以粗算:在 n 比特二维网格上,随机一对比特的平均曼哈顿距离约为 $\sqrt{n}$ 量级,每步交换需三个双比特门,百比特阵列上一次远程双比特门平均要付出二三十个物理双比特门的开销,若双比特门误差为 5×10^{-3},仅此一项就贡献约 10% 的失败概率,这正是编译器布局优化直接决定算法成败的原因。进一步向下，脉冲级编译还需处理串行/并行冲突、频率碰撞、共享本振资源与测量窗口对齐。真正成熟的编译栈，不仅要把“程序变成可执行”，更要根据实时校准数据与器件健康状态动态调整执行方案，使软件抽象能够追踪硬件真实能力边界。

2.5.3 实时反馈与纠错解码的时延约束

一旦量子计算进入中途测量、主动复位和纠错循环阶段，实时反馈就成为系统成败的决定因素。对于表面码等方案，稳定子测量需要按固定节拍周期性执行，每一轮都生成大量综合征比特，

经典系统必须在下一轮或有限若干轮内完成判决与必要控制。若反馈链路过慢，即使测量本身可靠，得到的信息也会错过最有价值的纠正时机。当前工程讨论中，表面码相关解码与反馈常被压缩在微秒级预算内，这是因为超导量子比特的相干时间虽然已达百微秒量级，但连续纠错循环会迅速消耗这一时间窗口。

这里的数量关系可以算得很具体。设稳定子循环节拍为 1 微秒,一个 $d = 11$ 的逻辑量子比特每轮产生约 $d^2 - 1 = 120$ 个综合征比特,数据速率约为 1.2×10^8 比特每秒;千逻辑比特系统的综合征总流量随之达到 10^{11} 比特每秒量级,相当于每秒十几 GB 的持续数据流,必须在产生地附近被实时消化而不可能整体上传。译码时延同样刚性:一个逻辑操作约消耗 d 轮循环即 11 微秒,若译码器吞吐低于综合征产生速率,积压队列将以每秒百兆比特的速度增长,系统在毫秒内就会失去反馈时效。由此推出的架构结论是,逻辑时钟频率大致为 $1/(d \times 1)$ 微秒即百 kHz 量级,比物理门速率低两个数量级以上——容错的代价不仅是比特数的两个数量级,还有速度的两个数量级,这一双重开销必须由算法层的量子优势覆盖。

时延约束的来源不仅是计算量，更是数据搬运与协议切换。综合征从 ADC 输出到 FPGA 积分判决，再到译码模块决策、反馈触发和下一拍脉冲选择，每一步都增加固定开销。因此，量子纠错的经典部分不能完全依赖高层通用服务器，而需要专用硬件路径与高度确定性的执行模型。未来若逻辑量子比特规模继续扩大，译码器还需在吞吐量和最短路径之间权衡，可能采用分区译码、近似译码或硬件加速器方案。时延预算由此成为连接量子物理与经典体系结构的硬约束，而非单纯软件优化问题。

2.5.4 云接入与调度

量子计算平台的使用方式，越来越多通过云接口而非本地直连实验台完成。云接入的意义不仅在于远程共享昂贵硬件，更在于把用户任务提交、资源排队、版本管理、校准状态感知和结果归档纳入统一调度框架。对于量子芯片平台提供方而言，云调度需要回答多个问题：哪些任务适合当前硬件健康状态，何时插入重校准，如何隔离不同用户实验对系统漂移的影响，以及如何在基准测试、内部维护与外部作业之间分配稀缺机时。量子云因此不是普通 HPC 队列系统的简单复制，而是与校准、噪声表征和硬件可用性深度耦合的运行平台。

随着混合架构深化，云调度还必须支持更细粒度的编排。某些任务只需线路级执行，某些则需要脉冲级访问，纠错实验甚至需要保留实时反馈权限和原始综合征数据接口。平台方必须在开放性与稳定性之间找到边界，使外部用户能够利用硬件真实能力，同时避免对基础校准和安全策略造成破坏。更进一步，跨地域云接入会放大网络延迟，广域网络单程延迟即达数十毫秒,与微秒级反馈预算相差四个数量级,因此所有需要亚毫秒反馈的控制闭环都必须留在本地控制平面，云端更适合承担批任务管理、数据分析和编译优化。这实际上给出了混合系统的时延分层法则:微秒级闭环放在 FPGA 与专用译码硬件,毫秒级参数更新放在本地服务器,秒级以上的任务编排与数据服务放在云端,三层各司其职且不可互相越位。量子云的成熟，标志着量子芯片不再只是实验装置，而开始成为可运营、可共享、可服务化的计算基础设施。

2.6 本章总结

第二章围绕量子芯片技术架构的基础理论，建立了从物理载体到系统集成的分析框架。首先，量子比特、测控系统与纠错体系构成量子芯片的三大核心支柱，前者决定量子信息能否稳定存在，中者决定量子态能否被精确操纵与读出，后者决定误差能否被限制在可扩展计算所需范围内，而经典—量子混合软件栈则逐渐形成第四支柱，把硬件能力转化为可运行平台。其次，从量子比特本质、cQED 框架、量子门实现与色散读出机制可以看到，超导量子芯片并非单一元件的堆砌，而是能级工程、微波工程与量子测量理论共同作用的结果。

本章的一组定量关系为全书后续论证提供了公共基准:式 2-2 至式 2-5 给出量子信息的态空间与动力学语言,式 2-7 与式 2-8 把 transmon 的频率与非简谐性锚定在 E_J、E_C 两个可制造参数上,式 2-11 至式 2-13 则把相干时间、门时长与门误差连成一条换算链——典型的 100 微秒相干时间与 20 纳秒门时长对应 2×10^{-4} 量级门误差与约五千门的裸相干计算容量,而式 2-1 说明只有当该误差相对阈值留出一个数量级裕度时,纠错才能以指数杠杆把逻辑错误率压向 10^{-7} 乃至更低。这条从材料参数到逻辑错误率的定量链条,是后续章节评估任何器件改进、控制优化或架构调整的统一尺度。

进一步地，测控体系与制造工艺揭示了量子芯片工程化的真正挑战不在“是否可行”，而在“是否可规模、可重复、可维护”。从室温电子学到低温接口的链路设计决定了门与测量能否稳定闭环，布线、信号完整性、低温电子学和自动校准则决定了系统能否跨越原型验证进入平台化运行。与此同时，材料与界面损耗、约瑟夫森结均匀性、三维集成与参数靶向良率又构成了器件扩展的底层边界。最后，经典—量子混合架构说明，量子芯片从来不是孤立芯片，而是嵌入编译、反馈、译码和云调度体系中的专用计算节点。后续章节在展开纠错、集成封装与产业路线时，都将以前述基础理论为共同前提。

第三章 量子力学理论基础:量子世界观的工程诠释

3.1 叠加原理与量子比特设计

量子力学进入芯片工程之后,最容易被误读的概念就是叠加。经典电路中的“0”和“1”对应两种可以被稳定区分的物理状态,设计者关心的是阈值、电平、噪声容限与时序裕量;而量子比特所承载的信息并不是这两种状态的简单切换,而是它们在复数概率幅意义下的线性组合。也就是说,量子比特并非同时“装着很多经典答案”,而是在演化过程中保留了多个计算路径的相干关系,这些路径之间能够发生相长或相消干涉,从而改变最终被测得某一结果的概率分布。对于芯片工程而言,叠加的意义不在于神秘性,而在于它把信息表示从“离散状态存储”扩展为“连续态空间控制”,使器件设计目标不再只是区分状态,更是精准塑造状态在希尔伯特空间中的轨迹。这一转变的深远后果是,量子芯片的设计语言必须同时容纳离散逻辑与连续模拟两种范式:门序列在抽象层是离散的,但每一个门在物理层都是一段连续波形驱动下的哈密顿量演化,其误差不是“对或错”的二值判断,而是态矢量偏离目标轨迹的连续几何量。

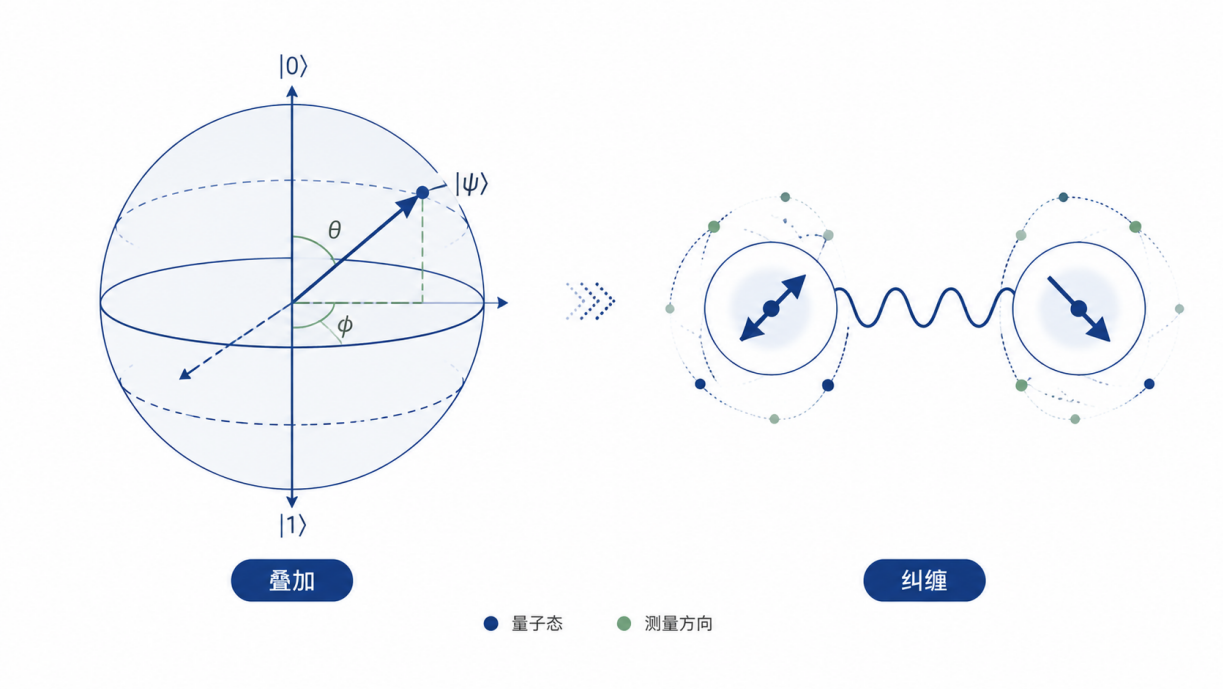


图 3-1 布洛赫球与量子纠缠示意

3.1.1 叠加的基本原理

从形式上看,单个量子比特的纯态可以写为基态与激发态的复线性组合,并满足归一化条件:

$$|\psi\rangle = \alpha|0\rangle + \beta|1\rangle, |\alpha|^2 + |\beta|^2 = 1 \quad \text{(式 3-1)}$$

其中 α 与 β 为复数概率幅。这里的关键不只是“两个系数的模平方之和为一”,更在于这两个系数带有相位信息,而相位正是后续干涉与算法增益得以成立的基础。经典概率混合描述的是“系统实际上处于某一确定状态,只是观察者不知道”;量子叠加描述的则是“系统在测量之前并不存在一个可

被经典隐藏变量完全替代的确定取值”,其统计规律来自概率幅的模平方,而不是来自对确定状态的无知分布。测量统计由玻恩规则给出:对任意测量基 $\{|i\rangle\}$,得到结果 $_i$ 的概率为

$$P(i) = |\langle i|\psi\rangle|^2 \tag{式 3-2}$$

其中 $\langle i|\psi\rangle$ 为态矢量在该本征基上的投影幅。玻恩规则表面上只是一个统计公式,但它对工程的约束极为具体:任何读出方案的判别边界、任何层析协议的样本量需求、任何误差缓解方法的方差代价,最终都建立在“单次测量只给出一个以模平方为概率的离散结果”这一事实之上。这一区别使得量子态空间必须置于复希尔伯特空间中来刻画,态矢量之间的内积决定可区分性、相位关系与演化几何。工程上常用布洛赫球把单比特纯态映射为单位球面上的一点,即写成 $|\psi\rangle = \cos(\theta/2)|0\rangle + e^{i\phi}\sin(\theta/2)|1\rangle$ 的参数化形式,其中极角 θ 决定布居分配,方位角 ϕ 记录相对相位;单比特门于是等价于球面上绕特定轴的旋转,门误差则可分解为旋转角偏差与旋转轴倾斜两类几何误差,这一图像直接支撑了脉冲校准、层析诊断与误差放大序列的设计。

进一步说,叠加并不意味着测量时能够一次性读出全部幅度信息。任何一次投影测量都只会给出某一本征基上的一个离散结果,并以概率 $|\alpha|^2$ 或 $|\beta|^2$ 出现,测量之后原有相干关系被破坏,量子态投影到对应本征态。若想估计相位 ϕ 本身,必须先用附加旋转把相位信息转到布居差上,再通过多次重复测量积累统计;要把一个未知单比特态的两个实参数各估到 10^{-2} 精度,所需样本量按统计涨落 $1/\sqrt{N}$ 的规律即达 10^4 次量级,这正是玻恩规则强加给一切表征流程的成本底线。也正因如此,量子计算不是“把 2 的 n 次方个答案直接并行打印出来”,而是通过一系列幺正演化把目标答案的幅度放大、错误答案的幅度压低,最终在单次或多次测量中以较高概率获得有用结果。对于芯片设计而言,这意味着量子处理器的核心不是存储大量结果,而是维持可控的相位结构;如果相位不可控,叠加就会退化为普通随机性,器件也就失去量子优势的物理前提。

3.1.2 从叠加到计算资源:n比特 2^n 维态空间

单比特叠加的真正力量并不体现在一个二维系统本身,而体现在多个量子比特张量积之后的态空间爆炸。n 个经典比特无论怎样组合,某一时刻只对应 2^n 个可能字符串中的一个;而 n 个理想量子比特的纯态则生活在 2^n 维复希尔伯特空间中,可写成所有计算基矢的线性组合:

$$|\Psi\rangle = \sum_{x=0}^{2^n-1} c_x|x\rangle, \sum_x |c_x|^2 = 1 \tag{式 3-3}$$

其中 $|x\rangle$ 遍历全部 2^n 个计算基态,c_x 为对应复振幅。于是,系统所能承载的不再只是某个比特串,而是一整套幅度分布及其相位结构。随着 n 增长,需要描述该态的独立实参数数量约为 $2^{n+1}-2$,呈指数增加:50 个量子比特对应约 10^{15} 个复振幅,若每个振幅用双精度复数存储,仅态矢量本身就需要约 16 PB 内存,已越过最大规模经典超算的内存边界;到 100 比特时该数字膨胀为 10^{30} 量级,任何可预见的经典存储体系都无法直接容纳。这也正是大规模通用量子系统难以被经典计算机直接精确模拟的根本原因之一,量子优越性实验所选取的随机线路采样任务,本质上就是刻意构造让经典模拟只能面对这一指数墙的态结构。

不过,态空间维度的指数增长本身并不自动等于可用算力的指数增长。只有当量子线路能够在这个巨大空间中有效导航,并借助干涉把有用结构提炼到可测信号中时,维度优势才会转化为算法优势。

换言之,2^n 维态空间是一种潜在计算资源,而非直接兑现的性能指标。一个粗糙但有用的工程估算是:若单层门操作的平均保真度为 F,深度为 D 的线路末态整体保真度近似按 F^{nD} 衰减;取 $F=0.999$、$n=50$、$D=40$,则 $0.999^{2000}\approx e^{-2}\approx 0.14$,意味着八成以上的实验轮次已偏离理想演化,信号必须依靠误差缓解从噪声底中抠出。许多噪声中等规模设备虽然形式上也拥有大态空间,但如果门保真度不足、纠缠深度受限、读出误差偏高,那么可抵达的有效态子空间将远小于理论值。对芯片设计来说,这意味着“增加量子比特数”只是第一层目标,更高层的目标是让新增比特能够以足够高的保真度参与联合演化,否则系统规模只是名义扩张,并不会带来等价的计算能力提升。

3.1.3 叠加的工程代价:初始化、操控与维持

从工程角度看,叠加不是白得的物理馈赠,而是一种昂贵且脆弱的资源。首先,任何计算都必须从高纯度初始化开始,也就是尽可能把量子比特准备到接近 $|0\rangle$ 的基态。初始化质量的物理底线由热平衡统计决定:当量子比特以频率 ω 工作在温度 T 的环境中,激发态与基态的热布居之比服从玻尔兹曼分布

$$P_1/P_0 = e^{-\hbar\omega/(k_B T)} \tag{式 3-4}$$

其中 $\hbar$ 为约化普朗克常数,k_B 为玻尔兹曼常数。把典型超导量子比特参数代入即可看出稀释制冷机为何是必需品而非奢侈品:对 $\omega/2\pi=5\,\mathrm{GHz}$ 的比特,单光子能量 $\hbar\omega\approx 3.3\times10^{-24}\,\mathrm{J}$;在 $T=10\,\mathrm{mK}$ 时 $k_BT\approx 1.4\times10^{-25}\,\mathrm{J}$,指数因子 $\hbar\omega/k_BT\approx 24$,热激发布居约为 $e^{-24}\approx 4\times10^{-11}$,远低于任何门误差,初始化纯度不再是瓶颈;而若温度升至 $100\,\mathrm{mK}$,指数因子降到约 2.4,热布居骤增至 $e^{-2.4}\approx 9\%$,意味着尚未开始计算就有近一成的轮次从错误初态出发,任何后续纠错都难以弥补。介于两者之间的 $50\,\mathrm{mK}$ 对应约 0.8% 的残余激发,恰好与表面码阈值同一量级,这个简单计算解释了为何实测器件的“有效温度”常被当作与相干时间同等重要的健康指标,也解释了为何红外滤波与热锚设计的微小疏漏会直接表现为初始化误差抬升。在超导平台上,这要求毫开尔文级低温环境、足够长的热弛豫等待时间以及必要的主动复位手段;在离子阱、半导体自旋等平台上则对应不同形式的极化与泵浦机制。如果初态本身已被热激发污染,后续所有叠加操作都将建立在带偏差的起点之上。

其次,制备叠加需要对外场脉冲进行高精度调制。以共振驱动为例,布洛赫球上的旋转角由拉比频率对时间的积分决定,行内可写作 $\theta=\int\Omega(t)dt$;一个 20 ns 的 π 脉冲对应 $\Omega/2\pi\approx 25\,\mathrm{MHz}$ 的平均拉比频率,若驱动幅度存在 0.1% 的系统性偏差,则旋转角偏差约 3 mrad,由此贡献的门不保真度约为 $(\delta\theta/2)^2\approx 2\times10^{-6}$;而幅度偏差若达 1%,该项就上升到 2×10^{-4},已逼近当前最好单比特门的总误差预算。无论是微波振幅、脉冲包络、频率失谐还是相位参考,都会直接映射到布洛赫球上的旋转角误差与轴倾斜误差,这也是任意波形发生器的位深、时钟抖动与温漂之所以成为量子控制电子学核心规格的原因。

更困难的是维持叠加。量子比特一旦与环境发生不可忽略的耦合,环境就会“偷走”关于相位关系的信息,表现为相干性衰减。器件材料中的介电损耗、界面缺陷、寄生双能级系统、控制线热噪声、封装模式泄露、残余光子与磁通波动,都可能让原本精确制备的叠加态在纳秒到毫秒不等的时间尺度上逐步失真。于是,工程目标不仅是把门脉冲做出来,更是把整个物理栈——材料、版图、封装、滤波、低温电子学、校准软件——联动到一个足以支撑相干演化的水平。叠加原理对芯片设计的直

接含义正在这里:量子芯片不是“会翻转的二值器件”,而是“必须长时间保持相位几何可控的模拟量子系统”,其制造和控制难度远高于经典数字门。

3.1.4 叠加在芯片设计中的映射

当理论语言落到芯片层面,叠加首先要求器件具备两个互相可区分、又能被相干耦合的低能级,这就是量子比特的最小物理定义。无论是超导跨导子、离子内部能级、量子点自旋还是中性原子超精细态,工程师都在寻找一个兼顾可控性与隔离性的“双能级近似”。以超导平台为例,支撑这一近似的核心元件是约瑟夫森结,其物理基础本身就是一个教科书级的量子叠加效应——库珀对穿越绝缘势垒的相干隧穿。对厚度为 d、有效势垒高度为 V_0 的隧道结,单粒子透射系数随势垒参数指数衰减:

$$T \approx e^{-2d\sqrt{2m(V_0-E)}/\hbar} \tag{式 3-5}$$

其中 m 为电子质量,E 为入射粒子能量。代入典型铝氧化层参数 $d \approx 1.5\text{nm}$、$V_0 - E \approx 2\text{eV}$,衰减波矢 $\sqrt{2m(V_0-E)}/\hbar \approx 7 \times 10^9 \text{m}^{-1}$,指数项约为 $e^{-22} \approx 10^{-10}$ 量级:单个原子尺度通道的透射率低到近乎不可见,但 $0.01\mu\text{m}^2$ 量级的结面积聚合了海量并行通道,宏观上便涌现出数十纳安的临界电流,对应约瑟夫森能 E_J/h 达 15GHz 量级,恰好落在微波可控窗口。这个估算揭示了一个容易被忽视的事实:约瑟夫森结参数对势垒厚度的指数敏感性,意味着氧化工艺中埃米级的厚度涨落就会造成结电阻百分之几的散布,进而转化为比特频率的片上离散,这正是频率拥挤问题的工艺根源,也是激光退火等结微调技术存在的理由。

其次,叠加要求控制哈密顿量能够被外部信号精确调谐,从而在给定时间窗口内实现近似理想的幺正操作;这直接决定了驱动线布局、谐振频率规划、脉冲整形能力与串扰抑制标准。跨导子把电荷噪声敏感性压低的代价是非谐性只剩百分之几,于是驱动脉冲的频谱泄漏随时可能把布居抽运到计算子空间之外的第三能级,DRAG 等脉冲修正技术本质上就是在“快门”与“防泄漏”之间做频谱工程。再次,叠加要求读出机制能够在不引入过多附加退相干的前提下完成终态判别,因此读出谐振腔、放大链路与测量时序设计并不是外围问题,而是叠加资源闭环的一部分。

如果进一步从系统架构审视,叠加还要求软硬件共同维护一套稳定的相位参考系。量子编译器输出的门序列、控制电子学产生的本振与数模波形、低温器件响应的频率漂移以及在线校准系统更新的补偿参数,本质上都在服务同一件事:让理论上的态矢量旋转在现实芯片上被忠实执行。任何一处相位记账错误——本振漂移未被跟踪、线缆时延未被补偿、软件帧更新与硬件脉冲错位——都会以完全等价于物理退相位的方式损伤计算结果,却无法用材料改进来修复。因此,叠加原理最终把芯片设计从“静态器件优化”推向“动态可校准系统工程”。谁能够以更低误差、更长相干时间、更高重复性地制备和维持叠加,谁就更接近构建真正可扩展的量子处理器。

3.2 纠缠:量子计算力量的真正来源

如果说叠加把单个量子比特从经典二元器件中解放出来,那么纠缠则把多个量子比特组织成一个不可拆分的整体,使量子处理器具备经典系统难以复制的全局关联结构。工程上常见的误解是把纠缠理解为“强相关”的一种奇特版本,但其关键并不在相关性强弱,而在于系统整体态不能写成各子系统态的简单张量积,因而无法给每个量子比特分别指定一个独立完备的局域状态描述。对于芯片工程而言,纠缠不是锦上添花的理论装饰,而是双比特门、逻辑编码、量子模拟与容错计算能够成立的物理骨

架。没有高质量纠缠,多比特芯片即使拥有许多单比特,也只是并排摆放的一组昂贵振子,而不是一个真正意义上的量子计算机。更进一步说,前一节论证的 2^n 维态空间之所以无法被经典模拟,正是因为其中绝大多数态都是高度纠缠态;可分离态构成的子集在整个希尔伯特空间中测度趋近于零,一台从不产生纠缠的“量子计算机”始终被囚禁在这个可被经典概率论完整描述的低维角落里。

3.2.1 纠缠的定义与 Bell 态

在二比特系统中,最典型的纠缠态是四个 Bell 态,其中最常被制备的一个可写为

$$|\Phi^+\rangle = (|00\rangle + |11\rangle)/\sqrt{2} \tag{式 3-6}$$

这个态不能分解为某个单比特态与另一个单比特态的乘积——假若存在分解 $(\alpha|0\rangle+\beta|1\rangle)(\gamma|0\rangle+\delta|1\rangle)$,则展开式中 $|01\rangle$ 与 $|10\rangle$ 的系数 $\alpha\delta$ 与 $\beta\gamma$ 必须同时为零,而 $|00\rangle$ 与 $|11\rangle$ 的系数 $\alpha\gamma$ 与 $\beta\delta$ 又必须同时非零,两组条件互相矛盾。因此任意一比特单独看都呈现最大混合,但对两比特联合测量时却展现出严格相关的结果。需要强调的是,这种相关不是因为两个比特事先各自带着一个隐藏答案,而是因为它们共享一个整体量子态,其统计结构只有在联合描述中才完整。这一论断并非哲学立场,而是可被定量检验的实验命题:对两端各自可选两个测量方向的关联实验,任何局域隐变量理论都要求 CHSH 关联函数满足 $|S|\le 2$,而量子力学允许 Bell 态达到

$$S = E(a,b) - E(a,b') + E(a',b) + E(a',b') \le 2\sqrt{2} \approx 2.83 \tag{式 3-7}$$

其中 $E(a,b)$ 为在测量方向 a、b 下两端结果乘积的期望值,$2\sqrt{2}$ 即 Tsirelson 上界。片上实测的 S 值介于 2 与 $2\sqrt{2}$ 之间的幅度,直接量化了器件产生“超经典关联”的能力:一个理想 Bell 态配合理想测量可给出 2.83,而每一分门误差、读出误差与退相干都会把它往经典边界 2 的方向压。Bell 态因此成为量子隐形传态、超密编码、CHSH 不等式检验以及两比特门标定中的基础对象,它把纠缠从抽象概念变为可直接制备、测量和量化的实验资源。

对于芯片设计者而言,Bell 态的价值在于它提供了最小规模的性能试金石。一个平台若连高保真 Bell 态都难以稳定制备,那么谈论更深线路、更大规模算法或表面码循环都没有现实基础。粗略地讲,Bell 态保真度可近似分解为两次单比特门、一次双比特门与两次读出的误差之和;当实测保真度显著低于由随机基准测试推算的预期值时,往往暴露出串扰、频率碰撞或脉冲时序错位等在孤立基准中不可见的系统性问题。也正因如此,实验报告中常把 Bell 态保真度、并行制备一致性以及跨芯片区域的纠缠均匀性作为核心指标。这说明纠缠的定义虽然源于数学可分性,但它对工程的要求非常具体:双比特门必须足够强、足够快、足够干净,并且测量链路能够区分真正的纠缠失败与读出误差伪影。

3.2.2 纠缠与量子加速的关系

量子计算之所以可能超越经典计算,并不只是因为存在叠加,更因为大规模量子线路能够在纠缠支持下访问高度非局域的态结构。对于纯单比特门和有限类型的可分操作,系统虽然也在量子力学框架内演化,却往往仍可被经典计算机高效追踪。一个重要提醒来自 Gottesman-Knill 定理:即便某些电路包含纠缠,如果它们只由 Clifford 门、计算基测量和稳定子态构成,仍然可以被经典算法高效模拟——n 比特稳定子态只需 $O(n^2)$ 量级的二进制自由度即可完整刻画,而非 2^n 个复振幅。这一定理并没有否认纠缠的重要性,恰恰相反,它表明“有纠缠”只是必要条件之一,真正与量子优势相关的是特定结

构的高复杂度纠缠与非 Clifford 资源共同出现。GHZ 态可以纠缠上百个比特却依然属于稳定子态,其经典模拟毫无困难;反倒是看似朴素的 T 门注入,才把线路推出经典可追踪的范围。这也解释了魔态蒸馏在容错架构中的特殊地位:非 Clifford 资源不是自动免费的,而是需要专门的工厂式流水线来批量制备,其定量代价将在 3.4.6 小节单独核算。

纠缠结构与经典模拟难度之间还存在一座可计算的定量桥梁,即张量网络方法给出的压缩极限。把 n 比特态表示为矩阵乘积态时,所需的键维数随二分纠缠熵指数增长,近似为 e^{S_A} 量级,而模拟的存储与收缩成本又按键维数的多项式放大。对于纠缠熵服从面积律的一维低纠缠态,键维数保持常数或缓慢增长,经典模拟毫无压力,这正是密度矩阵重整化群方法在凝聚态数值研究中大获成功的原因;而深度足够的二维随机线路会把子系统纠缠熵推向体积律,即 S_A 正比于子系统比特数,此时三十比特量级的半链纠缠就要求 2^{15} 以上的键维数,单个张量的存储需求以 TB 计,任何已知收缩策略的总成本都回到指数轨道。这就把“纠缠是否足够深、足够宽”从定性口号变成了可计算的判据:量子优越性实验之所以选择二十层以上深度的二维随机线路,正是因为在该深度上纠缠熵接近体积律饱和;反过来,不少浅层变分线路之所以后来被经典张量网络算法逼近甚至超越,也正因为其纠缠结构尚未逃出面积律的可压缩区。对芯片指标体系而言,这提示“可达纠缠熵随线路深度的增长曲线”是比单点 Bell 态保真度更能刻画机器计算潜力的深层量。

这对芯片工程意味着什么?意味着不能把“芯片上看到了纠缠”误当成“已经具备实用量子加速”。工程评估必须进一步追问:纠缠能达到多深、多宽、多稳定,是否支持非 Clifford 操作,是否能够在噪声存在时维持到算法完成,以及这些纠缠是否可被误差缓解或纠错机制接住。换言之,纠缠是量子算力的必要骨架,但不是唯一指标;芯片路线若只追求展示性纠缠实验,而不把纠缠转化为可编程、可扩展、可容错的运算资源,最终很难跨越从原理样机到计算平台的门槛。

3.2.3 片上纠缠的产生:双比特门与耦合器

在实际芯片中,纠缠并不会自发长期存在,必须通过受控相互作用来生成。最常见的方法是在两个量子比特之间引入可设计的耦合哈密顿量,再配合精确时序实现 CZ、iSWAP、CR、Mølmer-Sørensen 等双比特门。以超导芯片为例,固定耦合或可调耦合器决定了相邻量子比特之间能量交换与条件相位积累的方式;以离子阱为例,公共振动模承担了多粒子耦合媒介;在自旋体系中,交换相互作用或腔介导耦合则扮演类似角色。从时间尺度上看,纠缠门的物理本质是让耦合强度 g 在设计时窗内积累出 π 量级的条件相位,门时间近似与 $1/g$ 成正比:$g/2\pi \approx 10\text{MHz}$ 的有效耦合对应数十纳秒的门长,恰好比当前 $10^2\mu s$ 量级的相干时间低三到四个数量级,这一比值正是双比特门保真度能够进入 99% 以上区间的前提。纠缠生产线的核心不是“把两个比特连起来”这么简单,而是把相互作用限制在需要的子空间、需要的时窗和需要的强度上。

因此,双比特门往往成为量子芯片最难做好的单元。一方面,耦合太弱会导致门时间过长,在退相干背景下难以获得高保真度;另一方面,耦合太强或频谱规划不当又会诱发泄漏、寄生交换、ZZ 串扰与频率碰撞,让不该参与运算的邻居也被卷入。以静态 ZZ 串扰为例,若残余条件频移达 100kHz,则在 1μs 的空闲时间内邻居间已悄然积累约 0.6 rad 的寄生纠缠相位,足以摧毁并行线路的逻辑正确性;可调耦合器之所以成为大规模架构的主流选择,正是因为它能把这一残余项压低两个数量级,同时在门操作时又能把有效耦合快速拉起。工程上为此发展出可调耦合器、回波补偿、脉冲整形、参数调制门和频率避碰布局等一整套方法论。其本质都是同一个问题的不同解法:纠缠要足够容易被生成,但又不

能在不需要时失控外溢。于是,芯片布线、耦合图拓扑与可制造频率分布,全部都被纠缠门性能所反向塑形。

3.2.4 纠缠的度量与验证:保真度、纠缠熵与随机基准测试

纠缠既然是资源,就必须能被测量和验证。最直接的方法是量子态层析,通过多组测量重构密度矩阵,进而计算与目标 Bell 态或 GHZ 态的保真度,但层析所需样本数随系统规模急剧增长,n 比特全层析需要 4^n 量级的测量设置,五个比特就已超过千组配置,难以直接推广到大芯片。因而在工程实践中,研究者更常结合保真度见证、纠缠熵、并发度、互信息、交叉熵基准以及多种随机基准测试来间接评估纠缠质量。在这些度量中,信息论语言的基石是冯诺依曼熵:对密度矩阵 ρ 描述的量子态,其熵定义为

$$S(\rho) = -\mathrm{Tr}(\rho \ln \rho) \tag{式 3-8}$$

纯态的熵为零,d 维最大混合态的熵为 $\ln d$。纠缠熵正是把这一定义用于子系统:对整体处于纯态的二分系统,先对 B 部分求偏迹得到约化密度矩阵 $\rho_A = \mathrm{Tr}_B(|\Psi\rangle\langle\Psi|)$,则 $S(\rho_A)$ 度量了 A 与 B 之间共享的量子关联。以式 3-6 的 Bell 态为例,单边约化密度矩阵为最大混合态 $\rho_A = (|0\rangle\langle 0| + |1\rangle\langle 1|)/2$,其纠缠熵达到单比特可能的最大值

$$S_A = -2 \times \tfrac{1}{2}\ln\tfrac{1}{2} = \ln 2 \approx 0.693 \tag{式 3-9}$$

这一数值的含义颇具警示性:整体明明处于信息完全确定的纯态,任何单边却表现得像一枚完全随机的硬币——纠缠越强,局域可读的信息越少,信息越彻底地存放在“关联本身”之中。这正是量子纠错把逻辑信息藏进多体纠缠、从而使局域噪声无法直接触碰它的理论原型,也是纠缠熵在多体物理模拟、面积律验证与线路复杂度诊断中成为通用标尺的原因。保真度回答的是“实际制备态离目标态有多近”,纠缠熵描述的是子系统与整体之间共享量子信息的强弱,而随机基准测试则更偏向隔离门误差、测量误差与状态制备误差,给出可比较的平均门性能指标。

这套验证体系对芯片设计的意义非常直接:工程团队不能只依赖单一漂亮图形或一次成功实验,而必须建立分层指标栈。底层看器件参数与相干时间,中层看单比特与双比特门随机基准结果,上层看特定纠缠态的可重复制备保真度与跨批次稳定性,再往上才是算法级基准。只有当这些指标相互印证时,才能判断纠缠资源是否真正可靠。也就是说,纠缠的验证本身已经成为芯片开发流程的一部分,它决定了如何做版图迭代、如何分配校准时间、如何判断某项材料或封装改进究竟是否转化为可用算力。

3.2.5 大规模纠缠的工程挑战:串扰与频率拥挤

当量子比特数量从十几个走向上百、上千时,纠缠问题将迅速从“能不能产生”转变为“能不能在系统层面可控地产生”。大规模芯片中的主要障碍并非理论上缺少门集合,而是现实中存在无处不在的串扰与频率拥挤。所谓串扰,既包括驱动线、电源线、封装腔模和读出谐振腔之间的经典电磁串扰,也包括静态 ZZ 耦合、旁路交换以及非目标量子比特被意外激发的量子串扰。频率拥挤则意味着可用频谱是有限的,随着比特增多,很难让每个比特、耦合器和读出谐振器都保持足够安全的间隔,从而避免门操作时发生碰撞或泄漏。做一个数量级估算即可看清问题的严峻性:固定频率架构下,比特工作频率通常被限制在 4 到 6 GHz 之间约 2 GHz 的窗口内,若每个比特连同其邻居、耦合器与读出腔需要 50 MHz 量级的保护间隔,一个频率复用单元便只容得下数十个可分辨频点;再叠加式 3-5 所揭示的

结参数指数敏感性带来的制造散布,频率碰撞概率随规模上升的速度远快于线性,这正是激光退火调结、可调比特与可调耦合器等“事后自由度”被引入的系统性动机。

这对芯片设计意味着,纠缠扩展并不是简单复制单元格。系统必须从一开始就按可扩展纠缠网络来规划:包括二维邻近拓扑是否适配表面码,频率分配是否支持并行门,封装是否抑制腔模,控制电子学是否具备大规模同步校准能力,软件调度器是否理解冲突图并避免同时触发相互污染的门。也正因为此,大规模量子芯片的发展逻辑更接近高性能系统工程而非单器件优化。纠缠越成为计算力量的来源,它也就越反过来定义整台机器的架构边界。

3.3 测量与退相干:量子信息的敌人与出口

量子芯片的运行过程始终被一个根本张力所支配:一方面,系统必须尽量与环境隔离,否则脆弱的相干性会快速丧失;另一方面,系统又必须在恰当时刻被测量并把结果可靠地输出到经典世界,否则计算就无法闭环。测量与退相干因此构成一对既对立又相连的概念。退相干是无控制、无选择地把量子信息泄露给环境,从而破坏运算;测量则是在可定义、可校准、可重复的接口上有目的地提取某些经典可读信息。从现代开放量子系统理论的视角看,两者甚至共享同一数学骨架——环境“测量”了系统却不上报结果,就是退相干;工程链路“测量”了系统并把结果登记为经典数据,就是读出。对工程师而言,真正困难的不是接受“量子会塌缩”这一抽象说法,而是在芯片层面建立一条精确边界:哪些耦合必须压低到近乎不可见,哪些耦合又必须在读出窗口内被刻意放大。

3.3.1 测量问题的工程视角

从工程角度理解测量,最有用的不是哲学式追问“波函数为何塌缩”,而是操作性地定义一次读出究竟完成了什么。对于给定测量基,投影测量把量子态映射到某个本征子空间,并输出一个经典结果标签;对超导量子比特而言,常通过色散耦合让比特状态影响读出谐振腔的响应相位或振幅,再经低噪声放大链路转为 I/Q 信号,最后由判别器给出 0 或 1。所谓塌缩,在工程语言中可以理解为“量子系统与测量装置及环境建立足够强关联后,原先保存在相干叠加中的可干涉信息不再可用于后续幺正演化”。因此,测量并不是神秘瞬间,而是一个具有持续时间、带宽、信噪比与误判率的物理过程。

测量的物理极限由不确定性原理设定。对任意一对正则共轭量,例如位置与动量,量子力学要求

$$\Delta x \Delta p \geq \hbar/2 \tag{式 3-10}$$

其中 Δx、Δp 分别为两个可观测量在同一量子态上的标准差。这不是仪器精度不足的经验陈述,而是希尔伯特空间中不对易算符的结构性定理,任何工艺进步都无法绕开。对读出工程影响更直接的是它的能量-时间形式

$$\Delta E \Delta t \geq \hbar/2 \tag{式 3-11}$$

其中 Δt 为观测或演化的特征时间,ΔE 为可分辨的能量尺度。把读出窗口 $\Delta t = 100\text{ns}$ 代入,可分辨能量下限对应的频率分辨率约为 $\Delta f \geq 1/(4\pi\Delta t) \approx 0.8\text{MHz}$;这解释了为何色散读出的腔频移 $\chi/2\pi$ 通常被设计在兆赫兹量级——频移若显著小于该下限,无论放大链路多么优秀,单发读出都不可能在这一时窗内区分比特状态,只能被迫延长测量时间,而延长测量时间又会吞噬相干预算并放大测量诱导的

额外跃迁。测量速度、判别保真度与回扰强度因此构成一个被基本物理钉死顶点的三角形,读出设计的全部技巧都在这个三角形内部做分配。

在这一视角下,QND 即量子无损测量显得尤为关键。所谓无损,并不是测量完全不扰动系统,而是指被测可观测量在理想情况下与测量相互作用哈密顿量对易,从而重复测量能给出一致结果,并避免把 |1> 误激发到更高泄漏能级等额外破坏。对芯片设计而言,这意味着测量接口既要足够强以提高读出保真度,又要足够“温和”以避免多余回扰、热光子残留和邻近比特污染。谁能把测量做成高保真、低回扰、可并行、可快速复位的过程,谁就更有条件发展中路测量、反馈纠错与大规模容错控制。

3.3.2 退相干的物理机制:能量弛豫 T1 与相位退相干 T2

退相干通常通过两个基本时间尺度来表征:能量弛豫时间 T1 和相位退相干时间 T2。T1 描述激发态 |1> 向基态 |0> 自发衰减的平均时间,本质上对应系统把能量释放给环境;T2 描述相位关系丧失的时间尺度,它既受能量弛豫影响,也受纯退相位过程影响,两者的合成关系为

$$\frac{1}{T_2} = \frac{1}{2T_1} + \frac{1}{T_\phi} \tag{式 3-12}$$

其中 T_ϕ 为纯退相位时间,刻画不涉及能量交换、仅由频率涨落引起的相位扩散。该式立即给出两个工程推论:其一,$T_2 \le 2T_1$ 是硬上界,任何声称突破该界的测量结果必然存在方法学问题;其二,代入 $T_1 = 100\mu s$、$T_\phi = 200\mu s$ 得 $T_2 = 100\mu s$,而若纯退相位恶化到 $T_\phi = 20\mu s$,即便 T_1 纹丝不动,T_2 也会被拖到约 18μs——这说明测得的 T_2 对低频噪声远比对能量耗散敏感,比较 T_2 与 $2T_1$ 的差距就能粗判器件被哪类机制主导,进而决定改进方向应指向材料损耗还是偏置稳定性。若 T1 过短,量子比特来不及完成门操作便已失去激发;若 T2 过短,即使布居尚未改变,叠加相位也会模糊,干涉能力随之消失。于是,一切量子控制最终都受制于“可用门时间”与“相干寿命”之比:以 30 ns 门长、100μs 相干时间估算,单个门窗口内的退相干贡献约为 $t_g/T_2 \approx 3 \times 10^{-4}$,恰与当前最优双比特门误差同一量级,说明相干时间每提升一个数量级,都会直接转化为门误差预算的松动。

工程上经常把 T1、T2 当作器件健康度的核心体征,但它们不仅是抽象指标,更是对失效机理的浓缩投影。T1 可能受介质损耗、Purcell 泄漏、辐射损耗、准粒子吸收等因素主导,T2 则往往额外暴露出低频磁通噪声、电荷噪声、频率漂移和控制相位抖动。芯片设计因此不能仅盯着某个更长的相干时间纪录,而必须回答该时间是在什么工况、什么频率区间、什么测量方法下获得,以及它能否在多比特并行操作时维持。换句话说,T1 与 T2 之于芯片工程,类似时钟频率与误码率之于经典通信系统:指标本身重要,但更重要的是驱动它们的系统性原因能否被持续压低。

3.3.3 噪声谱与环境耦合:TLS 缺陷、准粒子、磁通噪声、宇宙射线

退相干并不是单一来源造成的,而是一整套噪声谱与环境耦合机制叠加后的结果。在超导芯片中,介质与界面中的双能级系统缺陷常导致介电损耗和频率漂移,它们尤其容易在约瑟夫森结周边、衬底表面和金属边缘形成。准粒子则会打破超导凝聚态,增加耗散并触发能量弛豫,其来源可能包括残余红外辐射、封装热泄漏或高能粒子激发;值得注意的是,若准粒子密度由温度 T 下的热平衡决定,其相对密度同样按 $e^{-\Delta/(k_B T)}$ 指数压低(Δ 为超导能隙,铝约 180μeV),在 20 mK 下该因子小于 10^{-40},理论上应当完全绝迹——但实测器件中的准粒子密度普遍比热平衡预言高出几十个数量级,这一巨大反差本身就是判据,说明准粒子几乎全部来自非平衡注入而非温度,屏蔽、滤波与吸声结构因此比进一步降温更

有效。磁通噪声常呈 1/f 频谱,会显著影响依赖磁通调谐的器件,使其频率在慢时间尺度上游走,从而拉低相位相干性。更高能量尺度上,宇宙射线和环境放射性衰变甚至可能在芯片中引发大范围准粒子雪崩,导致多个量子比特同时受扰:单次高能事件沉积的兆电子伏特量级能量,足以在毫秒时间窗内让毫米范围内的比特相干性集体塌陷,这类空间相关错误恰好击中纠错码“错误相互独立”的核心假设,对容错系统尤其不利。

噪声谱的工程含义在于,量子芯片不能只追求“平均噪声更小”,更要识别噪声属于哪一类、分布在什么频带、是否具有空间相关性与时间突发性。因为不同噪声对应完全不同的设计对策:TLS 问题更偏向材料纯化、表面处理与版图边缘电场优化;Purcell 泄漏需要滤波器与腔设计;磁通噪声要求减少可调器件比例、优化屏蔽与偏置线;宇宙射线相关错误则可能逼迫系统引入芯片级屏蔽、事件监测甚至跨时间冗余策略。也就是说,退相干研究并不是量子芯片的外围材料科学,而是决定体系结构可否迈入容错时代的前置条件。

3.3.4 退相干的抑制策略:材料、屏蔽、动力学解耦

要系统地讨论抑制策略,首先需要一个能统一描述“幺正演化加噪声”的动力学框架。开放量子系统的标准工具是 Lindblad 主方程,其单行形式可写为

$$\frac{d\rho}{dt} = -\frac{i}{\hbar}[\hat{H}, \rho] + \sum_k \gamma_k (\hat{L}_k \rho \hat{L}_k^{+} - \frac{1}{2}\hat{L}_k^{+}\hat{L}_k \rho - \frac{1}{2}\rho \hat{L}_k^{+}\hat{L}_k) \tag{式 3-13}$$

其中 ρ 为系统密度矩阵,$\hat{H}$ 为系统哈密顿量,$\hat{L}_k$ 为描述第 k 类噪声通道的跳跃算符,$\hat{L}_k^{+}$ 为其共轭转置,γ_k 为对应耗散速率。方程右侧第一项是薛定谔方程的密度矩阵形式,负责理想幺正演化;求和项则把能量弛豫、纯退相位、热激发等通道各自折算为一个速率。对单量子比特,取弛豫算符与退相位算符并解出非对角元,即得到相干项按 $\rho_{01}(t) = \rho_{01}(0)e^{-i\omega_{01}t}e^{-t/T_2}$ 指数衰减的熟悉结果,式 3-12 的时间尺度合成关系正是该方程的直接推论。这一框架的工程价值在于把“环境很复杂”翻译为“通道加速率”的有限参数模型:校准系统测出的每一条 γ_k,都对应一个可以被材料、屏蔽或控制手段单独攻击的靶点,噪声谱学与主方程拟合因此成为器件诊断的通用语言。

面对退相干,有效策略从来不是单点突破,而是多层协同。材料层面需要降低缺陷密度、改善界面洁净度、控制薄膜晶粒与应力、优化结工艺一致性;版图层面需要减少高电场集中区域,避免寄生模式,并在耦合强度与损耗之间取得平衡。封装与系统层面则要通过红外屏蔽、低通与带阻滤波、磁屏蔽、隔振以及更干净的低温接地结构,压低外界噪声注入。控制层面还可以采用回波序列与动力学解耦,在不改变器件本体的情况下平均掉某些低频噪声影响,延长有效相干时间;其原理可以用主方程语言表述为:对谱密度集中在低频的噪声通道,周期性 π 翻转等效地把系统对噪声的采样函数搬移到高频,从而大幅缩小有效 γ_k,这也是 Hahn 回波测得的 T_2 常显著长于自由感应衰减结果的原因。

但需要看到,抑制策略之间并非简单线性叠加。比如可调器件有利于门实现与频率避碰,却常牺牲一部分相干性;更强滤波可以压低高频噪声,却可能带来控制带宽不足;更激进的脉冲补偿虽然改善门误差,也可能增加校准复杂度和漂移敏感性。于是,芯片设计必须从“单指标最优”转向“系统工作点最优”。真正重要的不是某项局部技术看起来最先进,而是它能否在大规模运行条件下稳定地把门保真度、读出保真度、热管理与制造良率同时推向可用区间。退相干抑制的最终意义,在于为后续纠错创造一个足够低噪的底板。

3.3.5 测量作为计算资源:中路测量与实时反馈

在传统直觉里,测量似乎意味着计算结束;但在现代量子处理器中,测量越来越多地被当作计算过程中的主动资源。所谓中路测量,就是在线路尚未结束时对部分量子比特实施读出,并根据结果决定后续门操作、重置流程或错误更正动作。量子纠错循环中的稳定子检测、量子隐形传态、某些变分算法与测量型量子计算,都依赖这一能力。此时,测量不再只是“出口”,更是把量子处理器与经典控制器闭环耦合起来的节点:量子比特输出 syndrome,经典电子学做低时延判决,再把反馈脉冲送回芯片。

这对芯片工程提出了极高要求。首先,测量必须足够快,否则反馈延迟会超过相干预算;以表面码约 1μs 的循环周期为参照,读出、传输、判决与反馈四段加起来的时延必须压进数百纳秒,而式 3-11 的能量-时间制约又规定了读出段不可能被无限压缩,留给经典电子学的时间窗口因此极其苛刻。其次,测量误差必须足够低,否则反馈会把错误进一步扩散;当读出误差达到百分之一量级时,它在纠错循环误差预算中的占比往往已超过双比特门,成为整个阈值裕量的第一杀手。再次,复位机制必须高效,以便被测辅助比特迅速投入下一轮循环——依靠自然弛豫复位需要数倍 T_1 即数百微秒,与循环周期相差两个数量级以上,主动复位因此不是优化项而是必选项。由此可见,测量链路的设计已不再是后端接口问题,而是容错架构的中心部件。谁能实现低温到室温跨层协同的快速测量与反馈,谁就不仅能“读出量子芯片”,更能真正“驱动量子芯片进入持续运转状态”。

3.4 量子纠错理论:从物理比特到逻辑比特

如果前述讨论揭示了量子态为何强大又为何脆弱,那么量子纠错理论回答的就是一个长期曾被视为悖论的问题:既然量子态不能被任意复制,测量又会破坏叠加,为什么仍然可能纠错?这里所说的“不能复制”即不可克隆定理,它可以用一行内积恒等式严格表述:假设存在对任意输入都成立的克隆幺正操作,把它分别作用于两个不同态 $|\psi\rangle$、$|\phi\rangle$ 并利用幺正变换保持内积的性质,立即得到自洽条件

$$\langle\psi|\phi\rangle = (\langle\psi|\phi\rangle)^2 \tag{式 3-14}$$

该方程只有 $\langle\psi|\phi\rangle = 0$ 或 1 两个解,意味着可被同一台机器完美复制的只能是彼此正交的一组已知态——这恰恰就是经典信息,而对一般未知叠加态的复制在量子力学的线性结构下被根本禁止。经典纠错中“把数据抄三份再多数表决”的朴素方案因此在量子世界直接失效,量子纠错必须另辟蹊径。答案在于,纠错并不要求知道某个未知量子态的全部内容,而是通过编码把信息分布到更大希尔伯特空间的纠缠结构中——正如式 3-9 所揭示的,深度纠缠态的信息不驻留在任何局域载体上——再用一组彼此兼容的 syndrome 测量去识别“发生了哪类错误”,而不直接读取被保护的逻辑信息。syndrome 测量与逻辑算符对易,因此提取错误信息的动作不会触碰逻辑叠加本身,这正是纠错绕开测量塌缩与不可克隆双重禁令的全部秘密。对于芯片工程而言,量子纠错把目标函数从“尽量做出更好的单个物理比特”提升为“让一群有噪物理比特合作形成更可靠的逻辑比特”。这一转变决定了未来量子芯片不再只靠器件进步取胜,更靠架构、控制与算法共同构建容错层。

3.4.1 量子纠错为何可能:数字化错误与离散化定理

量子错误表面上是连续的,因为一个量子态可能发生任意小角度的旋转、任意幅度的退相位或耗散;但纠错之所以可能,是因为在编码子空间与综合测量的框架下,连续误差可以被分解到离散的错误

基上,通常可用 Pauli X、Y、Z 及其张量积来表示其等效影响。其数学根据是:任意单比特错误算符都可在单位算符与三个 Pauli 算符张成的空间中展开,而 syndrome 投影测量会把这一连续叠加“坍缩”到某个确定的离散错误分支上——测量在这里从破坏者反转为盟友,正是它把连续漂移量子化成了可查表纠正的离散事件。这种“错误数字化”并不是说物理噪声本身变成离散的,而是说对纠错码而言,只需识别其在编码空间上造成的等效综合后果。只要错误率低于一定阈值,并且 syndrome 测量与纠正动作本身也足够可靠,逻辑信息就可以通过反复循环被持续保护。

错误离散化的机制值得用一个最小例子展开。设某个数据比特经历了一次角度为 δ 的微小相位漂移,其作用算符可展开为 $\cos(\delta/2)I - i\sin(\delta/2)Z$,即单位算符与 Z 错误的相干叠加;随后的稳定子测量并不会读出 δ 的具体数值,而是以概率 $\cos^2(\delta/2)$ 把系统投影回“无错误”分支,以概率 $\sin^2(\delta/2)$ 投影到“确定发生了一个完整 Z 错误”的分支。取 $\delta = 10^{-2}$ rad 代入,后者概率约为 2.5×10^{-5}:绝大多数循环里,连续漂移被稳定子测量直接抹平,仿佛从未发生;偶尔出现的离散 Z 错误则被 syndrome 记账并在解码后纠正。于是连续控制误差不会在编码空间中累积成不可收拾的慢漂移,而是被转化为低概率的离散事件流,纠错码因此能够用有限的查找表应对无限维的连续噪声——测量在这里从破坏者反转为盟友的说法,指的正是这一投影机制。同样的论证对小角度过旋、轴倾斜乃至弱耗散均成立,只是展开基中会混入 X 与 Y 分量;这也顺带解释了为何相干误差经随机编译等手段“去相干化”之后,其对逻辑层的伤害反而更接近独立 Pauli 噪声模型的乐观预期。

这一定理层面的洞见对芯片设计意义重大。它说明工程目标不必追求零误差这一物理上几乎不可能达到的极限,而应追求“低到可被纠错接住”的误差区间。于是,门保真度、读出保真度、串扰概率、相关错误密度、漏激发率与热布居率都不再只是漂亮指标,而是能否跨过容错门槛的硬性边界——式 3-4 的计算在此获得新的含义:50 mK 下约 0.8% 的热激发布居已与阈值同量级,足以单独吃掉全部误差预算,这就是稀释制冷机基座温度直接决定纠错可行性的定量理由。也就是说,量子纠错把器件研发从“越好越好”的模糊竞赛,转化为“是否达到阈值,以及达到后扩展效率如何”的系统工程问题。

3.4.2 稳定子形式主义

稳定子形式主义是现代量子纠错最重要的统一语言之一。其基本思想是,不用显式写出编码空间中每个态矢量,而是用一组两两对易的 Pauli 算符来定义“哪些态属于被保护子空间”。若某个量子态是这些稳定子算符的 +1 本征态,则它位于编码空间;一旦发生错误,部分稳定子的本征值会翻转为 -1,从而形成 syndrome。这样,纠错过程就被转换为对 syndrome 的重复测量与解释,而不是对逻辑态本身的直接探测。从计数角度看,这一语言的压缩效率惊人:n 个物理比特编码 k 个逻辑比特只需指定 $n-k$ 个独立稳定子生成元,每个生成元不过是一串 Pauli 字母,而无需触碰 2^n 维态空间中的任何具体振幅。该形式主义不仅大幅简化了理论分析,更让大规模实现成为可能,因为它天然适配局域测量、周期调度与经典解码。

一个最小的具体例子有助于把这套语言落地。三比特重复码用 $|000\rangle$ 与 $|111\rangle$ 张成的二维子空间编码一个逻辑比特,其稳定子生成元为 Z_1Z_2 与 Z_2Z_3:编码空间中的任意态都是这两个算符的 +1 本征态,而任何单个比特翻转都会产生一组唯一的本征值组合——第一比特出错对应 $(-1,+1)$,第二比特对应 $(-1,-1)$,第三比特对应 $(+1,-1)$——据此即可无歧义地定位并纠正错误,而整个过程从未测量 $\alpha|000\rangle+\beta|111\rangle$ 中的幅度信息,因为两个生成元与逻辑算符 $X_1X_2X_3$、Z_1 所生成的逻辑代数对

易。表面码不过是把同一思想推广到二维并同时覆盖两类错误:每个 X 型稳定子是围绕一个格点的四个数据比特上的四体乘积 $X_aX_bX_cX_d$,负责捕捉相位翻转;每个 Z 型稳定子对应一个格面上的四体 Z 乘积,负责捕捉比特翻转。所有稳定子权重恒为四且只涉及最近邻,不随晶格总规模增长,这正是它对平面工艺友好的数学根源,也是“局域测量网络保护全局纠缠信息”这一纠错哲学最直白的体现。

对于工程实现者来说,稳定子形式主义的价值在于它把复杂量子态保护问题映射为可布线、可时序化的检查网络。每个稳定子测量都对应一组辅助比特、若干受控门和一次读出过程;芯片版图中的相邻连接关系、辅助比特布置方式、读出多路复用与脉冲调度冲突,本质上都是在为稳定子测量服务。测量频率的选取同样是稳定子语言下的显式权衡:循环周期太长,同一轮内累积两个错误的联合概率按周期平方增长,解码器将面对超出纠正能力的错误链;周期太短,门与读出自身误差又会占满预算,最优循环周期因此落在物理错误率与测量误差的平衡点附近。因此,当研究者说某个平台“适合表面码”时,并不是抽象地说它支持某种漂亮数学,而是在说其局域耦合、并行测量和循环稳定性恰好与稳定子架构形成了工程同构。

3.4.3 表面码:阈值定理与约 1% 容错阈值

在众多量子纠错码中,表面码之所以成为当前主流路线,主要因为它对二维最近邻耦合友好,且在独立近似噪声模型下拥有约百分之一量级的较高阈值。所谓阈值定理,是指当物理错误率低于某个临界值时,通过增加编码规模,逻辑错误率可以被指数压低;若高于该值,继续堆砌更多物理比特反而会使系统更糟。这个临界行为与统计物理中的相变高度类似:阈值点两侧,“加比特”这同一个操作的效果发生符号反转,系统要么进入错误可被无限压低的有序相,要么滑入错误随规模繁殖的无序相,不存在渐进的中间地带。表面码利用数据比特与辅助比特交替构成二维晶格,周期性测量 X 型与 Z 型稳定子,从而把局域物理错误转化为时空 syndrome 缺陷,再交由经典解码器推断最可能的错误链,其空间布局与纠错流程如图 3-2 所示。

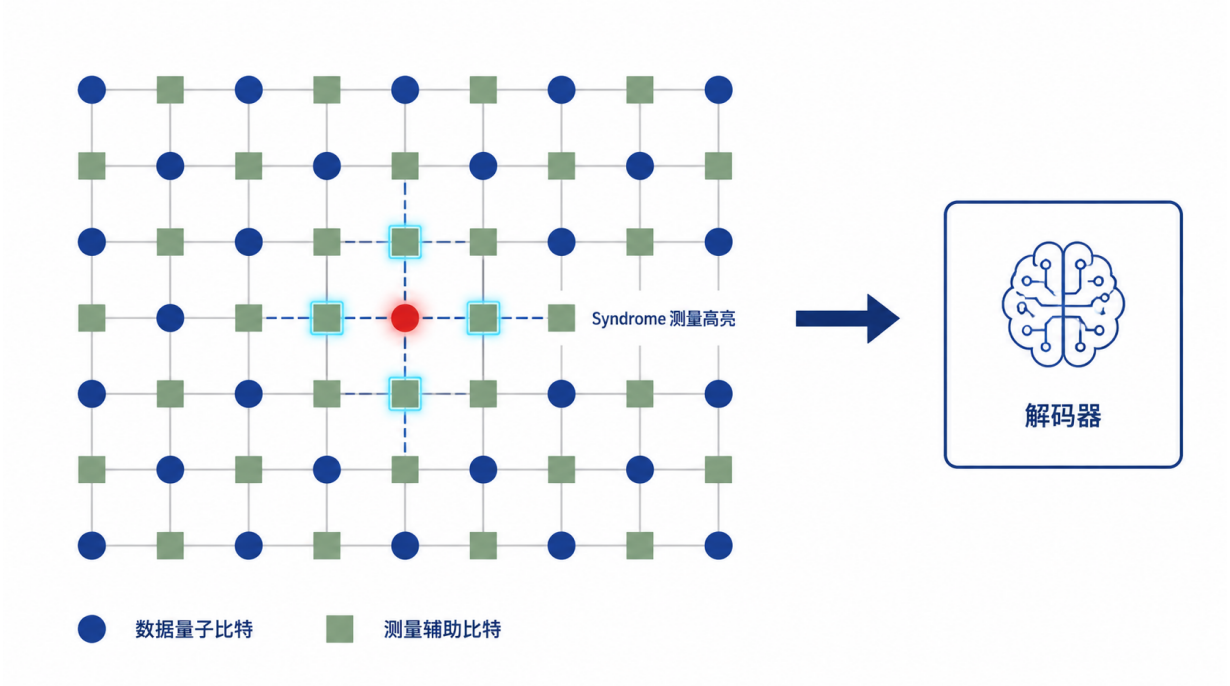


图 3-2 表面码纠错原理示意

图 3-2 所刻画的几何直观值得展开。表面码晶格上,数据比特与两类辅助比特按棋盘格间插排布,每一轮纠错循环中,每个辅助比特与其四个最近邻数据比特依次作用后被读出并复位。当某个数据比特发生一次翻转,与之相邻的两个同类型稳定子会同时报警,因此 syndrome 缺陷总是成对出现;一串空间上连续的错误则表现为链条,报警只出现在链的两个端点,链身内部的稳定子因两侧错误相互抵消而保持沉默。解码器面对的因此是“由端点反推链条”的统计推断问题,而真正致命的逻辑错误恰好对应一条从晶格一侧贯穿到另一侧、两端都终止在边界上的错误链——它不留下任何 syndrome 痕迹,却完整地翻转了一个逻辑算符。码距 d 的几何含义在这幅图像中一目了然:它就是最短贯穿路径所需的物理错误数目,晶格边长越大,随机噪声在一轮循环内恰好拼出一条完整贯穿链的概率就越低,这正是下一小节式 3-15 指数压低规律的图形化来源。同一幅图还揭示了时间维度的必要性:辅助比特的读出本身也会出错,单轮 syndrome 不可尽信,解码必须在“空间晶格叠加时间轴”的三维缺陷图上进行,测量轮数通常也取 d 量级,使时间方向的错误链同样受码距保护。

工程上,约 1% 的阈值常被视为一个鼓舞人心的数字,但它绝不是“只要做到 1% 就万事大吉”。真实系统中的泄漏、相关错误、读出偏置、热激发与非马尔可夫噪声都会压低有效阈值,而且阈值描述的是全系统循环层面的综合错误预算,不是单个门指标可以单独决定。实践中更有意义的参照是:要让纠错“越纠越好”而不是原地踏步,物理错误率通常需要压到阈值的十分之一附近,即 10^{-3} 量级,这正是当前最优器件恰好触及的区间,也是逻辑比特寿命首次超过其物理组分的实验之所以出现在近几年的原因。对芯片设计而言,表面码的真正意义在于它给出了一个相对明确的路线图:二维可扩展阵列、重复稳定子测量、快速经典解码与大量辅助比特资源将成为主导架构。换言之,未来芯片不是“若干高质量量子比特的集合”,而是“为表面码等容错协议而优化的物理基板”。

3.4.4 逻辑错误率随码距的指数压低

码距可以粗略理解为纠错码能够区分并纠正多少局域错误的能力尺度。对于表面码等拓扑码而言,随着码距 d 增加,形成一个会真正翻转逻辑信息的最短错误链所需的物理错误数量也随之增加;只要物理错误率处于阈值以下,逻辑错误率近似服从经验缩放律

$$P_L \approx A(p/p_{th})^{(d+1)/2} \tag{式 3-15}$$

其中 p 为物理错误率,p_{th} 为阈值,d 为码距,A 为量级为 0.1 的经验系数。把数字代入即可感受该式的杠杆效应:取 $p = 10^{-3}$、$p_{th} = 10^{-2}$,比值为 0.1,则 $d = 3$ 时 $P_L \sim 10^{-3}$,$d = 7$ 时降到 10^{-5},$d = 11$ 时已达 10^{-7};若目标是支撑大规模算法所需的 10^{-12} 量级逻辑错误率,则需要 $d \approx 23$,对应约 $2d^2 \approx 10^3$ 个物理比特构成一个逻辑比特。同一公式反过来读更具警示性:若物理错误率只降到 $p = 5 \times 10^{-3}$,比值变为 0.5,每增加一层码距只能把逻辑错误率压低一半,达到 10^{-12} 所需码距膨胀到 80 以上、物理比特开销暴涨至上万——物理错误率相对阈值的比值每改善一倍,整个系统的资源账单就按指数尺度改写,这正是器件指标与架构成本之间最陡峭的耦合通道。正是这种指数压低,赋予量子纠错把“勉强可用的物理比特”提升为“高度可靠的逻辑比特”的可能性。没有这一点,量子计算将始终困在噪声累积的天花板之下。

然而,指数压低并不是免费午餐。更大的码距意味着更多数据比特、更多辅助比特、更长测量链路、更高解码吞吐与更复杂的时钟调度。尤其当系统存在空间相关错误或突发事件时,实际缩放规律可能偏离理想指数形式;3.3.3 节讨论的宇宙射线事件就是典型反例,一次雪崩同时翻转的比特数可以

超过任何现实码距的纠正能力,使式 3-15 的独立错误假设整体失效。工程上因此必须做的不只是追求更大的 d,而是验证逻辑错误率曲线是否真的随着码距提升而下降,并弄清下降受限于哪类噪声瓶颈。对芯片设计而言,这是一个极其实用的判据:真正的容错进展不体现在某个单次演示成功,而体现在逻辑层可靠性是否按理论预期进入缩放区。

3.4.5 资源开销估算:千比特到百万比特

量子纠错的现实门槛之一是资源开销。一个可用的逻辑比特并非由十几个物理比特就能轻易构成,按式 3-15 的估算,在当前主流噪声水平下,往往需要从数百到上千个物理比特才能实现一个具有实用意义的表面码逻辑比特;若要支撑如大整数分解、量子化学高精度模拟或长期稳定运行的通用计算,所需总规模很容易上升到数十万乃至百万物理比特量级。以分解 2048 位 RSA 整数的公开资源估算为参照,典型方案需要数千个逻辑比特与 10^9 量级的 T 门,配合魔态蒸馏工厂后的总物理比特需求普遍落在百万量级,即便算法与编码层面的持续优化已把该数字一再压低,其数量级仍然顽固地停留在“百万”附近。这个数量级并非宣传口号,而是由码距、目标逻辑错误率、魔态蒸馏开销、并行度需求与控制冗余共同推导出的系统结果。

因此,量子芯片的竞争不再只是“谁先做到一百比特”或“谁的单比特门最好”,而是“谁能把制造、封装、布线、低温负载、校准自动化和经典控制系统一起推向大规模可复制”。资源开销的巨大性意味着任何局部低效都会在系统级被放大:一个辅助比特读出链路多占一点带宽,上万通道时就可能成为瓶颈;一个校准流程多花几分钟,大阵列时就可能无法维持漂移稳定;每条微波线缆带进制冷机的热负载看似微不足道,乘以十万通道后就足以压垮混合腔的制冷功率预算,这也是低温 CMOS 控制、多路复用读出与光互连等看似外围的技术被推到路线图核心位置的根本原因。也就是说,纠错理论虽然源自抽象数学,最终却迫使芯片工程进入类似超大规模集成系统的思维方式。

3.4.6 魔态蒸馏:非 Clifford 门的资源工厂

前一小节的资源账单中,魔态蒸馏工厂占据了醒目份额,其存在的必然性值得单独论证。Eastin-Knill 定理指出,任何能够纠正局域错误的量子码,都不可能以横向方式——即逐比特独立作用、天然不传播错误的方式——实现一个通用门集;对表面码而言,容易容错实现的恰好是 Clifford 门族,而 3.2.2 小节引述的 Gottesman-Knill 定理又表明纯 Clifford 线路可被经典计算机高效模拟。两个定理夹击之下,结论无可回避:通用容错量子计算必须为非 Clifford 操作单独付费。标准方案是把最常用的非 Clifford 门即 T 门改写为态注入过程——预先制备好魔态 $|T\rangle = (|0\rangle + e^{i\pi/4}|1\rangle)/\sqrt{2}$,再通过一小段 Clifford 电路与测量把它“消耗”掉,换取对数据比特的一次逻辑 T 门。问题于是从“如何容错地执行 T 门”转化为“如何批量供应足够纯净的魔态”:注入用的原料魔态由非容错的物理过程制备,其错误率与物理门误差同量级,即 10^{-3} 到 10^{-2} 之间,远达不到深度算法的需求。

蒸馏协议正是为跨越这一纯度鸿沟而设计的。以最经典的 15-to-1 方案为例,它把 15 个错误率为 p_{in} 的含噪魔态送入一段基于里德-穆勒码的 Clifford 检验线路,对检验比特全部通过的轮次做后选择,输出一个质量被立方压低的魔态:

$$p_{out} \approx 35 p_{in}^3 \tag{式 3-16}$$

其中 p_{in}、p_{out} 分别为输入与输出魔态的错误率,系数 35 来自该码中恰好逃过全部检验的最低权重错误组合的计数。把 $p_{in}=10^{-2}$ 代入,一轮蒸馏即得 $p_{out}\approx 3.5\times 10^{-5}$;若目标错误率更低,可将输出作为下一轮输入级联使用,k 轮之后错误率按三次方塔式坍缩:

$$p_k \approx \frac{1}{\sqrt{35}}\left(\sqrt{35}\,p_{in}\right)^{3^k} \tag{式 3-17}$$

其中 p_k 为第 k 轮输出错误率。代入 $p_{in}=10^{-2}$ 可得两轮后 p_2 已达 10^{-12} 量级,满足大规模算法对单个 T 门的可靠性要求;代价则是原料消耗按 15^k 增长,两轮即 225 个原料态,再叠加后选择失败重试与承载检验线路的逻辑比特自身开销,产出一个高纯魔态的综合成本通常落在数千“逻辑比特乘循环周期”的量级。这条三次方压低曲线与式 3-15 的码距压低曲线一样,都是“以计算辅助猜想”的范本:参数一旦代入,方案可行与否立即从争论变成算术。

把工厂放回整机视角,数量级同样触目。以分解 2048 位 RSA 所需的约 10^9 个 T 门为参照,每个 T 门消耗一个魔态,若希望在一天即约 10^5 秒内完成运行,工厂必须维持每秒 10^4 量级的稳定产出;早期架构研究估算蒸馏工厂要占据整机物理比特的一半以上,经由 lattice surgery 编排与更高效协议的持续优化,这一比例已被压到一到三成的量级,但魔态工厂依然是容错处理器平面布局中最大的单一功能区。这给芯片设计带来两条直接推论:其一,通用容错处理器的版图不是均匀的比特海,而是存储区、蒸馏工厂区与路由总线区并存的异构布局,各区对相干时间、连接度与读出带宽的需求权重并不相同;其二,T 门消耗速率必须与逻辑比特数并列为一级架构指标,一条把算法 T 门数量减半的编译优化,其系统价值可能超过把全部物理门保真度提升两成的工艺改进。非 Clifford 资源的稀缺性由此把编译器、体系结构与器件工艺焊接进同一张成本表,这也正是下一小节所述替代编码路线试图松动的约束。

3.4.7 新兴纠错码:qLDPC、色码与玻色编码

虽然表面码目前最受重视,但它并不是唯一选择。表面码的编码率随规模趋于零——一千个物理比特只换来一个逻辑比特——这一先天短板正是替代路线的共同出发点。qLDPC 码试图在保持低密度校验结构的同时获得更优的参数缩放,理论上可用常数编码率同时维持随规模增长的码距,把同等逻辑可靠性所需的物理比特数量压低一个数量级;其代价是校验算符需要超越二维近邻的长程连接,这对固态平台的布线是苛刻要求,却恰好契合中性原子与离子平台可重构连接的天然优势。色码在某些操作实现上更具对称性,理论上可支持更丰富的横向逻辑门结构,从而减少对魔态蒸馏的依赖;玻色编码则不把一个物理载体只当作单个二能级系统使用,而是利用谐振腔等高维模态的连续变量自由度来编码量子信息,典型代表包括猫态码与 GKP 码——猫态码通过工程化耗散把比特翻转错误指数压低,使噪声结构强烈偏置,再用更简单的重复码处理剩余的相位错误,相当于把一部分纠错开销从“比特数量”转移到“单个器件的哈密顿量工程”上。它们共同体现出一个趋势:量子纠错正在从“如何修补错误”进一步转向“如何从编码层面重构硬件效率”。

对芯片设计来说,这些新路线意味着架构选择不再中性。若采用玻色编码,器件设计重点可能从大量均匀二能级比特转向高 Q 腔、非线性耦合与自治稳定机制;若押注 qLDPC,则芯片互连与非局域耦合能力可能变得更重要;若发展色码,布局规则与门调度方式也会变化。也就是说,纠错码并不是后置软件层,它反过来规定硬件应当长成什么样。未来哪条路线胜出,很大程度上取决于哪种编码方案能与真实器件噪声、制造成本和控制复杂度形成更优耦合。

3.4.8 解码器:MWPM、Union-Find 与神经网络解码

纠错并不在 syndrome 被测得那一刻结束,真正决定逻辑成败的是后续解码。解码器要根据时空 syndrome 图推断最可能发生的错误模式,并输出纠正策略或帧更新信息。对于表面码,最经典的方法是最小权完美匹配 MWPM,它在误差独立近似下具有良好性能,但最坏情况计算复杂度接近节点数的三次方,计算开销不轻;Union-Find 解码以近似线性的复杂度换取接近最优的效果,适合追求更高实时性的场景;神经网络与其他机器学习解码器则试图利用复杂噪声分布中的统计结构,在相关错误或非理想噪声环境下获得更强适应性。解码因此成为量子与经典协同中的核心瓶颈之一,其吞吐压力可以直接算出来:一块 $d = 25$ 的表面码含上千个稳定子,以 1μs 循环周期计,单个逻辑比特每秒产生 10^9 比特量级的 syndrome 流,数千个逻辑比特并行运行时总流量达每秒万亿比特级;更严峻的是延迟约束——若解码速度赶不上 syndrome 产生速度,积压将随运行时间无限增长,逻辑时钟被迫停摆,这就是“解码必须实时”的硬性含义。

这对芯片工程的意义极为直接。一个物理比特阵列即便稳定子测量做得不错,若 syndrome 送不出去、经典处理来不及、反馈时延过长,逻辑层优势依然无法兑现。因而未来量子处理器的设计必须把解码器吞吐、低时延互联、FPGA/ASIC 协处理以及软件栈调度一并纳入。可以说,量子纠错的最后一公里并不发生在量子芯片上,而发生在量子芯片与经典控制系统的接口处。谁能把这条接口做成高带宽、低时延、可扩展的工业级通道,谁才真正拥有从物理比特走向逻辑比特的能力。

3.5 量子理论与芯片工程的统一意义

从叠加、纠缠、测量、退相干到量子纠错,这些概念若只停留在教科书中,容易被看成彼此分离的理论模块;但一旦进入量子芯片语境,它们其实构成了一条连续的工程因果链。叠加决定信息表示必须以相位可控的态空间来实现,因此器件需要长相干、高保真控制与稳定参考系;纠缠决定计算优势来自非局域关联而非单体性能堆砌,因此耦合网络、双比特门与串扰管理成为架构中心;测量把量子信息输出到经典世界,同时又可能引入回扰,因此读出链路既是出口又是瓶颈;退相干把所有理想演化不断拉回现实噪声之中,迫使工程师从材料、封装到控制软件进行跨层优化;量子纠错则把前面所有局部指标重新整合为一个系统目标,即让逻辑错误率随着规模增加而下降。本章的若干定量估算把这条因果链进一步串成了闭环:式 3-4 的热布居计算规定了制冷基座温度,式 3-5 的隧穿指数敏感性解释了频率拥挤的工艺根源,式 3-11 的能量-时间制约框定了读出时窗,式 3-12 与式 3-13 把噪声机制折算为相干预算,式 3-15 则把这一切最终折算为逻辑比特的资源账单,式 3-16 与式 3-17 又为非 Clifford 通用性单独标出了价码——每一个看似孤立的物理公式,都在系统层面对应一条可以被追踪、被验证、被优化的工程约束。

因此,量子力学并不是芯片工程的“背景理论”,而是其设计规则本身。经典半导体工程更多是在既定物理规律下追求更高集成度与更低功耗,而量子芯片工程则必须直接把物理规律当作信息处理机制去塑造。这里不存在理论与工程的简单先后关系,更不是先有完备理论再去实现这么线性的流程;真实情况往往是理论约束定义了可行窗口,工程实验又反过来暴露哪些理论假设在实际器件中会被噪声、漂移、制造偏差和控制复杂度扭曲。准粒子密度比热平衡预言高出几十个数量级、宇宙射线击穿错误独立性假设、有效阈值随相关噪声下滑,都是理论模型在真实器件面前被迫修正的实例;反过来,不可克隆定理、不确定性原理与阈值定理又为工程探索划出了不可逾越的硬边界。也正因为如此,

量子芯片研发必须组织成一种高度耦合的跨学科协作:量子物理学家定义可操作原理,材料与工艺团队压低噪声源,微波与封装团队搭建控制接口,系统与软件团队维护标定和反馈闭环,容错与算法团队则不断把“什么样的错误是可接受的”重新写回硬件指标。

进一步看,量子理论与芯片工程的统一还意味着评价体系必须改变。经典芯片可以用晶体管数、主频、功耗、面积等相对直观的指标比较,但量子芯片若只看比特数,极易误导。真正关键的是比特数能否转化为可用逻辑规模,门与测量误差是否低于阈值,串扰与相关错误是否被抑制到可解码范围,系统能否长时间稳定运行并支持重复校准。用本章的语言说,评价一台量子计算机,归根到底是在问 p/p_{th} 这个无量纲比值有多小、能在多大规模上保持多小,以及围绕它的解码、控制与制造体系能否让式 3-15 的指数压低真实兑现。这些问题都直接对应前述量子理论概念的工程化落点。因此,量子世界观给芯片设计带来的最深刻变化,并不是多了一套新术语,而是迫使整个行业接受一个事实:在量子计算中,物理实现质量本身就是算法可达性的边界,工程能力本身就是理论可兑现性的尺度。

3.6 本章小结

本章的核心任务,并不是重复量子力学的基础定义,而是把这些定义翻译成量子芯片设计必须面对的工程约束。叠加说明量子信息处理依赖概率幅与相位关系,因此芯片必须能够初始化、操控并维持高质量相干态,而玻恩规则与热布居统计已经为初始化纯度和读出成本给出了可计算的物理底线;纠缠说明真正的量子算力来自多体不可分关联,因此双比特门、耦合拓扑与串扰抑制构成系统架构的中心,CHSH 上界与纠缠熵则为这种关联提供了可实测的定量标尺;测量与退相干共同揭示了量子处理器的双重边界,即既要隔离环境又要建立高保真输出接口,不确定性原理与主方程框架把这一边界从直觉表述提升为可设计、可诊断的动力学模型;量子纠错则进一步表明,未来通用量子计算不可能建立在孤立优质器件之上,而必须建立在可扩展的逻辑编码与实时解码闭环之上,阈值与码距缩放律更是把“还差多远”从口号变成了可以代入数字的算术题。

从工程角度看,这些原理共同给出了一条清晰判断标准:量子芯片的优劣,不取决于它是否在某个演示中展现了量子特性,而取决于它能否把这些量子特性稳定、可重复、可扩展地组织成计算资源。也就是说,量子理论不是“算完再谈实现”的上游知识,而是芯片路线选择、器件结构设计、控制系统开发和容错架构规划的统一坐标系。理解这一点,才能真正理解为什么量子芯片不是经典芯片的小幅延伸,而是一种以量子世界观为底层逻辑重新定义的信息处理机器。后续章节将沿着这一坐标系展开:从具体的量子比特物理实现,到控制与读出电子学,再到纠错架构与系统集成,每一层都可以视为本章所述理论约束在不同工程尺度上的具体化。

第四章 量子芯片核心技术体系:六大技术路线与关键技术详解

量子芯片并不存在单一必胜路线,当前产业与学术界所面对的现实格局,并不是经典半导体历史上那种由某一器件结构快速收敛并形成绝对主流标准的演化路径,而是多种物理平台围绕不同约束条件并行推进、相互借鉴、彼此竞争的长期过程。其根本原因在于,量子比特既要满足可初始化、可操控、可读出、可耦合等计算要求,又必须在噪声、温度、材料缺陷、控制误差与系统工程复杂度之间维持微妙平衡,因此任何一种路线的优势都不是无条件成立,而总是与特定系统代价绑定。今天所谓量子芯片,已经不能仅理解为“把量子比特做在一块芯片上”,更应理解为围绕量子态制备、逻辑门实现、互连、封装、低温控制和软件编译共同构成的完整硬件体系。

从国际公开进展看,超导、离子阱、光量子、中性原子、半导体量子点与拓扑量子芯片构成了六大主流技术路线。这六条路线在比特物理载体、驱动机制、工作温度、门模型、误差来源与可扩展路径上差异显著,其竞争并非简单体现在“谁的比特数更多”,而是体现在谁能够以可验证、可复制、可制造的方式,把单比特性能、双比特保真度、芯片级连通、控制资源密度与系统集成能力同步推进。换言之,量子芯片路线之争的核心不是短期演示性纪录,而是能否走通从物理原型到工程化平台、再到容错计算架构的全链路闭环。

评价一条量子芯片技术路线是否具备持续竞争力,通常需要同时考察若干关键维度:其一是相干时间,即量子态在退相干前可维持有用演化的时间窗口;其二是门保真度,包括单比特门、双比特门和读出误差,这是迈向纠错门槛的直接指标;其三是门速度,决定在有限相干时间内可执行多少层量子电路;其四是连通性,涉及比特之间能否高效实现耦合及编译映射开销;其五是可扩展性,不仅指物理比特数量增加,更指控制、封装、校准和制造复杂度能否随规模增长而维持可管理;其六是工艺成熟度,即材料、加工、测试和良率是否具备稳定工程基础。各路线的现实位置,正是在这些维度上形成不同组合:有的平台以速度见长,有的平台以精度取胜,有的平台在大规模排布上更具潜力,而有的平台则押注于更长期的容错物理机制。

这些维度之间存在一个可以量化的核心张力,即相干时间与门速度共同决定的“有效门深”。若以 T_2 表示退相位时间、t_g 表示典型双比特门时长,则一条路线在单个相干窗口内可执行的门层数大致为 $N_{eff} \sim T_2/t_g$。按公开典型值粗略估算:超导平台 $T_2 \sim 100\ \mu s$、$t_g \sim 200\ ns$,得 $N_{eff} \sim 500$;离子阱 $T_2 \sim 1\ s$、$t_g \sim 50\ \mu s$,得 $N_{eff} \sim 2 \times 10^4$;硅自旋在同位素纯化条件下 T_2 可达毫秒级、交换门几十纳秒,N_{eff} 同样可上探 10^4 量级。这组数字揭示了一个反直觉事实:门速度最快的平台并不自动拥有最深的可用电路,速度与相干必须联合评估。当然,N_{eff} 只是理想上限,实际可用深度还要被门误差累积、串扰与读出开销进一步压缩,但它作为一阶筛选指标,足以解释为何六条路线在不同任务类型上各有生态位。本章后续将在每条路线的论述中给出关键物理机制的定量表达,并把典型参数代入,以计算辅助对各路线可扩展边界的判断。

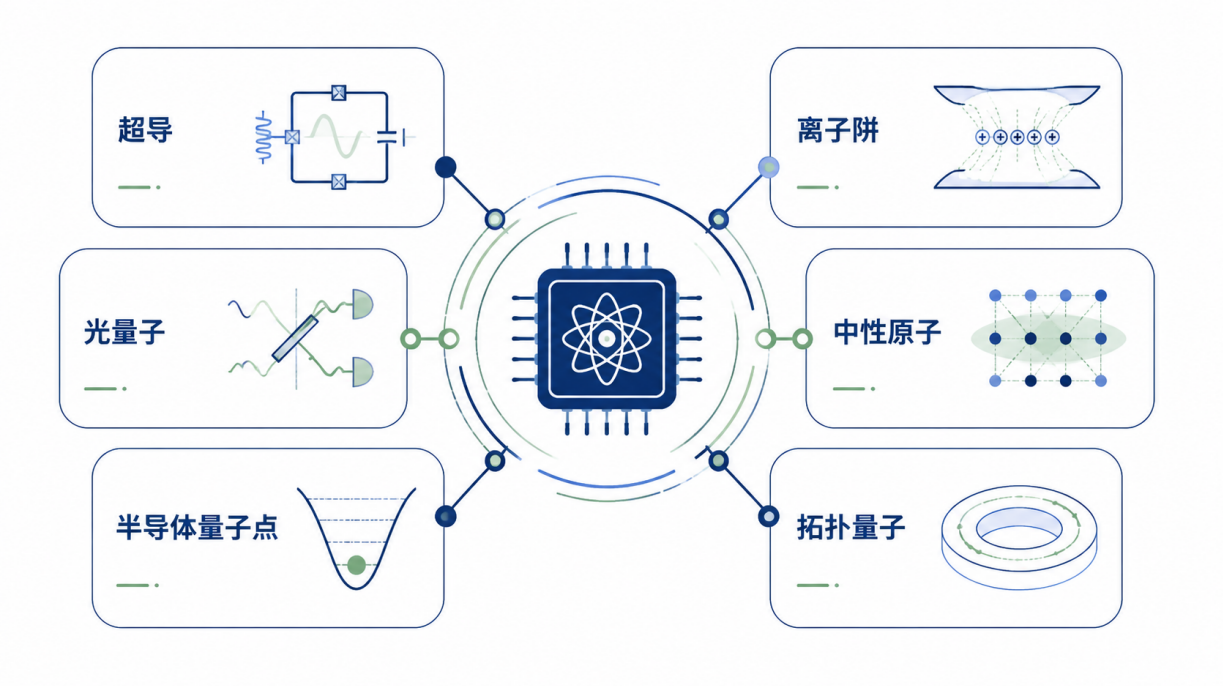


图 4-1 量子芯片六大技术路线全景图

4.1 超导量子芯片

4.1.1 物理原理:Josephson结与transmon

超导量子芯片是当前工程化程度最高的量子计算硬件路线之一,其核心思想是在低温超导电路中引入非线性元件,使本来等间隔的谐振能级发生非简谐化,从而从众多能级中选取最低两个能级作为量子比特。实现这种非线性的关键器件是Josephson结,它由两块超导体通过极薄绝缘层耦合形成,能够在零电压下支持超导相位相关的隧穿电流,并提供不同于线性电感的量子非线性。基于Josephson结的电路量子电动力学框架,研究者建立了对超导比特、谐振腔、读出总线和耦合器的统一描述,从而使量子门、测量与多比特相互作用可以在微波域中精确设计与控制。

从电路量子化角度看,一个由Josephson结与并联电容构成的超导比特,可以用两个能量尺度完全刻画:约瑟夫森能量 E_J 与充电能量 E_C。前者由结的临界电流决定,行内关系为 $E_J = \Phi_0 I_c/2\pi$,其中 $\Phi_0 = h/2e$ 为磁通量子,I_c 为结临界电流;后者由总电容决定,$E_C = e^2/2C_\Sigma$。整个电路的量子行为由如下哈密顿量支配:

$$H = 4E_C n^2 - E_J \cos\varphi \tag{式 4-1}$$

其中 n 为结上转移的库珀对数算符,φ 为超导相位差算符,二者构成一对共轭量子变量。正是 $\cos\varphi$ 项提供的非线性,使得电路能级间距不再均匀,让最低两个能级可以被微波脉冲选择性寻址而不会把布居泄漏到更高能级,这就是“人工原子”一词的物理来源。

在多种超导比特结构中,transmon已成为事实上的主流实现。它通过增大约瑟夫森能量与充电能量之比,显著降低电荷噪声对能级频率的影响,以牺牲一定非简谐性为代价换取更长的相干时间与更稳定的操控窗口。在 $E_J/E_C \gg 1$ 的transmon区,对式4-1作微扰展开可得比特跃迁频率的近似表达:

$$\omega_{01} \approx \frac{\sqrt{8E_J E_C} - E_C}{\hbar} \quad \text{(式 4-2)}$$

其中 $\hbar$ 为约化普朗克常数,非简谐性近似为 $\alpha \approx -E_C/\hbar$。把典型参数代入即可核对该式与真实器件的一致性:取 $I_c \approx 30$ nA,由 $E_J = \Phi_0 I_c/2\pi$ 得 $E_J/h \approx 15$ GHz;取 $C_\Sigma \approx 78$ fF 得 $E_C/h \approx 250$ MHz,于是 $E_J/E_C \approx 60$,恰处transmon典型区间。代入式4-2得 $\omega_{01}/2\pi \approx \sqrt{8 \times 15 \times 0.25} - 0.25 \approx 5.2$ GHz,非简谐性约为 -250 MHz,与公开报道的4至6吉赫兹工作频段和百兆赫兹级非简谐性高度吻合。这一定量核算也直接解释了工程约束:非简谐性限定了微波脉冲的最短时长,脉冲频谱宽度必须显著小于 $|\alpha|$ 才能避免能级泄漏,因此几纳秒以下的超快门在transmon上并不能无代价获得。transmon通常采用平面电路或三维封装实现,通过电容耦合到微波谐振腔和相邻比特,再借助微波脉冲完成单比特旋转、交叉共振门、受控相位门等基本操作。其本质是一种“弱非简谐人工原子”,既不同于天然原子的能级固定,也不同于经典电路的连续可调,而是通过微纳加工把量子力学可控地写入电路参数之中。

需要强调的是,超导比特并非单个Josephson结即可自动实现高性能量子计算,而是依赖于材料表面损耗控制、寄生模管理、芯片版图优化和微波工程协同。量子芯片中的每一条走线、每一个接地开口、每一个空气桥和每一个封装腔体模态,都可能成为退相干或串扰来源。因此超导路线的“物理原理”从来不是纯粹的器件物理问题,更是电路量子化、材料缺陷谱、微波封装与控制理论共同耦合的系统工程问题,这也解释了其发展速度快但调优难度持续上升的双重特征。

4.1.2 优势:门速度快、微纳工艺兼容、生态成熟

超导量子芯片最突出的优势在于门速度快。典型单比特门时间通常处于几十纳秒量级,双比特门多在百纳秒到数百纳秒量级,与离子阱等路线相比可以在相干时间窗口内执行更多门层深,这使其在变分算法、随机线路采样、表面码循环等需要大量重复门操作的任务中具有明显系统优势。门速度快不仅意味着理论吞吐量更高,更意味着在同样的退相干背景下,控制误差有更大空间通过校准与脉冲整形压缩到可接受范围。对容错计算而言,门速度还直接决定纠错循环周期:一轮表面码稳定子测量包含数层双比特门与一次读出,超导平台可把单轮循环压缩到一微秒量级,这意味着每秒可执行近百万轮纠错,解码器与实时反馈系统必须跟上这一节奏,反过来也说明快门速率为逻辑时钟频率设定了其他路线难以企及的上限。

第二个优势是与现代微纳制造体系具有较强兼容性。超导芯片通常采用铝、铌等超导薄膜,配合光刻、电子束曝光、沉积、刻蚀和晶圆级测试等工艺流程进行制造,其底层工具链与先进半导体和微波器件产业存在明显重叠。虽然量子器件对表面氧化层、双能级缺陷、界面污染和封装洁净度极为敏感,不能简单等同于成熟CMOS生产,但从制造组织形式看,超导路线最早形成了晶圆化迭代、批量版图改进和参数统计优化的工程方法。其关系并非线性叠加,而是“半导体制造能力+低温微波系统经验+量子校准软件”共同推动性能提升。以频率分配为例,数百比特阵列必须在几吉赫兹频段内为每个比特和耦合器安排互不冲突的工作点,结频率的制造离散若超过百兆赫兹量级,频率碰撞概率将随比特数近似平方增长,因此激光退火修调、结电阻统计筛选等“制造后校正”工艺已成为大规模超导芯片良率管理的核心手段,这正是半导体统计过程控制方法向量子制造迁移的直接体现。

第三个优势是生态成熟度高。超导体系已经建立起较完整的器件设计、室温电子学、低温链路、自动校准、误差表征和云端访问生态,开源与商用软件栈也相对丰富。无论是基于门模型的编译器、脉冲级控制接口,还是随机基准测试、交叉熵基准测试、层析与误差缓解工具,超导路线都积累了

较深厚的方法学沉淀。对于产业化而言,生态成熟的意义不只是“可以做出样机”,更在于能否把新器件、新工艺和新算法快速嵌入可复用的开发框架中,从而缩短平台迭代周期。

4.1.3 瓶颈:毫开尔文制冷、布线、相干时间

超导路线最显著的系统代价来自极低温工作条件。为了抑制热激发并保持超导态稳定,主流超导量子处理器必须工作在稀释制冷机的毫开尔文温区,通常是10至20毫开尔文量级。这一温区要求可以从能量尺度直接推出:比特频率5吉赫兹对应温度当量 $\hbar\omega_{01}/k_B \approx 240\ \mathrm{mK}$,若环境温度为20毫开尔文,热激发布居按玻尔兹曼因子 $\exp(-\hbar\omega_{01}/k_BT) \approx \exp(-12) \approx 6\times10^{-6}$ 被压低到百万分之几;而温度若升至100毫开尔文,该因子将恶化到约9%,比特将频繁被热光子激发而无法可靠初始化。如此低的工作温度带来一系列连锁问题:制冷功耗高、系统体积大、维护复杂、热预算极其紧张,室温到混合室之间的每一根同轴线、每一个衰减器和每一级放大器都需要在信号完整性与热负载之间权衡。因此超导量子芯片的规模扩展,从来不只是“在晶圆上多放一些比特”,而是整个低温系统、布线架构和电子控制链路同步升级的问题。

布线与控制资源密度是第二个核心瓶颈。当前多数超导系统仍然依赖每个比特或每组比特配置独立的微波驱动、读出与直流偏置通道,这使得随比特数上升,同轴线数量、连接器数量、热锚点复杂度和串扰源数量近乎同步增长。二维芯片边缘引出方式还会形成“扇出拥堵”,限制中心区域比特的可达性,因而推动三维封装、through-silicon via、flip-chip和多层互连技术的发展。但这些方案在改善布线密度的同时,也可能引入新型寄生模、封装应力与工艺不良率问题。若沿用当前每比特约2至3根低温线缆的架构外推,一台百万物理比特容错机将需要数百万根低温引线,这在热负载与机械体积上均无可行性,因此低温多路复用与冷端电子学不是可选优化,而是规模化的先决条件。

第三个瓶颈是相干时间与门误差提升逐渐进入深水区。超导比特的能量弛豫时间与退相位时间已从早期微秒级提升到数十微秒乃至百微秒量级,在优秀样品上可进一步接近数百微秒,但系统平均水平仍受材料缺陷、表面两能级系统、涡旋损耗、辐射损耗和读出链路反作用等因素限制。相干时间对门误差的约束可以用一个简明的下限公式刻画:

$$\varepsilon_{coh} \approx 1-\exp(-t_g/T_2) \approx t_g/T_2 \tag{式 4-3}$$

其中 ε_{coh} 为纯退相干贡献的门误差下限,t_g 为门时长。代入当前典型值 $t_g = 40\ \mathrm{ns}$、$T_2 = 100\ \mu\mathrm{s}$,得单比特门相干误差下限约 4×10^{-4};双比特门取 $t_g = 200\ \mathrm{ns}$,下限约 2×10^{-3}。这组数字与公开报道的双比特门误差 10^{-3} 量级几乎重合,说明当前超导双比特门已相当接近相干时间设定的物理天花板,继续压低误差要么缩短门时长,要么把 T_2 再提升一个数量级。反过来外推:若目标是把双比特门误差压到 10^{-4} 以支撑更低纠错开销,在 $t_g = 100\ \mathrm{ns}$ 条件下需要 $T_2 \geq 1\ \mathrm{ms}$,即比当前系统平均水平高约一个数量级,这正是材料界面工程、新型超导材料与三维屏蔽封装持续投入的定量理由。随着目标从“演示可运行量子程序”转向“稳定跨越纠错阈值并支持大规模码循环”,人们必须从单器件优化转向大规模一致性控制,而一致性往往比单点纪录更难获得。也正因此,超导路线虽然领跑,却始终处在高速度推进与高复杂度积累并存的张力之中。

4.1.4 代表性进展与指标现状

从公开指标看,超导量子芯片在比特数量、门速度和工程可重复性方面长期保持领先。典型单比特门保真度已达到99.9%以上量级,高质量平台可进一步逼近99.95%乃至更高;双比特门保真度通常在99%至99.8%区间,领先样机在特定耦合结构与校准条件下可以接近或跨越99.9%的门槛;读出保真度则多处于95%到99%以上,具体受测量时间、放大链路和串扰校正方案影响。相干时间方面,主流transmon的T1、T2通常在几十到上百微秒量级,部分优化结构和三维腔体样品可更长,但大规模二维阵列中的平均值往往低于实验室最佳纪录。

在规模方面,超导平台已经实现从十比特级、百比特级向更大规模阵列的持续推进,并多次完成量子随机线路采样、纠错重复循环、逻辑比特寿命改善等里程碑实验。值得注意的是,比特数本身并不足以代表芯片技术成熟度,因为随着规模扩大,频率碰撞、串扰、寄生耦合和校准漂移都会显著上升,真正关键的指标应当是“在给定规模下可稳定获得的有效门深与逻辑性能”。近年的公开结果表明,超导路线已经从追求单次演示性优势,逐步转向围绕逻辑比特、表面码片段和误差抑制流程建立更完整的容错验证框架。尤其值得关注的是码距扩展实验:当表面码码距从3增至5再增至7时,逻辑错误率呈现随码距指数下降的趋势,这是“物理误差已被压到阈值以下”的最直接系统级证据,其意义远大于任何单器件保真度纪录,因为它验证的是整条“制造一致性—校准自动化—实时解码”链路的联合水平。

从产业视角看,超导路线的代表性进展还包括工艺平台化与控制自动化。晶圆级统计分析、自动频率分配、脉冲寻优、机器学习辅助校准、低温读出链国产化替代以及面向数据中心式低温基础设施的建设,都使其不再停留于“实验室手工调机”阶段。超导路线当前的现实位置可以概括为:在六大路线中工程化领先,在近期容错探索中最具可操作性,但其能否进一步突破,取决于是否能把制冷、互连和一致性制造三个系统瓶颈同步压低。

4.1.5 规模化路径:模块化互连与低温接口

超导量子芯片若要从数百物理比特迈向更高规模,单芯片平面扩展并非唯一,也未必是最终最优路径。一个重要方向是模块化互连,即把多个中等规模、局部高保真的量子芯片作为功能模块,通过共面波导、三维腔体、微波光子链路或转导接口实现模块间纠缠分发与逻辑协同。这一路径的优点在于可以把制造良率、热管理和校准复杂度限制在更可控的子系统内,再通过互连协议逐步构建更大的量子处理阵列。其挑战则在于模块间门操作和纠缠传输的保真度必须足够高,否则系统边界将成为误差热点。一个粗略但有指导意义的判据是:若模块内双比特门误差为 10^{-3},而跨模块操作误差为 10^{-2},则纠错码在模块边界处的有效阈值裕度将被压缩近一个数量级,边界必须采用更大码距或纠缠蒸馏补偿,由此产生的资源开销决定了模块划分的最优粒度不能太细。

另一关键方向是低温接口与低温电子学。当前大量控制与读出电子设备位于室温端,导致长链路损耗、线缆拥堵和系统能耗偏高。若部分多路复用、开关矩阵、信号合成和前端数字处理功能能够下沉至4 K甚至更低温区,则有望显著减轻布线压力并提升系统集成度。问题在于,低温CMOS、超导数字逻辑和低噪声放大技术尚需在功耗、热注入和可靠性方面继续成熟,其成功与否将直接影响超导路线能否跨入更高规模时代。这里存在一笔严苛的热预算账:稀释制冷机在4 K级的制冷功率约为瓦级,而混合室级仅有约百微瓦到毫瓦量级,若冷端控制芯片每通道功耗为毫瓦级,则4 K温区最多容纳千

通道量级;要支撑百万比特,冷端每通道功耗必须压到微瓦级以下,或者依靠时分与频分复用把物理通道数压缩两个数量级以上,二者很可能需要同时实现。

总体而言,超导量子芯片的规模化路径已经从“做更大的单片”转向“做更可集成的系统”。真正的竞争焦点不再只是单次样机发布,而是模块、互连、低温控制、纠错编排与制造供应链能否形成闭环。一旦这些环节中的两个或三个取得同步突破,超导路线仍极有可能在未来相当长时期内保持量子计算主平台地位。

4.2 离子阱量子芯片

4.2.1 物理原理:Paul阱、激光操控、声子总线

离子阱量子芯片以带电原子离子作为量子比特载体,通过电磁场将离子悬浮束缚在真空中的势阱区域,再利用离子内部电子态或超精细能级作为量子信息编码空间。最常用的是射频Paul阱,它通过时变电场形成赝势,在空间中稳定束缚离子链;静电电极则用于轴向势阱整形和离子位置控制。与固态人工量子比特不同,离子本身是高度一致的天然量子系统,不需要依赖纳米尺度制造来定义能级结构,因此天生具备优异的一致性与可复制性。

Paul阱的束缚机制可以定量刻画。由于静电场不可能在三维同时形成势能极小(Earnshaw定理),Paul阱采用频率为 Ω_{rf} 的射频电压 V_0 在电极间构造快速振荡场,离子在时间平均意义上感受到一个有效的二次型赝势:

$$U_{ps}(r) \approx \frac{q^2 V_0^2}{4m\Omega_{rf}^2 r_0^4} r^2 \tag{式 4-4}$$

其中 q 与 m 分别为离子电荷与质量,r_0 为电极特征距离,r 为离子偏离阱轴的位移。该赝势对应的径向久期振动频率为 $\omega_r \approx qV_0/(\sqrt{2}\,m\Omega_{rf}r_0^2)$。代入典型参数:钙离子 $m \approx 40$ 原子质量单位、$V_0 \approx 300$ V、$\Omega_{rf}/2\pi \approx 30$ MHz、$r_0 \approx 0.5$ mm,可得径向频率约为兆赫兹量级,这正是实验中离子链声子模的典型频段。这一估算说明离子阱的“芯片化”并不改变物理本质,表面电极阱只是把同样的赝势几何压缩到平面工艺可实现的百微米尺度,代价是 r_0 减小后离子更靠近电极表面,电场噪声引起的加热率按距离的负四次方左右急剧上升,这是芯片化离子阱必须面对的核心权衡。

离子阱的操控通常依赖激光脉冲或微波场实现。单比特门通过选择性驱动离子的内部跃迁完成,双比特门则利用离子链的集体振动模作为“声子总线”,把不同离子的内部态与公共运动自由度耦合起来,从而形成诸如Mølmer–Sørensen门等高保真纠缠操作。自旋与运动自由度的耦合强度由Lamb-Dicke参数决定:

$$\eta = k\cos\theta\sqrt{\frac{\hbar}{2m\omega}} \tag{式 4-5}$$

其中 k 为操控光场波矢大小,θ 为光传播方向与振动方向夹角,ω 为所用声子模频率,根号项即离子运动基态波包尺度。代入钙离子四极跃迁参数:波长729纳米对应 $k \approx 8.6 \times 10^6$ m^{-1},取 $\omega/2\pi = 1$ MHz、$\theta = 0$,基态波包尺度约11纳米,得 $\eta \approx 0.1$。这个约0.1的无量纲数几乎主宰了离子阱门物理:它既是自旋-声子纠缠的杠杆,也是门速度的天然限速器,因为有效纠缠速率正比于 $\eta\Omega$,其中 Ω 为载波拉比频率。其核心机制是通过精密调节失谐、脉冲相位与持续时间,使多个离子在演化后回到

相同运动态,而内部自旋态之间积累可控相位。离子阱量子计算因此体现出一个鲜明特征:量子逻辑并非主要靠邻近固态器件之间的直接短程耦合,而是依靠整个离子链共享的运动模式完成。

这一物理框架带来高度可控性,也带来高度系统耦合性。当离子数增加时,振动模谱变得更密集,门操作对加热、模式漂移与激光相位稳定性的要求迅速提高。因此离子阱的基本原理虽然在单链和中等规模系统中表现优异,但走向大规模时必须引入更复杂的分区、搬运和网络化架构,这也是其后续QCCD与光互连路线产生的直接背景。

4.2.2 优势:最高门保真度、全连通、超长相干

离子阱路线最被公认的优势是极高的门保真度。由于离子量子态定义清晰、环境耦合较弱、操控手段成熟,其单比特门保真度长期处于99.99%以上量级,双比特门保真度也已在多个实验平台逼近或超过99.9%,在六大路线中常被视作精度标杆。这一优势不仅体现在实验纪录,更体现在不同设备、不同离子种类和不同团队之间的可重复性上,说明其误差模型相对清晰、可校准性较好。对于容错计算而言,高保真度意味着编码开销可显著降低,也使其成为验证量子纠错方案与高精度量子模拟的重要平台。若以后文式4-18的表面码逻辑错误率公式衡量,物理误差从 10^{-3} 降到 3×10^{-4},在同一目标逻辑错误率下所需码距可缩小约三分之一,物理比特开销近乎减半,这正是“精度红利”在容错时代的直接兑换率。

第二个优势是近似全连通结构。在一条离子链内,多个离子可通过公共振动模实现远距离纠缠,不必像二维超导阵列那样严格依赖最近邻耦合。因此编译映射时所需的SWAP操作显著减少,对量子算法尤其是含大量非局域相互作用的化学模拟、优化和纠错子程序十分有利。全连通并不意味着任意门都毫无代价,因为模式选择、频谱拥挤和激光寻址复杂度仍会随着规模上升而增加,但其逻辑连通性的先天优势在中小规模高精度计算中非常明显。定量地看,在二维最近邻架构上执行一次任意两比特间的门平均需要 $\sim\sqrt{N}$ 量级的SWAP链,对百比特系统即约10层额外深度,而全连通结构把这一开销压为常数,这解释了为何在同等物理保真度下,离子阱系统跑同一算法的“算法级保真度”常常更高。

第三个优势是超长相干时间。被束缚的离子可以在超高真空环境中维持极长时间的量子态寿命,某些时钟态或超精细态在适当动态去耦下可以获得从秒级到分钟级乃至更长的相干表现。这意味着离子阱虽然门速度较慢,但其“可用门深”未必处于劣势,因为长相干时间为误差抑制、序列优化与复杂线路执行提供了巨大时间余量。按本章导言的有效门深估算,离子阱以 $T_2\sim1\ \mathrm{s}$、$t_g\sim50\ \mu\mathrm{s}$ 计,$N_{eff}\sim2\times10^4$,比典型超导系统高一个数量级以上。离子阱路线因此形成一种鲜明的技术哲学:它不追求极致快门,而追求极致准确和稳定,其系统优势往往体现在高质量量子操作而非纯吞吐量。

4.2.3 瓶颈:门速度慢、激光系统复杂、规模化受限

离子阱的第一大瓶颈是门速度偏慢。典型单比特操作常在微秒量级,双比特门多为几十微秒到数百微秒量级,显著慢于超导电路。这一速度并非工程惰性所致,而是由声子总线机制内生决定的,双比特门时长可用如下量级关系估计:

$$t_g\sim\frac{2\pi}{\eta\Omega} \tag{式 4-6}$$

其中 η 为式4-5的Lamb-Dicke参数,Ω 为载波拉比频率。代入 $\eta=0.1$、$\Omega/2\pi=500\ \mathrm{kHz}$,得 $t_g\sim20\ \mu\mathrm{s}$,与实验典型值几十微秒一致。要把门加快十倍,要么把 Ω 提高十倍,这需要更强激光功率

并放大自发散射误差;要么增大 η,但这会破坏Lamb-Dicke近似并放大对运动态加热的敏感性。可见离子阱门速度与保真度之间存在结构性折中,快门方案(如脉冲整形超快门)虽有演示,但尚未在高保真区间常态化。这意味着在需要海量门操作的任务中,系统总运行时间更长,同时也对漂移补偿、激光稳频和控制序列可靠性提出更高要求。虽然超长相干时间在一定程度上抵消了速度不足,但在追求高吞吐纠错循环或实时反馈控制的场景中,门速度仍然是不可忽视的短板。

第二大瓶颈是激光系统复杂。离子阱平台通常需要多套高稳定度激光器、倍频模块、声光或电光调制器、精密光路、波前控制和光束寻址系统,不同离子种类还会对应不同波长的冷却、泵浦、操控和读出激光。如此庞大的光学系统不仅成本高、维护难,也使整体设备对振动、热漂移和长期运行环境高度敏感。离子阱因此常被认为“物理性能优异而工程集成沉重”,其瓶颈不完全在量子比特本身,更在外围控制系统难以像电子芯片那样高密度集成。近年集成光子学给出了缓解方向,即把寻址波导、光栅耦合器甚至部分调制器直接做进阱芯片,使自由空间光路数量随比特数增长的斜率显著下降,但多波长、高功率、低损耗的片上光学在工艺上仍处于早期爬坡阶段。

第三个瓶颈是规模化受限。随着单链离子数 N 增加,公共振动模数量按 $3N$ 增长且频谱变密,相邻模间隔近似按 $1/N$ 收缩,门操作容易受到模式串扰和加热影响,同时链稳定性下降、寻址难度增加,导致简单地拉长离子链并不是可持续扩展方案。粗略估算,当轴向频率为兆赫兹量级时,五十离子链的低阶模间隔已压缩到几十千赫兹,与门操作的频率分辨需求同量级,频谱拥挤由此成为硬约束。因此离子阱必须从单链全连通结构转向分区化、可搬运和网络化体系。然而一旦进入分区与搬运阶段,电极控制、势阱重构、离子加热抑制和跨区重校准的系统复杂度迅速抬升,这也是离子阱路线虽精度领先却在大规模推进速度上相对保守的原因。

4.2.4 表面电极阱与QCCD架构

为缓解单链扩展难题,离子阱路线近年来重点发展表面电极阱与量子电荷耦合器件架构,更常见的表述是QCCD,即量子电荷耦合器件式量子计算机。其基本思想不是把所有离子永久放在一个区域内操作,而是将芯片划分为存储区、交互区、读出区和装载区,通过电极电压动态调节把离子在不同区域之间搬运,从而在局部小链中完成高保真门操作,并在系统层面实现更大规模编排。这个思路与经典CCD图像传感器在概念上有某种类比,即通过可控转移来组织信息流动,但其实现难度显然高得多,因为每次搬运都必须尽量保持量子态与运动基态不被破坏。

表面电极阱把三维电极结构投影到平面芯片上加工,有助于提升制造一致性并推动微加工批量化。研究者已经能够在单片上实现复杂的X、Y、十字与环形分叉结构,支持离子分离、汇合、转弯和跨区路由。然而平面化并不自动等于易扩展,因为表面附近电荷噪声与异常加热可能增强,电极缺陷和污染也会直接降低离子运动品质。实验表明离子-电极距离从毫米级压到几十微米级时,异常加热率可上升数个数量级,低温运行与表面清洁处理可部分挽回,但这决定了表面阱的小型化存在物理下限。因此QCCD的价值不在于某一局部指标绝对领先,而在于它为离子阱提供了从“高精度单链”走向“可调度多区域处理器”的工程架构基础。

从体系结构角度看,QCCD意味着离子阱开始把“空间搬运”作为一种与量子门同等重要的原语。公开的QCCD系统数据显示,在典型算法执行中,搬运、分离、合并与冷却操作可占据总时间预算的一半以上,量子门本身反而不是主要时间开销,这使得搬运时延、分区并行度、交叉路由冲突、读出

吞吐和自动校准软件能否协同优化,成为决定系统性能的第一变量。未来离子阱系统的性能,不仅取决于单次纠缠门保真度,更取决于架构调度能力。这种演进路径说明,离子阱量子芯片正在从精密原子物理实验装置,逐步演化为需要架构设计、芯片设计和系统调度共同参与的复杂计算平台。

4.2.5 光互连组网

离子阱进一步扩展的关键希望之一在于光互连组网。由于离子具备优良的光学跃迁特性,可以通过受激辐射与单光子干涉在空间分离的离子模块之间建立远程纠缠,从而把多个局部处理单元连接成分布式量子计算系统。其基本方案通常是让两个模块中的离子分别发射与自身量子态相关的光子,再在干涉仪中进行贝尔态测量,一旦探测成功,即可在两个离子之间实现纠缠交换。虽然成功率受光子收集效率、模式匹配和探测效率限制,但该方法为离子阱跨模块扩展提供了天然路径。对成功率可作直接估算:单次尝试成功概率约为 $p \sim \frac{1}{2}(\eta_c \eta_d)^2$,其中 η_c 为单离子光子收集效率、η_d 为探测链效率,取 $\eta_c = 0.1$、$\eta_d = 0.7$,得 $p \sim 2.5 \times 10^{-3}$;若尝试重复率为百千赫兹量级,则纠缠生成速率可达每秒数百对,这与近年公开的最好实验结果量级一致,也说明把 η_c 从10%提升到50%(依靠腔增强收集)可把速率再抬高一到两个数量级,是该方向最要害的单点技术。

光互连的价值不只是扩大比特总数,更在于构建层次化架构。局部模块内部依靠离子链和QCCD实现高保真操作,模块之间则通过概率性光纠缠和经典重试协议实现联网,其整体逻辑与未来量子数据中心或量子局域网架构高度契合。这意味着离子阱路线虽然在单机大规模集成上未必最快,却可能在模块化分布式量子计算中占据独特位置。

当然,光互连仍面临纠缠分发速率偏低、链路损耗显著、远程相位稳定困难等现实问题。要把实验室级演示转化为高可用组网系统,必须同步突破高数值孔径光收集、集成光学接口、稳定频率转换和协议层错误管理。特别是离子发射波长多处于紫外到可见波段,进入电信光纤网络前需经低噪声量子频率转换,每级转换效率与噪声都会直接进入端到端纠缠保真度预算。离子阱的长期潜力,正在于其局部高精度与远程光互连能力可以自然耦合,一旦网络层效率持续提升,其竞争力将不再局限于单芯片尺度。

4.3 光量子芯片

4.3.1 物理原理:光子编码、线性光学、测量诱导非线性

光量子芯片以单光子或多光子态作为量子信息载体,可利用偏振、路径、时间箱、频率或连续变量等自由度进行编码。与物质型量子比特不同,光子在常温环境下与外界耦合较弱,天然不易退相干,因此非常适合在较长距离上传输量子信息。光量子计算的基础操作通常包括单光子源制备、片上波导传输、分束器与相位移器构成的线性光学网络、以及高效率单光子探测。通过这些元件,可以对光子的叠加与干涉进行精细编排,把量子算法映射为光学变换和测量过程。

然而仅靠被动线性光学并不能直接提供高效的确定性双光子相互作用,这也是光量子计算最核心的物理难题之一。为绕过这一限制,人们发展出测量诱导非线性思想,即通过辅助光子、纠缠资源态和条件测量,在统计意义上实现等效的量子门或大规模簇态生长。KLM方案是此类思想的经典代表,它说明即使没有强光学非线性,也可以借助干涉和后选择构建通用量子计算框架,其代价是概率性:标准KLM受控非门在最简辅助配置下的单次成功概率仅为 $1/16$,即便采用更多辅助光子与隐形传态技巧,

单门成功率也只能渐近提升而无法达到确定性。后来的基于测量的量子计算与融合网络,进一步把这一思路推进为以资源态制备为中心的体系架构。

线性光学的计算能力还有一个深刻的复杂度理论注脚,即玻色采样。当 n 个不可区分单光子通过一个 m 端口线性干涉网络时,特定输出组合的概率幅正比于网络传输矩阵相应子矩阵的积和式:

$$\mathrm{Per}(A)=\sum_{\sigma\in S_n}\prod_{i=1}^{n}a_{i\sigma(i)} \tag{式 4-7}$$

其中 A 为 $n\times n$ 复子矩阵,S_n 为全体置换,$a_{i\sigma(i)}$ 为矩阵元。积和式与行列式形式相仿,却没有高斯消元式的多项式算法,已知最优的Ryser类算法复杂度为 $O(n\cdot 2^n)$。代入 $n=50$ 可得约 $50\times 2^{50}\approx 5.6\times 10^{16}$ 次基本运算,单次概率评估已达超级计算机秒级到分钟级负荷,而完整采样验证还需海量次评估;若 n 增至70,计算量再乘以约 $2^{20}\approx 10^6$。这正是玻色采样被选作“量子计算优越性”候选任务的数学根源,也说明光平台即便不做通用计算,也能在特定采样问题上触及经典不可及区域。

光量子芯片的物理本质,因此不是“让两个光子直接碰撞”,而是通过高质量干涉、资源态构造与探测反馈,在更高层面实现有效量子逻辑。这一路线强调器件损耗、相位稳定、源探测匹配和系统同步的重要性,因为在光子平台上,任何一个百分点级的损耗都可能沿着网络深度指数式放大。也正因此,光量子计算始终是一条“抗退相干强,但损耗极敏感”的特殊路线。

4.3.2 优势:室温运行、天然抗退相干、与通信融合

光量子路线最突出的优势是可在室温乃至接近常规光电子环境下运行。除单光子探测器等局部器件可能需要低温外,绝大部分波导、相位调制、干涉网络和通信链路不必依赖毫开尔文级制冷,这在系统部署、能源成本和维护复杂度上都具有明显吸引力。与超导和自旋等低温平台相比,光量子把许多工程难题从极低温物理转移到了高速光电子与精密集成光学领域,这使其与现有通信和光电产业链存在天然耦合点。需要说明的是,当前性能最好的超导纳米线单光子探测器仍需工作在2至4开尔文温区,但这一温区可由闭循环制冷机以千瓦级功耗维持,与稀释制冷机的工程量级完全不同,因此“准室温系统”的说法在系统工程意义上依然成立。

第二个优势是天然抗退相干。光子不带静质量,与环境相互作用弱,在波导和光纤中传输时能较长时间保持量子相干性,因此非常适合承担量子互连、量子中继和分布式量子计算节点间的信息传输功能。即便在计算场景中,光平台也具备把“处理”和“通信”统一到同一物理载体上的独特潜力,这一点是其他多数路线难以同时实现的。其优势并不仅在单机计算,更在于量子网络化时代的体系适配性。

第三个优势是与现代通信产业融合程度高。硅光、铌酸锂调制器、波分复用、低损耗光纤、片上光栅耦合器与高速探测技术都可为光量子提供可借鉴的制造和系统基础。虽然量子光子器件对单光子纯度、不可区分性和损耗的要求远高于经典光通信,不能简单复用现有器件即可满足需求,但产业工具链的可获得性显著降低了原型迭代门槛。光量子因此往往被视为最有希望与未来量子通信、量子传感和量子云网络深度融合的路线之一。

4.3.3 瓶颈:确定性双光子门缺失、光子损耗

光量子平台的首要瓶颈是缺乏高效、可工程化的确定性双光子门。通用量子计算需要足够可靠的双比特纠缠操作,而光子之间天然相互作用极弱,在常规线性光学中难以像超导或离子阱那样直接通过局域耦合实现确定性两比特门。因此多数方案不得不依赖辅助资源、后选择和概率性过程,导致资源开销巨大,系统成功率随线路深度和器件损耗迅速下降。换言之,光量子的计算理论可行性早已确立,但工程可行性的难点恰恰在于资源效率。

第二个瓶颈是光子损耗极难容忍,其杀伤力可以用一个简单的指数律完整刻画:

$$P_s = \eta^N \tag{式 4-8}$$

其中 η 为单光子经过一层器件(含波导传播、耦合、开关与探测分摊)的综合存活率,N 为光子数与线路深度乘积意义上的总穿越次数,P_s 为全体光子存活概率。这个公式的数值后果是残酷的:即便 $\eta = 0.99$,当 $N = 1000$ 时 $P_s = 0.99^{1000} \approx e^{-10} \approx 4.5 \times 10^{-5}$,两万次运行才成功一次;若 η 降到0.9,五十个光子的单层穿越存活率就只剩 $0.9^{50} \approx 5 \times 10^{-3}$。反过来推,若要求千层级线路的端到端成功率不低于10%,则需 $\eta \geq \exp(\ln 0.1/1000) \approx 0.9977$,即每层损耗必须压到0.23%以下,这已逼近当前最优氮化硅波导与耦合工艺的极限。与某些物质型平台不同,光子一旦丢失通常并不只是“保真度轻微下降”,而是可能让整个计算分支无效。特别是在基于大规模簇态和融合门的方案中,损耗不仅压缩成功概率,更会抬高容错门槛,使得器件每一个环节都必须达到非常苛刻的一致性与低损水平。

此外,高质量单光子源与大规模同步仍然是现实挑战。理想方案需要高亮度、低多光子污染、彼此高度不可区分且可按需触发的光子源,但无论是量子点、参量下转换还是四波混频,都在纯度、亮度、集成性和批量一致性之间存在取舍。以不可区分性为例,两个源的光子波包重叠度每下降一个百分点,干涉可见度及融合门保真度随之等比例受损,而数千个源之间维持99%以上的两两一致性,是任何现有制造工艺都尚未证明过的指标。光量子因此并不是“只要有波导就能扩展”,而必须解决源、路、探测三者协同优化问题,这也是其发展速度时快时慢的重要原因。

4.3.4 集成光子学平台:硅光、铌酸锂薄膜

集成光子学是光量子芯片走向规模化的基础。硅光平台因工艺成熟、折射率反差大、器件紧凑且可借助成熟CMOS工艺进行大批量制造,成为最重要的片上量子光学载体之一。基于硅或氮化硅波导的分束器、马赫-曾德尔干涉仪、相位调制单元与复用网络,已经能够在芯片上实现复杂的干涉矩阵和大规模光路编排。其突出价值在于把原本庞大而漂移敏感的自由空间光学系统压缩到稳定的片上环境中,显著提升相位稳定性与可复制性。从损耗预算看,氮化硅波导传播损耗已可低至每米分贝级,硅波导约每厘米零点一至一分贝,而芯片-光纤耦合损耗常在零点五至数分贝之间,这意味着当前系统的损耗瓶颈往往不在波导本体而在界面耦合与有源开关,这一判断直接决定了工艺攻关的优先级排序。

铌酸锂薄膜则凭借优异的电光效应、低损耗和高速调制能力,在可重构量子光路、频率转换和片上开关方面表现出强大潜力。传统体铌酸锂器件体积较大,而薄膜铌酸锂平台通过纳米加工实现了高约束波导,同时保留材料本征的高速电光调制优势,因而被视为下一代高性能量子光子集成的重要候选。其电光带宽可达数十吉赫兹以上且插入损耗持续下降,这对融合网络所需的皮秒级快速路由与前馈切换尤为关键,因为测量诱导架构的时延闭环里,每一纳秒的开关迟滞都会转化为对光延迟线长度和

额外损耗的需求。若将其与单光子源、探测器和异质集成技术进一步结合,有望构建兼具低损和高可控性的量子光芯片。

值得注意的是,集成平台之间并非零和竞争。硅光擅长高密度无源网络与制造成熟度,铌酸锂薄膜擅长高速调制与低损操控,III-V材料在片上光源方面具有独特优势,超导纳米线在探测方面又几乎不可替代。未来光量子芯片更可能走向异质集成路线,即把不同材料平台的最优器件拼接到同一系统中。其关键不在于单一材料“包打天下”,而在于封装、耦合和热稳定性是否能支撑复杂系统长期运行。

4.3.5 基于测量的量子计算MBQC与融合网络

基于测量的量子计算,即MBQC,是光量子最重要的体系架构方向之一。其核心思想不是在计算过程中逐一实时施加双比特门,而是预先制备一个高纠缠的簇态或图态资源,然后通过对各个节点光子的单比特测量与前馈控制来“消耗”这张纠缠网络,从而完成计算。对于光平台而言,这一思想尤其有吸引力,因为它把难题从在线确定性相互作用转移到离线资源态生长与容错融合策略,更符合光子平台的物理特征。

融合网络则是MBQC在工程层面的重要延伸。由于大规模高维簇态难以一次性完美制备,研究者通常采用较小资源块逐步生成、再通过融合门把它们拼接成更大计算图。融合操作往往是概率性的:标准二型融合的裸成功率为50%,借助辅助光子或增强方案可提升到75%乃至更高,失败事件并非全然浪费,而是退化为可被容错图结构吸收的已知测量结果。因此系统必须依靠冗余编码、时间复用、快速开关和容错调度把不成功事件转化为可管理的资源开销,可行性判据由“成功率-损耗-图连通度”三者的联合阈值给出,公开理论分析表明在理想探测下融合网络可容忍百分之一量级的光子损耗,这为器件指标给出了明确靶线。这个方向意味着光量子计算的竞争焦点已经从“展示若干光子干涉”转向“能否稳定制造和管理巨量纠缠资源”。

从长期看,MBQC与融合网络的价值在于为光量子提供了一条区别于其他路线的扩展逻辑。它不依赖局域强相互作用,而依赖大规模资源态工厂、低损耗路由和高速测量反馈。以时间复用为例,单个高品质源以吉赫兹重复率运行,即可在毫秒窗口内产出百万级光子节点,配合延迟线与开关网把“空间规模”折换为“时间规模”,这正是光平台独有的扩展杠杆。一旦高质量源探测器和片上异质集成进一步成熟,光量子可能在分布式容错架构中形成独特优势,尤其是在计算与网络深度融合的场景下。

4.4 中性原子量子芯片

4.4.1 物理原理:光镊阵列、Rydberg阻塞

中性原子量子芯片以激光冷却后的中性原子作为量子比特,通过光镊阵列把单个原子俘获在可编程空间位置上,再利用其基态超精细能级或Rydberg激发态实现量子信息编码与相互作用。光镊本质上是高数值孔径聚焦激光形成的微型势阱,可在二维乃至三维空间中生成大规模规则或非规则阵列。由于原子彼此全同,每个量子比特在理想情况下天然一致,避免了固态平台常见的器件参数离散问题。

中性原子的双比特门通常依赖Rydberg阻塞效应。当一个原子被激发到高主量子数 n 的Rydberg态后,其电子轨道半径按 n^2 膨胀、极化率按 n^7 增长,两个Rydberg原子之间由此产生极强的范德华相互作用,其形式为:

$$V(R) = \frac{C_6}{R^6} \tag{式 4-9}$$

其中 R 为原子间距,C_6 为范德华系数,对铷原子 $n \approx 70$ 的Rydberg态,C_6/h 可达约 $8.7 \times 10^{11}\ \mathrm{Hz \cdot \mu m^6}$ 量级,且随主量子数按 n^{11} 急剧增长。当这一相互作用引起的能级移动超过激发光的有效拉比频率 Ω 时,第二个原子的激发被能量失谐禁止,这就是阻塞效应,其作用范围由阻塞半径刻画:

$$R_b = \left(\frac{C_6}{\hbar\Omega}\right)^{1/6} \tag{式 4-10}$$

其中 $\hbar$ 为约化普朗克常数。代入上述 C_6 值与典型激发拉比频率 $\Omega/2\pi = 1$ MHz,得 $R_b = (8.7 \times 10^{11}/10^6)^{1/6}\ \mu\mathrm{m} \approx (8.7 \times 10^5)^{1/6}\ \mu\mathrm{m} \approx 9.8\ \mu\mathrm{m}$,即阻塞半径约为10微米。这一数字具有工程决定性:光镊阵列的典型原子间距为3至6微米,恰好落在阻塞半径以内,使相邻乃至次近邻原子都能实现强关联操作;同时 R^{-6} 的陡峭衰减保证了15微米以外的原子几乎不受影响,天然形成“作用范围内强、范围外净”的理想开关特性。由于 R_b 只随 C_6/Ω 的六分之一次方变化,即便拉比频率提高两个数量级,阻塞半径也只缩小约2.2倍,这种鲁棒性正是Rydberg门方案对参数漂移相对不敏感的深层原因。研究者正是借助这一强、可开关的相互作用实现受控相位门、受控非门以及多体相互作用模拟。Rydberg阻塞的独特之处在于它兼具相对长距离作用与可编程几何拓扑,因此中性原子既可用于门模型量子计算,也非常适合量子模拟和组合优化问题中的哈密顿量工程。

从物理图景上看,中性原子路线介于离子阱与固态芯片之间:它拥有类似天然原子的高一致性,又具有通过空间阵列灵活排布的大规模可编程性。其挑战在于,原子虽然天然相同,但装载、重排、激光稳定和探测过程仍然是复杂系统工程,因此“原子全同”并不自动等价于“系统易做大”,真正难点在于如何把大阵列、强相互作用和高保真门同时保持在同一平台上。

4.4.2 优势:比特数扩展快、可重构几何、原子全同

中性原子路线最显著的优势之一是比特数扩展速度快。借助空间光调制器、声光偏转器和多光束整形技术,研究者已经能够构建包含数百至上千个光镊位置的大规模阵列,并在其中装载大量原子。与需要复杂布线和局域器件制造的固态平台不同,中性原子的阵列规模更多由光学系统视场、数值孔径、激光功率和控制通道决定,因此在物理比特数量上往往增长迅速。可以做一笔简单的资源账:单个光镊阱深所需功率约为毫瓦量级,一台10瓦级激光经衍射光学元件分束,原则上可支撑上万个阱位;若视场为毫米级、原子间距5微米,单物镜视场内即可容纳约 $(1000/5)^2 = 4 \times 10^4$ 个阵列位点。这说明中性原子的规模上界受制于光学工程而非纳米制造,其扩展成本曲线与固态平台有本质区别。虽然“阵列位点数”与“可持续高保真运行的有效比特数”仍有差别,但其大规模排布能力已成为该路线的突出标识。

第二个优势是几何结构可重构。通过动态调节光镊位置,原子阵列可以被排成方格、三角格、蜂窝格乃至问题特定图结构,这种灵活性使中性原子在量子模拟、图问题映射和特定纠错几何验证中具有明显适配性。其优势不仅在于“能摆成不同形状”,更在于硬件拓扑可以随任务需求重构,从而降低算法到物理映射时的编译损耗。相比固定耦合图的芯片,中性原子提供了一种更接近可编程物理图的能力。尤其值得注意的是,借助移动光镊可以在计算过程中动态搬运原子实现非局域连接,这等效于把

任意长程双比特门的编译开销从SWAP链压缩为一次搬运,对于需要高连通度的纠错码(如量子低密度奇偶校验码)而言,这种“可运输比特”能力可能带来编码效率的代际优势。

第三个优势是原子全同带来的一致性。不同于固态器件中不可避免的制造离散与材料缺陷,同种原子的内部能级原则上一致,这使频率校准、门设计与误差建模具备天然统一基线。只要外场均匀性和激光稳定性足够好,大规模阵列中的比特差异可以相对较小。正因为如此,中性原子路线被普遍视为近期最具规模扩展潜力的平台之一,其竞争力不仅来自“比特多”,更来自“多而可编程”。

4.4.3 瓶颈:原子装载与丢失、门保真度追赶中

中性原子路线的首要瓶颈是原子装载与丢失。光镊装载通常遵循概率过程,碰撞阻塞机制下单阱装载成功率典型值约50%至60%,因此系统必须通过动态重排把已装载原子移动到目标位置形成无缺陷阵列。即便完成排布,原子在实验循环中仍可能因背景气体碰撞、加热、散射或操控误差而丢失,真空寿命决定的单原子存活时间常在数十秒量级,对于包含上千原子、循环时间秒级的系统,每轮实验损失百分之几的原子几乎不可避免。可以估算:若单原子每秒丢失概率为 10^{-3},千原子阵列在10秒的深度计算中期望丢失约10个原子,而纠错码对“比特消失”这类擦除型错误虽然比对未知错误更容忍,却仍需实时检测与补充机制。与固态比特不同,中性原子量子芯片面对的是“物理载体真的会从阵列中消失”的问题,这使其在长时间计算和纠错循环中的稳定运行仍然具有挑战。

第二个瓶颈是门保真度仍在追赶领先路线。Rydberg门近年进步迅速,单比特门保真度已较高,双比特门保真度也不断逼近甚至进入99%以上区间,部分最优结果已报道99.5%量级,但在系统平均水平、长时稳定性和大阵列一致性方面,整体上仍需继续追赶超导与离子阱中的最佳结果。其误差来源包括激光相位噪声、有限阻塞强度、多普勒效应、原子运动、黑体辐射引起的Rydberg态衰减以及串扰等,其中Rydberg态有限寿命(高激发态在室温黑体辐射下寿命约百微秒量级)给门误差设定了 t_g/τ_r 型下限:门时长若为0.5微秒、有效寿命100微秒,则本征误差下限即约 5×10^{-3},要突破99.9%必须同时缩短门时与提升有效寿命(如低温环境抑制黑体辐射)。要从大规模量子模拟走向高质量容错计算,中性原子必须把“多比特可排布优势”转化为“高保真可持续操作优势”。

此外,中性原子高度依赖复杂光学系统。大口径成像、高稳定激光、快速束偏转、真空腔体和精密时序控制共同决定了平台质量,其外围工程复杂度并不低于离子阱,只是复杂性更多体现在并行光学和真空操控而非多波长超稳激光链。因此该路线的未来不只是继续增加阵列位点,更是降低装载开销、提高门保真度并把光学系统推向长期稳定运行。

4.4.4 动态重排与纠错实验进展

动态重排是中性原子平台能够快速扩展的关键技术。其基本做法是在初始随机装载后,识别已有原子位置,再利用移动光镊把原子搬运到目标阵列中,从而形成近乎无缺陷的规则结构。该能力不仅提高了有效比特利用率,也为“有损阵列上的实时修复”提供了可能。随着搬运速度、成像反馈和控制算法的进步,研究者已经能够在较大阵列中实现高成功率重排,并在多轮实验中维持较稳定的阵列质量。从时间预算看,单次成像约10毫秒、路径规划毫秒级、单原子搬运亚毫秒级,一轮完整重排可在百毫秒内完成,这决定了当前系统的实验重复率在赫兹到十赫兹量级,与超导每秒数千次的线路执行率相比仍差三个数量级,提升重排与读出吞吐因而是该路线走向实用的关键工程杠杆之一。

更重要的是,中性原子近年已开始进入量子纠错实验阶段。部分公开研究已在中性原子平台上演示重复测量、逻辑编码、检错或小型纠错子程序,并利用原子搬运实现了逻辑比特间的可编程操作,表明该路线正在从面向量子模拟的专用平台,转向探索容错量子计算的通用途径。虽然其纠错循环速度、读出方式和长期保持能力仍有待加强,但“可重构大阵列+并行门操作+动态重排”的组合,为其提供了不同于超导与离子阱的容错构型想象空间。特别是全局激发光束可对整片阵列并行施加同种门操作,使得纠错码中大量同构的稳定子测量可以以近乎常数的控制成本并行执行,这种“控制复杂度与比特数解耦”的特性,是其他平台难以复制的架构红利。

从近期竞争格局判断,中性原子是最值得高度重视的后起主力路线之一。它不仅在比特规模上进展迅速,更在通过重排、并行和几何灵活性寻求差异化优势。如果未来双比特门保真度和读出能力进一步稳定提升,中性原子极有可能在近期大规模量子处理器竞争中与超导形成最直接的双强格局。

4.5 半导体量子点芯片

4.5.1 物理原理:栅控量子点、自旋比特

半导体量子点芯片通过在纳米尺度半导体结构中利用栅极电压俘获单个电子或空穴,形成离散能级的人造原子,再将载流子的自旋态作为量子比特进行编码。常见实现包括GaAs/AlGaAs异质结量子点、Si/SiGe量子阱量子点以及MOS硅量子点等。通过多个金属栅极精确调控势阱深度、隧穿势垒和电子占据数,可以实现单电子装载、相邻量子点交换耦合以及电荷传感读出。其核心物理并不是让传统晶体管“稍微缩小一点”,而是在半导体纳米结构中精细塑造单电子量子态。

自旋比特因其较弱环境耦合而受到广泛关注。电子自旋上、下态构成天然两能级系统,可借助电子自旋共振、微磁体梯度、电偶极自旋共振或交换脉冲进行操控。双比特门通常依赖相邻量子点之间的交换相互作用,在Hubbard模型图景下,其强度随失谐电压可调:

$$J(\varepsilon) \approx \frac{4t_c^2 U}{U^2 - \varepsilon^2} \tag{式 4-11}$$

其中 t_c 为相邻点间隧穿耦合强度,U 为同一点上双电子占据的库仑充电能,ε 为两点间失谐(能级偏置)。该式的工程含义在于交换耦合的“电学可开关性”:当 $\varepsilon = 0$ 时 $J \approx 4t_c^2/U$ 处于关态基线,把 ε 推向 U 附近则 J 急剧增大,栅压即是门的开关旋钮。代入典型参数 $t_c/h = 1$ GHz、$U/h \approx 240$ GHz(对应约1毫电子伏特),得 $\varepsilon = 0$ 附近 $J/h \approx 4 \times 10^{18}/(2.4 \times 10^{11}) \approx 17$ MHz,对应交换振荡半周期约30纳秒,即双比特门可在几十纳秒内完成,与超导双比特门同量级甚至更快。同时该式也暴露了主要误差通道:J 对 ε 的强依赖意味着电荷噪声会直接转化为门相位噪声,因此近年主流方案改在“对称工作点”以调制 t_c 而非 ε 的方式操门,使 J 对电荷噪声的一阶敏感度归零,这一改进使交换门保真度显著跨越99%。

然而量子点平台的物理原理也意味着极高的调参复杂度。单个比特通常由多个栅极共同定义,且相互之间存在显著电容串扰,当比特数增多时,参数空间会迅速膨胀。因此量子点路线从一开始就不是“靠某个单器件突破即可规模化”的路径,而必须把器件物理、自动调谐算法、低温电子学与制造一致性作为一个整体来推进。

4.5.2 优势:最小比特尺寸、CMOS产线兼容、1K以上工作温度潜力

半导体量子点最大的战略优势在于比特尺寸极小。单个自旋量子点的空间尺度可达到纳米到百纳米量级,远小于超导比特和离子阱光学间距,因此从版图密度看,它最有潜力在有限芯片面积上集成大量物理比特。可以直接比较面积效率:transmon连同读出与耦合结构占位约 $0.1\ mm^2$ 量级,而量子点比特间距约100纳米,含控制栅冗余按 $1\ \mu m^2$ 计,单位面积比特密度相差约 10^5 倍;换算成整机,百万物理比特的量子点阵列核心区仅需平方毫米级,而同规模超导阵列需要接近平方米级的多芯片拼接。高密度并不自动等于高可用性,但对于最终容错计算需要数百万乃至更多物理比特的远景而言,面积效率是不可忽视的底层约束。量子点路线的长期吸引力,正是其有希望在成熟半导体工艺基础上实现超高密度量子阵列。

第二个优势是与CMOS产线兼容潜力强。尤其是硅量子点平台,在材料体系、晶圆加工、金属栅结构和大规模制造组织形式上与现代半导体产业链存在更直接的连续性。虽然量子器件对界面缺陷、电荷噪声、同位素纯度和低温特性提出了远高于经典器件的要求,但从产业能力迁移角度看,量子点路线最有希望借助现成晶圆厂和先进封装经验推动批量化发展。已有研究团队与产线合作,利用300毫米晶圆全流程工艺产出量子点器件并获得跨晶圆的统计良率数据,这种“以统计过程控制做量子器件”的组织方式,是其他路线尚难复制的。其意义不在于短期立即复用整套CMOS流程,而在于其规模制造逻辑与半导体工业最接近。

第三个优势是存在1 K以上工作温度潜力。部分自旋比特方案由于能级分裂和读出机制设计优化,被认为有机会在高于典型毫开尔文工作点的温区保持可操作性,例如数百毫开尔文到1 K以上的中间温区。这一温区差异的系统意义可以用制冷功率量化:稀释制冷机在20毫开尔文的制冷功率仅数十微瓦,而1 K级平台的制冷功率可达毫瓦到瓦级,提升三个数量级以上,意味着片上控制电路的功耗预算彻底改观,自旋比特与低温CMOS控制器同片或同封装集成才真正可行。若这一方向获得更稳固验证,则意味着部分控制电子学更容易下沉到近端低温区域,从而缓解极低温布线与热预算瓶颈。尽管目前高温运行仍受保真度和噪声限制,但这一潜力使量子点路线在系统架构上拥有值得长期押注的差异化空间。

4.5.3 瓶颈:比特间差异性、扩展互连

量子点路线的首要现实瓶颈是器件差异性与调参复杂度。虽然其目标是利用半导体工艺实现批量一致器件,但在实际样品中,界面粗糙、杂质电荷、应力分布和栅极微小偏差都会导致不同量子点的阈值、电荷稳定图、共振频率与耦合强度存在差异。于是,每增加一个比特,系统往往不是线性地多一个控制量,而是多出一簇相互耦合的待校准参数。其关系并非线性叠加,而是随着阵列变大迅速出现“调一个点,动一片区域”的系统行为。以双点系统为例,完整调谐涉及十余个栅压构成的高维参数空间,人工调谐一个高质量双比特单元常需数天,因此基于机器学习的自动调谐算法已从辅助工具上升为规模化的必要基础设施,其目标是把单比特调谐时间从天级压缩到分钟级并全程无人工干预。

第二个瓶颈是互连与读出扩展。高密度量子点虽然面积小,但每个比特仍需要多个栅极、读出传感器和射频接口,如果继续沿用一一引线方式,低温布线很快成为不可承受之重。这里存在一个尖锐的几何矛盾:比特间距100纳米,而键合焊盘间距最小约50微米,引线扇出所需面积与比特区面积之比高达数万倍,“比特小”优势会被“引线大”完全吞噬。为此,研究者正在发展交叉开关矩阵、多路复用、

共享读出总线、近端低温CMOS控制器以及局域电荷锁存结构等方案,其思路与DRAM字线位线寻址高度同构,即用 $2\sqrt{N}$ 条控制线寻址 N 个单元。但这些技术要真正落地,必须在不明显恶化噪声和串扰的前提下实现,否则高密度优势会被外围控制复杂度抵消。

此外,双比特门与长程耦合仍需继续优化。量子点自旋比特的局域交换门已取得良好进展,但在更大阵列中,如何实现远距离耦合、模块化互连和容错友好的二维排布,仍是关键问题。仅靠最近邻交换门虽然物理自然,但会带来较高编译开销,因此超导腔耦合、自旋-光子接口、电子穿梭输运与电偶极长程耦合等方向都在积极探索中,其中自旋-微波光子强耦合已在实验上实现,为“量子点版模块化架构”提供了物理基础。

4.5.4 硅28同位素纯化与保真度进展

硅量子点被广泛看好,很大程度上源于硅28同位素纯化技术。天然硅中约含4.7%具有核自旋的硅29同位素,会通过超精细相互作用引入自旋退相干;若采用高丰度硅28(残余硅29可低至百万分之几百量级),则核自旋背景大幅减少,自旋比特相干性可显著提升,实验上 T_2 从天然硅的微秒级提升到同位素纯化硅中的毫秒级,改善达两到三个数量级。正因如此,同位素工程成为硅自旋路线最基础也最关键的材料支撑技术之一,它体现出量子芯片竞争不只在器件结构,更在材料纯化和供应链能力,而高纯硅28原料的全球供给目前仍高度集中,这本身就构成战略资源问题。

近年来,硅自旋比特在单比特门和双比特门保真度方面持续进步。公开研究中,单比特门保真度已进入99.9%以上量级,双比特门也逐步接近甚至跨越99%门槛,部分实验结果继续向99.5%以上推进。相干时间在动态去耦与优质材料条件下可达到毫秒级乃至更长,按式4-3的相干限制估算,$t_g = 50\ \text{ns}$ 的交换门在 $T_2 = 1\ \text{ms}$ 下的误差下限仅 5×10^{-5},说明硅自旋的物理天花板足以支撑容错所需精度,当前差距主要来自电荷噪声与调谐工程而非本征极限。不过必须看到,这些优异结果往往出现在少量比特或特定优化样品中,真正挑战在于把此类指标迁移到更大规模阵列并保持可制造性。

量子点路线当前所处位置可以概括为:在六大平台中最接近传统半导体产业逻辑,在长期大规模集成方面想象空间极大,但在系统级演示、自动调谐、互连和统一架构上仍需较长爬坡期。它可能不会是最早进入中规模容错验证的平台,却极可能在更长期高密度容错芯片竞争中占据关键席位。

4.6 拓扑量子芯片

4.6.1 物理原理:任意子、Majorana零模、拓扑保护

拓扑量子芯片试图利用拓扑相中的非局域自由度编码量子信息,使量子态对局域噪声天然不敏感,从而在硬件层面降低误差校正负担。其理论基础来自任意子统计与拓扑序概念:在二维系统中,准粒子交换后量子态不一定只获得玻色子或费米子的相位,还可能在更一般的表示空间中发生变换。若这种变换具备非阿贝尔性质,则通过编织这些准粒子的世界线即可实现量子逻辑门,量子信息因储存在全局拓扑结构中而对局部扰动具有鲁棒性。

在众多候选方案中,基于Majorana零模的拓扑超导路线最受关注。其典型物理构型是半导体纳米线或二维异质结构在超导近邻效应、强自旋轨道耦合与外磁场共同作用下,在特定条件下产生局域于边界或缺陷处的零能Majorana模。两个空间分离的Majorana模可共同编码一个费米子态,从而形成

具备一定非局域保护特征的量子比特。拓扑保护的定量本质在于:两个零模波函数在空间上按特征长度 ξ(超导相干长度)指数衰减,当其间距为 L 时,残余能级劈裂近似为:

$$\delta E \approx \Delta \exp(-L/\xi) \tag{式 4-12}$$

其中 Δ 为拓扑超导能隙。这一指数律是拓扑路线全部希望所系,也可以据此做出定量外推:取典型值 $\Delta \approx 0.2$ meV、$\xi \approx 100$ nm,当 $L = 1$ μm 时 $L/\xi = 10$,$\delta E \approx 0.2 \times e^{-10}$ meV $\approx 9 \times 10^{-9}$ eV,对应的失相时间尺度 $\hbar/\delta E \approx 7 \times 10^{-8}$ s,即约百纳秒量级——这对量子比特而言仍嫌太短;但若把线长增至 $L = 3$ μm,劈裂骤降为 $\Delta e^{-30} \approx 2 \times 10^{-17}$ eV,对应时间尺度已达数十秒量级,量子信息在这一自由度上近乎冻结。指数函数的陡峭意味着几微米的几何余量即可换取十几个数量级的保护增益,这正是“用尺寸换相干”的拓扑设计哲学;反过来,它也要求材料无序不能把有效 ξ 拉长或在中间诱生额外亚能隙态,否则保护指数将名存实亡。理论上,若能稳定制备、操控并编织这些非阿贝尔零模,则可获得较传统量子比特更强的硬件容错基础。

拓扑保护的吸引力在于它试图把容错从“软件层持续纠错”前移到“物理层天然稳健”。这一路线若成功,其意义不仅是某个新器件出现,更可能改变量子计算的资源开销结构。然而必须指出,拓扑量子芯片的关键价值当前仍主要停留在物理可行性与长期架构潜力上,尚未形成类似超导或离子阱那样成熟的门级处理器体系。

4.6.2 潜在优势:硬件级容错

拓扑量子芯片最大的潜在优势是硬件级容错,即通过物理编码本身降低局域噪声对量子信息的破坏。若量子比特不再主要依赖单个局域自由度,而是依赖多个空间分离模式的整体态,那么常见的局部缺陷、电荷噪声和部分材料扰动可能不会直接引发逻辑翻转。这与现有主流路线高度依赖后端量子纠错码形成鲜明对比。其理想目标不是完全消灭纠错,而是把纠错成本和门槛要求显著下移:按后文式4-18与式4-19的表面码开销估算,物理误差每压低一个数量级,同等逻辑性能所需码距可近乎减半、物理比特开销近乎降为四分之一,若拓扑比特能把本征误差从 10^{-3} 量级压到 10^{-5} 乃至更低,则百万物理比特级的容错机可能收缩到数万比特级,这是拓扑路线全部战略价值的算术表达。

第二个潜在优势是容错门实现可能更自然。某些拓扑编织操作在理论上只依赖交换路径的拓扑类别,而不敏感于具体细节轨迹,因此门误差有望不再像传统脉冲操控那样对幅值、时间与相位误差极度敏感。若这种优势能够在真实器件中建立起来,将极大改善量子控制工程的鲁棒性,并使大规模系统的校准复杂度出现范式级下降。需要冷静补充的是,即便理想Majorana平台,其编织操作也只能实现Clifford群门,通用计算仍需借助魔态蒸馏等非拓扑手段补齐T门,因此“硬件级容错”并不等于“零纠错开销”,而是把开销集中到少数非保护操作上。

不过必须看到,这里的“潜在优势”仍以关键物理前提成立为条件。Majorana零模是否被无歧义确认、拓扑保护是否足以抵抗真实材料中的准粒子中毒与无序效应、可编织操作是否能在工程器件中稳定实现,这些问题都尚未完全解决。尤其是准粒子中毒:一个非平衡准粒子隧穿进入拓扑比特就会直接翻转其费米子宇称,该过程完全绕开式4-12的指数保护,实验测得的宇称寿命目前多在微秒到毫秒量级,能否推进到秒级是决定拓扑比特实用性的另一道独立关卡。因此拓扑路线的吸引力极大,但其现实成熟度不能被潜在理论价值所替代。

4.6.3 现状:基础物理验证阶段、争议与撤稿教训

拓扑量子芯片当前总体仍处于基础物理验证阶段。过去十余年中,围绕半导体-超导异质结构中的零偏压电导峰、4π约瑟夫森效应、库仑阻塞奇偶效应等现象,学界提出了大量可能支持Majorana零模存在的证据。然而这些证据往往也可能由平庸Andreev束缚态、器件无序、软超导间隙或测量伪影解释,因此“是否真正观察到非阿贝尔拓扑零模”一直是高度审慎且争议不断的话题。理论分析已经表明,无序诱导的平庸束缚态可以在电导谱上产生与Majorana零模几乎不可区分的量子化峰,单一输运特征因此不构成充分证据,学界正转向宇称寿命测量、非局域关联和干涉式读出等更严格的多重判据体系。

相关领域曾出现过备受关注的高调结果,随后又因数据解释、器件稳定性或可重复性问题遭遇质疑乃至撤稿,这一过程给整个量子产业带来重要教训:在基础物理尚未完全坐实时,过早将其包装为工程突破,会显著放大预期与现实之间的偏差。拓扑路线因此提醒我们,量子芯片领域不仅需要速度,更需要证据链的坚固性;不仅要展示异常信号,更要通过多种互补实验排除平庸机制。这一教训对其他路线同样适用:任何以单一指标、单次实验或未经独立复现的结果支撑的技术叙事,都应当被审慎折价。

从目前公开进展看,拓扑路线尚未形成可与其他五条主路线在门级处理器层面正面竞争的成熟平台。它的现实任务仍是提升材料质量、改善异质界面、减少无序、验证非阿贝尔统计并构建更可信的读出与操控方案。只有当这些基础问题获得实质解决后,拓扑量子芯片才可能真正从“极具想象力的物理候选”转变为“可工程推进的计算平台”。

4.6.4 长期价值评估

尽管现实成熟度有限,拓扑量子芯片依然具有极高的长期战略价值。首先,它直接针对量子计算最根本的难题——误差与容错成本——提出了物理层解决思路。即便最终实现形式未必完全是当前主流设想的Majorana路线,围绕拓扑保护、非局域编码和新型超导异质结构积累的材料、测量和理论工具,都可能反哺其他量子技术方向。其次,拓扑路线的潜在收益呈现出典型的“高风险、高回报”特征:一旦关键物理突破成立,其对整个行业资源结构的改变可能远超渐进式优化。

从投资与技术布局角度看,拓扑量子芯片更像一种远期期权。它不适合被当作近期商业化主平台,却值得在国家级科研、前沿材料平台与长期资本中持续配置。因为量子芯片竞争并不是只看未来三到五年的产业节奏,更要看十年乃至更长时间尺度上的范式更替可能。拓扑路线的现实判断应当是:近期不领跑,中期难兑现,但长期不能缺席。

4.7 共性关键技术

4.7.1 极低温制冷与稀释制冷机

无论是超导量子芯片、部分自旋量子点平台还是若干拓扑候选结构,极低温制冷都是底层共性支撑。稀释制冷机通过氦-3与氦-4混合物在低温下的量子统计性质实现持续制冷,能够把实验平台稳定带入几十毫开尔文甚至更低的温区。对于量子芯片而言,低温不仅是为了“冷”,更是为了压低热激发、保持超导能隙、降低热噪声并保证读出器件与前端放大链路处于可工作状态。随着系统从单芯片走向多模块,制冷能力、温度稳定性和振动控制将成为决定可扩展性的硬约束。

真正的挑战在于热预算分配。每增加一根同轴线、一个衰减器或一个低温电子器件,都会向更冷级带来额外热负载,而混合室制冷功率极其有限,常以微瓦到毫瓦量级计。可以算一笔具体的账:一根标准不锈钢同轴线从4 K级导入混合室级的热负载约为微瓦量级,而混合室在20毫开尔文的制冷功率典型值为几十微瓦,这意味着不加多路复用时混合室仅能承受几十根直达线缆,与千比特级系统动辄数千通道的需求相差两个数量级。于是系统设计必须在控制通道数量、信号质量与热管理之间不断折中。未来量子硬件的发展,必须从“把所有控制都拉到室温”转向“分层冷端电子学+多路复用+热工程一体化设计”,否则物理比特数量再大也难转化为可运行系统。

稀释制冷机的制冷能力本身可以定量刻画,其混合室制冷功率主要由氦-3循环流量与工作温度共同决定,近似满足:

$$\dot{Q}_{mc} \approx 84 \dot{n}_3 T_{mc}^2 \tag{式 4-13}$$

其中 $\dot{n}_3$ 为氦-3摩尔循环流量,T_{mc} 为混合室温度,系数84的单位为 $\mathrm{J/(mol \cdot K^2)}$。代入大型商用机组典型值 $\dot{n}_3 \approx 10^{-3}$ mol/s、$T_{mc} = 20$ mK,得 $\dot{Q}_{mc} \approx 34$ μW,与前述几十微瓦的量级判断一致;若温度放宽到100毫开尔文,同一流量下可用功率提升到接近毫瓦。该式揭示两条清晰的工程路径:其一,制冷功率随温度平方增长,芯片工作温度每提高一倍,热预算即翻两番,这正是自旋比特高温区潜力受到战略性重视的定量理由;其二,提升氦-3流量可线性放大制冷能力,但流量同时受泵组规模、级间换热器效率与氦-3全球稀缺供给的三重约束,难以无限扩张。因此面向数万比特的下一代低温平台,普遍转向更大混合室功率、多制冷机并联与分温区模块化布局,同时脉冲管预冷级的振动隔离、磁屏蔽与线缆热锚设计也随系统尺寸放大而更加苛刻。制冷系统由此从通用实验设备演变为量子计算机的“机箱与电源”,其可靠性、维护周期与能效指标将直接进入整机可用性预算。

4.7.2 低温电子学与量子-经典接口

量子处理器永远无法脱离经典控制系统独立运行,因此量子-经典接口是所有路线都绕不开的核心技术。对超导和自旋路线而言,室温任意波形发生器、微波源、ADC/DAC、FPGA反馈链路与低温放大器共同构成了量子控制神经系统;对离子阱和中性原子而言,激光锁频、电光调制、相位同步和成像反馈同样属于这一接口范畴。量子芯片是否可扩展,很大程度上取决于经典接口能否以更低功耗、更高通道密度和更强自动化能力支撑海量比特。接口还有一条常被低估的硬指标——反馈时延:容错解码要求在下一轮稳定子测量前给出纠正决策,超导平台一微秒级的循环周期意味着从读出、解调、解码到反馈的全链路必须压进微秒窗口,这对解码算法复杂度、FPGA流水线设计与传输链路都构成实时性硬约束,离子阱等慢门平台在这一点上反而拥有更宽松的时序余量。

低温电子学的重要性正在快速上升。若部分多路复用、译码、开关矩阵、数字预处理甚至局部反馈功能能够下沉到4 K或更低温区,则不仅可减轻布线压力,还可缩短控制时延,为高速纠错提供条件。当前相关研究集中在低温CMOS、SFQ超导数字逻辑、低噪声低温放大器与近端封装模块等方向。其竞争焦点并非简单追求更多晶体管,而是如何在低温功耗、噪声注入、可靠性与工艺兼容之间找到可量产平衡点。

4.7.3 量子芯片EDA与自动化设计

当量子芯片从少量器件走向大规模阵列后,依赖人工经验进行版图设计、频率分配、耦合参数调谐与误差规避将越来越不可持续,量子芯片EDA因此成为关键共性能力。这里的EDA并不仅指传统掩膜绘图工具,更包括从器件级电磁仿真、寄生参数提取、版图-工艺协同优化,到量子门编译、脉冲合成、校准流程生成和容错资源评估的一整套自动化链条。其目标是把物理设计、制造限制与算法映射统一到同一工程闭环中。

不同路线对EDA的侧重点不同。超导平台重视微波电磁仿真、频率碰撞规避和封装模态控制;光量子平台强调波导网络综合、损耗预算和相位稳定;量子点平台则迫切需要自动调参和电容耦合建模;中性原子与离子阱更关注几何映射、调度优化与并行门规划。随着容错计算成为主目标,量子EDA还必须直接服务于逻辑编码,即从一开始就把纠错码拓扑、读出时序和控制带宽纳入设计边界条件之中。可以预期,量子EDA将复演经典EDA产业的结构性角色:谁掌握了从器件模型库到容错资源评估的全链路工具,谁就在事实上定义了设计方法学与工艺接口标准,这一层面的竞争丝毫不亚于芯片本身。

4.7.4 封装、屏蔽与互连

量子芯片性能从来不只由裸片本身决定,封装、屏蔽与互连常常是决定系统成败的隐性主战场。对超导芯片而言,封装腔体的寄生模、接地回路、键合线分布和材料表面损耗都会直接影响相干时间与串扰;对光量子芯片而言,芯片到光纤或探测器的耦合损耗、热稳定性和封装应力决定系统可用性;对离子阱与中性原子,真空封装、光学窗口和电极引出同样是性能关键环节。很多看似来自“量子比特本身”的问题,最终都会追溯到封装与接口层。宇宙射线与环境放射性引发的准粒子暴发即是典型例证:一次高能粒子击中衬底可在毫秒内同时压低整片芯片的相干性,形成空间关联误差并直接威胁纠错码的独立误差假设,因而地下屏蔽、低放射性材料选型与声子陷阱设计已进入超导封装的常规考量。

高性能量子封装需要同时满足低损耗、低噪声、热稳定、机械稳定与可制造性,这使其远比传统芯片封装更加苛刻。特别是在走向模块化互连时,封装不再只是保护芯片,更是实现模块级信号、热量和纠缠资源交换的主动功能层。未来量子产业链中,先进封装厂商和互连器件供应商的重要性将持续上升,因为他们决定了实验室样机能否过渡为长期稳定运行的工程系统。

4.7.5 三维集成:倒装焊、TSV与多层布线

平面单层结构的引出能力存在硬性几何上限,这是三维集成成为共性关键技术的根本原因。一个 N 比特的二维阵列,其边缘可用的引出通道数仅按 $\sqrt{N}$ 增长,而所需控制与读出线路总数按 N 线性增长,两者之比随规模持续恶化:按每比特2至3根线估算,百比特级芯片需要数百条走线,而单层共面波导在边缘拥堵与串扰约束下可容纳的通道数已接近饱和,中心区域的比特实际上被自己的外围邻居“包围”而无法引出。因此从百比特迈向千比特,平面布线不是变得更难,而是在拓扑上不可行,信号必须离开比特所在平面,向芯片的第三个维度要空间。这一转变并非超导路线独有,量子点的交叉寻址、光量子的多层波导路由面对的是同一几何矛盾,只是超导平台因比特尺寸大、发展早,最先把三维集成推到了工程成熟阶段。

倒装焊是当前最成熟的三维化手段。其做法是把量子比特层与布线读出层分别制造在两块芯片上,再通过铟凸点阵列面对面键合:比特芯片只保留transmon、耦合器与少量高品质结构,以最干净的

工艺追求相干时间;布线芯片(常称中介层)则承载读出谐振器、Purcell滤波器、多层走线与接地结构,以最大密度追求互连能力。铟在低温下保持超导且质地柔软,既提供微波连续性又吸收热失配应力,凸点节距可做到几十微米量级,单芯片凸点数可达上万个,控制线由此得以从每个比特的正下方垂直接入,把边缘引出的 $\sqrt{N}$ 瓶颈转换为面阵引出的 N 能力。这种“高相干层与高密度层分而治之”的架构,是超导芯片从数十比特跨入数百比特的关键工艺前提,其典型层次结构见图4-2。

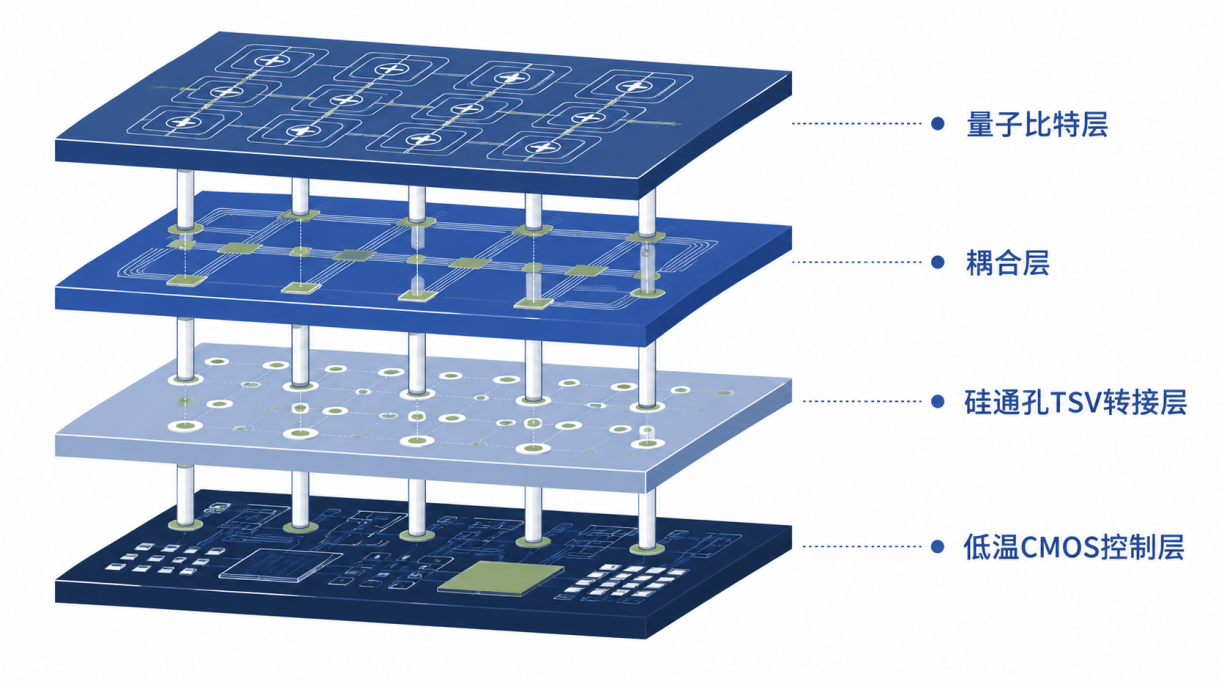


图 4-2 超导量子芯片三维集成结构剖面

如图4-2所示,自上而下依次为:高阻硅或蓝宝石衬底上的比特层、几微米高度的真空间隙与铟凸点阵列、贯穿硅通孔纵横其间的中介层、背面多层再布线与焊球阵列,最终落到封装基板与微波连接器。其中TSV(贯穿硅通孔)承担双重角色:一方面作为垂直信号通道,把中介层正反两面的电路贯通,使控制与读出信号完全避开比特平面;另一方面充当接地“缝合线”,把大面积接地面在垂直方向钉接起来,显著抬高封装腔模与芯片杂散模的频率,抑制大尺寸芯片上最难缠的寄生微波环境问题。超导TSV通常以氮化钛等材料作衬里,深宽比可达一比十量级,其工艺挑战集中在深刻蚀均匀性、低温循环下的应力可靠性,以及通孔附近比特相干性是否退化。

三维集成的代价与收益需要同样冷静地核算。收益方面,倒装结构把比特暴露面从工艺污染最重的多层布线中解放出来,真空间隙的介电参与几乎为零,实测比特相干时间并不必然因键合而恶化;代价方面,双芯片对准精度、铟凸点高度一致性、低温反复循环后的键合完整性都会进入良率函数,而界面一旦封闭便难以无损检测,失效分析必须依赖统计推断。当前主流百比特级超导处理器已普遍采用倒装焊,TSV与多层再布线也已在多个平台通过验证,三维集成正在把“量子芯片”重新定义为一个芯粒堆叠系统。它与4.7.4节的封装屏蔽问题构成连续体:比特层以下的每一层既是信号通道又是潜在损耗源,三维结构设计因此必须与材料损耗控制联合优化,这正是下一小节的主题。

4.7.6 材料损耗与界面TLS

在超导与多数固态平台上,限制相干时间的首要微观机制是材料中的两能级系统缺陷,通常记作TLS。其物理图像是:非晶氧化层、界面污染层或表面吸附分子中,存在可以在两个近简并原子构型之间隧穿的微观自由度,它们携带电偶极矩,能够与比特的微波电场耦合。在毫开尔文温度与单光子功率水平下,这些缺陷既无法被热运动平均掉,也无法被强场饱和,于是成为吸收比特能量的主导通道;个别与比特近共振的强耦合TLS还会造成能谱劈裂,并随缺陷自身构型漂移使比特频率和相干指标在小时到天的尺度上起伏数倍。

TLS损耗可以用参与比框架定量核算。把器件电场能量按区域分解,设第 i 个损耗区域(如金属-空气、金属-衬底、衬底-空气三类界面)占总电场能量的比例为 p_i,其损耗角正切为 $\tan\delta_i$,则比特品质因子的TLS贡献满足:

$$\frac{1}{Q_{TLS}} \approx \sum_i p_i \tan\delta_i \tag{式 4-14}$$

界面污染层厚度通常仅数纳米,单个界面的参与比 p_i 处于 10^{-4} 至 10^{-3} 量级,而非晶氧化物的损耗角正切多为 10^{-3} 量级,乘积求和后 $1/Q_{TLS}$ 落在 10^{-6} 附近,即品质因子约为百万量级。品质因子与能量弛豫时间的换算关系为:

$$T_1 = \frac{Q}{\omega_{01}} \tag{式 4-15}$$

代入 $Q = 10^6$、$\omega_{01}/2\pi = 5$ GHz,得 $T_1 \approx 32$ μs,与主流平面transmon的实测水平吻合,说明当前相干时间确实由界面损耗主导。反向推算同样有力:要把 T_1 推进到1毫秒,需要 $Q \approx 3 \times 10^7$,即参与比与损耗角正切的乘积必须再压低超过一个数量级——要么把界面做薄做净以降低 $\tan\delta_i$,要么通过增大电极间距、圆滑边缘几何把电场从界面上挪开以降低 p_i,两条路径都已成为器件版图设计的显式优化目标。

材料端的进展验证了这一框架的指导力。以钽替代铝或铌制作电极并配合蓝宝石衬底,已把transmon的 T_1 推进到零点几毫秒量级,其机理正在于钽表面只形成单一稳定的氧化物,损耗角正切显著低于铌表面成分复杂的多价氧化层;氮化钛电极、外延生长界面、缓冲氧化物刻蚀、高温退火与表面封帽等手段,也都指向同一目标,即减少非晶层体积并稳定其化学状态。衬底方面,高阻硅与蓝宝石各有优劣:前者与TSV等三维工艺兼容性好,后者本征介电损耗更低但难以刻蚀通孔,材料选型因此必须与4.7.5节的集成路线联合决策。此外,Josephson结势垒本身就是一层非晶氧化铝,其内部TLS无法靠外部清洁消除,只能通过缩小结面积降低撞上强耦合缺陷的概率,这也解释了为何结区缺陷与频率碰撞共同构成大规模阵列良率的复合约束。

必须强调,TLS问题的工程本质是统计一致性而非单点纪录。同一晶圆上不同比特的 T_1 可以相差数倍,同一比特的 T_1 也随缺陷谱漂移而随时间波动,而纠错码性能由最差比特与波动下沿决定,不由均值决定。因此材料损耗控制的真正目标,是把相干时间的分布收窄并使其长期稳定,这要求把表面处理、气氛控制、存储运输与封装洁净度纳入统一的工艺规范,像半导体产业管理缺陷密度那样管理TLS密度。材料、三维集成与封装屏蔽三者在此汇合成同一条主线:量子芯片的规模化竞争,归根结底是对每立方微米介质环境的控制力竞争。

4.7.7 基准测试体系:RB、XEB、量子体积

量子芯片若缺乏统一、透明且可复现的基准测试体系,其性能对比便容易被单次最好结果、特定任务优化或营销口径扭曲。目前常用的基准工具包括随机基准测试RB、交叉熵基准测试XEB与量子体积等。随机基准测试的原理是对量子比特施加长度为 m 的随机Clifford序列并测量回归初态的概率,序列平均后的存活概率随深度呈指数衰减:

$$F(m) = A\alpha^m + B \tag{式 4-16}$$

其中 α 为衰减因子,A、B 吸收态制备与测量误差,使门误差估计对SPAM误差不敏感,这正是RB方法的核心价值。由 α 可换算每门平均错误率:

$$r = \frac{(1-\alpha)(D-1)}{D} \tag{式 4-17}$$

其中 $D = 2^n$ 为 n 比特希尔伯特空间维数。对单比特情形 $D = 2$,若拟合得 $\alpha = 0.9992$,则 $r = (1 - 0.9992)/2 = 4 \times 10^{-4}$,即平均门保真度99.96%;对双比特情形 $D = 4$,$\alpha = 0.996$ 对应 $r = 3 \times 10^{-3}$。交叉熵基准测试XEB则面向随机线路,其保真度估计量为 $F_{XEB} = 2^n \langle P(x_i) \rangle - 1$,其中 $\langle P(x_i) \rangle$ 为实测输出串在理想分布下的平均概率,理想执行时 F_{XEB} 趋于1,完全退相干时趋于0;量子体积则试图把比特数、门保真度、连通性与编译效率综合为单一能力指标,以能可靠执行的最大方形随机线路规模 m 定义 $\log_2 V_Q = m$。除此之外,循环基准、门集合层析和逻辑错误率测量等方法也日益重要。

但必须认识到,任何单一指标都不能完整刻画量子芯片能力。高RB结果不一定意味着复杂算法表现优秀,因为RB对相干误差与串扰的敏感性有限,也无法反映门在并行执行时的相互干扰;高量子体积也不必然等价于容错能力领先,而随机线路任务中的成功并不能自动外推到化学模拟或优化算法。评价量子芯片,必须从“展示型指标”转向“任务型指标+逻辑型指标+系统型指标”的联合视角。尤其在容错时代,真正重要的是逻辑比特寿命、纠错循环稳定性、解码延迟和资源利用率,这些指标正在成为下一阶段性能竞争中心。

4.7.8 量子软件栈与编译优化

量子芯片的可用价值最终必须通过软件栈释放。硬件层提供的是受限耦合图、有限门集、时序窗口和误差特征,软件栈则负责把抽象量子算法变换为具体平台可执行的指令流,并尽可能压缩深度、减少SWAP、匹配校准窗口、插入误差缓解策略与测量后处理逻辑。没有成熟的软件栈,高性能硬件也可能因映射低效而难以发挥优势;反之,优秀编译器与运行时系统可以显著延长现有硬件的可用边界。编译收益是可度量的:在最近邻耦合图上,朴素映射与经优化的映射之间,同一算法的双比特门数常相差两到三倍,按每门误差 3×10^{-3} 计,千门级线路的端到端保真度可因此相差 $e^{-3} \approx 20$ 倍量级,编译器质量在NISQ设备上直接等价于硬件代差。

在NISQ阶段,编译优化重点常放在门分解、线路裁剪、测量分组和误差缓解上;进入容错阶段后,问题将进一步上升到逻辑门合成、魔态工厂调度、纠错码映射和跨模块路由。不同硬件路线对软件栈的需求差异很大:离子阱更适合利用高连通性减少SWAP,中性原子可利用可重构几何优化布局,超导则需要高度关注最近邻约束和脉冲冲突。由此可见,量子软件栈并不是可与芯片解耦的上层附件,而是量子芯片技术体系中的共设计核心。

4.7.9 面向容错的资源估算:从物理误差到码距开销

共性技术的最终交汇点是量子纠错,而纠错的工程成本可以被相当精确地计算出来,这也是各路线指标竞争的统一换算标尺。以当前最主流的表面码为例,当物理错误率 p 低于阈值 p_{th} 时,码距为 d 的逻辑比特错误率随码距指数压低:

$$p_L \approx A\left(\frac{p}{p_{th}}\right)^{(d+1)/2} \tag{式 4-18}$$

其中 A 为量级为0.1的常数因子,p_{th} 对表面码约为1%。这一公式允许我们把“需要多好的物理比特、多少物理比特”变成一道算术题。设物理错误率 $p = 10^{-3}$、阈值 $p_{th} = 10^{-2}$,则 $p/p_{th} = 0.1$,每增加两级码距,逻辑错误率降低一个数量级。若目标是支撑大规模算法所需的 $p_L \approx 10^{-12}$,由 $0.1 \times 0.1^{(d+1)/2} = 10^{-12}$ 解得 $(d+1)/2 = 11$,即码距 $d = 21$。单个表面码逻辑比特所需的物理比特数为:

$$N_{phys} \approx 2d^2 - 1 \tag{式 4-19}$$

代入 $d = 21$ 得 $N_{phys} \approx 881$,即约九百个物理比特支撑一个高质量逻辑比特;一台包含一千个逻辑比特的容错机需约 9×10^5 个物理比特,再计及魔态工厂与路由区,总规模落在百万物理比特量级——这正是业界普遍引用“百万比特容错机”的定量出处。该估算同时揭示了物理保真度的杠杆效应:若 p 改善到 3×10^{-4},则 $p/p_{th} = 0.03$,同样目标下码距缩小到约13,单逻辑比特开销降至约340个物理比特,总规模缩减为约三分之一;反之若 p 仅为 5×10^{-3},比值0.5使得每级码距只带来约1.4倍改善,码距需求膨胀到70以上、单逻辑比特近万物理比特,工程上即告不可行。由此可以得出一个贯穿全章的判断:物理错误率在阈值以下每改善三倍,系统总开销约减半,因此“把 p 从 10^{-3} 推向 10^{-4}”是所有路线未来十年共同的、可量化的核心战役,而制冷、互连、封装、EDA与软件栈等共性技术的全部价值,最终都要折算到这场战役的贡献上。

4.8 第四章小结

经过前述分析可以看到,六大量子芯片路线并不存在简单的一维排名,而是围绕速度、精度、规模、温区和工程实现路径形成差异化竞合格局。超导量子芯片依靠快门速率、成熟微纳工艺和最完善的工程生态,在近期通用量子处理器竞争中仍处于主平台位置;中性原子凭借大阵列、可重构拓扑与快速扩展能力,正在成为最具冲击力的后起路线;离子阱则继续以最高门保真度、长相干时间和网络化潜力担任精度标杆。光量子与半导体量子点分别代表“计算-通信融合”与“高密度半导体化”两种长期方向,而拓扑量子芯片则作为远期高回报选项,持续吸引对硬件级容错的战略投入。

本章的定量线索也支持同一结论:各路线的物理机制虽然迥异,但都能被少数几个特征公式锚定其能力边界——超导受式4-2的能级设计与式4-3的相干-速度折中支配,离子阱受式4-5、式4-6的声子耦合速度极限约束,光量子被式4-8的损耗指数律主宰,中性原子的作用范围由式4-10的阻塞半径(约10微米)划定,量子点的门速度与噪声敏感性同源于式4-11的交换耦合,拓扑路线则把全部希望押在式4-12的指数保护上。而式4-18与式4-19给出的容错资源换算表明,在 $p = 10^{-3}$、$p_{th} = 10^{-2}$ 的现实参数下,一个高质量逻辑比特约需九百个物理比特、千逻辑比特容错机对应百万物理比特量级;物理错误率每改善三倍,总开销约减半。这组数字构成评价一切路线宣传的“汇率表”:任何比特数纪录,都必须除以其在该汇率下的编码开销,才是真实的计算能力。

从系统工程视角看,真正决定未来胜负的并不只是单比特物理本身,而是谁能把器件、控制、封装、EDA、软件栈与纠错架构联动起来。量子芯片竞争已经从“谁先做出若干量子比特”转向“谁先建立可持续扩展的技术体系”,其评判标准也必须从单点纪录转向系统级逻辑能力与制造可复制性。未来相当长时期内,多路线并存仍将是行业常态,不同平台在计算、模拟、网络和专用加速中的分工可能进一步清晰。

下表对六大路线的关键特征进行概括性比较,所列指标为公开资料可支持的典型量级或总体判断,用于体现相对位置而非固定极值。

路线	相干	保真度	速度	规模	成熟度	代表场景
超导	数十至上百微秒量级	单比特99.9%+、双比特99%至99.9%-	纳秒到百纳秒级,很快	百比特级以上持续扩展,模块化推进	高	通用门模型计算、表面码纠错、云量子处理
离子阱	秒级到更长量级	单比特99.99%+、双比特99.9%+	微秒到百微秒级,较慢	单链受限,靠QCCD与组网扩展	较高	高精度量子逻辑、量子模拟、分布式量子节点
光量子	传输中天然长相干,受损耗主导	受源探测与后选择影响,系统级依赖资源态质量	飞秒/皮秒传播,但有效门受资源制约	网络化潜力强,计算规模受损耗限制	中	量子通信、玻色采样、MBQC与量子网络
中性原子	毫秒到秒级相关过程,依编码与操控而变	单比特较高,双比特近年快速逼近99%+	微秒级到更高,中等	阵列位点扩展快,数百至上千可排布	中高	量子模拟、可重构图计算、近期大规模处理器
半导体量子点	微秒到毫秒级,优质硅中更长	单比特99.9%+、双比特约99%并持续提升	纳秒到微秒级	物理密度最高,系统扩展仍在爬坡	中	高密度容错芯片远景、半导体化量子集成
拓扑	目标是拓扑保护,现阶段无成熟统一量级	尚无成熟门级平台可对标主流路线	取决于具体实现,暂无定型	仍在基础验证,远未规模化	低	硬件级容错长期探索、前沿基础研究

综合判断,未来近期领跑者大概率仍将集中在超导与中性原子两条路线:前者在工程与纠错验证上最为领先,后者在大规模排布与可重构性上进步最快。离子阱将继续扮演精度标杆并在模块化网络中保持独特价值,光量子和半导体自旋则更像需要较长产业爬坡但潜在回报极高的长线技术,而拓扑路线虽然远未成熟,却构成行业不可忽视的范式期权。量子芯片技术体系的真正成熟,很可能不是某一路线彻底淘汰其他路线,而是在多平台竞合中逐步形成分层分工、互补演进的新生态。

第五章 演化路径:从NISQ到容错通用量子计算机

量子计算的发展并不是一条由“比特数量增加”即可自然通向通用能力的线性道路，而是一条由器件可控性、系统可扩展性、纠错可实现性与应用可兑现性共同塑造的多阶段演化路径。就当前主流技术路线而言，从含噪声中等规模量子设备到真正具备深线路执行能力的容错通用量子计算机，至少要经历四个具有明确边界条件的阶段:其一是以物理量子比特堆叠和短深度算法探索为特征的NISQ阶段；其二是以特定任务上展示相对经典方法优势为目标的量子优势验证阶段；其三是以逻辑量子比特稳定形成并实现纠错增益为标志的早期逻辑量子比特阶段；其四才是能够运行大规模容错算法、形成稳定应用供给能力的FTQC阶段。四个阶段之间的关系并非简单替代，而是前一阶段为后一阶段积累器件、控制、制造、软件与产业组织能力，后一阶段则重新定义前一阶段的评价指标与资源配置方向。理解这条路径的关键，在于认识到每一次阶段跃迁都对应着误差处理范式的质变:从容忍误差、缓解误差，走向编码吸收误差与以工程冗余系统性压制误差。

从产业方法论看，真正决定技术跃迁速度的，不仅是单个量子芯片在实验室中刷新某项纪录，更是系统工程是否能把“可演示”的能力转化为“可复现、可制造、可维护、可编排”的能力。NISQ设备可以证明量子态操控的复杂性，量子优势实验可以证明量子系统在某些边界问题上的独特表现，但只有当误差被纳入工程闭环并可通过冗余编码持续压低时，量子计算才会从物理学实验平台转向计算基础设施。因而，讨论演化路径时必须从单点指标崇拜转向阶段性条件分析，即每一阶段需要满足哪些技术条件、依赖哪些工程组织能力、又会释放怎样的应用价值与资本逻辑。

更进一步，演化路径的分析不能停留在定性叙事层面，而必须辅以可计算的资源估算与外推模型。噪声如何限制线路深度、纠错如何压制逻辑错误率、魔态蒸馏如何放大比特开销、器件规模如何随时间指数增长，这些问题都存在结构清晰的定量关系。把公开的器件参数代入这些关系式，就能得到对可用电路规模、逻辑错误率数量级、百万比特需求来源乃至容错时代到来时间窗口的具体估计。这类估算的意义不在于给出精确预言，而在于把“乐观还是悲观”的争论转化为“哪个参数假设不同”的可检验分歧。本章即以这一四阶段框架为主线，辅以贯穿全章的数量级计算，系统分析量子芯片从NISQ迈向容错通用量子计算机的演化机制。

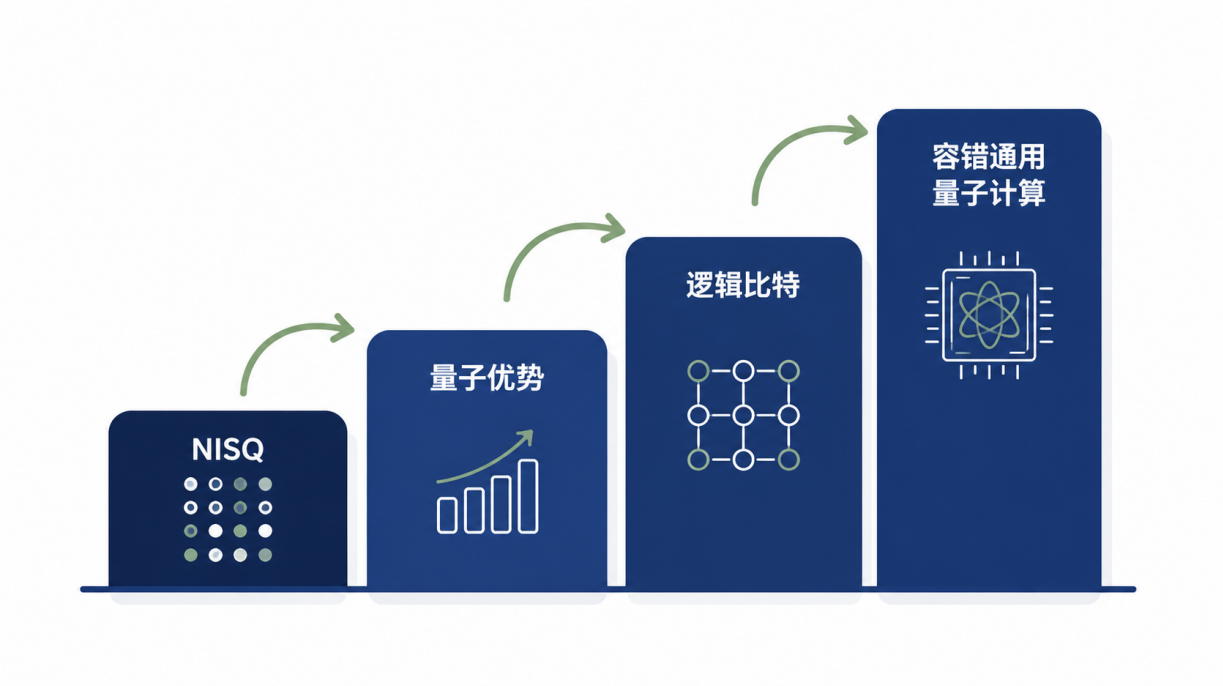


图 5-1 从NISQ到容错通用量子计算的演化路径

5.1 NISQ:含噪声中等规模量子时代

5.1.1 NISQ的定义与能力边界

NISQ，即Noisy Intermediate-Scale Quantum，通常指拥有数十到数千物理量子比特、但尚不具备全面量子纠错能力的量子计算系统。其“中等规模”强调的是比特数已经超出最早期少比特演示装置，却仍远未达到容错计算所需的大规模冗余；其“含噪声”则意味着门误差、读出误差、退相干、串扰和漂移并未被编码冗余所系统吸收，算法执行必须在有限相干窗口和有限门深约束下完成。换言之，NISQ设备并非“弱一些的通用量子计算机”，而是能力结构完全不同的一类实验与工程平台，其优势主要体现在制备复杂多体量子态、探索特定近似求解流程，以及逼近经典模拟的复杂性边界。

NISQ阶段的能力边界首先体现在可执行线路深度上，而这一边界可以被相当精确地定量刻画。对于未纠错的物理量子比特，若每个门操作的平均错误率为 ε，且各门误差近似独立，则包含 N 个门的线路整体保真度近似满足指数衰减规律:

$$F \approx (1-\varepsilon)^N \approx e^{-\varepsilon N} \tag{式 5-1}$$

其中 F 为线路末态与理想末态的保真度，ε 为单个门的平均错误率，N 为线路中的门总数。这一关系揭示了NISQ计算最根本的约束:保真度不是随深度线性下降，而是指数塌缩。若要求输出保真度不低于某个可接受下限 $F_{\min}$，则可执行的最大门数为

$$N_{\max} \approx \frac{\ln(1/F_{\min})}{\varepsilon_2} \tag{式 5-2}$$

其中 ε_2 为主导误差来源即双比特门的错误率。将当前较先进超导平台的典型参数代入:取 $\varepsilon_2 \approx 5\times10^{-3}$、$F_{\min}=0.5$，可得 $N_{\max} \approx \ln 2/0.005 \approx 140$ 个双比特门；即便双比特门错误率改善

到 10^{-3} 的先进水平，$N_{\max}$ 也仅约 700。对一个 50 比特系统而言，这意味着有效线路深度大致在十几层到几十层之间。这个数字直观解释了为何NISQ算法必须是浅线路算法:不是算法设计者偏好浅，而是物理保真度预算只够支付这么多门操作。

其次，测量误差与器件漂移会降低结果稳定性，导致同一量子线路在不同校准周期甚至不同芯片批次上的表现难以完全一致。再次，连接图受限意味着许多理想算法必须经过SWAP网络映射到物理拓扑上，从而进一步抬高有效深度和噪声暴露时间；在二维近邻拓扑上，一次远程双比特作用可能需要 $O(\sqrt{n})$ 量级的SWAP链，等效于把式 5-2 的可用深度再打折扣。因此，NISQ能够处理的问题并不是所有“量子算法教科书问题”的缩小版，而主要是那些可以被压缩为浅线路、具有一定误差弹性、并允许经典后处理参与优化的任务。

从计算复杂性角度看，NISQ阶段的重要意义在于逼近“经典难而量子可采样”或“量子表示更自然”的区域，但这种逼近并不自动等同于通用实用性。很多在理论上拥有量子加速潜力的问题，例如需要 10^9 量级门操作的Shor算法实例，与式 5-2 给出的数百门预算之间存在六到七个数量级的鸿沟，这一鸿沟无法靠参数微调弥合，只能靠纠错编码从根本上改变误差累积规律。由此形成的现实结论是，NISQ更适合作为过渡时代的技术试验场，而非终局平台；其价值不在于立即替代经典计算，而在于帮助行业建立对器件、控制栈、编译器、应用映射和误差建模的系统理解。

5.1.2 变分算法VQE/QAOA及其局限

NISQ阶段之所以曾被普遍寄予厚望，一个核心原因在于变分量子算法被视为适应噪声时代的重要折中方案。其基本思想是将量子处理器用于制备参数化量子态 $\psi(\theta)$ 并测量目标函数 $C(\theta)$，将参数优化则交给经典优化器迭代完成，形成量子—经典混合闭环。其中，VQE主要面向量子化学基态能量估计与某些组合优化的哈密顿量最小化问题，QAOA则面向约束优化与近似求解问题，通过在问题哈密顿量与混合哈密顿量之间交替演化来搜索候选解。它们共同的吸引力在于无需执行极深线路，也不要求立即具备全面容错能力，似乎为NISQ设备提供了“用得起来”的算法入口。

然而，变分算法的现实表现并未完全支撑早期叙事。首先，随着参数维度和系统规模上升，优化景观往往会出现所谓贫瘠高原现象，即目标函数对参数的梯度在高维空间中趋近于指数级衰减，经典优化器难以获得有效搜索方向。对于足够随机化的参数线路，理论分析给出的梯度方差满足

$$\mathrm{Var}(\partial_\theta C) \propto 2^{-n} \tag{式 5-3}$$

其中 n 为量子比特数,$\partial_\theta C$ 为代价函数对任一参数的偏导。将 $n = 50$ 代入，梯度方差量级约为 $2^{-50} \approx 10^{-15}$，即典型梯度幅度约 3×10^{-8}；而由采样统计涨落决定的梯度估计精度按 $1/\sqrt{N_s}$ 收敛，要把如此微弱的信号从散粒噪声中分辨出来，需要的采样次数 N_s 达到 10^{15} 量级，这在任何现实测量预算下都不可行。此问题并非简单的调参困难，而是参数化量子线路在表达能力、可训练性与噪声敏感性之间存在深层张力:表达能力越强的线路，往往越容易接近Haar随机态分布，进而使可训练性恶化；而为了绕开这一问题而人为限制线路结构，又可能削弱其对复杂问题哈密顿量的逼近能力。

其次，变分算法的测量开销往往被低估。以VQE为例，分子哈密顿量需要拆分为大量可测项，其项数随轨道数大致按 $O(n^4)$ 增长，期望值估计依赖重复采样，而每次采样都要在存在读出误差和设备漂移的前提下进行。要把能量估计收敛到化学精度约 1.6×10^{-3} 哈特里，单是统计涨落一项就

常常要求每个可测项 10^6 以上的采样次数。随着系统规模增加，测量成本、误差缓解成本和参数优化成本会共同膨胀，使整体求解流程不一定优于高质量经典启发式方法。QAOA同样面临层数增加后的噪声累积和训练不稳定问题；理论上更深的层数 p 可提升近似比，但每增加一层就要在式 5-1 的指数上追加一份误差预算，更深即意味着更高出错概率，二者形成直接冲突。

再者，变分算法的“优势”常常依赖问题编码方式、初始化策略和经典对照基线的选择。若经典基线过弱，量子结果容易显得可观；一旦纳入张量网络、专用启发式、对称性约束或问题分解技术，量子侧领先空间就会显著收窄。这说明VQE与QAOA并未失去研究意义，而是其战略定位必须调整:它们更适合充当误差感知编译、参数化线路设计、量子测量经济学和混合优化架构的实验平台，而不是被过早包装为广泛实用的工业级求解器。

5.1.3 NISQ的真实价值:工程练兵与生态培育

如果仅以“是否已经产生压倒性商业价值”衡量NISQ，那么很容易得出悲观结论；但若从技术体系建设角度观察，NISQ阶段实际上承担了后续全部量子计算工程化的前置训练场功能。首先，NISQ迫使行业把抽象的量子门模型落到真实硬件约束之上，推动了校准自动化、脉冲级控制、噪声表征、读出链路补偿、编译映射和作业调度等关键基础能力的发展。很多后来在逻辑量子比特阶段成为核心瓶颈的技术问题，最初正是在NISQ平台上暴露并被系统化认识。例如，随机基准测试方法在NISQ时期发展成熟，后来为纠错阈值判断提供了可信误差输入；数百通道微波控制的相位一致性问题也在NISQ系统中首次成为工程主要矛盾。

其次，NISQ阶段培育了量子软件生态与人才结构。量子算法研究者不再只讨论理想电路，而开始关注硬件原生门集、线路压缩、拓扑约束和误差模型；实验物理学家不再只追求单次演示，而必须考虑批量复现、设备在线率和系统维护窗口；工程团队则开始围绕控制电子学、低温封装、射频链路、EDA工具、云平台接口建立协作分工。其结果是，NISQ虽然未必交付最终应用，却显著提高了整个行业对“量子计算是一项全栈系统工程”的认知强度。这种认知重构决定了行业能否在纠错时代到来时具备承接能力:从未运营过千比特级校准流水线的团队，不可能直接跳跃到管理数十万物理比特的容错系统。

更重要的是，NISQ为资本、政策与产业伙伴提供了可以持续观测的技术对象。没有NISQ，就难以形成标准化基准、开放云平台、联合实验室和应用试点项目；没有这些组织形态，后续面向容错计算的长期投入便缺乏现实抓手。NISQ的真实价值因此并不体现在直接替代经典高性能计算，而体现在其作为一代技术基础设施雏形，促使上游器件、中游系统、下游应用和外部金融资本之间形成共演化机制。NISQ的具体形态注定被替代，但其建立的工程方法、组织形态与评价体系将被后续时代完整继承。

5.1.4 NISQ阶段的芯片设计取向

在NISQ阶段，芯片设计目标必须服从“有限深度内最大化可验证计算质量”这一核心约束，因此设计取向既不同于纯实验器件，也不同于面向远期容错的极限架构。首先，量子比特数量固然重要，但其意义建立在门保真度、相干时间、频率可寻址性与串扰可控性之上。式 5-2 已经表明，可用深度反比于门错误率，因此把 ε_2 从 5×10^{-3} 降到 1×10^{-3} 所带来的有效算力增益，往往超过把比特数翻几倍。若单纯追求规模扩张而牺牲可校准性，则比特数增长只会放大噪声与控制复杂度，

并不能带来有效算力提升；当比特数、目标深度与门错误率三者乘积远大于 1 时，额外比特对可信计算已无贡献。

其次，NISQ芯片要强调拓扑与可制造性的平衡。对于超导路线而言，二维近邻耦合便于后续向表面码过渡，但在早期阶段也要兼顾布线、封装和微波控制复杂度；对于离子阱、中性原子、光量子等路线，则需要在天然全连接、可重构连接或测量驱动机制的优势与门速、并行度、集成封装难度之间做权衡。设计目标不应抽象为“哪条路线最好”，而应落到该路线在NISQ阶段能否稳定交付高重复率实验、形成清晰扩展路线图。

从指标角度看，NISQ芯片更适合围绕以下要点展开优化:

- **门保真度优先**:　单比特门、双比特门和测量保真度直接决定可执行深度，是早期有效算力的基础。
- **校准稳定性**: 日级或周级漂移若过大，将显著吞噬系统可用时间，使算力无法规模化提供。
- **串扰与频率碰撞控制**: 多比特并行操作的真实上限常常由串扰而非名义比特数决定。
- **控制与读出可扩展性**: 芯片之外的电子学、线缆和低温接口数量若失控，系统难以继续放大。
- **可测试性与可维护性**: NISQ阶段大量价值来自快速迭代，器件必须支持高效诊断与重复制造。

因此，NISQ芯片设计的本质并不是提前“造出缩小版FTQC”，而是在噪声现实下建立一套可持续迭代的工程平台，使器件指标、控制架构和应用实验能够形成闭环反馈。这种平台能力越强，后续跨越到逻辑量子比特时代的成本就越低。

5.2 量子优势验证:从采样问题到实用问题

5.2.1 随机线路采样与玻色采样的意义与争议

量子优势验证阶段通常被理解为量子设备在某些特定任务上实现对已知经典算法的显著超越，其中最具代表性的实验类型是随机线路采样与玻色采样。随机线路采样通过在量子芯片上执行随机生成的门序列，并从输出比特串分布中采样，试图构造出经典超级计算机难以精确模拟的分布；玻色采样则利用不可区分玻色子在线性光学网络中的干涉输出，证明某些多光子采样分布在理论上具有经典难模拟性。这类实验的重要意义在于，它们将“量子力学可实现但经典计算难复现”的命题转化为可测量、可比较、可公开竞争的基准任务。

随机线路采样实验的可信度依赖于交叉熵基准这一统计工具，其保真度指标可由各误差通道的贡献近似分解为

$$F_{\mathrm{XEB}} \approx \exp(-\varepsilon_1 N_1 - \varepsilon_2 N_2 - \varepsilon_m n) \tag{式 5-4}$$

其中 ε_1、ε_2、ε_m 分别为单比特门、双比特门与测量的错误率，N_1、N_2 为对应门数，n 为比特数。以一个 53 比特、约 20 层、含千余个双比特门的随机线路为例，代入 $\varepsilon_2 \approx 5 \times 10^{-3}$ 及相应单比特与读出误差，指数项合计约 6 至 7，得 $F_{\mathrm{XEB}} \sim e^{-6} \approx 2 \times 10^{-3}$。这个千分之二的保真度看似微不足道，却仍显著高于统计零假设，足以证明量子芯片确实执行了目标线路而非输出白噪声。与此同时，直接态矢模拟该系统需要存储 2^{53} 个复振幅，内存需求约 $16 \times 2^{53} \approx 1.4 \times 10^{17}$ 字节即约 10^2 PB量级，超出任何单一超算的内存容量，这正是“经典难模拟”论断的直观来源。

然而，此类优势实验自诞生起便伴随争议，核心原因在于它们所展示的优势具有高度任务特异性。首先，采样问题的结果通常不直接对应工业用户可消费的业务价值，因此即便量子设备在这些任务上领先，也不意味着其已具备广泛实用性。其次，经典模拟算法会随着量子实验的推进而迅速改进:张量网络方法通过限制纠缠表示把内存需求从指数级压到可管理范围，路径积分剪枝与采样近似方法则利用 F_{XEB} 本身很低这一事实，只需生成同等保真度的近似样本即可宣称“追平”，使一些早期“天文级加速”叙事在后来被重估。这里揭示出一个重要规律:量子优势并不是单方面宣布的静态事实，而是量子硬件与经典算法之间持续博弈的动态边界，边界位置由双方的改进速度共同决定。

尽管存在争议，随机线路采样与玻色采样仍具有不可替代的方法论价值。它们迫使研究界建立更严格的验证协议、交叉熵基准、抗噪声统计指标和经典可模拟性分析框架，也推动硬件团队面对大规模并行门控制、误差漂移抑制和高吞吐读出等系统级问题。其作用并不只是为了给“量子比经典快”提供一次性证据，更是为了校准行业对硬件极限、验证方法与理论复杂性边界的认识。

5.2.2 实用量子优势的判据

当行业讨论从“展示优势”转向“创造价值”时，量子优势的判据就必须从抽象复杂性理论扩展到应用工程语境。所谓实用量子优势，至少应满足三个层面的要求:一是针对现实任务目标，而非专为优势验证构造的人工问题；二是在总成本意义上优于经典方案，而不仅仅是某个子步骤的理想运行时间更短；三是优势具备可重复、可迁移和可持续改进的特性，而不是依赖极端调参、特殊实例或短暂的基线空档。

据此，实用量子优势可以从以下维度加以判别:

- **问题真实度**: 任务是否来自材料设计、量子化学、优化、机器学习或密码分析等真实需求场景，而非仅具理论意义的抽象采样。
- **端到端收益**: 需要把数据编码、线路执行、测量采样、经典后处理和误差缓解全部纳入总耗时与总能耗评估。
- **对照基线充分性**: 必须与当前最优经典方法比较，而不是与过时或泛化能力不足的经典实现比较。
- **鲁棒性**: 优势是否在不同实例、不同设备批次、不同噪声条件下仍然成立。
- **经济可接受性**: 即便科学上成立，若需要极高实验维护成本而无法规模化供给，仍难称为实用优势。

端到端收益维度尤其值得展开。以量子化学期望值估计为例，量子侧总耗时应写作制备时间、线路时间、测量次数与误差缓解放大因子的乘积，而误差缓解技术如零噪声外推、概率误差消除的采样开销往往随线路规模指数增长，这意味着“测得出”与“测得起”是两个不同命题。量子侧必须在与最优经典方法同等预算的总账层面而非单步层面胜出，才构成有意义的优势宣称。

由此可见，实用量子优势的门槛远高于单次实验领先。它要求量子芯片不仅在物理上展现难模拟性，更要在系统上形成稳定工作流，在应用上具有可解释的业务价值，在经济上能够融入现有研发或生产流程。其难点不只是“把量子芯片做得更大”，更是把整个量子计算栈变成可与经典计算协同的生产工具。

5.2.3 量子模拟:最可能率先落地的方向

在众多潜在应用中，量子模拟长期被认为是最可能率先落地的方向，这一判断并非出于概念上的想象，而是因为量子系统模拟量子系统在表示结构上具有天然同构性。经典计算机在求解多电子强关联体系、复杂量子材料、非平衡量子动力学等问题时，常常面临希尔伯特空间维数指数爆炸——一个 n 自旋体系的态空间维数为 2^n，$n=100$ 时已达 10^{30} 量级——而量子处理器可以更自然地编码这类态空间结构，用 n 个物理比特直接承载 2^n 维的态叠加。与离散组合优化或通用量子机器学习相比，量子模拟往往更接近量子硬件的物理原生性，因此其路径依赖更少、问题映射更直接。

量子模拟的落地形式可能包括两类。其一是数字量子模拟，即利用门模型量子计算机离散分解目标哈密顿量演化，通过Trotter分解等方法把演化算符 $e^{-i\hat{H}t}$ 拆解为基本门序列，其分解误差随步长可控收敛；其二是模拟量子模拟，即直接构造受控量子系统去模拟目标体系。前者更具编程灵活性，后者则可能在特定问题上更早达到规模。对于量子芯片产业而言，数字量子模拟尤其重要，因为它能把器件、编译、控制与应用接口纳入统一软件栈，从而与长期FTQC路线保持兼容；今天为浅层Trotter线路开发的哈密顿量编译工具，几乎可以无缝迁移到未来容错平台上的深层相位估计流程。

需要强调的是，量子模拟之所以可能率先落地，并不意味着它会在短期内全面替代经典计算化学与材料模拟。真实研发流程中，经典密度泛函理论、张量网络、量子蒙特卡洛和多尺度建模仍将长期发挥主导作用。量子模拟更现实的角色，是在经典方法最薄弱的局部区域提供高价值补充，例如对强关联活性位、催化反应过渡态或新奇量子相进行更高保真刻画。这意味着其商业模式不会是“大而全替代”，而更可能表现为嵌入式高价值计算模块:在一个以经典计算为主体的研发管线中，量子模拟承担少数经典方法误差不可控的关键节点，其价值按节点重要性而非计算总量计价。

5.2.4 该阶段的芯片指标要求

量子优势验证与早期实用探索阶段，对芯片的要求已经超出一般NISQ演示，开始转向“系统级可验证复杂度”和“任务级有效算力”的双重约束。一方面，芯片必须支持更高并行度、更稳定的深度执行与更可重复的统计行为，否则优势实验难以获得可信结果；另一方面，若目标从采样问题延伸到量子模拟或特定优化任务，则对门集通用性、线路映射效率和误差表征能力的要求会进一步提高。

刻画这种系统级综合能力的代表性指标是量子体积。量子体积测量的是系统能够可信执行的最大方形随机线路(宽度等于深度)的规模，其对数值与系统有效错误率之间存在简洁的近似关系:

$$\log_2 V_Q \approx \varepsilon_{\text{eff}}^{-1/2} \tag{式 5-5}$$

其中 V_Q 为量子体积，ε_{eff} 为包含门误差、串扰与编译损耗的系统有效错误率。该关系来自方形线路约含 m^2 量级的双比特门层与 $m^2\varepsilon_{\text{eff}} \sim 1$ 的可信度条件。代入 $\varepsilon_{\text{eff}} = 10^{-2}$ 得 $\log_2 V_Q \approx 10$；改善到 10^{-3} 得 $\log_2 V_Q \approx 31$，即量子体积达 $2^{31} \approx 2 \times 10^9$。这一计算说明两点:其一，量子体积的指数增长本质上由有效错误率的下降驱动，比特数只是必要条件；其二，从 $\varepsilon_{\text{eff}} = 10^{-2}$ 到 10^{-3} 的一

个数量级改善，能把可信线路宽度从约 10 比特推到约 30 比特，恰好覆盖经典精确模拟从轻松到吃力的过渡带，这正是优势验证实验集中出现在该参数区间的原因。

该阶段的核心指标通常包括:

- **有效双比特门保真度**: 双比特门往往是误差主来源，其平均保真度与尾部分布决定可实现线路深度。
- **并行操作能力**: 单点最佳门保真度不足以支撑优势验证，必须关注全芯片并发执行下的真实误差表现。
- **读出吞吐与统计稳定性**: 采样类任务依赖大量重复测量，读出链路的速度与一致性直接影响实验可行性。
- **拓扑可映射性**: 芯片连接图若使目标线路产生过多SWAP开销，则理论优势会被编译损耗吞噬。
- **验证可解释性**: 需要具备足够完备的噪声模型、交叉校验手段与经典验证接口，以避免“结果不可证伪”的困境。

从芯片设计逻辑看，此阶段已经要求研发团队开始为后续纠错时代预留路径。也就是说，优势验证不应成为独立终点，而应尽可能建立与表面码布局、模块化互连、低温控制扩展和软件栈抽象一致的技术路线。只有这样，阶段性胜利才能沉淀为长期能力，而不会变成孤立的技术秀场。

5.2.5 量子经典混合算法的过渡角色

在从优势验证走向实用价值的过程中，量子经典混合算法承担着贯穿全部演化阶段的组织功能，它并不是NISQ时代的临时权宜，而是量子计算融入现实计算体系的基本形态。任何现实量子计算任务都嵌在一条以经典计算为主体的工作流之中:数据准备、问题编码、参数寻优、误差缓解、结果验证与最终决策消费全部由经典系统承担，量子处理器只负责其中最难以经典模拟的态制备、演化与测量环节。这一结构性事实意味着，评价量子计算进展的正确单位不是量子子程序的孤立运行时间，而是混合系统的端到端产出。忽视这一点，就会把子步骤加速误当作总体加速，从而系统性高估短期价值。

混合工作流的端到端收益存在一个结构清晰的上限，其形式与经典并行计算中的加速比定律同构:

$$S = \frac{1}{(1 - f_q) + f_q / s_q} \tag{式 5-6}$$

其中 S 为混合工作流的整体加速比，f_q 为工作负载中可交由量子子程序处理的比例，s_q 为该子程序相对最优经典实现的加速倍数。当 $s_q \to \infty$ 时，S 的极限为 $1/(1 - f_q)$，即无论量子侧多快，总收益都被可加速占比锁死。代入具体数量级:若 $f_q = 0.5$，即便量子子程序快一千倍，总加速也不会超过 2；只有当 $f_q = 0.9$ 且 $s_q \geq 100$ 时，才能得到 $S \approx 9$ 的显著收益。这条朴素计算给出的战略结论是，问题结构的选择比单点加速的追求更根本:量子模拟之所以被普遍视为最可能率先落地的方向，一个定量原因正是其核心求解步骤在总工作量中占比极高，属于天然的高 f_q 问题域；而许多商业优化场景中量子可加速环节占比有限，即便量子侧表现完美，端到端收益也可能被数据搬运与预处理稀释殆尽。

混合算法的过渡角色还随演化阶段发生结构性迁移。在NISQ阶段，混合形态表现为经典优化器主导的变分闭环与误差缓解后处理，经典侧的功能是补偿量子器件的缺陷，量子线路只是被反复调用的含噪声黑箱。进入早期逻辑比特阶段后，经典侧的重心转向实时解码、逻辑基准验证与资源估算模型校准，混合关系从算法层下沉到系统层，经典计算成为维持逻辑量子比特存在的必要条件。而到了容错时代，混合形态又将上移回算法层:经典超算负责全局搜索、问题切分、哈密顿量构造与多轮迭代控制，量子主机作为昂贵而稀缺的核心子程序供给方按需被调用。三个阶段的共同趋势，是经典侧从“补偿量子缺陷”演变为“编排量子资源”，量子经典边界从模糊的实验耦合演变为清晰的架构分工。

这一过渡角色对芯片与系统设计提出了往往被低估的具体要求。混合闭环的迭代周期常常由经典与量子之间的往返延迟主导而非量子门时间本身，因此测量读出吞吐、参数更新链路延迟与批量作业切换效率都必须作为一级指标纳入设计；一次变分迭代若量子执行仅需数百微秒而参数回传与重编译耗时数百毫秒，则系统的有效利用率不足千分之一。同时，编译栈的抽象层次必须能够同时服务近期的变分闭环与远期的容错子程序调用，避免生态在阶段跃迁时推倒重来。可以说，混合算法框架是量子计算各演化阶段之间最重要的连续性载体，谁能把混合接口做成稳定的工程资产，谁就能让每一代器件的应用探索成果顺利传递给下一代平台。

5.3 逻辑量子比特时代:纠错的工程化

5.3.1 从物理比特到逻辑比特的跨越意义

从物理量子比特迈向逻辑量子比特，是量子计算发展史上最关键的一道分水岭。物理量子比特代表的是器件层面可被制备、操控和测量的基本载体，但其误差率受退相干、控制噪声、泄漏和串扰影响，无法在深线路中长期保持可靠。逻辑量子比特则通过将多个物理比特编码为一个受保护的信息单元，并通过周期性稳定子测量与解码纠错来主动抑制误差扩散，使量子信息寿命和操作可靠性不再完全受单个器件本征性能支配。也正因此，逻辑量子比特并不是简单“更贵的量子比特”，而是量子计算从脆弱实验态向可维护计算态转化的制度性技术对象。

这种跨越的意义首先在于，评价指标体系发生根本变化。在物理比特时代，行业常关注单比特门保真度、双比特门保真度、相干时间和比特数；而进入逻辑量子比特时代后，更关键的问题变成一个编码周期是否能稳定提取综合征、解码器能否及时给出纠错推断、逻辑错误率是否随码距增加而下降。也就是说，系统成败不再由单一器件纪录决定，而由器件、控制、读出、编译、解码和时钟协同的整体闭环决定。这一转变还带来评价时间尺度的变化:逻辑比特指标必须在数百万个纠错周期的连续运行中统计确认，任何间歇性故障与罕见相关误差都会进入统计账本。

其次，逻辑量子比特的出现意味着量子算法终于获得了扩展到深线路的前提条件。无论是大规模量子化学模拟、相位估计、哈密顿量演化，还是Shor算法这类需要长序列受控操作的任务，都无法在纯物理比特平台上稳定运行。只有当逻辑态寿命、逻辑门错误率和状态制备可靠性进入可工程管理的范围，量子算法才不再局限于浅层启发式近似，而能够转向具有明确复杂度优势的深层结构。从式 5-1 的视角看，纠错的本质是把误差累积规律从对物理门数的指数依赖，转换为对逻辑门数的指数依赖，同时把指数中的错误率从 10^{-3} 量级压到 10^{-10} 甚至更低量级，从而把可执行深度上限提高十个数量级以上。

5.3.2 盈亏平衡点:纠错增益大于开销

量子纠错并非天然带来收益，因为编码本身会引入额外物理比特、额外测量、额外控制脉冲以及额外解码开销。所谓纠错的盈亏平衡点，指的是在某一编码规模和某一系统误差条件下，逻辑量子比特的有效错误率开始低于组成它的物理量子比特错误率，并且这种改善足以抵消编码和运行成本。若达不到这一点，纠错只会把原本简单的问题变得更昂贵，而不会产生真实计算增益。

盈亏平衡的物理基础可以用表面码的逻辑错误率压制公式定量表述。当物理错误率 p 低于码的阈值 p_{th} 时，码距为 d 的表面码逻辑比特在每个纠错周期内的逻辑错误率近似满足

$$p_L \approx 0.1(p/p_{\mathrm{th}})^{(d+1)/2} \tag{式 5-7}$$

其中 p_L 为每周期逻辑错误率，p 为物理错误率，p_{th} 为阈值(表面码在电路级噪声模型下约为 10^{-2} 量级)，d 为码距，系数 0.1 为数值模拟拟合的典型量级。这一公式的力量在于指数结构:只要 $p < p_{\mathrm{th}}$，增大码距就能指数级压低逻辑错误率。代入 $p = 10^{-3}$、$p_{\mathrm{th}} = 10^{-2}$，比值 $p/p_{\mathrm{th}} = 0.1$，则 $d = 11$ 时 $p_L \approx 0.1 \times (0.1)^6 = 10^{-7}$；$d = 25$ 时 $p_L \approx 0.1 \times (0.1)^{13} = 10^{-14}$。也就是说，在物理错误率仅比阈值低一个数量级的条件下，把码距从 11 提到 25，逻辑错误率就从千万分之一压到百万亿分之一，跨越七个数量级。这正是容错路线的核心承诺:用多项式增长的资源换取指数下降的错误率。

由式 5-7 还可以直接读出码距扩展的边际收益:

$$\frac{p_L(d+2)}{p_L(d)} \approx \frac{p}{p_{\mathrm{th}}} \tag{式 5-8}$$

即每增加两格码距，逻辑错误率按 p/p_{th} 的比例缩减一次。当 $p/p_{\mathrm{th}} = 0.1$ 时，每加两格码距压低一个数量级；但若物理错误率仅达到 $p = 5 \times 10^{-3}$，比值升至 0.5，则每加两格码距只能把错误率减半，达到同样逻辑错误率所需码距和比特开销将成倍膨胀。这解释了为什么工程上普遍要求物理错误率“显著低于”而非“刚好达到”阈值:p/p_{th} 每改善一点，都会通过指数杠杆放大为巨大的资源节约。

盈亏平衡点的形成还依赖多个非理想因素的共同满足。误差模型不能过度偏离解码器假设，否则即便平均误差率达标，相关误差、泄漏或时变噪声也会侵蚀逻辑收益；式 5-7 隐含独立误差假设，而真实器件中的串扰关联与热化泄漏会有效抬高分子中的 p。综合征提取链路必须具备足够高的时序一致性和低延迟，否则纠错操作可能来不及在错误扩散前完成。因此，纠错盈亏平衡并不是单一实验曲线交叉的象征性事件，而是一个可持续区间的建立。一旦进入该区间，增加码距确实能按式 5-8 的规律降低逻辑错误率，系统便开始具备“用更多资源换更高可靠性”的工程放大规律。没有这一规律，量子计算仍停留在精巧演示阶段；有了这一规律，才谈得上真正意义上的扩展路线图。

5.3.3 逻辑门操作:横向门、格点手术与魔态蒸馏

在逻辑量子比特形成之后，下一步关键问题不再只是“存住量子信息”，而是“如何在保持容错性的前提下对逻辑态进行通用操作”。不同纠错码支持的原生容错门集并不完全相同，许多码只能对某些Clifford门提供较自然的横向实现，即通过对多个物理比特并行施加对应操作来避免单点错误扩散。横向门的优点是结构清晰、局域误差不易级联，但其局限也很明显:根据编码理论的一般性

限制，任何单一量子纠错码都无法对通用门集全部实现横向操作，仅靠横向门通常无法构成通用量子计算所需的完整门集。

为实现更广义的逻辑操作，表面码体系广泛采用格点手术等方案，通过在编码块之间执行受控合并、切分和稳定子测量来实现逻辑纠缠与测量驱动操作。格点手术之所以受到重视，是因为它适配二维近邻布局，较好地符合超导等主流路线的平面集成约束。但其代价在于调度更复杂、时序更严格、对综合征稳定性更敏感，且逻辑门延迟不再仅由单次脉冲长度决定，而由多个纠错周期共同决定——一次格点手术操作通常需要 d 个测量周期来可靠确定逻辑测量结果，这使逻辑时钟频率天然比物理时钟慢 d 倍以上。

真正决定FTQC资源爆炸的，则是非Clifford门的实现问题，尤其是T门常依赖魔态注入与魔态蒸馏。魔态蒸馏本质上是一种“用大量较差辅助态提纯少量高保真资源态”的过程，最经典的方案是十五比特码蒸馏协议:消耗 15 个错误率为 p_{in} 的输入魔态，输出 1 个错误率显著压低的魔态，其提纯规律为

$$p_{\text{out}} \approx 35 p_{\text{in}}^3 \tag{式 5-9}$$

其中 p_{in}、p_{out} 分别为输入与输出魔态的错误率，系数 35 由协议中不可检测错误组合的计数决定。代入注入态典型错误率 $p_{\text{in}} = 10^{-3}$，一级蒸馏后 $p_{\text{out}} \approx 35 \times 10^{-9} = 3.5 \times 10^{-8}$；若把一级输出再送入第二级，则 $p_{\text{out}} \approx 35 \times (3.5 \times 10^{-8})^3 \approx 1.5 \times 10^{-21}$。可见两级蒸馏在理论上已足以支撑任何现实算法对T门质量的要求，真正的问题在于代价:k 级递归蒸馏的资源消耗按

$$C_k \propto 15^k \tag{式 5-10}$$

增长，其中 C_k 为生产一个 k 级魔态所需的原始魔态数量。$k = 1$ 时为 15，$k = 2$ 时为 225，再计入每个蒸馏轮次占用的编码面积与纠错周期，一个持续供应高质量T门的魔态工厂往往要占据整机物理比特的相当份额。很多资源估算显示，大规模Shor、量子化学相位估计或复杂模拟任务所需物理比特数之所以动辄达到数十万至数百万量级，关键并不只是数据逻辑比特多，而是魔态工厂占用了巨大冗余空间。这意味着逻辑门工程的中心矛盾，不仅是实现门本身，更是如何以更低时空开销提供足够吞吐的高质量非Clifford资源；近年魔态培育、码切换与低开销蒸馏协议受到高度关注，正是因为式 5-10 的底数每降低一点，系统总账即成倍节约。

5.3.4 早期容错ELQ阶段的应用形态

在逻辑量子比特刚刚形成、但规模尚未达到大规模通用容错之前，行业通常会进入一个可称为 Early Logical Qubits，或早期容错的ELQ阶段。该阶段的系统已经具备初步逻辑保护能力，能够执行比NISQ更深、误差更可控的线路，但逻辑比特数量仍较少，非Clifford资源稀缺，任务规模受到严格限制。它既不同于纯NISQ，因为纠错开始提供真实增益；也不同于成熟FTQC，因为资源仍不足以支撑广泛商业级算法。以式 5-7 的参数感受这一阶段的能力区间:若系统拥有数十个 $d = 7$ 至 $d = 11$ 的逻辑比特，逻辑错误率在 10^{-5} 至 10^{-7} 之间，则可执行的逻辑门数上限约为 10^4 至 10^6，比NISQ的数百门预算高出两到四个数量级，但距离Shor级算法所需的 10^9 以上仍有明显差距。

ELQ阶段最可能出现的应用形态，是用于验证容错算法组件和中小规模高价值计算原语。例如，研究者可在有限逻辑比特上执行小规模相位估计、受保护量子记忆、纠错辅助量子模拟、逻辑级基准测试和部分容错子程序，以评估逻辑门保真度、魔态工厂吞吐和实时解码能力。这一阶段还有一个常被低估的科学价值:它是校准资源估算模型的唯一窗口，只有ELQ系统能提供逻辑层真实统计数据，用以修正相关误差、解码延迟与工厂吞吐等参数假设，把FTQC工程规划从纸面推演变为数据驱动。对于产业用户而言，这一阶段的价值可能首先体现在“验证未来能否做成什么”，而非直接输出大规模商业求解结果。

从商业化角度看，ELQ阶段的供给形态更可能接近高端科研云平台或联合攻关设施，而非通用云算力租赁。用户群体主要是材料、化学、密码学和算法研究机构，他们关注的不只是单次结果，更是逻辑层行为、编译抽象和资源估算模型的可信度。也正因此，ELQ阶段在产业意义上扮演的是“从希望叙事走向工程定价”的角色:一旦逻辑量子比特可被稳定租用、调度和计费，量子计算就开始具备真正基础设施化的雏形。

5.3.5 该阶段的系统架构变革:实时解码链路

一旦量子计算进入逻辑量子比特阶段，系统架构的中心便从“尽量提高单次实验保真度”转向“围绕纠错循环构建实时反馈闭环”。这一变革最鲜明的体现，就是实时解码链路成为系统级关键路径。稳定子测量产生的大量综合征数据必须在严格时间预算内被采集、传输、处理并反馈到控制系统，以决定后续帧更新、Pauli frame 跟踪或显式纠错动作。若解码延迟超过纠错周期允许范围，错误便可能在等待过程中继续扩散，逻辑收益随之丧失。

解码链路的数据压力可以简单估算:一个码距 $d = 25$ 的逻辑比特约含 $2d^2 \approx 1250$ 个物理比特，每微秒量级的纠错周期产生约 $d^2 \approx 625$ 比特综合征数据，单逻辑比特的综合征数据流即达每秒数百兆比特量级；一台千逻辑比特机器的综合征总带宽将达到每秒数百吉比特，且解码计算必须以同等速率持续消化这条数据流，任何积压都会转化为反馈延迟并按指数规律侵蚀逻辑保真度。这组数字说明，实时解码不是普通的数据后处理问题，而是一个吞吐、延迟、功耗三重受限的专用计算系统设计问题。

因此，该阶段的量子芯片不再是孤立的低温器件，而必须与室温控制电子学、低温读出链路、FPGA/ASIC解码硬件、时钟同步网络和软件调度栈形成紧密共设计。其关系并非线性叠加，而是任何一环的抖动、缓存拥塞或吞吐不足都可能直接反映为逻辑错误率劣化。尤其在表面码等高频周期测量体系下，数据平面规模会随着码距和逻辑比特数急剧扩张，这使经典辅助系统从“外围支持”升级为“量子主机的一部分”。

该阶段系统架构的关键要求包括:

- **低延迟综合征采集**: 读出电子学必须在纠错周期内稳定输出高保真综合征。
- **硬件化解码能力**: 纯软件解码难以支撑大规模实时需求，需引入FPGA、GPU或专用ASIC。
- **时钟与控制一致性**: 多模块、多机架系统中微小时间偏差都可能破坏逻辑操作时序。
- **控制软件分层**: 需要区分脉冲层、逻辑门层、纠错调度层与作业编排层，避免全栈耦合失控。
- **容错感知编译**: 编译器必须理解逻辑拓扑、魔态资源和解码延迟，而非只做物理比特映射。

可以说，实时解码链路的建立标志着量子计算第一次真正进入“经典控制系统反向决定量子可扩展性”的阶段。后续FTQC能否实现，不仅取决于量子芯片本体，也取决于能否构造出足够快、足够稳、足够节能的经典辅助基础设施。

5.4 FTQC:容错通用量子计算

5.4.1 定义与能力

FTQC，即Fault-Tolerant Quantum Computing，指能够在容错架构下稳定执行任意足够长的量子线路，并将逻辑错误率压低到满足目标算法成功概率要求的通用量子计算系统。其定义核心不在于拥有多少物理量子比特，而在于是否建立了可扩展的逻辑编码、容错门实现、实时解码与资源调度体系，使算法深度不再被裸物理器件寿命直接限制。只有在这一意义上，量子计算机才真正成为“计算机”，而非先进量子实验平台。判断一个系统是否进入FTQC范畴，可操作的标准是:给定算法所需的逻辑门总数 N_{op}，系统能够通过选择码距使 $p_L \times N_{\mathrm{op}} \ll 1$ 成立，且这种码距选择在物理资源与运行时间上都可兑现。

FTQC的能力边界与NISQ截然不同。它能够运行以相位估计、长时间哈密顿量演化、量子线性代数子程序和大规模数论算法为核心的深线路任务，其中最具象征性的例子即Shor算法对大整数分解与离散对数问题的潜在威胁。更广泛地说，FTQC意味着量子算法设计者可以把关注点从“如何把问题塞进几十层噪声线路”转向“如何最优组织逻辑资源与非Clifford开销”，算法复杂度分析中的主导项从物理误差预算变为T门计数与逻辑比特调度。这会释放出大量此前因深度受限而只存在于理论层面的算法潜力。

但FTQC并不意味着量子计算将全面取代经典计算。其优势集中在少数结构高度适配量子叠加、干涉和纠缠机制的问题域，尤其是高精度量子模拟、某些密码分析任务、特定线性代数与搜索加速任务。大量数据密集型、分支逻辑复杂或内存访存主导的任务，依然更适合经典体系；因此，FTQC的真正意义，不是宣告经典计算过时，而是为人类计算体系增加一种新的高端专用能力层。

5.4.2 资源需求:百万物理比特量级的来源

FTQC资源需求之所以常被估算到百万物理比特量级，根本原因在于容错不是免费能力，而是要用大量冗余把不可靠的物理器件组织成极低错误率的逻辑计算资源。这一开销可以自下而上逐层算出。首先，一个码距为 d 的表面码逻辑比特需要的物理比特数为

$$n_{\mathrm{phys}} \approx 2d^2 \tag{式 5-11}$$

其中数据比特与测量辅助比特各约 d^2 个。代入 $d = 25$，单个逻辑比特即需约 1250 个物理比特；即便是ELQ阶段常用的 $d = 11$，也需约 242 个。其次，整机物理比特总数为逻辑比特数、单逻辑比特开销与支持性开销的乘积:

$$N_{\mathrm{total}} \approx n_L \times 2d^2 \times (1 + f) \tag{式 5-12}$$

其中 n_L 为数据逻辑比特数，f 为魔态工厂、路由通道与缓冲区域占用的额外比例，典型估算中 f 在 1 到 3 之间。以中等规模容错应用为例，取 $n_L = 1000$、$d = 25$、$f = 1$，得

$N_{\text{total}} \approx 1000 \times 1250 \times 2 = 2.5 \times 10^6$，即两百五十万物理比特。这就是“百万比特量级”论断的直接来源:它不是修辞性的夸张，而是三个乘数——千级逻辑比特、千级编码开销、翻倍级支持开销——的朴素连乘结果。

资源需求与目标算法的关系可以用密码分析这一标杆场景具体化。分解 n 比特RSA整数的Shor算法所需T门数大致按

$$N_T \approx 0.3n^3 \tag{式 5-13}$$

估算，其中 N_T 为T门总数，n 为被分解整数的比特长度。代入 $n = 2048$，得 $N_T \approx 0.3 \times (2048)^3 \approx 2.6 \times 10^9$，即约二十六亿个T门。要让整个算法以可观概率一次成功，需要 $p_L \times N_{\text{op}} \ll 1$，即每逻辑操作错误率压到 10^{-10} 量级以下；由式 5-7 反解，$0.1 \times (0.1)^{(d+1)/2} \le 10^{-10}$ 要求 $(d+1)/2 \ge 9$，即 $d \ge 17$，工程上计入相关误差与安全余量后通常取 $d \approx 27$。此时按式 5-12 计算，数千个数据逻辑比特加上高吞吐魔态工厂，总规模落在 10^7 量级物理比特，与公开文献中“两千万物理比特、运行数小时”的著名估算相吻合。运行时间同样可以估算:若T门基本串行消耗且每个T门占约 d 个纠错周期，周期时长 $t_c \approx 1$ 微秒，则

$$T_{\text{run}} \approx N_T \times d \times t_c \tag{式 5-14}$$

代入上述参数得 $T_{\text{run}} \approx 2.6 \times 10^9 \times 27 \times 10^{-6} \approx 7 \times 10^4$ 秒，即约二十小时量级；实际系统通过多工厂并行与编译优化可压缩到数小时。这组计算传递的信息是双向的:一方面，破解现行RSA体系所需资源仍比当前最大器件高出三到四个数量级，短期威胁论缺乏依据；另一方面，该估算在过去十余年间已因架构优化下降了两个数量级以上，且不存在已知的物理原理障碍，长期安全规划必须认真对待。

更大的资源压力来自时间与空间并举的容错调度。为了让算法在可接受总时长内完成，系统不能只拥有“刚刚够用”的逻辑比特，还要配置足够数量的辅助逻辑比特、魔态工厂、路由通道和缓冲区域，以保证高吞吐非Clifford资源供应与逻辑操作并行执行。若魔态工厂太少，算法就会在等待T资源时大幅拉长；若工厂太多，则硬件成本急剧上涨，式 5-12 中的 f 因子正是这一权衡的集中体现。此外，资源需求还受到目标应用精度的强烈影响。化学精度模拟、密码分析与优化问题对容错阈值、采样次数和算法重复运行次数的要求并不相同。某些看似中等规模的应用，只要要求极高输出置信度，就可能推动所需码距上升并按 $2d^2$ 规律成倍放大物理资源。因此，关于FTQC资源规模的讨论必须和目标问题、目标精度、物理误差模型与门调度策略绑定，简单给出“多少比特足够”往往会掩盖真正瓶颈。

5.4.3 模块化与分布式量子计算

当量子系统规模跨越单芯片、单真空腔或单低温平台承载能力时，模块化与分布式量子计算将从可选方案变为必经之路。以上一节的估算为参照:10^6 至 10^7 物理比特的系统，若以当前单芯片千比特级的集成能力衡量，需要数千颗芯片协同；即便单芯片集成度再提高一个数量级，跨芯片互连依然不可回避。模块化的基本思想是，将大规模量子计算机划分为多个相对独立但可互连的量子处理模块，每个模块内部保持高保真局域操作，模块之间则通过光互连、量子总线、离子搬运或其他

纠缠分发机制实现信息交换。这一路线的吸引力在于，它降低了单芯片全连接与全局同步的工程难度，使制造、测试、维护和扩容可以按模块进行。

模块化的必要性还来自良率与可维护性现实。随着芯片尺寸增大，工艺缺陷、频率碰撞、封装难题和线缆密度问题会迅速累积，试图在单一巨型芯片上承载全部逻辑功能往往会遇到收益递减；若单比特良率为 y，则 n 比特芯片全部合格的概率按 y^n 塌缩，即便 $y = 0.999$，万比特芯片的整片良率也不足 10^{-4}，而模块化允许通过筛选与冗余绕开这一指数惩罚。相比之下，多个中等规模高良率模块的拼接，虽然引入互连误差与通信延迟，却可能在总体可制造性上更优。其工程逻辑与经典计算从单核走向多核、从单机走向集群颇为相似，只是量子互连必须同时满足相干性与纠缠保真要求，难度更高。

分布式量子计算的挑战主要有三类。第一是远程纠缠生成速率与保真度，若模块间高质量Bell对供应不足，跨模块逻辑门将成为严重瓶颈;当前光互连的纠缠分发速率与模块内门速之间存在数个数量级差距，这一差距决定了近期模块化架构必须让绝大多数逻辑操作留在模块内部。第二是跨模块时钟同步与纠错协议协同，不同模块的延迟抖动会放大解码与调度复杂度。第三是软件栈抽象，编译器需要理解模块内部与模块之间截然不同的成本模型，从而决定数据逻辑比特布局、魔态工厂位置和通信路径。因而，模块化不是简单“把机器拆开”，而是要求量子架构从最初就面向分层资源管理设计。

5.4.4 量子数据中心形态

当FTQC进入可部署阶段，量子计算机的形态更可能接近量子数据中心，而非个人设备或普通机房服务器。原因在于，容错量子主机需要极端复杂的低温系统、真空系统、屏蔽系统、射频与光学控制机架、电源与冷却保障，以及大规模经典前后处理硬件。就像早期大型机不可能以消费电子形式存在一样，FTQC也将首先以高度集中化、资本密集型和专业运维型基础设施出现。其能耗结构也将与经典数据中心显著不同:稀释制冷机群、微波控制阵列与解码计算集群的功耗可能处于同一量级，兆瓦级制冷电力将成为选址与设计的硬输入。

量子数据中心的核心单元将不只是量子芯片，还包括低温机柜、控制电子学阵列、解码加速器、作业编排系统和高性能经典协处理集群。其组织方式可能类似于“量子主机+经典超算前后端”的复合架构:经典系统负责问题预处理、编译优化、误差建模、结果后验分析和多轮任务协调，量子主机则承担最关键且最昂贵的逻辑量子子程序。二者关系并非主从附属，而是深度耦合的混合计算设施。

从服务模式看，量子数据中心很可能以云服务、专用接入和科研共享平台三种形式并存。头部科研机构和政府部门可能获得长期保留配额，产业用户则通过云接口按任务租用逻辑资源。由于容错量子资源昂贵、调度复杂且稀缺，资源编排将比今天GPU集群更精细，作业优先级、逻辑比特预留、魔态吞吐分配和校准窗口管理都可能成为服务运营的重要内容；可以预期，“逻辑比特小时”与“T门配额”这类计量单位将成为定价基础。也正因为此，量子数据中心的竞争壁垒不仅在芯片，更在全栈运营能力。

5.4.5 与经典超算的协同定位

FTQC成熟之后，最合理的产业定位并不是与经典超算进行全领域对抗，而是形成明确分工下的协同体系。经典超算在大规模数值模拟、数据并行处理、AI训练、控制流复杂计算和海量存储方面仍具有不可替代优势；量子计算则在某些结构化问题的状态空间探索与相位敏感计算上具有潜在突破能力。二者之间的关系更接近异构计算中的CPU、GPU、NPU分工，而非“一方消灭另一方”的替代逻辑。一个定量事实足以说明这一点:纠错后的逻辑时钟约在千赫兹到兆赫兹量级，比经典处理器慢三到六个数量级，量子侧的价值只能来自指数级或高次多项式级的算法复杂度优势。

这种协同将体现为多个层次。首先，量子任务的输入准备、哈密顿量构造、问题切分和结果验证往往高度依赖经典超算。其次，容错量子主机本身的运行也需要强大经典基础设施支撑实时解码、编译与运维。再次，许多最终应用会采用经典—量子混合工作流，即由经典系统负责全局搜索、数据管理与迭代控制，由量子系统调用少数昂贵但高价值的核心子程序。这意味着，未来计算中心的竞争力将越来越取决于能否把量子资源无缝嵌入既有高性能计算体系。

从国家和产业战略角度看，量子计算的定位不应被误读为“替代超级计算中心建设”，而应视为下一代高端计算栈的增量层。谁能率先建立量子与超算、AI、云平台协同的系统工程能力，谁就更可能把实验优势转化为持续的科研与产业产出。

5.4.6 资源估算方法学:从算法需求到芯片规模的自上而下核算

前几节的资源数字并非零散引用，其背后存在一套可复用的自上而下核算方法学，理解这套方法学比记住任何单一估算结果更重要。完整的资源估算流程分为四步:第一步是算法级分析，把目标问题编译为逻辑层资源清单，即所需数据逻辑比特数 n_L、非Clifford门总数 N_T 与逻辑Clifford操作总数 N_C；第二步是误差预算分配，把算法允许的总失败概率拆分到各误差来源；第三步是由各项预算反解所需码距与魔态蒸馏级数；第四步才是把码距代入式 5-11 与式 5-12 得出物理比特总量，并结合逻辑时钟得出运行时间。这一流程之所以必须自上而下，是因为码距不是自由参数，而是由算法规模与目标置信度共同决定的因变量:同一台机器面对 10^6 门与 10^{10} 门的任务，所需码距可以相差十格以上。

误差预算分配是整个方法学的枢纽环节。若要求算法整体以不低于目标概率成功，总误差预算须覆盖三类来源之和:

$$\varepsilon_{\text{tot}} \geq \varepsilon_{\text{alg}} + N_T p_T + N_C p_L \tag{式 5-15}$$

其中 ε_{alg} 为算法层近似误差(如Trotter步长截断、相位估计离散化)，p_T 为单个蒸馏后魔态的残余错误率，p_L 为每次逻辑Clifford操作的错误率。工程上通常把 ε_{tot} 近似三等分。以一个 $N_T = 10^{10}$、$N_C = 10^{11}$、目标总失败率 $\varepsilon_{\text{tot}} = 10^{-2}$ 的任务为例:魔态一项要求 $p_T \leq 3 \times 10^{-13}$，由式 5-9 可知两级蒸馏输出的 10^{-21} 量级已远超所需，真正的约束落在工厂吞吐而非质量；逻辑操作一项要求 $p_L \leq 3 \times 10^{-14}$，由式 5-7 反解得 $(d+1)/2 \geq 12.5$，即 $d \geq 24$，计入相关误差余量后取 $d \approx 27$ 至 31。可见误差预算像财务预算一样自上而下逐级摊派，任何一项超支都要靠加大码距或蒸馏级数来弥补，并按 $2d^2$ 与 15^k 的规律立即反映为硬件成本。

算法级T门计数本身也有清晰的微观来源，其中最重要的一条是任意角度旋转的门合成开销。容错门集只含Clifford门与T门，算法中每一个连续参数的单比特旋转都必须被编译为Clifford与T的离散序列，其T门数随合成精度的要求按对数增长:

$$K \approx 3\log_2\left(1/\varepsilon_{\text{synth}}\right) \tag{式 5-16}$$

其中 K 为合成一个任意旋转所需的T门数，$\varepsilon_{\text{synth}}$ 为单次合成的角度精度。代入 $\varepsilon_{\text{synth}} = 10^{-10}$，得 $K \approx 3 \times 33 \approx 100$。也就是说，算法里每出现一个连续旋转，容错层就要支付约百个T门的兑换成本，一条含 10^8 个参数化旋转的化学模拟线路由此自然膨胀出 10^{10} 量级的T门需求。这一关系同时解释了近年容错算法研究的主攻方向:量子比特化、量子信号处理等技术之所以重要，正是因为它们把哈密顿量演化重写为反射算符与受控选择算符的序列，从源头减少任意旋转的数量，而不是在合成环节做边际优化。

把上述方法学套用到量子化学的标杆案例，可以更直观地感受估算数字的演化弹性。以固氮酶FeMoco活性中心的基态能量估计为例，早期基于一阶Trotter分解的估算给出 10^{14} 量级的T门需求，按串行T门消耗推算运行时间达数十年，几乎宣判该应用不可行；此后经过量子比特化、张量超收缩等表示层改进，T门需求降至 10^{10} 量级，配合数千个数据逻辑比特与 $d \approx 27$ 至 31 的码距，物理比特总量落在数百万量级，运行时间压缩到数天。四个数量级的改善完全来自算法与编译层，器件参数假设几乎未变。支撑这类运行时间估算的还有魔态工厂的吞吐匹配条件:

$$N_{\text{fac}} \approx \frac{N_T}{T_{\text{run}}} \times t_{\text{dist}} \tag{式 5-17}$$

其中 N_{fac} 为需要并行运转的蒸馏工厂数量，t_{dist} 为单工厂完成一轮蒸馏的时间。代入 $N_T = 10^{10}$、目标运行时间 $T_{\text{run}} = 10^5$ 秒(约一天)、$t_{\text{dist}} \approx 3 \times 10^{-4}$ 秒(约 $10d$ 个纠错周期)，得 $N_{\text{fac}} \approx 30$；每个工厂占用的编码面积相当于数十个逻辑比特，工厂群合计占用整机相当份额的物理资源，这正是式 5-12 中 f 因子取 1 至 3 的微观来源。若把目标运行时间压缩到一小时量级，工厂数需再增一个数量级，硬件成本随之同步放大，时间与空间的兑换关系在此表现得一清二楚。

这套方法学的元价值在于，它把“量子计算何时实用”从立场之争转化为参数表之争。同样是分解2048位RSA整数，公开估算所需物理比特数在不到十年间从 10^9 量级下降到 2×10^7 量级，其中两个数量级的改善来自平面布局优化、窗口化模幂算术与低开销蒸馏协议等架构层进步，而非器件奇迹。这一事实提示，通往实用的鸿沟同时从器件端与算法端两头收窄，任何只外推单侧改进的时间预测都会系统性失真。据此，严肃的资源估算报告都应显式给出其参数假设——物理错误率、阈值取值、码距、T门计数、工厂开销比例与周期时长——使不同结论之间的分歧能够被还原为具体假设的差异并逐项检验。这种可核算性本身，就是容错量子计算区别于概念叙事、迈向工程学科的重要标志。

5.5 演化时间线预测

5.5.1 预测方法论

对量子计算演化时间线的预测，不能依赖线性外推某一个单点指标，也不能仅凭市场情绪或融资规模做乐观判断。更可靠的方法，是将器件指标外推、纠错里程碑、系统工程成熟度和产业投入

强度四类变量联合起来观察。器件指标包括物理比特数量、双比特门保真度、测量保真度、相干时间、并行度和漂移稳定性；纠错里程碑包括阈值以下运行、逻辑寿命超过物理寿命、码距增加带来逻辑错误率单调下降以及早期逻辑门闭环实现；系统工程成熟度则关注控制电子学扩展、实时解码、模块化互连和软件栈分层是否建立。

定量外推在其中扮演骨架角色。回顾过去十余年的公开数据，主流平台的物理比特数大致保持指数增长，双比特门错误率大致每三到四年下降一半，这两条曲线共同决定了式 5-7 中 p/p_{th} 比值和式 5-12 中可支撑的 n_L 与 d 的演化轨迹。若以倍增模型描述规模增长:

$$N(t) = N_0 \times 2^{(t - t_0)/\tau} \tag{式 5-18}$$

其中 $N(t)$ 为 t 年时的物理比特规模，N_0 为基准年 t_0 的规模，τ 为倍增周期，则达到目标规模 N_{target} 的年份可反解为

$$t_{\mathrm{FTQC}} \approx t_0 + \tau \log_2 \left(N_{\mathrm{target}}/N_0\right) \tag{式 5-19}$$

以 $t_0 = 2026$、头部平台 $N_0 \approx 5 \times 10^3$ 物理比特、目标 $N_{\mathrm{target}} = 10^6$ 代入，$\log_2(200) \approx 7.6$:若倍增周期 $\tau = 1.25$ 年(接近近年头部路线图的节奏)，则 $t_{\mathrm{FTQC}} \approx 2026 + 9.6 \approx 2036$ 年；若 $\tau = 2$ 年(考虑良率与互连瓶颈拖累)，则推迟到约 2041 年；若 $\tau = 1$ 年的激进节奏能够维持，则可提前到约 2034 年。必须强调，这一外推仅覆盖“比特数量”单一维度，隐含假设是门保真度、解码吞吐与模块互连同步达标；历史经验表明规模扩张常以指标暂时回退为代价，因此式 5-19 给出的更接近下界而非中位估计。同样的模型用于逻辑比特:以 2026 年约 10^1 量级早期逻辑比特、倍增周期一年半计，达到 10^3 逻辑比特约需十年，同样落在 2036 年前后。

此外，时间预测必须区分“实验室首秀”与“产业可获得”。前者意味着某一里程碑首次被个别领先团队实现，后者则意味着该能力能够在多个系统上重复出现、具备较稳定供应和可对外服务的形态。量子技术领域常见的认知偏差，正是把领先实验室的单次成就误认为全行业平均可达水平。为了避免这一偏差，预测中应同时评估技术扩散速度，即工艺、控制和软件能力从头部团队向更广泛生态迁移所需时间，经验上这一滞后为三到五年。最后，产业投入会显著影响工程收敛速度，即式 5-18 中 τ 的实际取值。量子芯片路线竞争、政府长期计划、供应链成熟度、人才规模和跨学科组织效率，都会改变相同物理起点下的技术推进节奏。因此，对时间线的合理判断应采用情景分析而非单点断言。

5.5.2 乐观/基准/保守三情景

在基准情景下，未来演化大致可分为三个可观测区间。第一阶段是2027年至2029年前后，行业有望在若干主流路线中实现百逻辑量子比特量级的早期系统，这里的“百逻辑比特”并不意味着全面可商用，而是指在有限任务上可展示持续逻辑保护和初步逻辑门操作；按式 5-11 估算，百个 $d = 11$ 至 $d = 15$ 的逻辑比特对应数万物理比特，与头部路线图的器件规划吻合。第二阶段是2030年至2035年前后，千逻辑量子比特级别的早期容错平台有望出现，并开始支撑部分高价值容错原语、较小规模相位估计或专业量子模拟工作流。第三阶段是2035年至2040年以后，若器件良率、解码硬件、模块化互连和魔态工厂工程均顺利推进，则可望进入更接近通用FTQC的时期，能够执行显著更深的算法并提供面向科研与产业的稳定服务；这一区间与式 5-19 在 $\tau = 1.25$ 至 2 年假设下给

出的 2036 至 2041 年窗口一致。上述基准判断与其上下方的乐观、保守通道，可以整体概括为图 5-2 所示的演化阶段时间线全景。



图 5-2 量子计算演化阶段时间线预测

图 5-2 传递的核心信息不在于任何单一年份，而在于三条通道的分岔结构:百逻辑比特阶段的预测离散度尚在两三年之内，千逻辑比特平台的预测已散开至五年以上，而通用FTQC的窗口宽度接近十年。这种随阶段递进而扩大的不确定性喇叭口，正是倍增周期 τ 的微小差异经指数外推放大的直接结果，也提示读者:对近期里程碑可以做日程式规划，对远期形态则只能做情景式准备。

乐观情景的前提是，物理门保真度继续稳步改进使 p/p_{th} 降至 0.05 以下(从而按式 5-8 以更小码距达到同样逻辑质量、显著削减 $2d^2$ 开销)，主流纠错架构在工程上快速收敛，模块化系统和经典解码硬件出现协同突破，并且资本市场能够持续支持高投入长周期建设。在这种条件下，百逻辑量子比特阶段可能提前至2027年前后被明确验证，千逻辑量子比特和早期专业应用或在2030年代前半段即开始对外提供受限服务，而若某类应用的资源需求低于当前主流估算——例如低开销码使 f 因子与蒸馏底数同时改善——则实用容错窗口甚至可能早于广义通用容错时代出现。

保守情景则要求正视多个可能的拖延因素。若器件误差进入平台期使 p/p_{th} 长期徘徊在 0.3 以上，则按式 5-8 每两格码距只能压低约半个数量级，同样逻辑质量的比特开销将数倍于基准假设；若串扰和漂移抑制迟迟难以改善，或实时解码与模块互连迟迟无法支撑规模扩展，则逻辑量子比特增长速度可能显著低于市场预期。此时百逻辑量子比特的稳定实现可能推迟至2029年后，千逻辑比特早期容错平台推迟到2035年甚至更晚，而广义FTQC则需要等待2040年代继续推进。需要指出的是，保守情景并不等于技术失败，它更多意味着量子计算的成熟方式将更像半导体制造或核聚变工程，即以更长周期穿越系统复杂性鸿沟。

5.5.3 关键不确定性因素

决定演化时间线的关键不确定性，并不只在“哪条路线会赢”，而在若干跨路线共性的瓶颈能否被有效压缩。首先是物理误差是否还能继续下降。许多实验室已证明接近或进入纠错阈值区间，但从“达到阈值”到“显著低于阈值并具备量产稳定性”之间仍存在巨大工程距离；式 5-7 的指数杠杆意味着 p 每改善一倍，系统总资源可节约数成，反之停滞则全盘拖延。其次是相关误差、泄漏和时变噪声等非理想因素是否会随着系统扩张而放大，这些误差往往比独立同分布噪声更难处理；宇宙射线引发的准粒子暴发这类罕见相关事件，在小系统中是可忽略统计尾部，在百万比特系统中却可能成为逻辑错误率的主导来源，因为其影响范围可同时覆盖多个码面。

第三是经典辅助系统能否同步扩展。若实时解码、控制总线、低温互连和机架级运维能力跟不上量子芯片增速，则物理层改善未必能转化为系统层收益;按5.3.5节的估算，千逻辑比特系统的综合征带宽已达每秒数百吉比特，解码算力与功耗必须与量子规模同曲线增长。第四是模块化互连成败。未来大规模FTQC几乎不可能完全依赖单体芯片，跨模块高保真纠缠若长期无法稳定供给，将直接限制架构上限。第五则是应用牵引强度。若量子模拟、密码分析准备或材料设计等方向出现明确高价值需求，将显著增强产业对长期投入的容忍度，反之则可能导致资本收缩，使式 5-18 中的倍增周期被动拉长。这五类不确定性通过资源估算公式相互耦合:物理误差决定码距，码距决定开销与带宽,开销决定资本需求，资本又反过来影响工程节奏。

5.5.4 对“量子泡沫”论的回应

“量子泡沫”论往往基于两类观察:其一，量子计算在短期内未能兑现部分过度承诺；其二，经典算法与硬件持续追赶，使一些早期量子优势叙事被削弱。上述观察具有现实基础，但若据此断言量子计算整体属于泡沫，则忽略了深科技产业普遍遵循的长期非线性演化规律。量子计算的难点从来不在于提出算法概念，而在于把极端脆弱的量子动力学过程组织成可扩展工程体系，因此其成熟时间天然长于互联网式软件创新，这是技术属性所决定，而非简单市场包装。

更重要的是，量子领域并非停留在空泛叙事层面，其核心进展是可以用本章的公式体系检验的硬指标。过去若干年中，物理比特数量沿式 5-18 的指数轨迹持续增长，双比特门错误率从 10^{-2} 量级进入 10^{-3} 量级，使 p/p_{th} 首次进入式 5-7 有意义的压制区间；码距递增实验观测到逻辑错误率按式 5-8 的预期比例下降，逻辑寿命超过物理寿命的盈亏平衡演示已经出现;云平台开放程度、控制电子学专用化和产业链分工都在持续推进。即便某些时间表被高估，也不意味着方向错误；它更可能说明行业正在从“宣传性增长阶段”转向“工程性收敛阶段”。真正需要警惕的，不是量子技术本身，而是以单次里程碑替代系统评估、以资本节奏替代物理和工程节奏的认知偏差。

因此，对“量子泡沫”最有力的回应不是继续抬高口号，而是建立更严谨的阶段目标、资源估算和应用判据，把每一项投入决策锚定在可检验的参数假设之上。只要逻辑纠错收益持续按指数规律改善、系统规模持续沿倍增曲线扩展、经典协同基础设施持续成熟，那么量子计算即便发展节奏慢于早期想象，仍然是具备长期战略确定性的深科技方向。

5.6 阶段跃迁条件总结

从NISQ走向FTQC，每一次阶段跃迁都需要同时满足技术条件、工程条件与生态条件，三者缺一不可。技术条件决定“能不能做出来”，工程条件决定“能不能稳定做出来”，生态条件则决定“做出来之后能不能持续投入并形成外部价值闭环”。若只满足其中之一，行业就容易停留在实验室成就或市场叙事层面，而难以迈入下一阶段。

跃迁阶段	技术条件	工程条件	生态条件
NISQ内部深化	物理比特数持续增加，双比特门和测量保真度进入可用区间，浅线路结果可重复	校准自动化、读出稳定性、编译映射、云接口和作业调度初步成熟	学术与产业用户形成试用需求，资金支持基础平台建设
NISQ到量子优势验证	全芯片并行执行能力提升，目标任务经典难模拟性可论证，统计验证协议可信	芯片批次一致性提高，长时间实验稳定性增强，验证工具链完善	行业接受更严格对照基线，形成公开竞争与复核文化
优势验证到逻辑量子比特	物理误差显著低于阈值，稳定子测量可持续运行，逻辑寿命超过物理寿命	实时综合征采集、解码硬件和控制反馈链路成形，封装与互连支持大规模码面	长期资本继续投入，应用方愿意参与早期逻辑平台验证
逻辑量子比特到ELQ	码距增加带来明确逻辑增益，基本逻辑门与受保护存储可复现	容错感知编译、逻辑级调度、魔态制备和系统运维流程建立	出现以科研和高价值原语验证为主的初始服务市场
ELQ到FTQC	逻辑比特规模达到数百至数千以上，非Clifford资源供给可扩展，模块互连可靠	模块化架构、量子数据中心运维、经典超算协同、容错软件栈全面成熟	形成可持续商业场景、政府与产业长期采购或基础设施部署机制

若进一步概括，每次跃迁都围绕以下共性条件展开:

- **技术条件**: 误差率必须下降到下一阶段允许的资源开销范围内，且这种下降要对规模扩展持续有效。
- **工程条件**: 芯片、控制、封装、解码和软件必须从“点状成功”转向“系统协同成功”。
- **生态条件**: 用户、资本、政策和人才供给要能共同承受阶段间长时间收益滞后。
- **评价条件**: 阶段目标必须可测量、可复核、可横向比较，避免被叙事替代。
- **应用条件**: 每一阶段都要找到与其能力匹配的真实任务，否则技术进步难以转化为继续投入的外部动力。

值得补充的是，这些条件之间存在明确的定量接口。技术条件的核心变量是 p/p_{th} 比值与式 5-2 意义上的有效深度预算；工程条件的核心变量是解码延迟、综合征带宽与模块互连保真度；生态条件的核心变量则是式 5-18 中倍增周期 τ 能否维持——它本质上是资本强度、人才供给与供应链成熟度的综合函数。阶段跃迁的本质并不是把更多比特放上芯片，而是不断压缩“不可靠物理过程”与“可编排计算资源”之间的距离。谁能在这三类条件上建立最强闭环，谁就更可能率先跨入下一时代。

5.7 第五章小结

本章以四阶段框架梳理了量子芯片从NISQ迈向容错通用量子计算机的演化逻辑，并以贯穿全章的数量级计算为各阶段边界提供了定量刻画。NISQ阶段的核心价值，不在于立即兑现大规模商业算力，而在于为器件、控制、编译和应用映射提供全栈练兵场；保真度指数衰减规律表明，未纠错系统的可用门数被锁定在数百量级，这从根本上界定了浅线路时代的能力天花板。量子优势验证阶段则通过采样和模拟任务逼近经典难模拟边界，但其真正意义在于校准评价标准，而非制造一次性神话。真正决定产业拐点的，是逻辑量子比特时代的到来:表面码压制公式显示，在物理错误率低于阈值一个数量级的条件下，码距从11提高到25即可把逻辑错误率从 10^{-7} 压到 10^{-14}，只有这种“以多项式资源换指数可靠性”的规律确立，量子算法才可能从浅层启发式走向深层容错计算。

进一步看，FTQC并不是单一芯片指标的自然终点，而是量子芯片、经典解码、模块互连、数据中心运维与应用资源调度共同收敛的结果。单逻辑比特约 $2d^2$ 的编码开销、千级逻辑比特需求与翻倍级工厂开销相乘,直接导出百万物理比特量级;十五比特一级的魔态蒸馏递归、二十六亿T门量级的Shor实例与数小时到数十小时的运行时间估算，共同说明未来量子计算将首先以高端基础设施而非消费设备形态存在。对于时间线判断，应坚持基于器件指标、纠错里程碑和产业投入的情景分析方法:倍增模型外推显示,在一年至两年倍增周期假设下,百万比特系统的到来窗口大致落在2034年至2041年之间，在警惕过度承诺的同时，也应避免把长期工程难题误读为方向性失败。量子计算的演化不会一蹴而就，但其路径已经越来越清晰:从可操控物理量子系统，走向可维护逻辑计算资源，最终迈向可部署的容错通用量子计算基础设施。

第六章 量子芯片的产业影响:机遇与挑战

量子芯片并不是一项仅在实验室内自洽演进的前沿器件技术,其真正的历史意义在于,一旦可扩展、可容错、可制造的量子计算平台跨过若干关键门槛,它将同时改写信息安全、药物研发、材料工程、金融计算、人工智能与能源系统等多个行业对“算力”的基本理解。与经典半导体产业的影响路径不同,量子芯片的产业外溢效应并不体现为对现有CPU、GPU或存储器的简单替代,而是体现为对若干特定高价值问题类别的重新定价:过去因为复杂度爆炸而被迫依赖经验公式、启发式算法或大规模试错的任务,在量子计算框架下有机会被重新表述、重新分层并重新组织。也正因为如此,量子芯片带来的产业影响既包含“效率提升”意义上的技术机遇,更包含“规则重写”意义上的结构性冲击,尤其是在密码基础设施、关键科研工具链与高端制造知识产权体系中,其影响往往先以预期、标准与资本配置的形式出现,而后才逐步体现为生产率变化。必须看到,量子产业化不会沿一条线性路线平滑推进,其关系并非“量子比特数量增加”与“商业价值释放”之间的简单正比,而是由硬件保真度、纠错成本、软件栈成熟度、行业数据可映射性与监管制度共同决定的多变量耦合过程。因而讨论量子芯片的产业影响,必须从“单点技术突破”的叙述转向“技术—产业—制度”协同演化的分析框架,才能较为准确地把握其机遇边界与现实约束。

在进入分行业讨论之前,有必要先对量子计算产业的总体规模轨迹建立一个数量级坐标,否则任何“颠覆”或“泡沫”的判断都缺乏参照系。多家公开研究机构对全球量子计算直接市场(硬件、云访问与专业软件服务)的估计,在2025年前后大致处于15亿至20亿美元区间,而对未来十年复合年增长率的主流预测集中在25%至35%之间。市场规模随时间的演化可以用最基本的复合增长模型刻画:

$$M(t) = M_0(1+r)^t \tag{式 6-1}$$

其中 M_0 为基准年市场规模,r 为复合年增长率,t 为距基准年的年数。取 $M_0 \approx 18$ 亿美元、$r = 0.30$,可得2030年($t = 5$)市场规模约 $18 \times 1.3^5 \approx 67$ 亿美元;外推至2035年($t = 10$)约 $18 \times 1.3^{10} \approx 248$ 亿美元。若采用更保守的 $r = 0.25$,则2035年约为 $18 \times 1.25^{10} \approx 168$ 亿美元。也就是说,在增长率假设上下浮动五个百分点的情况下,2030年直接市场大体处于50亿至70亿美元区间,2035年处于150亿至250亿美元区间,仍显著小于同期经典半导体产业的体量;但若把后量子安全迁移、量子传感、量子通信设备以及被量子计算加速的下游研发活动一并计入,多数机构给出的“广义量子经济”带动规模在2035年前后达到千亿美元量级。这一测算提示两个基本判断:其一,量子产业在未来十年内仍是“小市场、高杠杆”形态,其直接收入远小于其对下游行业决策的影响力;其二,复合增长模型中的 r 本身高度依赖容错里程碑的兑现节奏,任何一次关键技术验证的提前或推迟,都会通过预期渠道被资本市场放大。本章后续各节的分析,均应放在这一“规模有限、外溢巨大、节奏不确定”的总体坐标之下阅读。

值得进一步指出的是,复合增长模型 $M(t) = M_0(1+r)^t$ 只是对总量的粗粒度描述,它掩盖了量子产业内部结构随时间发生的深刻迁移。在早期阶段,直接收入的绝大部分来自科研机构采购、政府专项与少数头部企业的探索性投入,其需求对价格不敏感、对里程碑高度敏感,因而增长曲线呈现明显的“阶梯”特征,而非平滑指数;每当一个可容错的中间里程碑被公开验证,r 的市场隐含预期就会跳变一次,进而通过一级市场估值与二级市场情绪被放大。若把行业收入按硬件、云服务与软件三段拆分,

可以观察到一条与经典计算产业相似的演化规律:硬件收入占比在早期最高,随后随着云化访问模式普及而被服务收入逐步稀释,最终高附加值的算法软件与行业解决方案成为利润集中区。用一个简单的份额演化式刻画,若设软件收入占比为 $s(t)$,并假设其向饱和值 s_∞ 逼近,则 $s(t) \approx s_\infty(1 - e^{-t/\tau})$,取 $s_\infty \approx 0.5$、时间常数 $\tau \approx 8$ 年,可得2030年软件占比约 $0.5 \times (1 - e^{-5/8}) \approx 0.23$,2035年约 $0.5 \times (1 - e^{-10/8}) \approx 0.36$。这一估算意味着,尽管当前投资叙事高度聚焦于比特数与保真度等硬件指标,真正决定长期产业格局的却是软件栈、算法库与行业know-how的沉淀速度,量子产业的价值重心将不可避免地由“造机器”向“用机器”迁移。理解这一结构性趋势,是解读后续各应用小节的前提:每一个高价值行业能否真正兑现量子红利,取决于其问题能否被映射为量子算法可高效处理的形式,而非仅取决于硬件本身跑得多快。



图 6-1 量子计算产业应用版图

6.1 密码与信息安全的重构

量子芯片对产业世界最直接、最具制度冲击力的影响,首先体现在密码与信息安全领域。现代数字经济建立在公钥密码、大规模身份认证、可信通信与数据长期保存之上,而量子计算一旦在可容错层面获得足够规模,其破坏力并不局限于少数加密算法失效,更会波及证书体系、金融清算、政务网络、工业控制、卫星通信以及云基础设施的信任根基。换言之,量子芯片并非只是“又一种更快的计算设备”,它在安全产业中更像是一种能够改变攻防均衡的制度性变量。其后果不仅在于旧有算法面临挑战,更在于整个安全行业必须提前重构迁移节奏、合规框架与投资优先级。与其他应用方向不同,安全领域的特殊性在于其影响不依赖量子计算机真正建成:只要“未来某个时点可能建成”这一预期足够可信,理性的防御方今天就必须行动,这使得密码重构成为量子产业影响中最先兑现、也最可定量分析的部分。

6.1.1 Shor算法对RSA/ECC的威胁与“先存后解”风险

Shor算法的理论意义在于,它证明了大整数分解与离散对数这两类经典密码学中的困难问题,在具备足够规模且可纠错的量子计算机上能够以多项式时间求解。现代互联网广泛使用的RSA、Diffie-Hellman与椭圆曲线密码体制,恰恰都建立在这些数学难题当前对经典计算机而言“足够难”的前提之上,因此量子芯片的成熟将直接削弱现行公钥基础设施的安全假设。以RSA-2048为例,经典最优的通用数域筛法分解 n 比特整数的渐进复杂度为亚指数级 $\exp(c\,n^{1/3}(\ln n)^{2/3})$,在可预见的经典算力下仍然安全;而Shor算法将其降为 $O(n^3)$ 量级的多项式复杂度,困难度的性质而非程度被改变了。必须强调,这一威胁并不是今天立刻发生的系统性失效,因为现阶段物理量子比特的数量、门保真度、相干时间与纠错开销都还不足以支撑对现实强度密钥的大规模攻击;但风险的时间结构并不等于“等到量子计算机成熟再处理”即可。原因在于,对高价值长期敏感数据而言,攻击者完全可以先截获并保存当前仍被公钥体系保护的通信内容,待未来具备足够量子算力后再实施解密,这就是所谓“先存后解”风险。

“先存后解”之所以成为产业层面的现实议题,是因为大量数据的保密生命周期远长于当前密码基础设施的替换周期。密码学界通常用一个简洁的不等式来表述这种防御性风险评估框架,即Mosca不等式:

$$x + y > z \Rightarrow \text{risk} \tag{式 6-2}$$

其中 x 为数据需要保持机密的年限,y 为组织完成后量子迁移所需的年限,z 为具备密码分析能力的容错量子计算机(CRQC)实际到来的年限;只要 $x + y > z$,就存在一段数据处于不受保护状态的暴露窗口。把典型数值代入即可看出问题的紧迫性:政府档案、军工数据、核心科研成果、药物研发记录、半导体工艺参数、关键基础设施控制协议以及高净值客户隐私信息,其保密年限 x 往往取25年甚至更长;大型机构完成全栈密码迁移的历史经验(参考SHA-1淘汰与TLS版本升级周期)表明 y 通常不低于8至10年。这意味着对2026年生成、需保密25年的数据而言,只要容错量子计算机在2059年之前的任何时点出现,该数据在其生命周期内就已暴露;若按多数公开技术路线图把CRQC的到达窗口估计在2035至2045年之间,则 $z \approx 10 \sim 20$ 年,而 $x + y \approx 33 \sim 35$ 年,不等式以巨大裕量成立。对于这些信息,即便量子攻击能力尚未完全到来,今天的明文暴露风险已经在被提前定价。因此,量子芯片对信息安全产业的第一重冲击,并不是“某一天RSA突然失效”,而是安全假设开始前移,企业与机构必须按未来可被量子破解的标准重新审视当前的数据采集、加密存储、密钥轮换和归档策略。其本质是威胁窗口从“攻击发生时”前移到了“数据生成时”,安全治理逻辑因此必须从被动修补转向前瞻迁移。

从工程实现角度看,量子攻击并非只需要名义上的几千或几万个物理量子比特,真正决定可行性的关键在于逻辑量子比特规模、容错编码效率、门错误率、解码器吞吐与全程运行时间。这一点可以通过表面码的资源估算加以定量说明。表面码的逻辑错误率随码距 d 近似按下式指数压低:

$$p_L \approx 0.1(p/p_{th})^{(d+1)/2} \tag{式 6-3}$$

其中 p 为物理门错误率,$p_{th} \approx 10^{-2}$ 为表面码阈值,d 为码距。执行一次完整的RSA-2048分解需要约 10^{10} 量级的逻辑操作,故要求单次逻辑操作错误率压至 $p_L \sim 10^{-15}$ 才能保证整体成功概率可观;代入 $p = 10^{-3}$(当前最好水平附近),需 $(p/p_{th})^{(d+1)/2} = 10^{-14}$,即 $(d+1)/2 = 14$,$d = 27$。每个码距为

d 的逻辑量子比特消耗约 $2d^2$ 个物理量子比特(含测量辅助比特),而Shor算法处理 n 比特模数需要约 $2n+3$ 个逻辑比特,于是攻击所需物理比特总数为:

$$N_{phys} \approx 2d^2(2n+3) \approx 2 \times 27^2 \times 4099 \approx 6 \times 10^6 \quad \text{(式 6-4)}$$

再计入魔态蒸馏工厂与路由开销,总规模上探至 2×10^7 量级——这与公开文献中“约两千万个噪声物理比特、连续运行八小时分解RSA-2048”的著名估算相吻合。这一数字与当前最大公开芯片千比特量级的规模相差四个数量级,直观解释了为什么威胁尚未兑现;但同时也应看到,资源估算本身在过去十年间因算法与编码改进已下降了两个数量级以上,这类“需求侧”的持续压缩与“供给侧”的比特规模增长是双向奔赴的。也就是说,Shor算法的产业威胁不应被媒体式地简化成一个“量子比特总数”指标,而必须放在容错体系中衡量。对安全行业而言,最危险的认知偏差不是高估短期能力,而是低估迁移所需的组织时间:证书更新、硬件安全模块改造、协议栈兼容、跨国法规协调与存量终端替换都需要多年甚至十年以上周期,因而安全产业的策略重点必须从争论“量子威胁究竟哪一年到来”转向构建“即便时间表有误差也能平滑过渡”的弹性架构。

6.1.2 后量子密码PQC迁移(NIST标准化)

在量子威胁逐步明确的背景下,后量子密码(Post-Quantum Cryptography, PQC)成为当前信息安全产业最现实、最可执行的应对路径。PQC的核心思想并不是借助量子物理本身来提供安全性,而是设计能够在经典硬件上运行、但其安全假设对已知量子算法仍然稳健的密码算法体系。目前国际主流路线集中在基于格、纠错码、多变量方程与哈希结构等数学难题的方案之上,其中基于格的密钥封装与数字签名方案因性能、实现成熟度与分析深度相对均衡而受到广泛关注。美国国家标准与技术研究院(NIST)推动的标准化进程,已经使PQC从学术候选走向工程落地阶段,这意味着量子芯片尚未全面改变计算基础设施之前,密码标准本身已经开始率先重构产业秩序。值得注意的是,格基方案的安全性依赖的最短向量类问题,目前已知的量子算法仅能提供有限加速,其最优攻击复杂度仍随格维数指数增长,这正是它被选为主力路线的数学基础。

标准化的实际进展比许多观察者预期的更快。NIST自2016年启动公开征集,历经多轮全球密码学界的攻击评估与筛选,于2022年公布首批入选算法,并于2024年正式发布三项联邦信息处理标准:用于密钥封装的ML-KEM(FIPS 203,源自格基方案Kyber)、用于数字签名的ML-DSA(FIPS 204,源自Dilithium),以及基于哈希结构的无状态签名SLH-DSA(FIPS 205);其后又遴选了基于纠错码的HQC作为密钥封装的备份路线,以对冲格基数学假设万一被攻破的系统性风险。值得注意的是,评估过程本身就淘汰过一批曾被普遍看好的候选——个别多变量与超奇异同源类方案在标准化中途被经典算法而非量子算法攻破——这一事实既证明了长周期公开评审机制的价值,也提醒产业界:任何单一数学假设都不应被当作永久可靠的信任根,备份路线与算法多样性本身就是安全架构的一部分。标准发布后的部署速度同样超出以往密码换代的先例:主流浏览器与大型云服务商已在TLS握手中默认启用经典椭圆曲线与ML-KEM并行的混合密钥协商,全球加密流量中混合握手的占比在标准发布后一年多内即攀升至两位数百分比;监管侧,美国面向国家安全系统的新一代商用算法套件要求相关系统在2030年代初完成切换,欧洲与亚太多国网络安全机构给出的迁移窗口也普遍收敛于2030至2035年之间,我国亦在同步推进自主后量子密码算法的征集评估与标准化进程。标准与合规时间表的相继落地,把PQC迁

移从“值得研究的技术选型问题”转变成了“有明确截止日期的工程项目”,这正是产业影响开始兑现的标志。

PQC迁移的难点并不在于“选一个新算法替换旧算法”这么简单,而在于现代信息系统中的密码使用是分层、嵌套且高度异构的。浏览器与服务器之间的TLS握手、手机终端的安全启动、物联网设备的固件签名、区块链系统的地址与签名机制、金融机构的证书管理、企业内部VPN与零信任接入、工业设备的远程升级链路,都可能采用不同的协议版本、硬件模块与兼容策略。PQC算法往往在公钥长度、签名长度、计算开销与实现细节上与现有ECC体系存在显著差异:以标准化的格基密钥封装方案为例,其公钥约1184字节、密文约1088字节,而现行椭圆曲线方案的公钥仅32字节,膨胀比约为37倍;格基签名方案的签名长度约2420字节,相对64字节的现行签名膨胀约38倍。这会直接影响带宽占用、证书大小、缓存策略、嵌入式设备存储空间以及协议握手时延——对数据中心链路这只是百分位的开销,但对报文长度受限的低功耗物联网协议则可能是结构性障碍。因此,产业迁移的关键不是单个算法优劣,而是能否建立“加密敏捷性”,即让系统能够在不中断业务的前提下逐步引入混合模式、完成兼容测试并支持后续再迁移。

正因为密码触点如此分散、异构且深度嵌套,严肃的迁移工程必须走阶段化路线,而不能寄望于某个“切换日”一次完成。图 6-2 描绘了后量子密码迁移的典型路线:第一阶段是密码资产盘点与数据寿命分级,弄清“哪里在用什么算法、保护的数据需要保密多久”,并按式 6-2 的暴露窗口逻辑排出改造优先级;第二阶段在高价值链路上部署“经典算法+PQC”并行封装的混合模式,保证即便新算法日后被发现缺陷,系统安全性也不低于现状;第三阶段随着标准生态、硬件安全模块与终端支持的成熟,逐步完成协议栈、证书链与密钥基础设施的全面切换;第四阶段则把密码敏捷性固化为长期架构能力,使系统在未来任何一次算法更迭中都无需再伤筋动骨。

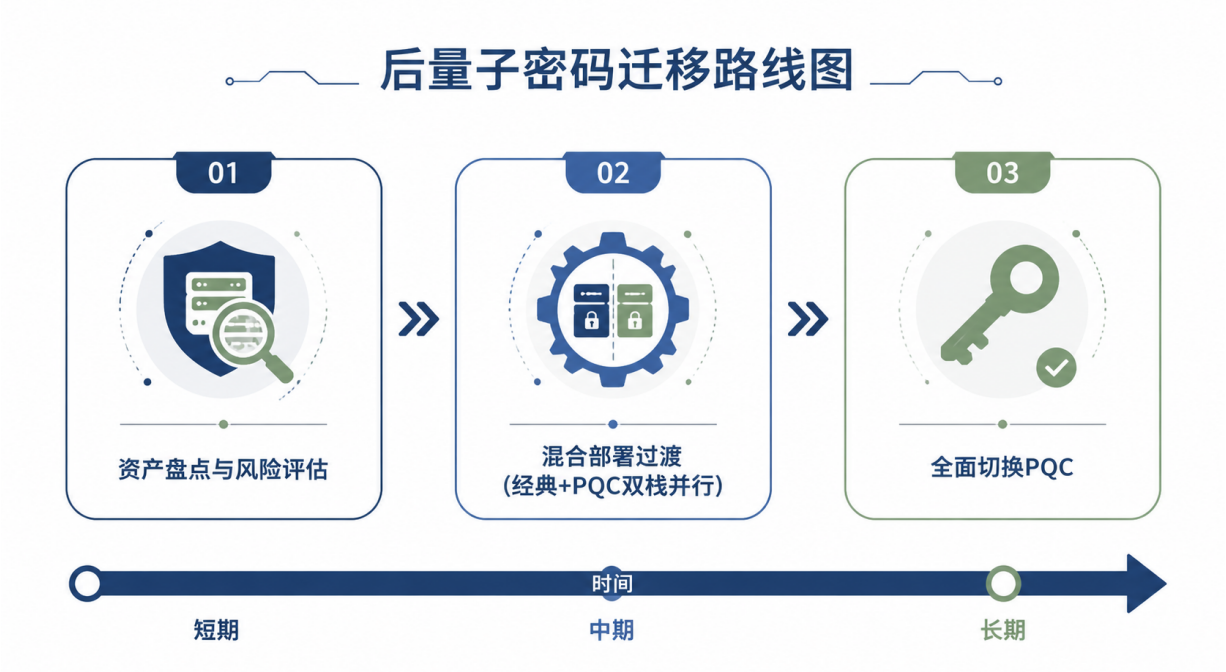


图 6-2 后量子密码迁移路线

从图 6-2 的时间轴可以看出,四个阶段首尾衔接横跨约十年,且在不同系统类别上并行推进而非严格串行。迁移完成度随时间的演化,可以用技术扩散研究中经典的S形曲线近似刻画:

$$F(t) = \frac{1}{1 + e^{-(t - t_0)/\tau}} \tag{式 6-5}$$

其中 $F(t)$ 为已完成后量子切换的密码触点占比,t_0 为采纳过半的时点,τ 为扩散时间常数。参照标准发布节奏与历史上TLS版本升级的扩散速度,取 $t_0 \approx 2031$ 年、$\tau \approx 2.5$ 年,可得2027年完成占比约 $1/(1+e^{1.6}) \approx 0.17$,2031年达 0.5,2035年约 0.83。这一估算的警示意义恰在尾部:即便按并不悲观的扩散速度,到2035年仍有接近两成的密码触点未完成切换,而这两成往往集中于寿命长、算力弱、难以远程升级的工业与物联网终端;对照式 6-2,长尾每拖延一年,组织整体的迁移年限 y 就被拉长一年,暴露窗口随之扩大。因此图 6-2 所示路线图的真正考验,不在于数据中心那前百分之八十的进度,而在于最后百分之二十长尾终端的收尾能力,这也是迁移预算中最容易被低估的部分。

迁移的经济体量同样可以做数量级估算。将一个组织的密码资产按系统类别分解,总迁移成本可表述为:

$$C_{mig} = \sum_{i=1}^{K} N_i c_i (1 + \kappa_i) \tag{式 6-6}$$

其中 K 为系统类别数,N_i 为第 i 类系统中的密码触点数量,c_i 为单触点的基准改造成本,κ_i 为该类系统的遗留复杂度系数(反映不可升级硬件、失源代码、停机窗口受限等摩擦)。对一家大型金融机构,密码触点(证书、密钥、协议端点、HSM插槽)盘点结果通常在 10^4 至 10^5 量级,单点改造成本均值取 10^3 美元、遗留系数取 $\kappa \approx 1 \sim 3$,则单机构迁移成本落在 $10^7 \sim 10^8$ 美元区间,即数千万至数亿美元;把该模型外推到全球关键基础设施,行业总迁移支出的数量级在数百亿美元,这与若干公开的政府预算评估(仅美国联邦民事系统迁移即估算为数十亿美元)在量级上一致。这笔支出的另一面就是市场:它构成了未来十年安全产业最确定的增量需求之一。

从产业节奏看,NIST标准化所带来的最大变化,是将PQC从“值得关注的研究方向”提升为“必须进入路线图的基础设施改造项目”。一旦标准成形并被主流软硬件厂商、操作系统、云平台和合规框架采纳,安全市场的竞争焦点就会从“是否布局后量子”转为“谁能更低成本、更高兼容度、更强可审计性地完成迁移”。这将刺激新的芯片安全模块、密码库、证书服务、加密网关、合规审计与安全咨询业务增长,也会使一部分高度依赖旧型公钥体系的产品快速失去竞争力。量子芯片在此扮演的角色,并不只是未来的攻击者工具,更像是推动安全产业提前完成一次底层架构换代的外部压力源。

- **算法敏捷性**:　系统设计必须支持多算法并存与平滑切换,否则任何一次标准变化都会演化为高成本系统重构。
- **混合部署**:　在过渡时期采用经典算法与PQC并行封装,有助于降低单点失误造成的安全与兼容性冲击。
- **长尾终端难题**:　真正拖慢迁移进度的往往不是数据中心服务器,而是寿命长、算力弱、难升级的工业与物联网设备。

- **密码资产可视化**：多数机构并不完整掌握自身在用密码算法清单,迁移的第一步是盘点而非替换,这本身就是一个新兴工具市场。

6.1.3 量子密钥分发QKD与量子互联网

如果说PQC代表的是“在经典网络中抵御量子攻击”的路线,那么量子密钥分发(Quantum Key Distribution, QKD)则代表另一类思路,即利用量子态不可克隆、测量扰动等物理原理直接保障密钥协商过程的安全性。QKD的理论吸引力在于,它试图把安全基础从“攻击者算不过来”转向“物理上无法无痕窃听”,因此在国家主干网、金融骨干链路、政务专网和极高等级保密通信中长期受到重视。然而,必须冷静区分理论安全性与系统级安全性:QKD链路本身即便可以在理想模型下提供较强保证,完整系统仍然依赖光源、探测器、中继节点、认证机制、终端实现与网络运维,任何环节都可能引入侧信道或工程脆弱性。其价值不在于替代全部密码基础设施,而在于为特定高价值场景提供不同于PQC的安全增强路径。

QKD产业化的第一物理约束是距离。单光子在光纤中传输时,成码率随信道透过率线性下降,而透过率随距离指数衰减:

$$R(L) = R_0 \cdot 10^{-\alpha L/10} \propto e^{-0.046\alpha L} \tag{式 6-7}$$

其中 R_0 为发端有效脉冲速率与协议效率的乘积,α 为光纤损耗系数,通信波段标准值 $\alpha \approx 0.2$ dB/km,L 为链路长度。代入具体数字即可看清产业边界:取 $R_0 = 10^9$ s^{-1},则 $L = 100$ km 时透过率为 10^{-2},成码率量级为 10^7 bit/s,工程上完全可用;$L = 500$ km 时透过率跌至 10^{-10},成码率仅约 0.1 bit/s,已无实用价值;$L = 1000$ km 时透过率为 10^{-20},平均每数百年才能成一个比特。由于量子态不可克隆,经典光通信中的放大器方案在此原理性失效,这就解释了为什么长距量子通信必须依赖可信中继(以工程信任换距离)、卫星链路(以自由空间低损耗换距离)或仍处于研究阶段的量子中继(以纠缠交换与量子存储换距离),也解释了为什么QKD设备市场天然呈现“城域密集组网+骨干节点接力”的拓扑结构,其成本结构与部署节奏都被这条指数曲线锁定。

量子互联网概念则在QKD之上进一步扩展,其目标不是仅分发密钥,而是借助纠缠分发、量子中继、量子存储和量子网络协议实现跨节点量子态传输与分布式量子计算资源协同。对产业界而言,量子互联网短期内更像战略型科研基础设施而非普适商用网络,因为真正的远距离高保真纠缠分发仍受制于损耗、存储时间、接口效率与网络控制复杂度。即便如此,围绕量子通信形成的器件、系统与测试产业仍具有显著外溢价值,包括单光子探测器、窄线宽激光器、超低损耗光纤器件、时间同步模块、安全认证设备以及网络编排软件等。量子芯片产业与量子通信产业在这里并不是平行不相交的两条线,二者在低温器件、控制电子学、封装与系统集成方面存在越来越多的协同空间。

对安全产业而言,QKD与量子互联网的真正意义,不在于它们会全面替代PQC,而在于它们迫使行业重新审视“安全究竟建立在数学假设上,还是建立在物理过程上”。未来较可能出现的格局,不是单一路线通吃,而是PQC承担广域、低成本、软件可升级的基础安全职责,QKD在高等级专用链路中提供补充,QKD相关设备供应链则与量子芯片、光电子和网络设备产业共同演进。安全产业必须从“卖算法”转向“卖完整可信系统”,因为在量子时代,真正有价值的不是某个抽象协议名词,而是可验证、可部署、可维护、可审计的端到端安全能力。

6.1.4 安全产业的重新洗牌

量子芯片引发的安全重构最终会落实到产业版图再分配上。一方面,传统依赖经典公钥体系的证书服务商、硬件安全模块厂商、VPN和安全网关供应商,都必须把PQC支持、混合证书、密钥生命周期管理与合规可审计性纳入产品核心能力,否则将面临在下一轮基础设施升级中被替代的压力。另一方面,围绕迁移评估、密码资产盘点、数据寿命分类、密钥托管改造、嵌入式终端升级和合规路线设计的新型安全服务市场会快速成长。尤其在大型机构中,量子安全准备工作并不会由单一IT部门完成,而是需要CISO、基础设施团队、法务合规、采购与业务系统共同参与,因此安全厂商的竞争方式也将从“卖单点产品”转向“交付全生命周期迁移方案”。

从市场结构看,这轮洗牌具有典型的“合规驱动”特征:需求的时间表不由客户的技术偏好决定,而由监管与标准机构的截止日期决定。当主要经济体陆续把后量子迁移写入关键基础设施合规要求,并给出2030年前后的阶段性时限时,安全支出会呈现出与一般IT投资周期不同步的刚性脉冲。历史上类似的合规脉冲(如千年虫改造、支付卡行业标准升级)都催生过一批以专项服务见长的新公司,也淘汰过一批跟进迟缓的老厂商。量子安全迁移的支出规模按式 6-6 的估算比上述先例大至少一个量级,且持续时间更长,因此其重塑行业格局的力度也更强。对投资者而言,这意味着安全赛道中“量子受益标的”的兑现确定性反而高于量子计算硬件本身,因为前者的需求由不等式 $x + y > z$ 的防御逻辑锁定,不依赖CRQC真正建成。

更深层的产业洗牌还体现在信任等级的重新排序。过去以高性能、低时延或低成本见长的安全产品,在量子迁移时代若缺乏密码敏捷性和标准跟进能力,其竞争优势会迅速折损。相反,能够提供密码资产可视化、自动化迁移编排、跨云跨端兼容验证与长周期支持能力的厂商,即便在传统市场份额不占优势,也可能借此完成逆袭。量子芯片因此并不是只创造一个“量子安全”细分市场,而是在重写整个安全产业的能力评价体系:谁更懂协议栈、谁更能处理遗留系统、谁更具跨层协同能力,将比单纯宣称“支持某某新算法”更重要。安全行业的重新洗牌,本质上是一场由未来算力威胁倒逼的基础设施现代化运动。

6.2 药物研发与生命科学

在量子芯片诸多潜在应用中,药物研发与生命科学往往被视为最具长期战略价值的方向之一,原因并不只是该行业市场规模庞大,更在于生命体系中的核心过程本身就建立在量子力学支配的分子相互作用之上。经典计算机在处理生物体系时之所以不断遭遇瓶颈,并非简单因为算力还不够大,而是因为电子结构、反应路径、溶剂效应、构象空间与多尺度耦合共同构成了极高复杂度的问题域。量子芯片如果能够以可控方式承担其中最难的量子化学子问题,就可能使药物发现从高度依赖经验筛选和统计试错的流程,逐步转向由机理驱动、由第一性原理支撑的理性设计范式。必须强调,这一转变不会一蹴而就,也不会以“量子计算机取代实验室”的形式出现,而更可能表现为量子模块被嵌入现有计算化学与生物信息流水线,承担经典方法无力精确处理的关键环节,从而在整体研发链条上产生非线性的效率跃升。

6.2.1 量子化学模拟的指数壁垒

理解量子芯片在生命科学中的价值,必须先理解经典量子化学模拟为何会遭遇根本性壁垒。分子体系的电子波函数生活在一个维数随电子数与轨道数急剧膨胀的希尔伯特空间中,精确求解多电子薛定谔方程所需的经典存储与运算量随体系规模呈指数增长。以最直接的全组态相互作用(Full CI)方法为例,其在 N 个电子、M 个自旋轨道下的组态数量近似为组合数量级,存储需求可粗略写作:

$$D_{FCI} \sim \frac{M!}{N!\,(M-N)!} \sim e^{cN} \tag{式 6-8}$$

其中 D_{FCI} 为需要显式表示的组态波函数维数,c 为与轨道占据方式相关的常数。这一指数因子意味着经典精确方法只能处理很小的活性空间:即便把 M 与 N 都控制在约50的量级,组态数也会轻易突破 10^{14},远超任何经典超级计算机的显式存储能力。正因如此,经典计算化学不得不退而求其次,采用密度泛函理论、耦合簇、多参考微扰等各具取舍的近似方法,这些方法在弱关联体系中表现良好,却在强关联的过渡金属活性中心、断键过程与激发态等场景下精度不足或成本失控。量子芯片的独特价值恰在于此:量子态本身天然生活在指数大的希尔伯特空间中,用 n 个量子比特即可自然编码 2^n 维的态空间,因而在原理上有望以多项式规模的量子资源承载经典需指数存储的电子结构信息。

在容错框架下,量子相位估计算法可以将求解分子基态能量的问题转化为对哈密顿量时间演化算符本征相位的读取,其对目标精度 ε 与体系规模 N 的资源需求呈多项式标度,典型估计为:

$$T_{QPE} \sim O(N^4/\varepsilon) \tag{式 6-9}$$

其中 T_{QPE} 为量子相位估计的主导门复杂度,N 表征轨道或基函数规模,ε 为能量精度。把式 6-8 的指数标度 e^{cN} 与式 6-9 的多项式标度 N^4/ε 并置,即可看清量子优势的本质:随着 N 增大,两条曲线的差距不是常数倍数,而是指数级张开。以生物固氮的核心催化中心固氮酶FeMoco簇为例,其活性空间涉及数十个强关联电子与多个过渡金属中心,公开的资源估算表明,对其做化学精度的基态能量计算,经典全组态方法所需的组态数远超 10^{20},在任何可预见的经典算力下都不可行;而基于优化后的量子算法估算,完成同一计算约需 10^6 量级的逻辑量子比特运行时间与百万级别的物理比特,虽然仍超出当前硬件,却是一个有限、可随工艺进步逼近的目标。这一对比是量子计算“杀手级应用”叙事最坚实的科学锚点:它并非声称量子机器样样都快,而是精确指出了一类经典方法在原理上无法高效处理、而量子方法在原理上可高效处理的问题。

需要清醒认识的是,从“原理可行”到“产业可用”之间仍横亘着算法优化、错误抑制、经典—量子接口与结果验证等多重工程门槛。当前阶段更现实的路径是变分量子本征求解器等混合算法,它把制备试探态和测量交给量子处理器、把参数优化交给经典优化器,以适配噪声中等规模量子设备;但这类算法的可扩展性受制于测量开销与优化景观的贫瘠高原问题,尚不能提供严格的量子优势保证。因此在生命科学语境下,更稳妥的判断是:量子化学模拟是量子芯片长期价值最明确的支柱之一,但其兑现节奏取决于容错硬件的成熟,短期内更可能以“小分子高精度片段计算”的形式与经典方法互补,而非立刻改写整个药物研发工具链。

6.2.2 药物研发管线的价值重估

即便量子化学模拟在硬件层面仍需时日,其对药物研发经济学的潜在影响也值得从产业角度加以量化。现代新药研发以“漏斗”著称:大量候选化合物在早期被筛选,随后经过临床前、临床一二三期

层层淘汰,最终仅有极小比例获批上市。整个管线的期望价值可以用逐阶段成功概率与终值折现的乘积模型来刻画:

$$E[V] = V_{max} \prod_{k=1}^{n} p_k - \sum_{k=1}^{n} C_k \tag{式 6-10}$$

其中 $E[V]$ 为管线的期望净值,V_{max} 为药物成功上市后的峰值价值,p_k 为第 k 个研发阶段的通过概率,C_k 为该阶段的投入成本,n 为阶段总数。行业公开数据表明,从先导化合物到最终获批的累计成功概率 $\prod p_k$ 通常仅在 5% 至 10% 之间,单个新药的平均研发投入(计入失败项目的沉没成本)达到十亿美元量级,研发周期长达十年以上。量子芯片的产业意义正体现在这一乘积结构的敏感性上:由于总成功率是各阶段概率的连乘,任何在早期阶段提升命中质量、减少后期昂贵失败的能力,都会被连乘结构放大。假设量子化学模拟能够在临床前阶段更准确地预测结合亲和力、脱靶效应与代谢稳定性,使早期候选质量提升,从而把整体成功率从 7% 提升到 10%,则按式 6-10,在 V_{max} 与后期成本不变的情况下,管线期望价值的相对增幅约为 $(0.10 - 0.07)/0.07 \approx 43\%$;若同时把命中一个有效先导所需的候选合成与筛选轮次减少一半,早期成本 C_k 的下降会进一步抬升净值。

这一敏感性分析揭示了量子计算在制药业的商业逻辑:其价值并不主要来自“把某一步算得更快”,而来自在研发漏斗的最上游注入更高的机理确定性,从而降低下游临床阶段的失败率——而临床阶段恰是整个管线中最昂贵、最耗时的部分。换言之,即使量子模块只覆盖了流水线中很小的一段,只要它作用于连乘结构中概率弹性最大的节点,其经济杠杆就会被整个管线放大。这也解释了为什么大型药企与量子计算公司的合作大多聚焦于早期的靶点验证、分子对接与先导优化,而非试图用量子计算包办全部研发环节。产业界对量子制药的理性预期,应当是“在高价值瓶颈处的精准增强”,而非“对整个研发范式的一次性替换”。

6.2.3 蛋白质、酶与生物大分子

除了小分子药物设计,量子芯片在蛋白质折叠、酶催化机理与生物大分子相互作用等方向也承载着长期期待,但这一领域的复杂性与前述电子结构问题有所不同。蛋白质折叠的核心困难在于构象空间的组合爆炸:一条长度为 L 的多肽链,若每个残基的二面角被粗粒化为若干离散状态,则可能构象数随链长指数增长,即便每个残基仅取三种典型构象,总数也达 3^L 量级;对一个仅百残基的小蛋白,构象数就超过 10^{47},这正是经典构象搜索难以穷举的根源。将折叠问题映射为寻找能量最低构象的组合优化问题后,其解空间规模与后文将讨论的一般优化问题同构,原则上可借助量子退火或量子近似优化算法探索,但当前受限于问题编码效率与硬件规模,尚难以在真实尺度蛋白上超越成熟的经典启发式与深度学习方法。

更具原理性优势的方向,是量子化学模拟在酶催化机理研究中的应用。酶的活性中心往往包含过渡金属、自由基或多重键断裂重组等强关联电子过程,这些恰是密度泛函等经典方法精度不足的场景,也正是量子芯片相对经典方法优势最明确的问题类型。若量子模拟能够精确刻画酶催化循环中关键中间态与过渡态的电子结构,不仅有助于理解天然酶的高效与高选择性,更可能指导人工酶与生物催化剂的理性设计,对绿色化学、工业生物制造与固氮、固碳等重大科学问题具有深远意义。需要指出的是,真实生物大分子是量子活性中心嵌入庞大经典环境的多尺度体系,任何现实方案都必然是“量子核

心+经典环境”的混合嵌入模型,量子芯片承担的是最难的小片段,而分子力场、连续介质与统计采样等经典方法负责其余尺度,二者的高效耦合本身就是一个尚未解决的重要课题。

综合来看,生命科学是量子芯片长期价值最深、但兑现路径最曲折的应用领域之一。它既有像酶催化电子结构这样量子优势原理清晰的“硬核”问题,也有像蛋白质折叠这样与经典人工智能方法激烈竞争的“红海”问题,产业界需要以差异化的判断分别对待,把量子资源投向那些经典方法在原理上受限、而非仅仅暂时较慢的环节。

6.3 材料科学与能源

量子芯片对材料科学与能源产业的潜在影响,与其在生命科学中的逻辑一脉相承:两者的底层困难都源自多体量子系统的精确模拟,只是材料领域的问题谱系更加宽广,从催化剂、电池电极、超导体到磁性材料与光电材料,几乎每一类高价值材料的性能都由电子间的强关联行为所主宰。经典计算材料学在过去数十年间借助密度泛函理论取得了巨大成功,支撑了从半导体到催化剂的大量工程实践;但正是在那些最具颠覆潜力的材料——高温超导体、强关联氧化物、复杂催化界面——面前,经典近似方法的精度屡屡不足。量子芯片的意义,便在于为这些“经典方法算不准”的关键材料问题提供一条原理上更严格的计算路径,从而把材料发现从昂贵而缓慢的实验试错,逐步推向计算引导的理性设计。

6.3.1 电池、催化与固氮

在能源转型的宏大背景下,电池材料、催化剂与固氮化学是量子模拟被寄予厚望的三个典型方向。锂离子及下一代电池的性能,取决于电极材料中锂离子嵌脱过程的能量学与过渡金属氧化还原过程的电子结构,这些都涉及强关联电子行为,经典方法在预测电压平台、界面稳定性与离子迁移势垒时常有系统性偏差。催化领域的核心问题——如何在原子尺度上理解并调控反应中间态的能量——同样高度依赖对过渡金属d电子关联的精确描述。而固氮反应更是被反复引用的标志性案例:工业合成氨的哈伯—博施过程在高温高压下进行,消耗全球约百分之一至百分之二的一次能源,若能借助对固氮酶FeMoco活性中心的精确模拟,理解其在常温常压下高效催化的机理,并据此设计温和条件下的人工催化剂,其能源与经济意义将极为深远。这一问题的电子结构复杂度恰好落在经典方法失效、量子方法原理可行的区间,因而成为连接量子化学模拟(见式 6-8、式 6-9)与产业价值的最佳注脚。

量子模拟对材料的价值,最终要通过对材料关键物性的预测精度来体现,而许多物性对能量误差极为敏感。以化学反应速率为例,过渡态理论给出反应速率常数对活化能的指数依赖:

$$k = A\exp(-E_a/k_BT) \tag{式 6-11}$$

其中 k 为反应速率常数,A 为指前因子,E_a 为活化能,k_B 为玻尔兹曼常数,T 为温度。指数关系意味着活化能预测的微小误差会被放大为速率的巨大偏差:在室温(约300开尔文,$k_BT \approx 0.026$ eV)下,活化能只要偏差 0.1 eV,预测速率就会偏离约 $e^{0.1/0.026} \approx 47$ 倍;若偏差达 0.2 eV,速率偏差高达约2000倍。这正是“化学精度”(约 0.043 eV,即每摩尔1千卡)之所以被反复强调的原因——只有把能量误差压到这一量级以下,计算才能对催化剂设计给出有工程意义的指导。量子芯片一旦能够对强关联活性中心稳定达到化学精度,就能把催化剂筛选从“合成上千种候选逐一试验”转向“计算预筛后只合成最有希望的少数几种”,其对研发成本与周期的压缩,与式 6-10 所描述的漏斗放大逻辑高度相似。

6.3.2 超导、磁性与量子材料

在基础物性层面,高温超导机理、强关联磁性与拓扑量子材料是量子模拟另一片充满诱惑却极其艰难的疆域。铜氧化物与铁基超导体的高温超导现象已困扰物理学界数十年,其难点正在于电子间的强关联使得任何微扰近似都难以奏效,而描述这类体系的最小模型——如Hubbard模型——即便在二维情形下也没有普适的经典精确解。Hubbard模型的哈密顿量可写为:

$$H = -t\sum_{i,j,\sigma} c_{i\sigma}^{+}c_{j\sigma} + U\sum_{i} n_{i1}n_{i2} \tag{式 6-12}$$

其中第一项描述电子在相邻格点 i、j 间以跃迁强度 t 的巡游,c^{+} 与 c 为产生与湮灭算符,σ 标记自旋;第二项描述同一格点上两个自旋相反电子(下标 1、2 分别记自旋向上与向下)间以强度 U 的库仑排斥,n 为粒子数算符。这个形式极简的模型,却因 t 与 U 竞争所导致的强关联而蕴含极丰富的物理,涵盖金属—绝缘体转变、反铁磁序乃至可能的超导配对,其相图至今未被经典方法完全厘清。量子芯片对这类模型的价值在于,它可以把哈密顿量直接映射到量子比特并进行受控的量子模拟,从而在参数空间中探测经典蒙特卡洛因符号问题而无法可靠计算的区域,为超导机理提供关键判据。若这一路径走通,其影响将远超单一材料:对高温超导机理的理解,可能催生室温超导探索、无损输电与强磁场技术的连锁突破。

需要客观指出的是,量子材料模拟对硬件的要求同样苛刻。可靠地模拟一个中等尺寸的强关联格点模型并达到物理上有意义的精度,通常需要数百个高保真逻辑量子比特与相当深度的量子线路,这在容错硬件成熟之前难以实现;当前的含噪演示大多局限于小格点、短时演化,尚不足以对经典方法形成决定性超越。因此在材料领域,产业界的合理姿态是:一方面在算法与嵌入方法上持续投入,为容错时代储备工具链;另一方面清醒区分“已被含噪硬件演示的玩具模型”与“真正具备工业价值的材料预测”,避免把原理性前景误读为近期可交付的产品能力。材料科学与能源之所以被视为量子计算的战略性应用,不在于它能在短期内交付产品,而在于它一旦兑现,所触及的是能源效率、碳排放与基础材料这些关乎国计民生的底层变量。

6.4 金融、优化与人工智能

如果说密码、生命科学与材料代表了量子芯片在“安全”与“自然科学模拟”两条主线上的影响,那么金融、优化与人工智能则代表了它在“决策与计算服务”这一更贴近商业运营层面的潜在渗透。与量子模拟类应用不同,这一方向上量子优势的理论根基往往更为微妙:并非所有金融或优化问题都存在被严格证明的量子加速,许多广受宣传的应用其实建立在启发式或有条件的加速之上。因此在讨论这一领域时,尤其需要保持科学的审慎,把“原理上已被证明的加速”“有前景但未被严格证明的启发式”与“纯粹的营销叙事”三者严格区分开来,这既是对读者负责,也是产业理性投资的前提。

6.4.1 组合优化与量子算法

金融与运营中的大量核心问题——投资组合选择、风险对冲、供应链调度、物流路径、生产排程——在数学上都可归结为组合优化问题,其共同特征是解空间随决策变量数目呈指数增长。对一个包含 n 个二元决策变量的问题,其可行解总数为:

$$\Omega = 2^{n} \tag{式 6-13}$$

其中 Ω 为解空间规模,n 为二元决策变量个数。这一简单指数关系是所有组合爆炸问题的根源:当 $n=50$ 时,$2^{50}\approx 10^{15}$,穷举已不可行;当 $n=100$ 时,$2^{100}\approx 10^{30}$,超过任何可想象的经典算力;而现实中的大型投资组合或供应链问题,决策变量常达数千乃至上万,解空间之大远超宇宙中原子总数的量级。经典方法应对这类问题依靠的是分支定界、割平面、启发式与近似算法,它们并不穷举而是智能地剪枝与逼近,在许多实际问题上已相当高效。量子计算在此的候选武器包括量子近似优化算法与量子退火:前者用参数化量子线路逼近最优解并由经典优化器调参,后者借助绝热演化在物理上向低能态收敛。必须清醒的是,这两类方法目前都缺乏对一般NP困难问题的严格量子优势证明,其相对经典最优启发式的实际优势仍是一个开放的实证问题,现有含噪硬件上的演示尚未展现出决定性、可复现的超越。

在有严格理论支撑的算法层面,Grover搜索为非结构化搜索提供了平方根级加速,把 Ω 规模空间的搜索代价从 $O(\Omega)$ 降为 $O(\sqrt{\Omega})$。这一加速虽是确定的,但只是多项式级而非指数级,对指数大的解空间而言,平方根加速把 2^{100} 降为 2^{50},仍然遥不可及,因而它更适合作为子程序嵌入而非独立解决大规模优化。金融领域另一条更扎实的路线是量子蒙特卡洛方法在衍生品定价与风险度量中的应用,量子振幅估计可以把蒙特卡洛采样的收敛速度从经典的 $O(1/\sqrt{N})$ 提升为 $O(1/N)$,即达到同等精度所需的样本数由 $1/\varepsilon^2$ 降为 $1/\varepsilon$。对需要海量情景模拟的风险价值(VaR)计算或复杂衍生品定价,这一平方级加速具有明确的理论保证,是金融量子计算中理论根基最稳固的应用之一。

6.4.2 量子机器学习的谨慎乐观

量子机器学习是量子计算与人工智能交叉产生的热点方向,其愿景是利用量子态的高维希尔伯特空间和量子并行性,加速机器学习中的某些核心运算或提供经典难以企及的特征映射。理论上,若数据能够被高效地加载为量子态,某些线性代数子程序——如求解线性方程组、主成分分析、核方法中的内积计算——存在被证明具有指数加速潜力的量子算法。然而,这些理论加速往往附带若干苛刻前提:需要高效的量子随机存取存储器把经典数据加载为量子态、需要数据满足特定的条件数与稀疏性、且输出通常是量子态而非可直接读取的经典结果,这些前提在现实中往往难以同时满足,以至于部分声称的加速在计入数据加载成本后被“去量子化”的经典算法所追平。

因此,对量子机器学习的理性态度应是“谨慎乐观”:一方面,量子特征映射与量子核方法为处理经典难以表达的数据结构提供了新的思路,变分量子线路作为一种可训练的量子模型也具有理论探索价值;另一方面,当前尚无确凿证据表明量子机器学习能在实际数据集上稳定超越成熟的经典深度学习,且量子模型同样面临可训练性上的贫瘠高原障碍,即随着量子比特数增加,损失函数的梯度会指数级衰减,导致优化极其困难。产业界应把量子机器学习视为一个长期的、以基础研究为主的探索方向,而非近期可兑现的商业能力。真正稳健的判断是:量子计算对人工智能最确定的贡献,短期内更可能来自量子模拟为科学AI提供高质量训练数据(如精确的分子性质数据集),而非量子处理器直接取代GPU承担大规模神经网络训练。

6.4.3 投资回报与产业化节奏

将上述审慎判断落实到投资决策层面,需要一个能够同时容纳“高潜在回报”与“高不确定性”的分析框架。量子技术投资的期望回报可以用一个概率加权的净现值模型来刻画:

$$E[R] = \sum_j q_j \frac{V_j}{(1+\rho)^{t_j}} - C_0 \tag{式 6-14}$$

其中 $E[R]$ 为投资的期望回报,q_j 为情景 j 发生的概率,V_j 为该情景下的回报价值,t_j 为回报兑现的时间,ρ 为折现率,C_0 为初始投入。这一模型清晰地揭示了量子投资的特殊结构:回报兑现时间 t_j 普遍较长,在高折现率下,折现因子 $(1+\rho)^{-t_j}$ 会大幅压缩远期回报的现值。举例而言,若某项量子应用的回报要到十年后才能兑现,取折现率 $\rho = 0.15$,则折现因子约为 $1.15^{-10} \approx 0.25$,即十年后的一美元回报在今天仅值0.25美元;若回报推迟到十五年,折现因子进一步降至约0.12。这解释了为什么量子产业的资本配置高度依赖对里程碑时间表的预期:兑现节奏 t_j 每推迟数年,期望回报的现值就会成倍缩水,这也是量子板块估值对技术新闻异常敏感的深层财务原因。

从产业化节奏看,这一模型也为不同应用方向的投资优先级提供了排序逻辑。密码安全迁移之所以成为最先兑现的方向,正是因为其需求由防御性不等式锁定,兑现时间 t_j 短且情景概率 q_j 高,折现损失最小;量子模拟类应用回报潜力最大但兑现较晚;量子机器学习则兼具晚兑现与高不确定性,现值贡献最不确定。理性的产业化路径,应当是以近期确定性收入(如安全迁移、专用模拟服务、量子软件工具)支撑现金流,同时以长期研发投入布局容错时代的高价值应用,避免把全部资源押注于单一的、时间表高度不确定的“杀手级应用”。量子产业的成熟,不会是某一天突然到来的奇点,而是沿着这条由折现逻辑与里程碑节奏共同塑造的、分层次分批次的价值兑现曲线徐徐展开。

6.4.4 量子云服务与算力商业模式

在量子优势尚未大规模兑现的当下,量子计算实际产生收入的主要形态并不是“卖计算结果”,而是“卖访问权”:绝大多数企业与研究者通过云平台按需调用量子处理器,而非自建整机。这一格局由三个刚性因素共同决定。其一,量子整机的持有成本极高,稀释制冷机、电磁屏蔽环境、专用控制电子与全天候专业运维团队,构成了远超一般数据中心设备的进入门槛;其二,硬件迭代速度快,比特规模与保真度每一两年就上一个台阶,自购设备面临急剧的技术性贬值,云模式把这一迭代风险留在了供给侧;其三,当前量子应用大多处于算法探索阶段,负载呈间歇脉冲状,独占整机的利用率注定低下,共享访问才符合经济性。量子云服务的成本结构可以用一个简单的摊销模型刻画:

$$c_{hour} = \frac{P_{hw}}{U T_{life}} + c_{op} \tag{式 6-15}$$

其中 c_{hour} 为每机时的全成本,P_{hw} 为整机资本支出,T_{life} 为折旧寿命内的总小时数,U 为有效利用率(真正产生收入的机时占比),c_{op} 为电力、氦供应与人力等每小时运维成本。代入典型数量级:超导整机含制冷与控制系统的资本支出约 10^7 美元,按五年折旧 $T_{life} \approx 4.4 \times 10^4$ 小时、利用率 $U = 0.5$ 计,仅折旧一项即约 450 美元每机时,计入运维后全成本落在每机时数百至上千美元区间——这与主要云平台公开的独占时段报价(每小时千美元量级)在量级上吻合。这一吻合传递的信号是:现阶段量子算力的定价大体仍是成本加成定价,硬件访问本身的毛利空间有限,真正的利润必须向上层的算法库、行业解决方案与工作流软件迁移,这与本章开篇 $s(t)$ 份额演化模型给出的“价值重心由造机器向用机器迁移”的判断相互印证。

式 6-15 同时揭示了量子云商业模式的核心敏感变量:利用率 U 位于分母,当需求不足使 U 从 0.5 跌至 0.1 时,单位成本上升五倍,若如实传导到价格,又会进一步抑制需求,形成“低利用率—高单价—更低需求”的负反馈循环。这解释了为什么各大平台不惜以免费学术额度、教育合作与生态基金补

贴使用量——其目的不只是市场推广,更是维持摊销经济性与开发者黏性的必要投入。在计费方式上,行业已分化出三种并存形态:面向探索性用户的按任务(按线路执行次数)计费、面向算法团队的预留容量订阅,以及面向对时延与独占性敏感机构的整机时段租用;三者之上,混合经典—量子工作流的编排服务正成为新的竞争焦点,因为现实负载几乎总是“经典预处理+量子核心子程序+经典后处理”的混合形态,谁能把量子处理器无缝嵌入客户既有的高性能计算与云工作流,谁就掌握了流量入口与议价权。展望容错时代,计费单位大概率将从“机时”演化为“逻辑门操作数”,算力市场将围绕“单位逻辑操作的全成本”展开竞争——这一指标同时综合了物理比特规模、纠错开销与运行速度,比今天任何单一硬件参数都更接近商业本质,也更有利于不同技术路线在同一标尺下公平比价。

6.5 量子传感与量子精密测量

在量子技术的三大分支中,量子传感与精密测量往往是产业化最早、门槛相对最低、却也最容易被计算叙事所遮蔽的一支。与需要大规模纠错才能兑现价值的量子计算不同,量子传感利用单个或少数量子系统对外部物理量的极端敏感性,在相干时间与量子比特数要求远低于通用计算的条件下即可实现超越经典极限的测量精度。这使得量子传感成为量子产业中少有的、在近期就能形成真实商业收入的方向,广泛渗透到导航、医疗成像、地质勘探、基础计量与国防等领域。其与量子芯片的关系,既体现在共享低温、控制与集成工艺的技术基础上,也体现在同属“利用量子相干性获取经典系统无法企及的性能”这一共同科学内核上。

量子传感的核心科学优势,可以用测量精度随探测资源的标度律来精确表述。在经典独立测量下,对 N 个探测粒子做统计平均,测量精度受限于标准量子极限:

$$\Delta\phi_{SQL} \sim \frac{1}{\sqrt{N}} \tag{式 6-16}$$

其中 $\Delta\phi_{SQL}$ 为相位(或所测物理量)的估计不确定度,N 为独立探测粒子数或重复测量次数。这一 $1/\sqrt{N}$ 标度正是经典统计误差随样本量下降的普遍规律。而当探测粒子被制备为量子纠缠态(如自旋压缩态或GHZ态)时,量子关联可以把精度提升到海森堡极限:

$$\Delta\phi_{HL} \sim \frac{1}{N} \tag{式 6-17}$$

其中 $\Delta\phi_{HL}$ 为纠缠增强下可达的测量不确定度。对比式 6-16 与式 6-17,量子纠缠带来的精度增益为 $\sqrt{N}$ 倍:当 $N = 100$ 时,海森堡极限比标准量子极限精确10倍;当 $N = 10^4$ 时,增益达100倍。这一平方根级的确定性优势,不依赖于容错纠错,也不需要庞大的量子比特规模,因而在原理上更易转化为实际器件性能。原子钟、原子干涉重力仪、核磁与自旋磁强计、量子雷达与量子照明等应用,都是这一标度律优势在具体物理量(时间频率、加速度与重力、磁场、微弱回波)上的实现;例如基于金刚石氮空位色心的磁强计已能在室温、微米尺度上实现极高灵敏度的磁场测量,在生物磁成像与材料表征中展现出经典手段难以企及的空间分辨与灵敏度组合。

就产业成熟度而言,量子传感内部同样呈现清晰的分层结构。最成熟的是时间频率类:原子钟早已是卫星导航、通信网络同步与金融交易时间戳的底层基础设施,芯片级原子钟的体积与功耗已能满足嵌入式部署要求,正在从“国家计量院里的仪器”走向“系统板卡上的器件”。处于商用早期的是磁测与重力测量类:金刚石氮空位磁强计、原子磁力计与原子干涉重力仪均已有商业产品,在心磁与脑磁

成像、无损检测、地下资源与空洞探测等场景中开始替代传统超导量子干涉器件方案,其相对优势在于免液氦制冷与更低的运维门槛。仍处远期的是量子雷达与量子照明等纠缠增强探测方向,其理论增益在真实大气衰减与强背景噪声下大幅折损,距工程可用尚有相当距离。就市场体量而言,当前全球量子传感市场处于数亿至十亿美元量级,年增速为百分之十几,规模不大,却承担着一个常被忽视的战略功能:传感产品的持续出货为单光子探测器、窄线宽激光器、低温与真空部件等共性供应链提供了真实现金流,使这些量子计算同样依赖的上游环节得以在计算收入兑现之前完成工艺爬坡与成本下降,客观上为量子芯片的产业化铺平了道路。

从产业视角看,量子传感的价值兑现逻辑与量子计算截然不同,更接近传统的高端仪器与器件市场:它不追求“颠覆性替代”,而是在导航自主性(不依赖卫星的惯性与重力辅助定位)、医疗诊断(高灵敏磁与光学成像)、资源勘探(重力与磁异常探测)、基础计量(下一代时间频率标准)等具体场景中,以更高精度、更小体积、更低功耗逐步替换或增强现有传感手段。需要指出的是,把海森堡极限的理论优势转化为现场可用的器件性能,仍需克服纠缠态制备与保持的脆弱性、退相干对可用 N 的限制以及工程化、小型化、抗环境干扰等一系列实际挑战,因此多数已商业化的量子传感器实际工作在标准量子极限附近或仅部分逼近海森堡极限。尽管如此,量子传感依然是量子产业中现金流最现实、技术风险最可控的支柱之一,它与量子计算、量子通信在器件工艺与人才储备上的协同,构成了整个量子产业生态健康发展的重要基础。

6.6 挑战、风险与产业生态

在系统梳理了量子芯片在安全、生命科学、材料、金融与传感各领域的机遇之后,必须以同样的严谨审视其面临的挑战与风险,否则任何产业判断都会流于乐观的想象。量子芯片的产业化不是一条技术难题逐个被攻克的单行道,而是一个技术、资本、人才、供应链与制度环境相互牵制的复杂生态,其中任何一环的短板都可能延缓乃至扭曲整个产业的兑现节奏。理性看待这些挑战,不是要否定量子技术的长期价值,而是为了在正确的时间、正确的方向上配置资源,避免因预期与现实的错配而造成资本与信誉的双重损耗。

6.6.1 技术不确定性与“炒作周期”

量子芯片产业面临的首要风险,是技术兑现节奏的高度不确定性与由此引发的预期波动。容错量子计算所需的物理比特规模、纠错开销、系统集成复杂度都远超当前水平,而从含噪中等规模设备到实用容错机器之间,还横亘着许多尚未被完全解决的科学与工程难题。这种不确定性叠加资本市场的放大效应,极易催生典型的技术“炒作周期”:每一次里程碑式的演示都可能被过度解读为“商用在即”,随后又因预期落空而陷入信心低谷。回顾式 6-14 的折现模型即可理解这种波动的财务根源——量子应用的回报兑现时间 t_j 越靠后、越不确定,其现值对里程碑新闻就越敏感,估值也就越容易在乐观与悲观之间剧烈摆动。历史上人工智能、纳米技术等前沿领域都曾经历数轮这样的周期,量子产业亦难例外。对产业参与者而言,穿越炒作周期的关键,是把叙事锚定在可验证的技术指标(逻辑错误率、逻辑比特数、算法基准)之上,而非模糊的“量子霸权”或“颠覆”修辞,唯有如此,资本与人才才能在周期波动中持续流向真正推动技术前进的环节。

6.6.2 人才、供应链与制度环境

量子产业的可持续发展,还受制于一系列超越单纯技术的结构性约束。首先是人才:量子芯片研发需要同时精通量子物理、微波工程、低温技术、材料科学、软件与算法的复合型人才,而这类人才的培养周期长、全球存量小,已成为制约产业扩张的现实瓶颈;人才的稀缺不仅推高研发成本,也使得少数掌握核心能力的机构与地区形成事实上的技术壁垒。其次是供应链:稀释制冷机、超导材料、高纯度衬底、精密微波器件、单光子探测器等关键设备与材料,其供应高度集中于少数厂商与国家,任何一环的“卡脖子”都可能延缓整个产业进程,这也使量子技术不可避免地被纳入国家科技竞争与出口管制的战略视野。最后是制度环境:标准的制定权、知识产权的归属、数据与算法的跨境流动、安全与伦理的监管框架,都将深刻塑造产业格局。量子芯片因其在密码与国防上的敏感性,天然带有强烈的地缘政治属性,这意味着其产业化不会是一个纯粹由市场效率主导的过程,而会持续受到国家战略与制度博弈的塑造。

把这些结构性约束做一点量化,更能看清其刚性程度。人才侧,全球具备量子硬件研发完整训练背景的专业人员存量估计仅在数千至一万人量级,而各主要经济体公开产业规划所隐含的需求在未来十年将达到数万人,供需缺口意味着核心团队的争夺将长期白热化,也意味着以高校与企业联合培养扩大供给的投入,其回报周期至少以五年计。供应链侧,稀释制冷机的全球年产能仅数百台量级且高度集中于极少数厂商,交付周期常以年计;氦-3作为极低温制冷的关键工质主要来自氚衰变副产物,全球年供应量以千克计,任何需求陡增都会立即反映为价格与交期的恶化;高纯衬底、超导靶材、低温同轴线与精密微波器件同样存在类似的集中度与产能约束。这些数字共同说明一个常被忽略的事实:即便算法与纠错明天就取得突破,量子芯片的量产爬坡也会被上游供应链的物理产能锁定在以年计的节奏上——这与半导体产业“设计突破快、产能扩张慢”的历史经验一脉相承,也提示各国产业政策的重心应从单纯资助研发,扩展到对设备、材料与工艺环节的前瞻性布局,否则下游的算力雄心终将撞上上游的产能天花板。

6.6.3 生态协同与理性预期

综合本章各节的分析可以看到,量子芯片的产业影响呈现出鲜明的分层结构:量子传感与安全迁移是近期即可兑现的现实收入来源,量子模拟(化学、材料)是中长期最具原理性优势的战略高地,而量子机器学习等方向则更多停留在长期的基础探索阶段。这一分层结构决定了健康的产业生态不应是单点突进,而应是硬件、软件、算法、应用与人才多要素的协同演进——硬件的比特规模与保真度提升为算法提供舞台,算法与软件栈的成熟把硬件能力转化为行业价值,而真实行业问题的映射与验证又反过来牵引硬件的迭代方向。三者的关系并非线性接力,而是相互牵引、彼此定义的耦合网络,任何一环的滞后都会成为整体的瓶颈。

因此,对量子芯片产业影响的最终判断,应当既不被短期炒作所裹挟,也不因兑现曲折而低估其长期意义。它更可能以“分层次、分批次、在特定高价值瓶颈处精准发力”的方式,逐步而深刻地改变若干关键行业的能力边界,而非以某个戏剧化的奇点时刻一举颠覆全部经典计算。产业界、科研界与政策制定者需要共同建立的,是一种与这一渐进而非线性、耦合而非孤立的技术特性相匹配的理性预期与长期主义:以近期确定性收入维系产业造血能力,以长期战略投入布局容错时代的高价值应用,以开放而审慎的制度环境培育人才与供应链。唯有在这样一种生态协同与理性预期之下,量子芯片才能真正把实验室中的物理原理,转化为改变产业格局与人类福祉的现实力量。

第七章 实施挑战与应对策略

量子芯片从原理演示走向工程平台,再从工程平台走向产业体系,途中横亘的并不是某一道单一关口,而是技术、工程、人才生态、安全与政策治理五个层面相互缠绕的挑战集群。这些挑战的共同特点在于,它们大多无法依靠单点技术突破一次性解决,而必须以定量分析为基础,把每一项约束换算成可比较的数量级,再据此排布攻关次序与资源配置。本章将依次剖析五类挑战的物理根源与工程表现,并在关键节点给出可计算的估算模型:从相干时间与门深度的比值,到稀释制冷机冷却功率与布线热负荷的收支,从良率随规模的指数衰减,到纠错开销与制冷能耗的外推。这些计算未必精确到个位数,但足以揭示数量级层面的硬约束,帮助从业者区分哪些问题是可以靠工程优化渐进消化的,哪些问题必须依靠架构革命才能跨越。

7.1 技术挑战

7.1.1 退相干与噪声:永恒的主战场

量子芯片与经典芯片的根本差异，不仅在于信息载体从比特转向量子比特，更在于其计算资源本身极度脆弱，任何来自材料缺陷、环境热噪声、电磁串扰与控制误差的扰动，都会以退相干、退极化、相位漂移或读出误判的形式直接侵蚀计算结果。所谓退相干，实质上是量子态与外界环境发生不可逆耦合后丧失相位关系与可操控性的过程，它不是某一个局部器件的缺陷，而是贯穿材料、工艺、封装、控制与算法全链条的系统性约束。对于当前主流超导量子芯片而言，弛豫时间与相位相干时间虽然已经达到微秒到毫秒量级，但一旦进入长线路、深电路与多轮测量反馈的场景，这些看似可观的时间裕度会迅速被门操作误差、串扰积累与时钟漂移消耗。离子阱、半导体自旋、光量子等路线同样面临各自形式的噪声边界，只是表现形式不同，其共通点在于量子优势并不会自动随着器件搭建而到来，而必须在误差抑制能力达到某个门槛后才可能显现。

要把"时间裕度被消耗"这一定性判断转化为可比较的工程指标,最直接的度量是相干时间与单次门操作时长的比值,它给出了在退相干发生之前系统原则上能执行的门操作数上限:

$$N_g \approx \frac{T_2}{t_g} \tag{式 7-1}$$

其中 T_2 为相位相干时间,t_g 为单次门操作时长,N_g 为退相干窗口内可容纳的串行门数。将当前超导平台的典型参数代入,取 $T_2 \sim 100\ \mu s$、双比特门时长 $t_g \sim 50$ ns,可得 $N_g \approx 2 \times 10^3$,即一个量子比特在其相干寿命内大约只能承载两千次串行门操作。这个数字乍看不小,但与 Shor 算法分解 2048 位整数所需的数十亿门深相比,中间隔着六个数量级的鸿沟,这正是"必须纠错"这一结论最朴素的算术来源。更严格地看,即便线路深度远小于 N_g,误差仍会随门数指数累积。若每个门的平均误差率为 ε,一条含 N 个门的线路在无纠错条件下的整体保真度近似为:

$$F \approx (1-\varepsilon)^N \approx \exp(-N\varepsilon) \tag{式 7-2}$$

其中 F 为线路末态与理想末态的重叠度。代入当前最好水平的双比特门误差 $\varepsilon \sim 10^{-3}$,当 $N = 1000$ 时 $F \approx e^{-1} \approx 0.37$,即运行一千个门后正确结果的概率已跌到四成以下;当 $N = 10^4$ 时 $F \approx 4.5 \times 10^{-5}$,输出几乎完全被噪声淹没。这两条简单公式共同划定了 NISQ 时代的能力边界:在误

差率 10^{-3} 量级、无纠错的前提下,任何有实用意义的量子线路深度都被压缩在千门量级以内,超出这一范围的算法宣称都需要接受最基本的指数衰减检验。

从物理层面看，噪声并非单一来源，而是呈现出低频漂移、高频热噪声、偶发跃迁、材料两能级缺陷、微波控制非理想以及测量链失配等多重机制叠加的复杂结构。其关系并非线性叠加，而是会在特定频段、特定耦合拓扑和特定操作序列中形成放大效应，使单比特门、双比特门与读出误差之间出现高度相关性。很多实验报告中的平均保真度能够达到较好水平，但平均值往往掩盖了长尾问题，即少数异常频点、少数热点器件和少数时间窗口中的误差尖峰会主导整机的失败概率。量子芯片因此不能照搬经典芯片对随机噪声做平均化处理的思路，而必须建立面向时变、相关和非高斯误差的建模框架。只有认识到噪声的统计结构、时间结构与空间结构，后续的纠错、编译与调度策略才具有真实可用性。

相关噪声的危害还可以从纠错理论的角度进一步量化理解。表面码等主流纠错方案的阈值定理建立在误差近似独立的假设之上,当噪声在空间上跨越多个比特相关、在时间上跨越多个纠错周期相关时,同一条错误链被同时触发的概率将显著高于独立模型的预测,等效于把物理误差率朝阈值方向推高。宇宙射线在超导芯片基片中沉积能量造成的准粒子暴发就是典型例子:一次事件可以在毫秒时间尺度内同时压低芯片上大面积比特的弛豫时间,对独立噪声假设构成直接冲击。这类事件虽然平均每秒到每十秒才发生一次,但对于需要连续运行数小时的容错计算而言,意味着系统必须在架构层面预置针对暴发性相关错误的检测与恢复机制,而不能寄希望于统计平均将其稀释。

进一步看，退相干问题还改变了整个系统设计的评价标准。经典芯片强调吞吐、频率和能耗比，而量子芯片首先要问的是可维持多少有效量子态、可执行多深量子线路以及在多大规模上仍能保持误差处于可纠错区间。也就是说，量子计算的真正瓶颈不是"能否做出更多量子比特"，而是"这些量子比特在协同工作时还能否保持可控"。这使得量子芯片研发不能孤立追求局部指标的提升，例如仅提升单点相干时间却忽略读出链路串扰，或仅优化单个门保真度却忽略校准漂移，都可能导致系统级收益非常有限。退相干与噪声之所以被称为永恒的主战场，正在于它不是可以被一次性攻克的难题，而是一场伴随每一次规模扩展、每一次工艺迁移和每一次应用落地而持续重来的基础战役。

- **误差来源多样**: 量子芯片中的噪声同时来自材料缺陷、热激发、控制电子学、封装与环境耦合，不能用单一参数概括。
- **系统误差突出**: 相关误差、时变漂移和长尾失效往往比平均误差更决定整机成败。
- **指标评价重心变化**: 相干时间、门保真度和读出误差必须在系统级联动评估，而非孤立优化。
- **深度预算可计算**: 相干时间与门时长之比给出门深上限,指数衰减公式给出无纠错线路的保真度天花板,二者构成路线评估的基本算术。

7.1.2 规模化悖论:比特数与质量的张力

量子芯片产业讨论中最容易被误解的概念，是把量子比特数量视为单向进步指标，仿佛芯片上"比特越多"就自然代表"能力越强"。事实上，量子计算领域长期存在一个鲜明的规模化悖论，即比特数提升与比特质量维持往往相互牵制，芯片越大，控制与噪声管理越困难，最终可用计算能力未必同步增长。一个拥有上百乃至上千个物理量子比特的芯片，如果门误差、读出误差、串扰水平

和校准稳定性没有同步改进，其有效量子体积、逻辑深度与应用可行性都可能并不优于较小但更稳定的系统。因此，量子芯片从实验室样机走向工程化平台，不是简单复制更多单元，而是进入一个质量、拓扑与规模同时优化的高维权衡过程。

这种张力首先体现为控制复杂度的非线性增长。随着量子比特数量增加，系统需要更多微波通道、偏置线、读出链路和时钟同步资源，布线密度上升导致热负载与电磁串扰同步恶化。与此同时，校准参数的数量会接近平方甚至更高阶增长，因为双比特门、频率避碰、读出复用与串扰补偿都具有跨器件耦合特征。也就是说，新增一个物理量子比特，并不只是增加一个独立资源点，而是扩大整张耦合网络的调参空间与不确定性边界。其关系并非加法式扩容，而是近似于"复杂系统维数上升"带来的整体脆弱性上升，这也是为什么很多平台在中小规模阶段进展迅速，而一旦迈向更大阵列，性能提升速度明显放缓。

校准空间的膨胀速度可以用一个简单的计数模型刻画。设芯片含 n 个量子比特,平均每比特有 k 个近邻耦合,每个比特自身需标定 α 个参数(频率、非谐性、读出点、脉冲幅相等),每条耦合边需标定 β 个参数(双比特门幅度、时长、相位补偿、串扰系数等),则总校准参数规模为:

$$P_{\mathrm{cal}} \approx \alpha n + \frac{\beta k n}{2} \tag{式 7-3}$$

其中 P_{cal} 为需维持在最优点附近的独立参数总数。以二维网格拓扑 $k = 4$、经验值 $\alpha \sim 20$、$\beta \sim 15$ 代入,百比特芯片约需标定 5×10^3 个参数,千比特芯片约 5×10^4 个,而若考虑频率避碰与非近邻串扰补偿引入的高阶项,实际规模还要再上浮数倍。更严峻的是这些参数并非彼此独立:调整一个比特的工作频率会改变其所有近邻的避碰约束,形成牵一发而动全身的耦合优化问题。当参数之间的漂移速率与重校速率相当时,系统会陷入"校准永远追不上漂移"的状态,这为纯粹的规模扩张设定了一条隐性的可维护性边界。

其次，规模化还会带来架构层面的选择困难。为了支持量子纠错，需要规则、局部、可重复的耦合拓扑，例如二维网格在表面码中具有较好适配性；但为了支持某些算法映射和高效门操作，又希望具备更灵活的连接模式。更高的连通度通常意味着更复杂的耦合器设计、更大的布局面积和更高的串扰风险，而过于稀疏的拓扑则会增加 SWAP 开销，使逻辑线路深度进一步拉长。在稀疏拓扑上,两个任意比特之间的等效双比特门需要沿最短路径插入一串 SWAP 操作,平均路径长度在二维网格上随 $\sqrt{n}$ 增长,这意味着千比特网格上一次远程纠缠平均要消耗约三十次物理 SWAP,每次 SWAP 又由三个双比特门构成,叠加式 7-2 的指数衰减后,远程操作的有效保真度会被急剧压低。由此产生的结论是，量子芯片规模扩展不能依靠单一维度冲刺，而必须围绕"有效可编程能力"建立综合评价体系，把可用量子比特、错误率、连通图质量、可校准性和运行稳定窗口一并纳入考量。真正有意义的规模化，不是把芯片做大，而是让更多比特在更长时间内以更低误差完成可验证计算任务。

- **比特数不等于算力**: 物理量子比特规模只有在门保真度、拓扑与稳定性达标时才转化为有效能力。
- **复杂度非线性增长**: 控制链路、校准参数与串扰补偿会随规模扩大迅速膨胀。
- **架构选择存在张力**: 高连通度利于算法映射，但会抬高布线、耦合和噪声管理难度。
- **可维护性设边界**: 当参数漂移速率逼近重校速率,规模扩张将撞上校准追赶极限。

7.1.3 布线与互连瓶颈

量子芯片的布线问题远比传统集成电路更为严苛，因为它不仅是一个几何空间问题，更是热学、电磁学与系统可维护性问题的耦合体。以超导量子芯片为例，量子比特处于毫开尔文级低温环境中运行，而控制与读出电子学大部分仍位于室温或较高温级，这意味着每一根进入稀释制冷机的控制线都既是信号通道，也是潜在热泄漏通道。随着量子比特数量增加，传统一比特一线或少量复用的方案会迅速逼近制冷机的物理空间上限、热负载上限和连接器可靠性上限。其结果是，芯片本体尚未成为瓶颈，外围互连系统已先达到不可持续状态。

热负荷收支是布线瓶颈中最能定量刻画的一环。设每个量子比特平均需要 m 根接入最低温级的同轴线,每根线经多级热锚与衰减后传导至混合腔级的残余漏热为 q_w,则布线带来的总热负荷为:

$$Q_{\mathrm{tot}} = m \cdot n \cdot q_w \tag{式 7-4}$$

其中 n 为量子比特数。工程实测表明,一根经过妥善热锚定的不锈钢或铌钛同轴线传导到 10 mK 级的漏热约在 $q_w \sim 1$ nW 量级,而当前超导架构典型配置为每比特 2 至 3 根线(驱动、偏置与读出复用分摊),取 $m = 2.5$。代入千比特规模,$Q_{\mathrm{tot}} \approx 2.5 \times 10^3 \times 1\ \mathrm{nW} = 2.5\ \mu\mathrm{W}$;而主流大型稀释制冷机在 10 mK 温级的冷却功率仅约 $P_c \sim 10\ \mu\mathrm{W}$ 至 $20\ \mu\mathrm{W}$。也就是说,千比特系统的布线漏热已吃掉最低温级冷却预算的一到两成,再叠加信号耗散、衰减器发热与测量回波,预算迅速见底。反过来可以估算给定制冷能力下的比特数上限:

$$n_{\max} = \frac{\eta_b P_c}{m \cdot q_w} \tag{式 7-5}$$

其中 η_b 为允许分配给布线漏热的功率占比。取 $\eta_b = 0.3$、$P_c = 20\ \mu\mathrm{W}$,得 $n_{\max} \approx 2.4 \times 10^3$,即在"一比特多线直连"的传统方案下,单台制冷机的承载能力上限就在数千比特量级。而容错量子计算所需的百万物理比特若仍按此方案布线,总漏热将达 $2.5\ \mathrm{mW}$,超出现有 10 mK 级冷却功率两个数量级以上——这个简单除法宣判了直连布线路线在容错时代的死刑,也解释了为什么低温复用、低温 CMOS 控制与光互连被普遍视为绕不开的方向:要么把每比特线数 m 压低一到两个数量级,要么把控制电子学整体搬进低温,不存在第三条渐进改良的道路。

布线瓶颈的第二个层面在于电磁完整性。微波控制与读出链路需要在极低噪声、高稳定性和严格相位一致的条件下工作，任何不合理的线缆布局、阻抗失配、反射回波、寄生耦合和封装谐振，都可能直接映射为门操作误差和读出保真度下降。当布线密度升高时，线与线之间、线与封装腔体之间、线与基板之间的寄生耦合更难完全建模和屏蔽，导致理论设计与实际运行之间出现系统性偏差。进一步地，量子芯片封装还必须兼顾机械稳定性、热收缩一致性和低损耗材料兼容性，否则即便电路设计本身优秀，也可能在封装后的降温过程中引入新的缺陷源。

互连问题还牵涉到模块化扩展的可行性。如果未来大规模容错量子计算不能依靠单芯片无限扩张，而需要走向多芯片模块互连，那么芯片间耦合、低损耗互连、低温交换以及跨模块同步就会成为新的核心难题。量子态的传递不像经典比特那样可以容忍中继和重传，任何接口引入的损耗、时延抖动或相位不稳定都可能毁掉整体保真度。芯片间纠缠链路的保真度与生成速率还必须与芯片内门操作保持匹配:若跨芯片纠缠的错误率比片内双比特门高一个数量级,纠错码在跨越模块边界处就需要额外的码距冗余,模块化带来的规模收益会被边界开销部分吞噬。因此，量子布线与互连不应被视

为后端配套问题，而应前置为体系架构设计的基本约束。只有把二维平面布局、三维封装、低温互连和模块化扩展一起纳入设计，量子芯片才可能真正跨越从实验样品到工程平台的门槛。

- **热负载约束严苛**: 每一根控制线都可能把室温热噪声和热量带入低温级，限制系统可扩展性。
- **收支算术划定上限**: 纳瓦级单线漏热乘以线数,对照 10 mK 级微瓦量级冷却功率,直连方案的承载上限在数千比特。
- **电磁完整性敏感**: 阻抗失配、寄生耦合与腔体模态会直接降低门保真度和读出稳定性。
- **模块化互连尚未成熟**: 多芯片扩展需要解决低损耗、低延迟和高同步性的量子接口难题。

7.1.4 纠错解码的实时性

量子纠错常被理解为通过增加冗余量子比特来换取稳定逻辑量子比特，但这一表述只揭示了问题的一半。另一半更困难的挑战在于，纠错并不是静态存储冗余，而是一个需要持续测量、快速解码、及时反馈和长期稳定运行的动态闭环系统。以表面码为代表的主流方案要求系统周期性读取大量辅助比特的综合症信息，再由经典处理器在极短时间内判断最可能发生的错误链并给出校正策略。如果解码速度跟不上综合症产生速度，即使物理层误差已经低于阈值，逻辑错误仍会因为反馈滞后而累积。因此，量子纠错的瓶颈不仅在"码是否足够好"，更在"解码是否足够快、足够稳、足够可扩展"。

实时性挑战首先来自数据量和时序压力。一个中等规模的纠错阵列在每个循环中就会生成大量测量结果，而容错系统又要求这些结果在下一个甚至当前若干周期内被处理完毕，以便支持主动反馈、门调度和错误跟踪。综合症数据的产生速率可以直接估算。表面码中辅助比特数与数据比特数大致相当,每个纠错周期每个辅助比特产出一比特测量结果,故数据率为:

$$R_{\text{syn}} \approx \frac{n}{2} \cdot f_c \tag{式 7-6}$$

其中 n 为物理比特总数,f_c 为综合症提取频率。超导平台典型周期约 1 μs,即 $f_c = 10^6$ Hz。代入千比特芯片,$R_{\text{syn}} \approx 5 \times 10^8$ bit/s,即约 0.5 Gbps;代入容错所需的百万比特,数据率达 5×10^{11} bit/s，即 0.5 Tbps 量级——相当于一条大型数据中心骨干链路的持续吞吐,而且这些数据必须以微秒级确定性时延流出制冷机、完成解码并将校正决策回注控制系统。解码时延预算同样可以写成硬约束:

$$t_{\text{dec}} \leq \frac{\kappa}{f_c} \tag{式 7-7}$$

其中 t_{dec} 为单轮综合症的平均解码耗时,κ 为系统允许的积压周期数(通常为个位数)。取 $\kappa = 1$、$f_c = 10^6$ Hz,解码器必须在 1 μs 内完成一轮匹配运算。通用 CPU 上的最小权完美匹配解码往往耗时数十微秒到毫秒量级,与预算相差一到三个数量级,这正是 FPGA、ASIC 专用解码器以及并行滑动窗口解码近年成为热点的根本原因。随着码距增加，综合症数据吞吐量和图匹配复杂度迅速上升，传统离线算法虽然精度较高，却未必适合低延迟硬件实现。其关系并非简单地用更强 CPU 或 GPU 就能解决，因为量子控制系统要求确定性时延、稳定抖动上界和长期无中断运行，这与通用计算平台追求平均吞吐的模式存在本质不同。换言之，纠错解码正在把量子芯片问题推向"量子硬件与专用经典硬件共设计"的新阶段。

进一步说，实时解码还会反向塑造量子芯片架构。若解码器无法承受过于复杂的连接拓扑和测量模式，芯片设计就必须简化耦合结构和门序列；若控制电子学无法在低时延下完成局部闭环，算

法编译层就需要重新安排测量与反馈的时间预算。也就是说，量子纠错并非建立在一个已经完成的量子芯片之上，而是在倒逼芯片、控制器、互连和编译器共同演进。值得注意的是,解码的经典算力与功耗本身也构成规模化成本:若每轮解码需要经典处理器执行 10^4 次基本运算,百万比特系统的解码算力需求即达每秒 5×10^{15} 次运算量级,已接近一台中型超算的持续输出,这部分隐性开销必须提前纳入系统能耗与成本核算。未来谁能够在纠错解码的实时性上率先建立工程闭环,谁就更接近真正可扩展的容错量子计算平台。

- **纠错是动态闭环**: 测量、解码、反馈和调度必须在严格时序窗口内协同完成。
- **数据率可观**: 微秒级周期下,千比特阵列综合症流约 0.5 Gbps,百万比特达 0.5 Tbps 量级。
- **低延迟比高吞吐更关键**: 纠错控制强调确定性时延与稳定抖动上界，不只是平均算力。
- **解码能力反向约束架构**: 芯片拓扑、测量节奏和编译策略都要服从实时纠错需求。

7.1.5 应对策略:材料攻关/3D集成/低温电子学/算法-硬件协同设计

针对上述技术挑战，量子芯片的发展路径必须从单点突破转向多层协同，尤其不能再把相干时间、比特数量或单门保真度视为彼此独立的优化指标。材料攻关首先仍是基础。无论是超导薄膜、约瑟夫森结、介质界面，还是半导体量子点中的杂质控制与应力管理，器件物理层的缺陷密度决定了噪声地板。未来的关键不只是获得更高平均性能，更是获得可重复、可预测、可批量复制的低缺陷材料体系，从而为规模化制造奠定稳定起点。材料研究必须从"做出一个好器件"转向"建立一套稳定工艺窗口"，这才是真正面向产业的技术成熟。从数量级上看,材料改进的杠杆效应极为可观:两能级系统缺陷密度每下降一半,介质损耗主导的比特弛豫时间近似翻倍,按式 7-1 与式 7-2 传导,可执行门深与线路保真度随之同步改善,其系统级收益往往超过在控制层做十倍投入的补偿式优化。这正是"源头治理优于末端补救"在量子工程中的具体体现。

3D 集成则是破解布线、互连与模块化难题的重要方向。平面布线在几十到上百比特后会显著受限，而通过倒装芯片、硅通孔、中介层、分层封装与多芯片模块化互连，可以把控制、读出、滤波和量子核心芯片在空间上重新分配，缓解二维布局拥挤与热管理矛盾。当然，三维集成并不是简单堆叠，它要求材料热膨胀系数匹配、低温可靠互连以及封装电磁仿真能力同步提升，否则可能把问题从平面转移到界面。低温电子学同样是未来关键支柱。如果更多放大、复用、开关和初级控制功能能够下沉到低温级，室温到毫开尔文之间的连线数就有机会显著减少，从而同时降低热负载和布线复杂度。对照式 7-5 的收支模型,低温复用若能把每比特等效线数从 2.5 压到 0.1 以下,同一台制冷机的布线承载上限即可从数千比特抬升到数万乃至更高;而低温 CMOS 控制芯片工作在 4 K 级,该温区冷却功率以瓦计,比 10 mK 级宽裕五个数量级,把功耗大户安置在预算宽裕的温区,正是热学意义上的"梯级泄洪"。不过 4 K 级电子学自身的功耗与噪声回灌仍需精细管理,每通道毫瓦级功耗乘以数千通道同样会逼近 4 K 级预算,低温电子学不是免费午餐,而是把不可能问题转化为可优化问题。

更重要的是，算法—硬件协同设计必须成为主流方法论。过去很多研究以算法需求和物理实现相互分离的方式推进，导致编译器在后端被动适配高误差硬件，或硬件为了追求局部指标而偏离应用可行性。未来应从目标应用出发，联合考虑可用门集、原生耦合图、测量能力、纠错码结构与编译优化空间，在架构层提前决定哪些能力应由器件承担，哪些应由控制器吸收，哪些应由编译器与算法规避。协同设计的收益同样可以定量感知:编译层把线路深度压缩百分之三十,按式 7-2 等效于把

门误差率降低百分之三十,而后者在器件层可能意味着数年材料攻关;纠错码结构若能适配硬件原生拓扑省去一层映射,物理比特开销可下降数成。量子芯片的可扩展性并不会自然涌现,而是来自材料、器件、封装、电子学、控制与软件栈的共同收敛。只有把这些链条视为一个技术系统来治理,技术挑战才可能被逐步压缩到可工业化管理的范围之内。

- **材料攻关**: 降低缺陷密度与界面损耗，把器件性能从偶然最优推进到工艺稳定最优。
- **3D 集成**: 通过分层封装与模块化互连缓解平面布线、热管理和扩展性瓶颈。
- **低温电子学**: 将部分控制与读出功能下沉到低温级，减少长距离线缆与热泄漏。
- **协同设计**: 让算法、编译、控制与硬件共同定义系统能力边界，而非各自孤立优化。

7.2 工程与制造挑战

7.2.1 工艺一致性与良率

量子芯片从实验室走向工程化，最先暴露出的往往不是单个器件能否工作，而是同一批次器件能否在足够一致的参数范围内稳定工作。经典半导体产业已经形成以工艺窗口、统计过程控制和良率提升为核心的成熟方法，但量子芯片由于对微小缺陷极度敏感，使得工艺波动的影响被显著放大。对于超导路线而言，薄膜表面粗糙度、氧化层厚度、刻蚀侧壁、约瑟夫森结尺寸偏差乃至清洗残留，都会改变频率分布、非谐性、损耗角和器件寿命。少量偏差在经典电路中可能仍处于容忍范围，但在量子系统中却可能直接造成频率碰撞、相干时间下降或双比特门无法标定，最终使整片芯片的可用率低于预期。

良率随规模的恶化速度可以用最朴素的乘法模型刻画。若单个量子比特单元(含其耦合器与读出谐振腔)达到规格的概率为 y,且各单元缺陷近似独立,则一片 n 比特芯片全部单元同时合格的概率为:

$$Y_n = y^n \tag{式 7-8}$$

其中 Y_n 为整片芯片的全好良率。这个指数式的残酷性远超直觉:即便单元良率高达 $y = 0.999$,千比特芯片的全好概率也只有 $Y_{1000} = 0.999^{1000} \approx \exp(-1) \approx 37\%$;若 $y = 0.99$,则 $Y_{1000} \approx \exp(-10) \approx 4.5 \times 10^{-5}$,意味着平均要流两万多片才能撞出一片全好芯片——期望流片次数是全好良率的倒数,即 $E_{\text{chip}} = 1/Y_n = y^{-n}$。把目标推到容错所需的百万比特,即便单元良率达到惊人的 $y = 0.999999$(百万分之一缺陷率),$Y_{10^6} \approx e^{-1} \approx 37\%$ 才勉强可行——换言之,"全好芯片"路线要求单元缺陷率与比特规模的乘积维持在个位数以内,这已经逼近甚至超过成熟 CMOS 存储器工艺的水平。这组算术直接催生了两条工程共识:其一,大规模量子芯片必须像 DRAM 与闪存一样内建冗余与缺陷容忍机制,允许一定比例的坏比特被绕开而非报废整片;其二,纠错码本身要具备"绕开死比特"的柔性,使物理缺陷转化为码距的局部折损而非全局失效。良率问题由此从制造问题上升为架构问题。

良率问题之所以棘手，在于量子芯片的"有效良率"不是简单按电学通断统计，而是按系统可校准、可运行、可长期维持计算精度来定义。一片拥有高物理完好率的芯片，若其中若干关键耦合器件性能离散过大、部分读出谐振腔偏频过多，整机仍可能难以进入可用窗口。其关系并非单点失效决定全局，而是系统最薄弱环节往往主导最终性能上限。这就要求制造环节不仅追求平均工艺指标，更要压缩分布尾部，减少异常器件比例。以约瑟夫森结为例,结电阻的晶圆内离散度每收窄一个百分点,比特频率分布随之收窄,频率避碰的成功率显著上升;经验上,结电阻相对离散度需要压到百分

之一二以内,千比特级频率规划才有可行解。量子芯片制造因此会更强调统计一致性、版图可制造性和工艺可追溯性，而不是仅追求单次样片中的最佳纪录。

从产业角度看，工艺一致性与良率也是量子芯片成本能否下降的前提。如果每一代芯片都依赖经验丰富的团队做大量手工筛选、逐片补救和个性化调参，那么制造规模一旦扩大，成本、周期与人才负担都会急剧上升。只有当工艺差异能够被量化、预测并稳定控制，后续的自动化封测、批量校准和产品交付才有现实基础。量子芯片制造的真正门槛，因而不是"能做出一片可运行芯片"，而是"能否批量做出多片参数分布可控的芯片"。

- **工艺波动放大效应强**: 微小缺陷就可能导致频率碰撞、寿命下降和门标定失败。
- **良率指数衰减**: 全好概率按单元良率的比特数次幂坍缩,千比特级必须内建冗余与缺陷容忍。
- **有效良率定义更严格**: 量子芯片要求不仅器件完好，更要整机可校准、可运行、可维持性能。
- **量产基础在一致性**: 工艺分布收窄比单片纪录更关键，是后续自动化和降本的前提。

7.2.2 测试验证的时间成本(逐比特校准)

量子芯片的工程难度不仅体现在制造环节，更体现在制造之后漫长而高成本的测试验证流程。与经典芯片可以通过标准化电测手段快速完成大量筛查不同，量子芯片往往需要在低温环境中逐个器件、逐组耦合、逐类门操作进行精细表征和校准。这种逐比特校准不是附属工作，而是系统能否投入运行的必要前提。一个中等规模量子处理器，往往需要完成频谱扫描、T1/T2 测量、读出优化、脉冲整形、串扰评估、双比特门参数搜索、漂移补偿和长时间稳定性验证等一整套流程，任何一个环节失准都会在后续任务中放大为计算错误。

校准总耗时同样可以建立粗粒度模型。设单比特全套表征与调优平均耗时 a,每条耦合边的双比特门标定平均耗时 b,可并行度为 s(受限于读出复用与仪器通道数),则一轮全量校准的墙钟时间约为:

$$T_{\mathrm{cal}} \approx \frac{an + bkn/2}{s} \tag{式 7-9}$$

其中 n 为比特数,k 为平均近邻数。以串行经验值 $a \sim 30$ 分钟、$b \sim 60$ 分钟、$k = 4$ 代入,百比特芯片的串行校准量约 $30 \times 100 + 60 \times 200 = 15000$ 分钟,即十天有余;若并行度 $s = 10$,压缩到一天量级;千比特芯片在同样并行度下则需十天以上。而系统参数的漂移时间尺度往往只有数小时到数天,这意味着当 T_{cal} 与漂移周期同量级时,全量重校在数学上就不可持续——校准还没做完,前面标定的参数已经失效。可行的出路只剩三条:大幅提升并行度 s(受制冷机通道与读出复用能力约束)、大幅压缩单项耗时 a 与 b(依赖智能寻参把网格扫描换成贝叶斯优化,常见可提速一个数量级)、以及放弃全量重校改为漂移触发的局部增量校准。工程实践中三者必须并举,任何单一手段都无法把千比特系统的维护成本压进可运行窗口。

时间成本之所以巨大，在于量子系统具有明显的时变特征。即便初次校准成功，器件频率、偏置点、放大链噪声和环境条件仍可能随时间漂移，因此校准不是一次性交付，而是持续性维护。随着比特数增加，校准参数呈爆炸式增长，很多参数之间还具有耦合关系，导致简单并行化并不能完全解决问题。其关系并非"多配几台仪器"即可线性提速，而是必须在校准算法、实验设计与控制平台上整体重构，使大量参数搜索从人工经验驱动转向自动优化驱动。如果无法显著降低单次校准时间与日常重校成本，量子芯片即便硬件本身达标，也很难具备可持续运行的工程价值。

测试验证成本还会影响产业节奏。样片迭代周期过长，意味着工艺反馈回路缓慢，制造改进无法快速闭环；客户交付前验证过于复杂，则意味着产品化能力不足。未来量子芯片工程体系必须建立更接近半导体与高端仪器行业的方法，即在设计阶段嵌入可测性，在控制层建立自动化采集与诊断，在软件层利用机器学习和统计建模加速参数搜索，把"靠专家盯仪器"的模式逐步升级为"靠平台自校准"的模式。谁先把测试验证时间压缩下来，谁就更有机会率先实现研发效率和商业交付效率的双重跃迁。

- **校准是必要环节**: 量子芯片需要逐比特、逐耦合、逐门操作精细调参，不能省略。
- **参数时变显著**: 漂移使得校准从一次性操作变为持续维护任务。
- **校准与漂移赛跑**: 全量校准耗时一旦逼近漂移周期,系统即失去可维护性,必须转向增量与并行。
- **效率瓶颈在方法升级**: 必须通过自动化、统计建模与可测性设计压缩验证周期。

7.2.3 稀释制冷机等关键设备依赖

量子芯片尤其是超导路线的工程化，还高度依赖稀释制冷机、低噪声微波源、低温放大器、磁屏蔽系统、高速采样与任意波形发生器等一系列关键设备。这些设备不仅价格昂贵、交付周期长，而且很多处于全球供应链相对集中、技术门槛高、维护体系复杂的状态。稀释制冷机作为核心基础设施，其作用不是简单"提供低温"，而是在多级温区中稳定维持极低热负载、机械振动控制和长期连续运行能力。量子芯片实验一旦中断升温，往往意味着重新冷却、重新校准和重新验证，需要消耗大量时间与资源，因此设备稳定性本身就是研发产能的组成部分。

极低温制冷的能耗代价可以从热力学第一性原理估算。在冷端温度 T_c 与热端温度 T_h 之间搬运热量,理想卡诺制冷机的性能系数为:

$$\eta_C = \frac{T_c}{T_h - T_c} \tag{式 7-10}$$

其中 η_C 为每消耗一份功所能搬走的冷端热量比例。代入 $T_c = 10\ \text{mK}$、$T_h = 300\ \text{K}$,得 $\eta_C \approx 3.3 \times 10^{-5}$,即在热力学极限下,从 10 mK 冷端每移走 1 W 热量,至少要在室温端付出约 3 万瓦的功。而真实稀释制冷机远达不到卡诺极限,其技术效率 ξ(实际性能与卡诺极限之比)通常不足百分之一,于是墙上功耗为:

$$W_{\text{wall}} = \frac{Q_c(T_h - T_c)}{\xi T_c} \tag{式 7-11}$$

其中 Q_c 为冷端需移除的热负荷。以典型大型稀释制冷机为例,整机(含压缩机、泵组与循环系统)墙插功率约 2×10^4 至 4×10^4 W,换来的 10 至 20 mK 级冷却功率仅十几微瓦,对应 $\xi \sim 10^{-2}$ 量级,等效"每微瓦冷量千瓦级电费"。据此外推:若百万比特系统经低温电子学优化后最低温级热负荷仍达 100 μW,仅此一级的理想制冷电耗即约 3×10^3 W,乘上技术效率折损后达数十万瓦,再叠加 4 K 级低温电子学的瓦级热负荷(该温区卡诺代价约每瓦冷量 75 W,技术效率折损后约每瓦千瓦级),整机制冷电耗将进入兆瓦区间——与一台中型超算相当。这提示业界:容错量子计算机的运营成本结构中,制冷能耗并非可忽略的杂项,而是与经典协处理、解码算力并列的三大能耗主项之一,任何总体拥有成本测算都必须把式 7-11 的链条完整算进去。

设备依赖的深层问题，在于它会把量子芯片研发从"芯片制造问题"扩展为"整套高端科学装置问题"。如果关键制冷机、低温器件或测试仪表受制于外部供应，项目进度、扩产计划和维护成本都可能被非技术因素牵引。更重要的是，设备接口、控制软件和系统集成能力往往掌握在少数厂商手中，这会影响平台定制能力和国产替代节奏。其关系并非买到设备就万事大吉，而是能否围绕设备建立本地化运维、备件保障、故障诊断和二次开发能力，决定了一家机构或企业是否具备可持续的工程能力。

随着量子芯片走向更大规模，关键设备的约束还会进一步上升。更多通道意味着更大机柜空间、更复杂射频布置、更高功耗和更严苛的同步要求；更复杂的低温系统则需要长期维护团队、稳定供应链和标准化运行流程。以控制电子学为例,每个量子比特需要的任意波形通道、采样带宽与实时处理资源折算下来,单比特控制链成本长期处于万元到十万元量级,千比特系统仅室温电子学一项即达千万元级,若无高集成度、低成本的专用控制芯片替代货架仪器,规模化的资本开支曲线将难以收敛。量子芯片产业若要摆脱"小规模演示依赖专家值守"的状态，就必须把关键设备体系视为基础工业能力的一部分，而不是研究项目中的外围采购项。设备能力决定研发节奏，设备自主性决定产业韧性，这在量子芯片领域尤为明显。

- **设备是基础能力**: 稀释制冷机与低温测控链路直接决定量子芯片实验是否可持续运行。
- **制冷能耗有硬下限**: 卡诺极限决定 10 mK 级每瓦冷量至少三万瓦功耗,实际再折损百倍,能耗必须纳入总成本。
- **供应链集中度高**: 关键设备价格高、周期长、维护复杂，易受外部环境影响。
- **系统集成能力关键**: 真正的门槛在于围绕设备形成运维、备件、接口和二次开发体系。

7.2.4 应对策略:量产化工艺移植/自动化校准/国产化替代路径

面向工程与制造挑战，首要策略是推动量子芯片工艺从"实验室定制流程"向"量产化工艺平台"迁移。这并不意味着短期内完全照搬先进 CMOS 流程，而是要识别哪些关键步骤可以在成熟半导体产线中稳定复现，哪些量子特有工艺需要保留定制窗口，再通过工艺模块化实现可控移植。量产化工艺移植的意义，不仅在于提升良率，更在于形成统一的工艺基线，使设计、制造、封测和校准可以围绕稳定参数空间开展协同优化。当器件分布开始可预测，工程体系才有机会从"每片都不一样"的经验主义，转向"按统计规律管理"的工业模式。对照式 7-8 的指数律,工艺移植的目标可以被明确量化:单元良率每提升一个九(如从 0.99 到 0.999),同等全好概率下可承载的比特规模即扩大十倍,这为产线投资的优先级排序提供了直接的换算标尺。

自动化校准是第二根支柱。面对逐比特校准的时间黑洞，仅依赖专家经验和脚本堆叠已难以支撑规模化发展。未来需要建设统一的实验编排系统、自动扫参与诊断平台、基于历史数据的参数初始化模型以及漂移监测与重校触发机制，把校准流程拆分为可并行、可复用、可追踪的标准任务。按式 7-9 的结构,自动化的杠杆作用体现在三个乘除因子上:历史数据驱动的参数初始化把搜索空间收窄,可将 a、b 压缩三到十倍;读出复用与多通道调度可把并行度 s 抬高一个数量级;漂移建模触发的增量校准则把"全量"变成"局部",三者叠加足以把千比特系统的日常维护从数十小时压进小时级窗口。进一步地，还应推动把部分健康状态监测能力嵌入控制软件与硬件层，使系统在运行中持续更新自

身状态估计，而不是等到性能明显下降后再做被动维护。量子芯片的工程效率提升，不仅依赖更好的器件，也依赖更聪明的自运维系统。

第三是建立面向长期的国产化替代路径。国产化并不应被简单理解为所有设备短期内完全替换，而应按照"先可用、再稳定、后高端"的路径分层推进。对制冷、微波源、线缆连接器、低温放大、控制软件和测试平台等环节，应优先识别卡脖子程度高且替代收益明确的节点，通过联合攻关、示范验证和规模采购形成正反馈。与此同时，也要允许在一定时期内保留国际合作与外部采购，以避免因过度封闭导致研发停滞。更合理的思路是以可控替代构建底线能力，以开放合作吸收全球经验，使产业在安全与效率之间获得动态平衡。工程与制造挑战并不可怕，可怕的是没有形成体系化的应对路线；一旦路线清晰，量子芯片的产业化障碍就会从不可知难题转变为可分解、可攻关、可迭代的问题集合。

- **工艺移植**: 以成熟产线能力承接可标准化步骤，形成稳定工艺基线。
- **自动化校准**: 用统一平台、数据驱动和在线监测压缩调试时间与维护成本。
- **国产替代**: 分层推进关键设备与工具链的自主可控，同时保留必要国际协作空间。

7.3 人才与生态挑战

7.3.1 跨学科人才断层(量子物理+微波工程+软件)

量子芯片产业的人才挑战，并不是简单意义上的"人数不足"，而是跨学科复合能力严重稀缺。一个真正能够推动量子芯片从概念走向产品的人，往往既要理解量子物理中的哈密顿量、退相干和纠错原理，又要熟悉微波工程、低温测控、射频封装、芯片工艺，甚至还要掌握控制软件、编译优化和数据分析。这种人才画像天然横跨多个传统学科边界，而现有教育和产业分工大多仍按单学科培养，导致会物理的人不一定懂工程，会硬件的人未必懂软件，会写编译器的人又未必真正理解器件误差结构。其结果是团队内部常常形成知识断层，系统问题难以被准确定位，跨层协同效率明显低于需要。

供需缺口的演化趋势可以用一个双指数模型做粗略外推。设产业对量子工程人才的需求以年增长率 g_d 扩张,教育与培训体系的合格供给以年增长率 g_s 扩张,则 t 年后的缺口为:

$$G(t) = D_0 \exp(g_d t) - S_0 \exp(g_s t) \tag{式 7-12}$$

其中 D_0、S_0 分别为当前需求与供给基数。行业调研普遍给出的量级是:全球量子产业岗位需求正以每年百分之三十以上的速度增长($g_d \sim 0.3$),而具备两个以上相关学科交叉背景的合格毕业生供给增速大约只有百分之十到十五($g_s \sim 0.1$)。取 $D_0 = 1.5 S_0$(即当前每三个合格候选人对应约四到五个岗位)代入,五年后需求膨胀至 $1.5 e^{1.5} \approx 6.7$ 倍供给基数,而供给仅增至 $e^{0.5} \approx 1.65$ 倍,缺口相对供给的比例从 0.5 扩大到 5 以上——只要增速差 $g_d - g_s$ 维持在 0.2 的量级,缺口每三年半就翻一番。这个简单模型揭示的结构性事实是:靠自然招聘无法填补指数发散的缺口,唯一有效的干预是抬高 g_s,即体系化地扩大交叉培养产能,而这正是教育侧改革的定量依据。

这种断层的严重性，在量子芯片领域被进一步放大，因为很多关键问题本就发生在学科交界处。例如一个双比特门保真度下降，可能来自材料缺陷，也可能来自脉冲整形不佳、射频链串扰、

软件调度冲突或温度波动；如果团队成员只能从单一专业视角解释，就容易出现各说各话、责任悬空和问题反复。量子芯片系统并不允许"只做本学科局部最优"，而要求不同专业在共同目标下建立共享语言、共享指标与共享实验闭环。也正因为如此，复合型人才不仅稀缺，而且培养周期长、流动性高，成为很多机构规模扩张时最难跨越的瓶颈之一。培养周期本身也值得算一笔账:一名博士毕业生若需在实验平台再历练三到五年才能独立承担系统级问题,从本科入学起算的全周期接近十二到十五年,这意味着今天的培养决策要到下一个技术周期才兑现,人才战略必须以十年为规划单位,而不能跟随年度招聘市场波动。

进一步看，人才断层还会影响战略判断。缺乏跨学科能力的团队，往往容易高估单项突破对整体系统的贡献，或者低估工程细节对理论路线的反向约束。这会带来资源错配，例如过度追逐论文指标而忽视平台化能力建设，或盲目扩大团队规模却没有建立跨层协作机制。量子芯片产业如果希望形成真正可持续的创新体系，就必须把人才问题从"招聘难"上升到"知识组织方式难"的高度来理解。复合能力不是靠单次培训临时拼接出来的，而需要长期培养、项目实战与组织机制共同塑造。

- **复合能力要求极高**: 量子芯片需要物理、工艺、微波、控制和软件的联合理解。
- **缺口指数发散**: 需求增速与供给增速之差决定缺口倍增周期,仅靠招聘无法收敛,必须扩大培养产能。
- **问题常发生在交界面**: 许多故障并非单一学科能解释，必须跨层诊断。
- **人才培养周期长**: 复合型工程师难以速成，组织能力建设与个人培养同样重要。

7.3.2 教育体系滞后

现有教育体系对量子芯片产业的支撑力度，整体上仍显著滞后于技术发展速度。高校量子相关课程往往偏向基础物理、量子信息理论或数学描述，而对低温实验、微纳加工、射频测控、EDA 支撑、编译软件和系统工程的训练相对薄弱。即便部分高校和研究机构开始设立量子工程、量子信息或集成电路交叉方向，也常因课程体系分散、实验条件有限、产业接口不足而难以形成高质量闭环。学生在课堂中能够理解量子门和纠缠概念，但真正进入实验室或企业后，面对制冷系统、矢量网络分析仪、脉冲调制链路和工艺流程控制时，往往需要从头适应。

教育滞后不仅体现在内容设置上，也体现在训练目标上。经典学科教育通常以培养"学科内合格人才"为目标，而量子芯片更需要"系统级问题解决者"。这意味着课程设计不能只是把量子力学、射频电子学、半导体工艺和软件工程简单并列，而必须围绕实际系统组织知识，让学生理解一项指标如何跨越多个层级被定义、测量和优化。其关系并非多开几门选修课即可解决，而是要重构培养路径，使学生在更早阶段接触真实设备、真实数据和真实工程约束。没有工程场景，跨学科教育就容易停留在概念层面；没有产业接口，学生能力就难以转化为生产力。

教育投入的经济账也应当摊开来算。一套可供教学的低温测控实验平台,从稀释制冷机、微波链路到控制软件,建设成本以千万元计,年运行维护费用以百万元计,单一院系很难独立承担,这正是实验训练环节普遍缺位的经济根源。可行的替代路径包括三层:其一是区域共享实验平台,由多所高校与企业联合出资、按机时分配,把人均实验成本摊薄一个数量级;其二是云接入的真机实验课程,让学生在受控配额下完成表征、校准与线路运行的完整闭环,把"接触真实噪声"的门槛从千万元压到近乎零;其三是高保真模拟器与数字孪生,在参数漂移、串扰和读出误差层面复刻真机行为,承担八成以上的日常

训练量。三层结构使有限的真实设备资源集中投放在最需要物理直觉的训练环节,教育产能才可能按式 7-12 所要求的速率扩张。

此外，教育体系滞后还会在产业扩张阶段形成供给断档。量子芯片企业或实验平台一旦进入快速建设期，对实验工程师、工艺工程师、测控开发、固件开发、算法工程师和应用科学家的需求会同时上升，而教育系统往往难以在短时间内提供结构匹配的人才。结果要么是企业彼此争抢少量成熟人才，推高成本并带来高流动性，要么是大量招聘后不得不投入很长时间再培训，影响研发效率。要解决这一问题，教育侧必须更早介入产业需求，以"基础理论+工程实践+系统项目"为三位一体重塑培养链条。

- **课程结构偏理论**: 量子基础课程较多，但工程、工艺和系统软件训练不足。
- **培养目标错位**: 产业需要系统级解决者，而传统教育多按单学科能力组织。
- **实验训练成本高**: 共享平台、云真机与数字孪生的三层结构是摊薄训练成本的现实路径。
- **供给与需求脱节**: 产业扩张时最缺的往往是可直接上手的工程型人才。

7.3.3 开发者生态薄弱

量子芯片要形成真正可持续的产业生态，不能只依赖少数实验室和头部企业，还需要围绕软件工具、算法库、云平台、教育资源和应用社区形成广泛的开发者生态。然而当前量子领域的开发者生态整体仍较薄弱，主要表现为工具链碎片化、硬件接口差异大、真实可运行资源稀缺以及从学习到实战的路径不连续。很多开发者可以在模拟器上运行简单线路，但一旦接触真实硬件，就会发现门集限制、拓扑约束、排队时延、噪声模型偏差和结果统计解释都远比教程复杂。这种断裂使得生态很难像经典芯片、云计算或 AI 那样快速积累大量应用层开发者。

生态规模的差距可以用可比数字直观呈现:全球活跃软件开发者数量以千万计,机器学习框架的月活跃开发者以百万计,而量子编程框架的活跃用户合计只有十万量级,真正在真机上定期提交任务的开发者恐怕不足万人量级——生态漏斗每收窄一层就损失一个数量级。漏斗收窄的关键节点在于真机体验:模拟器免费即得,真机排队却以小时计,单次实验的等待成本比经典云计算高出两到三个数量级。若以生态学习曲线视角看,开发者社区的知识积累速率大致与活跃人数成正比,当基数相差两个数量级时,教程、案例、问答与工具沉淀的速度也相应落后,从而进一步抬高新人门槛,形成负向循环。打破循环的着力点因此非常明确:压缩真机访问的等待时间与成本、稳定接口语义、丰富可复现案例,让漏斗每一层的转化率提升数倍,生态总量才能实现数量级跃迁。

开发者生态薄弱的另一个原因，是量子芯片平台之间缺少足够稳定的共性抽象。不同路线、不同厂商、不同控制系统对门操作、脉冲控制、编译中间表示和校准接口的定义差异较大，导致软件移植成本高、工具复用性弱。其关系并非简单的"接口开放与否"，而是整个产业尚未形成足够成熟的层次边界，很多原本应由底层屏蔽的硬件细节仍不断渗透到上层开发中。结果是生态参与者很难在稳定平台上积累长期成果，应用开发常常受制于硬件细节波动，难以形成规模化正反馈。

更现实的问题在于，开发者生态需要成功体验来维持。若大多数学习者接触量子芯片时得到的都是等待时间长、结果噪声大、文档不足和案例稀少的体验，那么其持续投入意愿会快速下降。量子产业若要扩展生态，必须主动降低首次参与门槛，提供层次清晰的 API、标准化示例、稳定的云接入和可解释的运行反馈，让开发者能够在有限成本下获得真实成就感。生态并不是外围装饰，而

是未来应用创新和人才供给的源头，没有开发者生态，量子芯片就容易停留在封闭的科研装置阶段。

- **工具链碎片化**: 软件框架、硬件接口和编译后端差异大，复用成本高。
- **生态漏斗逐层折损**: 从千万级经典开发者到万级真机用户,每层转化率的提升都是数量级杠杆。
- **学习与实战脱节**: 模拟器体验和真实硬件运行之间存在明显能力鸿沟。
- **生态需要正反馈**: 稳定文档、低门槛资源和成功案例是开发者持续参与的基础。

7.3.4 产业链上下游断层与关键环节自主化

人才与开发者生态的短板,还必须放到产业链全景中才能被完整理解,因为生态的载体从来不是抽象的社区,而是一条由上游材料设备、中游设计制造、下游平台应用构成的完整价值链条。就上游而言,量子芯片依赖高纯硅与蓝宝石衬底、铌铝钽等超导薄膜靶材、稀释制冷机及其氦三工质、低温同轴线缆与衰减器、约瑟夫森参量放大器与铟磷工艺的低温低噪声放大器、微波源与任意波形发生器等高端仪器,以及面向量子器件的专用设计与电磁仿真软件;中游涵盖芯片版图设计、微纳加工代工、低温封装、晶圆级测试与整机集成;下游则由云接入平台、编译与算法软件、行业应用服务和最终用户构成。这条链上的每一个环节都同时是技术节点、市场节点与人才节点:环节缺失不仅意味着采购依赖,更意味着相应的岗位、经验与隐性知识在本土生态中长期空缺,教育体系培养出的人才也因缺少对口位置而流失。理解生态挑战,必须先把这张链条图完整摊开。

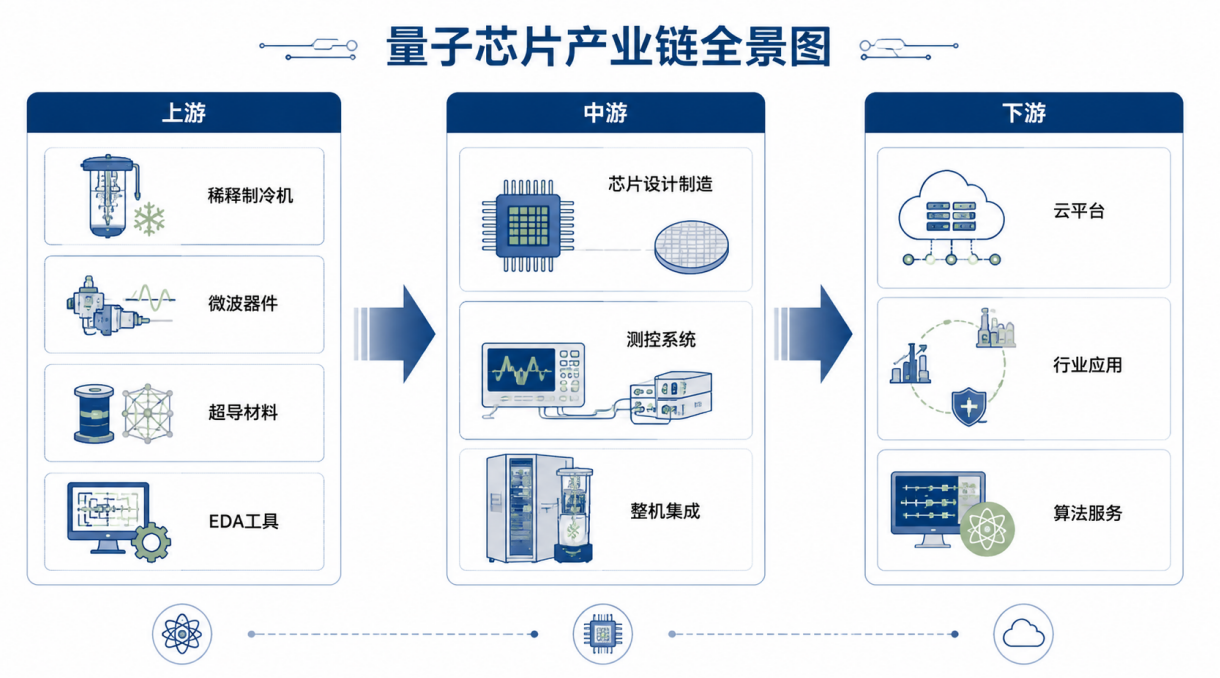


图 7-2 量子芯片产业链上下游全景

从图 7-2 可以看出,链条的薄弱环节高度集中在上游设备与材料侧。稀释制冷机的全球供给长期集中于少数厂商,标准机型交付周期以年计,大冷量定制机型更长;其核心工质氦三是核工业氚衰变的副产物,全球年供应量仅以千升量级计且来源高度集中,过去二十年价格上涨了一个数量级,任何供给波动都会直接传导为整机交付风险。低温低噪声放大器是读出链路的信噪比咽喉,其铟磷高电子迁移

率晶体管工艺全球只有少数几家机构掌握成熟产品化能力;近量子极限的约瑟夫森参量放大器虽然原理公开,但可批量交付、参数一致的商用货源同样稀缺。低温同轴线缆、超低温衰减器、非磁连接器这类看似不起眼的无源器件,单价不高却决定系统装配质量,国内已有可用替代,但批次一致性与低温老化数据的积累仍需时间。国产干式稀释制冷机近年已实现 10 mK 级连续运行并进入小批量交付阶段,这是产业链自主化最具标志性的进展,但在极限冷却功率、连续无故障运行时长与全球化售后体系上与头部厂商仍有代差。

关键环节自主化的经济可行性,可以借用制造业通行的学习曲线模型来估算:

$$C(x) = C_0 x^{-b} \tag{式 7-13}$$

其中 x 为某一环节的累计交付量,C_0 为首台套成本,b 为学习指数,其含义是累计产量每翻一倍,单位成本降为原来的 2^{-b}。复杂科学仪器行业的经验学习率大致在百分之十五到二十之间,对应 $b \sim 0.23$ 至 0.32。代入即可看出订单规模的杠杆作用:国产稀释制冷机若能把累计交付量从个位数提升到百台量级,约相当于四次以上翻倍,单位成本可望下降百分之五十到六十,同时可靠性数据、工艺细节与维护经验随交付量同步积累,形成价格与质量的双重收敛。反过来,若市场长期被分散的进口采购占据,本土供应商始终停留在学习曲线的起点附近,成本与性能的差距只会固化。这条算术说明,上游自主化的关键瓶颈往往不在单点技术攻关,而在能否组织起足以驱动学习曲线下行的持续订单流——分散的、一次性的采购养不活任何一个上游环节,区域共享平台、跨机构集中采购与首台套应用政策的定量依据正在于此。

产业链与人才生态之间还存在方向相反的两种循环。当上游环节空缺时,相关方向的毕业生找不到对口岗位,教师缺少真实工程问题反哺教学,供应链经验无法本土沉淀,进口依赖进一步加深,这是负向循环;而一旦某个环节形成本土供应能力,岗位、课题、实训场景与供应商竞争会同时出现,吸引更多人才进入并反过来加速该环节成熟,这是正向循环。两种循环的切换点,往往就在最初几十台套订单能否被组织起来。因此产业链治理与人才治理不应分开设计:每一项关键设备的国产化专项,都应同步配置人才培养与共享使用条款;每一个区域共享平台的建设,都应把上游供应商的产品验证纳入平台功能,让链条各环节在同一个生态中相互喂养。

- **链条即生态**: 产业链每个环节同时承载技术、市场与人才,环节空缺意味着生态位空缺。
- **上游集中度最高**: 稀释制冷机、氦三工质与低温放大器是当前依赖度与断供风险最高的节点。
- **学习曲线定杠杆**: 累计交付量翻倍带来成本按固定比例下降,订单组织能力决定自主化速度。
- **双循环存在切换点**: 集中采购与共享平台能把负向依赖循环扭转为正向积累循环。

7.3.5 应对策略:学科交叉培养/开源社区/云平台降门槛

面对人才与生态挑战，首要任务是建立真正面向系统问题的交叉培养机制。高校层面应推动量子信息、微电子、电子工程、自动化、计算机和材料学科联合开课，并通过联合实验室、跨院系项目和企业实习把知识串联到真实系统上。企业与研究机构则应构建分层人才培养路径，对器件、工艺、测控、软件和应用岗位分别设定明确成长路线，同时培养一批能够跨层沟通的系统架构人才。量子芯片领域尤其需要"懂两层以上"的骨干，而不是每层都完全隔离的专业孤岛。从式 7-12 的视角看,交叉培养的政策目标可以量化为把供给增速 g_s 从百分之十抬升到与需求增速相当的百分之三十:

按每个联合培养基地年产出五十名合格工程师估算,要在五年内新增万人级供给,需要建设数十个稳定运转的基地,这为教育资源配置给出了明确的规模底数。

开源社区是激活开发者生态的第二支柱。量子领域已经出现若干具有影响力的开源框架，但未来更需要把开源从算法演示延伸到编译器、校准工具、噪声建模、运行时监控和实验数据分析等更贴近真实工程的层面。开源不仅能够降低重复造轮子的成本，更重要的是形成共享问题空间，让学术界、产业界和个人开发者围绕统一工具持续积累经验。其关系并非代码是否公开这么简单，而在于是否形成透明的接口、可贡献的模块和可复现的实践路径。只有当更多开发者能够在同一套工具栈上贡献、复现和改进，生态才会从展示性社区成长为生产性社区。

云平台则是降低门槛的关键抓手。真实量子硬件昂贵且稀缺，不可能要求每个学习者或企业都自建平台，因此通过云接口提供分层访问能力，是扩大用户基础的现实路径。基础用户可以通过模拟器和教学机熟悉编程模型，进阶用户可以在受控配额下访问真实量子芯片，高阶研究者则可以获得更底层的脉冲与校准接口。云化的经济学逻辑同样清晰:一台千万元级的量子系统若仅供单一团队使用,人均资本占用极高;接入云端后按任务切分机时,同一系统可服务数千名活跃开发者,人均门槛被摊薄三个数量级,这正是经典算力从主机时代走向云时代的同一条曲线。这样的分层云平台不仅提升资源利用率，也为教育、科研与产业应用搭建共同入口。未来量子芯片要形成繁荣生态，必须把"少数专家独占设备"的模式逐步转变为"多层用户共享平台"的模式，让更多人能够在真实约束中学习、开发和验证。

- **交叉培养**: 通过跨院系课程、联合实验和产业实习塑造系统级复合人才。
- **开源社区**: 把共享范围扩展到编译、校准、监控与数据分析工具，形成可复现实践链。
- **云平台**: 以分层访问机制扩大真实硬件触达面，降低学习和创新门槛。

7.4 安全挑战

7.4.1 "先存后解"与PQC迁移窗口期

量子计算尚未全面进入可破解大规模公钥密码的阶段，但安全领域最现实的威胁，并不要求攻击者今天就拥有容错量子计算机。所谓"先存后解"，是指攻击者先行窃取并长期存储当前加密保护的数据，待未来具备足够强的量子破解能力后再集中解密。对于具有长期敏感性的政府、金融、医疗、科研和基础设施数据而言，这种威胁窗口已经在今天开启。也就是说，量子芯片能力尚在发展中，密码迁移的时钟却已经开始倒计时。量子产业的发展因此不仅是算力进步问题，也正在重塑数字安全的时间结构。

迁移窗口的紧迫性可以用一个广为引用的时间不等式精确表述。设数据需要保持机密的年限为 t_y,完成后量子密码迁移所需的年限为 t_x,具备密码学意义的容错量子计算机出现还需 t_z 年,则只要下式成立,风险就已经发生:

$$t_x + t_y > t_z \Rightarrow R > 0 \tag{式 7-14}$$

其中 R 表示"数据在其保密期内被量子解密"的暴露风险。代入典型量级即可看清窗口之窄:政府与医疗数据的保密要求常达 $t_y \sim 25$ 年,大型机构完成密码基础设施全面迁移的历史经验(参照从 DES

到 AES、从 SHA-1 到 SHA-2 的周期)为 $t_x \sim 10$ 年,而主流技术预测把密码学相关量子计算机的出现区间放在 15 到 30 年内,即 $t_z \sim 20$ 年上下。于是 $t_x + t_y \approx 35$ 年,显著大于 t_z,不等式已经成立——这意味着对于今天新产生的长保密期数据,即便立刻启动迁移也已处于风险区,每推迟一年启动,暴露面就再扩大一年。破解所需的量子资源同样可以给出量级参照:按公开文献的资源估算,分解 2048 位 RSA 大数约需两千万量级的含噪物理量子比特连续运行数小时,与当前千比特级平台相差四个数量级;但式 7-14 的要义恰恰在于,防守方的时间表不取决于攻击方今天的能力,而取决于攻守双方时间曲线的交点。

PQC，即后量子密码迁移的难点，不在于是否存在候选算法，而在于大规模系统迁移涉及协议、硬件、安全模块、证书体系、兼容性测试和运维策略的全面调整。大量关键系统依赖长生命周期设备和复杂供应链，其升级周期以年计甚至十年以上，远慢于威胁认知传播速度。其关系并非"发布新算法标准"即可完成，而是需要在不同场景中区分哪些数据必须立即加固，哪些系统可采用混合部署，哪些基础设施需优先建立密码敏捷性。若产业和监管对迁移窗口期认识不足，就可能在量子能力真正到来前留下大面积历史债务。

从量子芯片视角看，"先存后解"问题还会影响行业公共认知。外界容易把量子计算等同于对传统密码体系的颠覆，从而产生夸大式焦虑；但更准确的理解应是，威胁与迁移是一个长周期并行过程，关键在于尽早建立路线图、资产清单和优先级策略。量子芯片产业越发展，PQC 迁移就越不能停留在学术讨论，而必须进入工程实施、采购标准和合规审计层面。谁能更早完成密码敏捷转型，谁就能在未来量子时代拥有更高的安全韧性。

- **威胁已提前发生**: 敏感数据可能在今天被窃取并在未来量子能力成熟后被解密。
- **时间不等式已成立**: 迁移年限加保密年限超过量子机到来年限,长保密期数据当下即处风险区。
- **迁移是系统工程**: 算法标准只是起点，协议、设备和运维都要同步调整。
- **时间窗口有限**: 长周期系统若不尽早规划，将在未来积累难以消化的升级债务。

7.4.2 量子供应链安全

量子芯片作为高度复杂的高技术系统，其安全边界早已超出芯片本体，而延伸至材料、工艺设备、控制电子学、低温部件、软件工具链、固件、云接口和运维体系。供应链安全问题之所以突出，在于量子产业规模尚小、标准尚弱、供应商集中度较高，很多关键环节具有明显的单点依赖。若上游材料纯度、关键器件一致性、控制固件可信性或软件工具链完整性出现问题，下游用户往往很难通过常规方法快速检测。其结果不是简单性能下降，而可能是隐蔽失效、后门风险、数据泄露或研发停摆。

供应链的脆弱度可以用简单的可靠性乘法感知。一台可运行的超导量子系统大约依赖十个关键环节(制冷、低温线缆、放大器、微波源、采样系统、屏蔽、芯片代工、封装、控制软件、云接口),若每个环节在一年内不发生断供或重大质量事故的概率为 p,且各环节近似独立,则整链年度无事故概率为 p^{10}:当 $p = 0.95$ 时整链可靠度只有 $0.95^{10} \approx 60\%$,当 $p = 0.9$ 时跌到 35%。这解释了从业机构的普遍体感——单看每家供应商都算可靠,合起来却几乎年年出事。乘法结构同时指明了治理方向:与其平均加固所有环节,不如优先把可靠度最低、且不可替代度最高的一两个环节(通常是稀释制冷机与

高端微波器件)通过双源采购或本地化把 p 抬上去,整链可靠度的改善远大于在已达标环节上继续堆冗余。

供应链安全在量子领域的特殊性，还体现在很多部件兼具科研性与定制性。与成熟半导体产业相比，量子设备和部件常常缺乏统一审计流程、第三方认证体系和大规模现场运行验证，采购方对其可靠性和安全性评估能力有限。其关系并非"选择知名供应商"就能解决，而是需要建立可追溯、可验证、可替代的供应链治理机制。尤其在控制软件、固件升级和远程云接口层面，更要防止因便利性优先而牺牲透明性与可信边界。量子芯片若未来用于关键行业，供应链安全将成为准入门槛而非附加项。

进一步而言，供应链风险还会通过地缘政治和出口管制被放大。当关键设备、材料或软件高度依赖海外少数来源时，任何政策变化都可能冲击研发连续性和交付稳定性。量子供应链安全因此不仅是网络安全问题，更是产业安全和战略安全问题。构建多源供应、可信验证和关键节点替代能力，将是量子芯片产业成熟的必要条件。

- **安全边界跨全链条**: 材料、设备、软件、固件和云接口都可能成为薄弱点。
- **可靠度按环节相乘**: 十个九成可靠的环节串联后整链只剩三成五,补短板优于堆冗余。
- **审计难度较高**: 定制化和小规模使很多部件缺乏成熟第三方验证体系。
- **地缘因素放大风险**: 关键环节受外部限制时，研发和交付稳定性会同时受损。

7.4.3 双重用途技术的扩散风险

量子芯片技术具有鲜明的双重用途属性，即同一套核心能力既可服务于科研、医药、材料和工业优化，也可能被用于密码攻击、敏感建模、战略模拟和高端国防技术支撑。双重用途本身并不意味着技术应被压制，但它要求治理框架必须比一般新兴产业更早介入。量子芯片的高性能控制系统、低温测控平台、专用算法工具和高精度制造能力，往往不仅服务于量子计算，还可能迁移到其他敏感技术领域。因此，量子技术扩散不是简单"是否开放论文或代码"的问题，而是能力、设备、人才和工艺体系如何流动的问题。

扩散风险的复杂性在于，过度管制会抑制创新与合作，过度开放则可能放大安全外溢。其关系并非二选一，而是要建立分级分类的治理方法，对基础科学交流、通用工程能力和高敏感能力进行差异化管理。对于一些基础理论、教育资源和低风险开发工具，应鼓励开放共享，以促进全球知识积累；而对涉及高端制冷、关键器件工艺、特定控制能力和潜在密码威胁链条的内容，则需要更精细的出口、合作和转让管理。量子芯片产业越接近实用化，双重用途治理越不能停留在原则讨论，而应落实到项目审批、国际合作、设备流转和人才流动规则中。

要把治理做细,首先需要看清能力扩散的具体通道。第一条是有形通道,即设备与器件的转售、转运和再出口,稀释制冷机、低温放大器、高端微波仪器等硬件的流向原则上可以通过许可证、最终用户核查和序列号追溯加以管理,这也是现行出口管制框架最擅长覆盖的部分。第二条是无形通道,即随人员流动、跨境合作与技术服务转移的隐性知识:一套约瑟夫森结的工艺窗口、一份经过数年打磨的校准脚本、一组关于串扰规避的经验规则,这些内容既不在管制清单上,也无法被海关拦截,却往往是复现一条技术路线最关键的要素。第三条是开源与出版通道,脉冲级控制软件、噪声建模工具与纠错

解码实现天然具有两用属性,一篇附带完整参数的论文可能比一台设备承载更多可迁移能力。三条通道中,有形通道最易管、无形通道最难防,而现实中的治理注意力分配恰恰常常与风险分布倒挂。

针对不同通道,治理工具箱也应当分层配置。对有形通道,重点是最终用途与最终用户核查、可信实体白名单和关键部件全生命周期追溯,让合规成本集中在真正高风险的交易上;对无形通道,可行的手段包括敏感岗位的任职与兼职披露、涉密项目的人员流动约定,以及跨境合作协议中对工艺参数颗粒度的事先约定,但必须承认这类手段的效力上限,过度收紧只会把人才推向流动性更高的环境;对开源与出版通道,更现实的做法不是禁止发表,而是建立敏感参数的分级披露惯例,例如公开方法与结论、对可直接复现高敏感能力的工程细节做延迟或脱敏处理,并由领域共同体而非单一行政机构来维护判断标准。三层工具的共同前提,是治理机构必须拥有足够的技术分辨率——分不清哪些参数真正敏感的管制,要么形同虚设,要么误伤一片。

还需看到，扩散风险并不只来自跨国转移，也可能来自产业内部认知不足。例如一些机构可能把高敏感能力包装为普通科研合作，或在开源与共享中忽视下游用途评估。没有清晰规则时，治理往往不是过松就是过紧，最终都不利于行业发展。因此，双重用途风险治理的目标不应是冻结技术，而是以更高分辨率识别风险边界，让安全约束与创新动力形成可持续平衡。

- **同源能力可迁移**: 量子芯片相关工艺、设备和算法常可服务于多类敏感场景。
- **扩散有三条通道**: 设备转运可管、隐性知识随人走最难防、开源出版承载的能力常被低估。
- **治理需分级分类**: 基础研究与高敏感能力不能套用同一开放规则。
- **边界识别比一刀切更重要**: 细颗粒度治理才能兼顾安全与创新。

7.4.4 应对策略:密码敏捷性/分级管控/国际协调

安全挑战的治理核心，在于尽快从"单点防护思维"转向"全生命周期韧性思维"。首先必须推进密码敏捷性建设，即让信息系统能够在不彻底重构架构的前提下平滑替换加密算法、密钥长度和认证机制。对政府、金融、电信和关键基础设施而言，建立加密资产清单、识别高敏感长期数据、优先部署混合密码方案和逐步引入后量子密码，应成为近年的基础行动。密码敏捷性并不是某个产品功能，而是一种系统设计哲学，要求所有关键系统默认面向未来算法替换留出接口与治理流程。对照式 7-14 的三个时间量,密码敏捷性的作用可以被理解为直接压缩迁移年限 t_x:具备敏捷架构的系统把算法替换从"重构级工程"降为"配置级操作",历史经验中十年量级的迁移周期有望压缩到两三年,使不等式在更多场景下重新翻转为安全侧成立,这是所有防御手段中杠杆率最高的一项。

其次，应建立量子供应链与双重用途能力的分级管控体系。对低风险通用工具、教育资源和基础研究成果，可维持较高开放度，以保障创新活力；对高敏感设备、核心工艺参数、专用控制能力和关键软件模块，则应根据应用场景、流向主体和可替代程度设定不同管理强度。分级管控的价值在于避免治理粗放化，使真正高风险环节得到重点关注，而低风险创新活动不过度受限。与此同时，产业还应推动供应链透明化、可信认证和关键部件追溯机制，把安全要求嵌入采购、部署和运维全过程。

最后，国际协调不可或缺。量子芯片是全球性技术，不可能完全在封闭体系内独立演进；但如果缺乏基本协调，各国在出口管制、标准体系、密码迁移和科研合作上的碎片化政策又会增加系统摩擦与不确定性。更可行的路径，是在维持必要安全边界的前提下，推动后量子密码迁移标准互

认、低风险基础研究合作、供应链透明规则以及双重用途技术交流边界的共识化。安全治理不是为了阻止技术发展，而是为了让技术发展不以系统性失控为代价。量子芯片的安全竞争，最终比拼的将不是谁先拥有某一台机器，而是谁更早建立兼顾能力增长与风险约束的治理体系。

- **密码敏捷性**: 通过资产清单、混合部署和可替换架构提前应对后量子迁移。
- **分级管控**: 对不同敏感度的能力、设备和成果采用差异化治理强度。
- **国际协调**: 在标准、迁移和低风险合作上形成共识，降低碎片化摩擦。

7.5 政策与治理挑战

7.5.1 长周期投入与短期考核的错配

量子芯片是一项典型的长周期、高不确定性、强基础研究依赖的前沿技术，其发展节奏与传统产业投资逻辑存在明显差异。无论是器件路线选择、工艺平台建设、关键设备国产化，还是容错架构验证和应用落地，很多任务都无法在一两个财务周期内给出清晰回报。然而现实中的科研管理、产业投资和政策绩效考核往往更强调年度指标、短期项目成果和可量化展示，这就造成了明显错配。量子芯片项目最需要耐心资本与持续支持时，往往反而最容易因短期看不到商业化结果而遭遇资源波动。

周期为什么必然漫长,可以从容错开销的算术直接看出。表面码的逻辑错误率随码距 d 指数压低:

$$p_L \approx A\left(\frac{p}{p_{th}}\right)^{\frac{d+1}{2}} \tag{式 7-15}$$

其中 p 为物理误差率,p_{th} 为阈值(约百分之一),A 为量级为一的常数。而每个逻辑比特消耗的物理比特数约为:

$$n_{\text{phys}} \approx 2d^2 \cdot n_L \tag{式 7-16}$$

其中 n_L 为逻辑比特数。把两式串起来做一次完整外推:要支撑有实用价值的算法,逻辑错误率需低至 $p_L \sim 10^{-12}$;在 $p/p_{th} = 0.1$(即物理误差率千分之一)条件下,由式 7-15 解出所需码距 $d \approx 23$,取整到 25,代入式 7-16 得每个逻辑比特约需 $2 \times 25^2 = 1250$ 个物理比特;一台千逻辑比特的实用机器因此需要约 1.3×10^6 个物理比特——恰与前文布线、制冷与良率诸式给出的"百万比特"目标相互印证。而当前最大平台在千物理比特量级,与目标差三个数量级;按行业过去十余年比特规模年均增长四到五成的经验速率外推,跨越三个数量级需要十五到二十年,这就是"长周期"三个字背后的定量骨架。若物理误差率能再降一个数量级($p/p_{th} = 0.01$),所需码距减半、物理开销降至四分之一,时间表可显著提前——这也定量说明了为什么"质量优先于数量"是更经济的投资路线。

这种错配会直接改变研发行为。为了适应短期考核，一些团队可能倾向于追逐容易展示的比特数、样机发布或概念性演示，而对工艺平台、测试自动化、软件工具链和人才培养等"慢变量"投入不足。其关系并非表面上的资源多少，而是评价机制在塑造整个行业的努力方向。如果考核标准偏向可见性而非可持续性，就会鼓励局部突破和叙事包装，抑制底层能力建设。量子芯片的很多关键进展本质上是看不见的，例如良率提高、漂移降低、校准缩时、设备稳定性提升，这些才是真正支撑产业化的基础，却往往难以在传统考核体系中被充分体现。

要解决这一问题，政策制定者和投资者必须接受一个事实:量子芯片不会按互联网或消费电子的节奏成熟。其价值实现具有明显阶段性，前期更接近国家级科技基础设施和战略产业孵化，中期才逐步转向平台化和应用化收益。因此，治理上必须为长周期技术建立不同于一般创新项目的评价框架，把里程碑、能力积累和平台建设纳入核心指标，而不是以短期收入或单次轰动性成果作为主导判断。

- **技术成熟周期长**: 容错开销的指数算术决定百万比特目标需以十年计,难以用年度回报衡量。
- **考核机制会塑造行为**: 短期指标导向容易诱发重展示、轻基础的资源配置偏差。
- **慢变量更关键**: 工艺、校准、设备和人才等底层能力往往决定长期竞争力。

7.5.2 泡沫与寒冬的周期风险(对标AI寒冬教训)

前沿技术发展几乎都会经历期待膨胀、现实修正与再平衡的周期，量子芯片也不例外。随着资本、媒体和政策持续关注，行业容易在某一阶段形成过高预期，把实验室里程碑误解为即将大规模商用的拐点。一旦真实工程难度、成本结构和应用边界在后续几年内没有按预期兑现，就可能触发信心回落、融资收缩和人才流失，进入所谓"寒冬"阶段。历史上人工智能领域多次经历类似波动，其教训在于，技术前景真实存在，并不意味着商业化节奏可以被任意提前。

量子芯片的泡沫风险主要来自叙事失衡。外部常常更容易理解"破解密码""颠覆算力""超越经典"等高冲击表述，而较难理解容错门槛、误差累积、稀释制冷、工艺一致性这些决定现实进度的约束条件。当宣传尺度长期偏离工程事实时，资本市场和政策资源就可能把阶段性样机能力误读为近端产业能力。预期与现实的落差其实可以用本章的公式体系做一次冷静的对表:宣传中"千比特芯片"距离式 7-16 要求的百万比特差三个数量级,演示线路的门深按式 7-2 折算保真度往往已在噪声边缘,而式 7-11 的制冷账与式 7-8 的良率账在多数商业化时间表中根本没有出现。凡是无法与这几条算术自洽的路线图,都应当被视为叙事而非计划。AI 寒冬的经验表明,真正能穿越周期的,不是最会讲故事的参与者,而是那些在低谷中仍然持续积累底层能力的平台型力量。

人工智能两次寒冬的具体教训值得逐条对照。第一次寒冬的直接导火索,是早期机器翻译与感知机研究的承诺远超当时算力与理论边界,权威评估报告一旦戳破落差,政府资助即断崖式收缩;第二次寒冬则源于专家系统在商业化中暴露的维护成本与脆弱性,专用硬件厂商的崩塌把整个领域拖入低谷。两次寒冬的共同结构是:叙事先行、指标缺位、资本集中涌入同质化路线,最后由一次外部评估或标志性企业失败触发信心雪崩。映射到量子芯片,对应的风险点清晰可辨:若行业长期以比特数而非逻辑能力作为对外叙事主轴,若头部企业的商业化时间表反复跳票而缺乏中间里程碑兑现,若某个高估值明星项目因工程瓶颈公开失败,都可能成为触发点。与 AI 不同的是,量子计算在寒冬中的抗跌性更依赖政府与战略资本,因为其中期收入几乎不可能覆盖研发投入,一旦公共资金因预期破灭而退潮,商业资本不会填补缺口。这也意味着预期管理对量子行业不是公关技巧,而是关乎资金链存续的生存问题。

因此，量子芯片行业需要主动建立预期管理机制。学术界、企业和政策机构在发布成果时，应尽量明确技术边界、适用场景和成熟度等级，避免把局部实验成功包装为普适产业拐点。资本也应

更重视技术尽调、路线判断和工程指标，而不是单纯追逐热门概念。只有把预期管理纳入治理框架，行业才能在保持热度的同时减少非理性波动，为长期发展保留稳定资源环境。

- **泡沫源于叙事失衡**: 外部更容易被宏大愿景吸引，而忽视工程真实约束。
- **算术是照妖镜**: 商业化时间表若与纠错开销、良率与制冷的量级估算不自洽,即属叙事包装。
- **寒冬会伤害生态**: 预期落空后的资本和人才撤离往往比技术挫折本身更具破坏性。
- **预期管理是治理任务**: 成熟度表述、技术边界说明和工程指标披露都应制度化。

7.5.3 出口管制与国际合作的平衡

量子芯片技术兼具战略敏感性与全球协作属性，这使得出口管制与国际合作之间始终存在张力。一方面，关键设备、先进工艺、低温控制系统和某些高端软件工具具有明显战略价值，合理的出口管制有其必要性；另一方面，量子计算的很多基础理论、实验方法、开源工具和标准讨论高度依赖国际交流，如果完全收缩合作，创新速度与人才流动都会受到明显冲击。量子芯片的治理难题不在于选择开放或封闭，而在于如何区分哪些环节应当竞争、哪些环节可以合作、哪些能力必须保留底线可控。

这一平衡的困难之处，在于技术链条高度耦合。某些看似中性的设备、软件或数据，一旦与特定应用场景结合，就可能变得敏感；反过来，过于宽泛的限制又可能误伤正常科研合作和产业升级。其关系并非"放松一点或收紧一点"的线性调整，而是需要建立更精细的识别框架，对基础研究、教学资源、通用工具、核心工艺和战略敏感能力进行分层管理。只有分类足够清晰，政策执行才不至于在一线产生过多模糊地带。

近年的管制实践已经给出可供参照的样本。多个主要经济体陆续把特定规格以上的稀释制冷机、低温低噪声放大器、量子比特规模超过一定门槛的量子计算机及其专用控制系统纳入出口管制清单,部分条目的技术参数划线之细,已经明显超出传统"整机管制"的颗粒度。从高性能计算与先进光刻的历史经验看,这类管制的实际效果具有两面性:它确实能把被限方的技术节奏迟滞若干年,但同时几乎必然催生对方体系化的自主替代投入,并在五到十年尺度上重塑供应格局——管制方失去的市场份额与生态影响力,往往并不随管制解除而回流。对量子芯片这样尚处早期、路线未定的领域,过早过宽的管制还有一重特殊代价:它会在标准、接口与人才网络尚未成型时就把全球生态切割为平行体系,而平行体系之间的重复建设成本最终由所有参与方分摊。对企业而言,这一环境意味着出口合规能力从可选项变成基础设施,物项归类、客户筛查、交易记录与再出口条款管理需要专门团队支撑,合规记录本身正在成为参与国际合作的通行证。

从产业角度看，国际合作仍然是吸收前沿经验、参与标准制定、拓展应用场景和培养高层次人才的重要渠道。若在安全压力下完全放弃合作，短期或许降低了某些外部依赖，长期却可能因失去技术参照和生态连接而降低创新效率。更稳妥的路径，是在关键底层能力上强化自主可控，在低风险研究和标准化层面保持有条件合作，在高敏感环节建立透明合规和边界清晰的治理机制。量子芯片真正需要的不是简单地"更多开放"或"更多限制"，而是更聪明的制度分层。

- **安全与创新并存**: 出口管制有现实基础，但过度收缩会伤害创新效率。
- **分类治理是关键**: 不同能力与资源的敏感度差异很大，不能一刀切处理。
- **合作仍具战略价值**: 标准、人才和低风险研究交流对长期竞争力依然重要。

7.5.4 标准化滞后

标准化滞后是量子芯片从科研成果走向产业体系时绕不开的问题。当前行业虽然已有若干围绕量子编程接口、性能指标和术语定义的尝试，但总体上仍缺乏覆盖设计、制造、测试、封装、校准、运行与安全的完整标准体系。不同机构对量子比特保真度、量子体积、运行稳定窗口、设备可用率和纠错性能的定义与报告方法不尽一致，导致横向比较困难，外部用户也难以准确判断平台能力。没有统一标准，市场容易被营销话术主导，技术进步也难以形成清晰的共同坐标。

指标口径不一的危害可以举一个具体例子:同样宣称"保真度百分之九十九点五",若一家按随机基准测试的单门平均误差报告,另一家按门集层析的双比特门误差报告,第三家只报告孤立比特的最好纪录而非全芯片中位数,三者对应的系统能力可能相差一个数量级——按式 7-2 折算,同样一千门线路的末态保真度可以从百分之六十摆动到百分之一以下。这不是学术细节,而是采购决策、投资尽调与政策评估赖以立足的地基。统一"测什么、怎么测、报什么统计量"三件事,是标准化最先应当收敛的最小集合。

在指标口径之上,行业还需要一套分层的基准测试体系,让不同抽象层级的能力各有其标尺。器件层已有随机基准测试与门集层析等相对成熟的方法;系统层目前影响最广的综合指标是量子体积,其定义把比特数与可执行深度强制捆绑:

$$\log_2 V_Q = \max_n \min(n, d(n)) \tag{式 7-17}$$

其中 n 为参与测试的比特数,$d(n)$ 为在 n 个比特上运行随机模型线路仍能通过约定成功判据的最大深度,V_Q 即量子体积。这一定义的价值在于其"取小"结构:一台千比特但只能跑十层线路的机器,量子体积不会高于一台二十比特却能跑二十层的机器,单向堆比特在该指标下无利可图,恰好抑制了规模化悖论所批评的宣传倾向。当然量子体积也有明确局限,随机线路并不代表真实应用负载,其指数化定义在大规模区间会因验证成本而失效,因此需要更高层的补充:以每秒可执行的标准线路层数衡量执行速度的吞吐类指标,以及面向化学模拟、组合优化等具体问题族的应用级基准套件,正在成为系统层之上的第二和第三把标尺。一套健康的基准体系应当自下而上覆盖器件、系统与应用三层,并明确各层指标之间不可相互替代——用器件层最好纪录暗示应用层能力,正是当前市场话术中最常见的偷换。

标准化滞后的影响不仅体现在市场认知上，更体现在产业协作效率上。若封装接口、数据格式、控制协议、校准记录、故障标签和测试流程缺乏统一约定，上下游厂商之间就难以形成模块化分工，系统集成成本会长期居高不下。其关系并非标准越多越好，而是关键接口和关键指标必须尽早收敛，否则各方都在构建彼此不兼容的孤岛。量子芯片产业尚处早期，路线仍在演化，因此标准不可能一次定型，但越早在基础层建立共识，后续扩展成本就越低。

此外，标准化也是国际竞争的重要组成部分。谁参与定义指标、测试方法和接口规范，谁就更容易在产业链中获得话语权。对于后发国家和企业而言，若仅关注追赶技术指标而忽视标准布局，未来即便某些能力已具备，也可能在市场准入和生态协同上处于被动位置。量子芯片治理必须认识到，标准不是技术成熟后的附属品，而是技术成熟过程中的组织工具和竞争工具。

- **缺少统一指标语言**: 不同平台性能报告口径不一，影响能力判断与市场透明度。
- **口径差即数量级差**: 同一"保真度"数字在不同测试口径下对应的系统能力可差十倍。

- **协作效率受限**: 接口、数据和测试流程不统一会抬高系统集成与供应链成本。
- **标准也是竞争力**: 参与标准制定有助于形成产业话语权和生态主导力。

7.5.5 应对策略:耐心资本/里程碑评估/参与国际标准

政策与治理层面的应对，首先需要建立耐心资本与长期支持机制。对量子芯片这类战略性技术，不论是政府基金、产业投资还是大型企业内部预算，都应明确区分"平台能力建设阶段"与"市场回报阶段"，在前期容忍较长验证周期和较低直接收益，把资源更多投向工艺平台、核心设备、软件工具链和人才体系等底层能力。耐心资本的核心不是无限投入，而是在理解技术周期的前提下提供稳定预期，避免因短期波动频繁切换方向。资金规模的量级同样可以对表:参照式 7-16 的百万比特目标与当前设备、人才成本结构,一条完整的容错验证路线在十到十五年内的累计投入以百亿元计,分摊到年度即十亿元量级——这恰好是单一企业难以独扛、而国家级专项与产业资本联合体可以承受的区间,资本组织形式因此本身就是技术路线的一部分。

其次，应采用里程碑评估替代简单的年度结果考核。所谓里程碑，并不只是论文数量或样机发布次数，而应覆盖误差率下降、良率提升、校准时间缩短、设备自给率提高、标准接口形成和开发者增长等一系列可验证能力指标。本章的公式体系恰好可以充当里程碑的标尺:物理误差率是否按路线图逼近阈值的十分之一(式 7-15 的前提)、单元良率是否再上一个九(式 7-8)、每比特线数与热预算是否满足下一代规模(式 7-4 与式 7-5)、解码时延是否进入微秒窗口(式 7-7)——这些量都可测量、可审计、难以包装。这样的评价方式更符合量子芯片的成长逻辑，因为它能够识别哪些团队在真正构建长期能力，哪些团队只是制造阶段性声量。其关系并非放松管理，而是提升评价分辨率，让政策资源更精准地流向高质量进展。

最后，必须积极参与国际标准与规则塑造。量子芯片是全球竞争赛道，但规则制定往往早于产业全面成熟，因此谁能在接口、术语、测试方法、合规框架和安全边界上形成影响力，谁就能在未来竞争中占据更主动位置。参与国际标准并不等于放弃自主路线，恰恰相反，它是把自身技术积累转化为制度影响力的重要渠道。政策治理的成熟度，最终体现在能否同时完成三件事:让长期投入有耐心，让资源配置有尺度，让国际竞争有规则坐标。做到这一点，量子芯片产业才更有可能穿越周期、形成稳定上升通道。

- **耐心资本**: 以长期稳定支持替代短期逐热，保障底层能力持续建设。
- **里程碑评估**: 用可验证能力指标衡量进展，提升资源配置质量。
- **国际标准参与**: 把技术积累转化为规则影响力，增强产业长期主动权。

7.6 风险—对策矩阵与综合治理思路



图 7-1 量子芯片发展风险—对策矩阵

7.6.1 风险矩阵

量子芯片的风险治理不能停留在分散应对，而应通过矩阵化方法把技术、工程、生态、安全与政策风险放在同一决策框架下进行比较和处置。所谓风险矩阵，并不是简单列出问题清单，而是通过概率、影响、对策与责任主体的对应关系，识别哪些问题需要立即处置，哪些问题需要持续监测，哪些问题必须通过跨部门协同才能缓解。量子芯片产业的复杂性决定了很多风险不是单一主体能够独立承担的，科研机构、企业、供应商、监管部门、投资机构和标准组织都在矩阵中承担不同角色。只有责任清晰，风险治理才不会停留在口号层面。值得强调的是,本章各节给出的定量估算为矩阵中的"概率"与"影响"评级提供了算术依据:布线热负荷与冷却功率的收支决定了互连风险的时间点,良率指数律决定了工艺风险的规模阈值,解码数据率决定了实时性风险的触发条件——评级不是主观打分,而应随平台规模逼近各条公式的临界区间而动态上调。

风险	概率	影响	对策	责任主体
退相干与相关噪声长期难以下降	高	高	持续材料攻关、误差建模、器件筛选与噪声诊断平台建设	芯片研发机构、材料团队、设备团队
比特规模扩张导致门保真度下降	高	高	采用协同架构优化、限制无效扩容、以有效量子体积和逻辑能力评估路线	芯片架构团队、系统工程团队
布线密度过高引发热负载与串扰失控	中高	高	推进 3D 集成、低温复用、封装电磁联合仿真	封装团队、低温工程团队、设备厂商
纠错解码延迟无法满足实时反馈	中高	高	开发专用低延迟解码器、优化码结构、加强经典控制硬件协同	控制电子学团队、算法团队、系统集成方
工艺一致性不足导致良率偏低	高	高	导入统计过程控制、稳定工艺窗口、强化版图可制造性设计	制造平台、工艺团队、质量团队
逐比特校准耗时过长拖慢迭代	高	中高	建设自动化校准平台、在线漂移监测与智能调参系统	测试团队、软件团队、实验平台主管
稀释制冷机等关键设备供应受限	中	高	建立多源采购、备件体系和国产替代计划	采购部门、设备厂商、政策支持部门
跨学科人才短缺影响系统集成	高	高	建立交叉培养项目、岗位轮训机制和校企联合实验室	高校、企业、人力与研发管理部门
开发者生态薄弱导致应用创新不足	中高	中高	完善开源工具链、云平台接入和开发文档体系	平台企业、开源社区、教育机构
"先存后解"威胁下关键数据暴露	中高	高	推动后量子密码迁移、建立密码敏捷架构	政府部门、关键行业用户、安全厂商
供应链安全缺口导致后门或断供	中	高	建立可信审计、多源替代和关键组件追溯机制	监管机构、采购方、供应商
资本泡沫破裂引发行业寒冬	中	中高	强化成熟度披露、采用里程碑投资与长期评价体系	投资机构、政策部门、企业管理层

这一矩阵表明，量子芯片的发展风险既有高概率高影响的硬约束，也有中长期累积型的结构性风险。前者如退相干、良率和校准效率，直接决定平台能否运行；后者如人才、标准与供应链，则决定产业能否持续扩展。其关系并非谁更重要的问题，而是不同类型风险需要不同治理节奏与不同责任组合。风险矩阵的价值就在于把原本分散的复杂问题转化为可排序、可跟踪、可分工的治理对象。进一步的治理精细化,还应为矩阵中每一项风险配套先行指标与触发阈值,例如把"校准耗时与漂移周期之比"作为可维护性风险的仪表读数、把"综合症数据率与解码吞吐之比"作为实时性风险的预警线,使矩阵从静态文档升级为随平台演进滚动更新的活体仪表盘。

7.6.2 综合治理框架:技术-工程-生态-安全-政策五层联动

量子芯片的实施挑战具有鲜明的跨层耦合特征，因此治理框架必须从单层治理转向五层联动。第一层是技术层，关注器件物理、误差抑制、纠错与架构设计，其目标是把量子计算的基础可行性不断向前推进。第二层是工程层，负责制造、封装、测试、校准、设备运行与系统集成，把"能做出来"转化为"能稳定运行"。第三层是生态层，涵盖人才培养、开发者社区、开源工具和云平台入口，为产业扩展提供持续的人才流与创新流。第四层是安全层，对应密码迁移、供应链可信与双重用途治理，确保能力扩张不以系统性脆弱为代价。第五层是政策层，通过资本、评价、标准和国际合作机制为前四层提供长期稳定的制度环境。

这五层之间并非上下游串联关系，而是相互反馈、共同约束的网络结构。技术层若缺少工程层承接，再好的器件记录也难以产业化；工程层若缺少生态层支撑，平台能力就难以形成规模应用；生态层若脱离安全层约束，开放可能演变为脆弱暴露；安全层若没有政策层支持，则往往难以形成可执行规则。其关系并非谁优先、谁次要，而是必须建立跨层协同机制，让每一层都能把自己的约束条件及时传递给其他层。本章的定量脉络也印证了跨层传导的真实性:物理误差率(技术层)通过码距决定物理比特开销(工程层),比特规模决定布线热负荷与制冷电耗(工程层),制冷与控制成本决定资本强度(政策层),资本强度又反过来决定技术层能承受的试错节奏——一条参数链贯穿五层,任何一层的估算失真都会在其他层被指数放大。量子芯片最怕的不是某一层短板,而是层与层之间缺少反馈,导致局部最优不断累积成系统性失衡。

综合治理框架还应强调动态调整。量子芯片处于快速演进阶段，不同路线成熟度、应用进程和国际环境都会变化，治理策略不能一成不变。例如在早期阶段，政策应更强调基础研究和平台建设；在中期阶段，应更重视标准化、供应链和人才扩容；在接近产业化阶段，则需强化安全合规、质量认证和商业模式约束。五层联动的本质，不是建立一套固定答案，而是建立一套能随着技术成熟不断重新配置资源和规则的治理能力。

- **技术层**: 解决噪声、架构与纠错等基础可行性问题。
- **工程层**: 把工艺、设备、封装、校准与系统集成转化为稳定平台能力。
- **生态层**: 通过人才、社区、工具与云平台形成长期创新供给。
- **安全层**: 用密码迁移、供应链治理和分级管控守住能力扩张边界。
- **政策层**: 以耐心资本、标准和国际协调提供制度保障。

7.6.3 面向从业者的行动清单

对于量子芯片从业者而言，实施挑战并不只是宏观背景，而是每天都需要转化为具体决策的现实约束。研究团队首先应重新校准成功标准，把"可重复性"放在与"最高纪录"同等甚至更高的位置。任何新的器件、门方案或架构改进，都应在不同样片、不同时间窗口和不同运行条件下验证稳定性，而不是仅凭一次最佳结果做路线判断。对工程团队而言，应尽早建立数据化运维文化，把制造参数、校准日志、漂移轨迹、故障标签和运行表现纳入统一数据库，以便让经验逐步沉淀为模型，而不是停留在个人记忆中。更进一步,每个团队都应当掌握本章公式所代表的"信封背面算术"——在启动任何扩容计划之前,先用热负荷收支、良率指数、校准耗时与解码时延四笔账做一次可行性速算,数量级不通的方案无论叙事多么动人都应搁置。

企业与平台方则应主动建设跨层协同机制。芯片设计人员需要与封装、测控、编译和应用团队定期共用指标体系，避免每个部门只盯住本地 KPI；研发管理层应把自动化测试、工艺一致性、工具链建设和文档体系视为核心资产，而不是外围辅助项；市场和对外传播团队则应建立成熟度表达规范，确保公开叙事与真实能力相匹配，避免为短期声量透支长期信用。量子芯片产业的长期竞争，不会只在实验室里决定，也会在组织能力和治理能力上被拉开差距。

对教育机构、投资者与政策制定者而言，也应形成各自的行动清单。高校要推动跨学科课程与真实平台实践并行，投资者要强化技术尽调和里程碑融资，政策部门要提前布局后量子密码迁移、标准参与和关键设备替代。对于整个行业来说，更关键的行动是保持节奏感:既不能因前景巨大而忽视基础约束，也不能因工程艰难而低估长期价值。量子芯片的实施挑战不会在短期内消失，但只要行业能够以系统视角识别风险、以工程方法拆解问题、以制度工具稳定预期，并坚持用可计算的数量级估算校准每一次决策，这条道路就具备持续向前推进的现实基础。

- **对研究团队**: 把可重复性、误差可解释性和长期稳定性纳入核心成果标准。
- **对工程团队**: 建立统一数据平台，推动自动化校准、故障追踪和知识沉淀。
- **对企业管理层**: 以跨层指标体系组织研发，重视平台化能力而非短期展示性成果。
- **对传播与市场团队**: 坚持成熟度分级表达，避免夸大近期能力和商业化节奏。
- **对高校与培训机构**: 以交叉课程、联合实验和项目制训练提升复合型人才供给。
- **对投资者**: 采用里程碑融资和长期视角评估，弱化概念热度驱动。
- **对政策部门**: 同步推进标准参与、密码迁移与关键设备替代，构建制度护栏。
- **对全行业**: 形成技术、工程、生态、安全和政策的常态化协同机制。

第八章 量子芯片制造工艺

如果说量子芯片的设计决定了性能的理论上限,那么制造工艺则决定了这一上限在多大程度上能够被真实器件兑现。第二章2.4节已从材料体系、结均匀性与良率角度概述了超导量子芯片微纳加工的基本图景,本章则沿着工艺流程的时间顺序深入制造现场,把每一道工序的物理机制、参数窗口与质量控制手段完整展开。之所以必须以"工艺流程—参数窗口—质量控制"作为叙述主线,是因为量子芯片制造的真正难点从来不是"能否做出一个器件",而是能否在数十道工序、上百个可调参数构成的高维空间中,找到并守住一个让相干时间、频率命中率与良率同时达标的狭窄工作区。任何一道工序的参数漂移,都会以频率偏移、损耗抬升或结参数离散的形式传导到芯片终测指标上,而这种传导往往滞后数周且相互纠缠,若无系统化的过程控制与数据回溯能力,制造平台便会退化为不可复现的手工作坊。

与成熟半导体制造相比,量子芯片工艺呈现出三个结构性差异。其一,批量小而反馈慢:关键性能必须在毫开尔文温区、以数天为周期的低温测试中才能获得,过程窗口的验证成本远高于经典芯片的在线电学测试。其二,指标极端敏感:量子比特对纳米级界面污染、原子级氧化层涨落与微瓦级封装漏热的敏感程度超出多数经典工艺规范的管控颗粒度,许多在CMOS产线上"无害"的残留物,在单光子功率与毫开尔文温度下会成为主导损耗源。其三,参数靶向苛刻:器件不仅要功能正确,其频率、耦合与阻抗还必须落入架构预定窗口,统计过程控制与制备后修调因此成为工艺体系的内生组成部分。本章将依次讨论工艺链总览与洁净室环境、衬底与薄膜沉积、图形化与刻蚀、约瑟夫森结制备、界面损耗控制、封装互连、低温测试筛选与良率管理,最终收束于工艺与性能之间的数据闭环。论述以制造链条最完整、公开数据最丰富的超导路线为载体,但其中的参数窗口与质量控制方法论,对半导体量子点、集成光量子等平台同样适用。

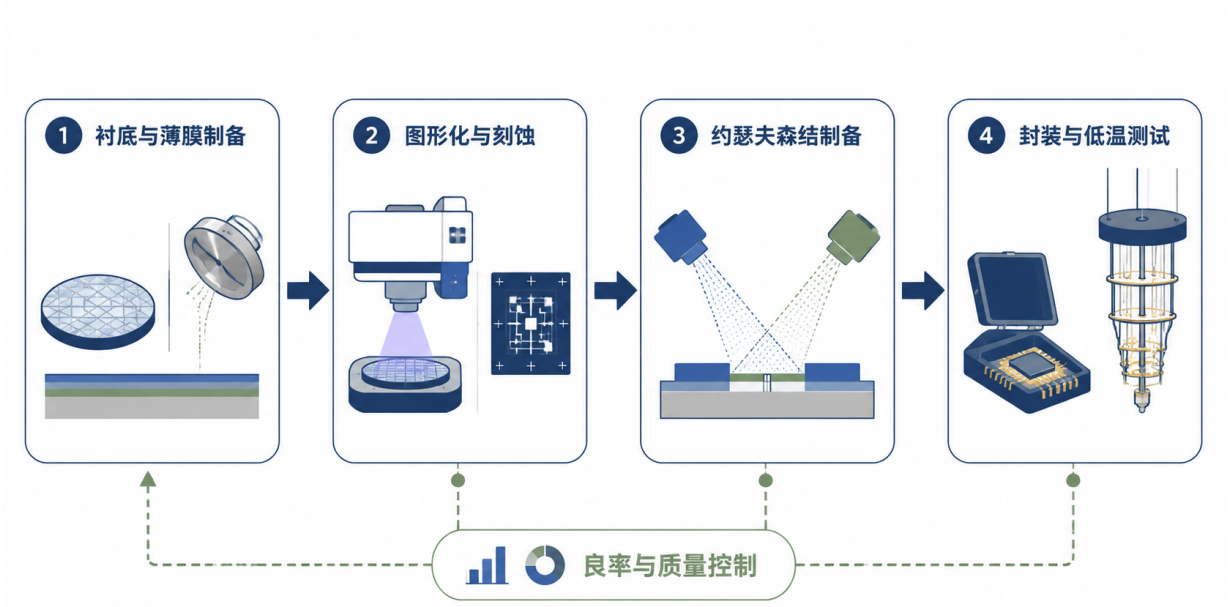


图 8-1 量子芯片制造工艺全流程总览

8.1 工艺链总览与洁净室环境

8.1.1 工艺链的整体组织

一条典型的超导量子芯片工艺链,可以划分为前段基片工程、中段图形化工程、后段结与表面工程以及封装测试四个阶段,如图8-1所示。前段包括衬底选片、表面预处理与超导薄膜沉积,任务是提供低损耗、高一致性的"画布";中段以光学光刻或电子束曝光定义电容、谐振器、传输线与接地结构,再以干法刻蚀转移图形;后段以双角度蒸发制备约瑟夫森结,辅以清洗、退火与封帽等界面工程;封装测试阶段完成划片、互连、屏蔽装配与低温筛选。整条链路通常包含三十至五十道工序,周期二至六周,返工窗口极为有限,因为量子器件对累计热预算与表面暴露史高度敏感,许多缺陷一旦引入便无法挽回。

工艺链组织中最关键的原则是"洁净度递升与热预算递减"。约瑟夫森结的隧穿势垒只有一至两纳米厚,是全链路中最脆弱的结构,因此结制备必须尽量后置,使其免受前序刻蚀等离子体与高温工序的损伤;而结形成之后,芯片便进入"低温预算区",任何超过百摄氏度量级的处理都可能引起势垒重构与电阻漂移,后续工序的温度与化学暴露必须严格受控。这一原则决定了工艺流程是一个存在偏序约束的有向链条:大面积结构先行、精细结构后置、敏感界面最后封闭。与此对应,质量控制点也应沿链条分级布设——沉积后测残余电阻比与临界温度,刻蚀后测线宽与侧壁形貌,结制备后普测室温电阻,封装前做外观与阻抗抽检——使缺陷在成本最低的环节被拦截。

8.1.2 洁净室与真空环境的定量要求

量子芯片对环境洁净度的要求可以从颗粒与分子两个层面定量刻画。颗粒层面,图形化区域通常要求ISO 4至ISO 5级洁净环境(相当于传统百级到十级),即每立方米空气中大于等于0.1微米的颗粒数控制在一万个量级以下,因为微米级颗粒落在共面波导缝隙中即可造成短路或局部损耗热点;沉积与封装区域可放宽至ISO 6至ISO 7级,但结区光刻与蒸发前的关键停留区仍需局部层流保护。分子层面的要求则体现在真空系统上:表面在真空中被残余气体重新覆盖一层分子所需的时间,决定了洁净表面的"保鲜期",其量级可由气体分子撞击通量估算:

$$t_{ml} = \frac{n_s \sqrt{2\pi m k_B T}}{P} \tag{式 8-1}$$

其中 t_{ml} 为形成单分子层所需时间,n_s 为表面吸附位密度(约 $10^{19}\ \mathrm{m^{-2}}$),m 为残余气体分子质量,k_B 为玻尔兹曼常数,T 为温度,P 为腔体压强,该式假设分子黏附概率为一,给出的是最保守估计。代入氮分子质量与室温条件可得:在 10^{-4} 帕(约 10^{-6} 毫巴)的普通高真空下,t_{ml} 仅约3秒,新鲜金属表面几乎立刻被污染;而在 10^{-7} 帕的超高真空下,t_{ml} 延长到约一小时,这正是约瑟夫森结蒸发腔本底真空必须达到 10^{-6} 帕量级、界面敏感工序必须采用原位连续处理的定量依据。同样的逻辑适用于晶圆传递:两道敏感工序之间的大气暴露时间应压缩到分钟级,或者以真空互联、惰性气氛盒实现"无暴露传递",否则表面将累积不可控的碳氢吸附层,成为第4.7.6节所述两能级缺陷的温床。

洁净室管理还须把"人"与"料"纳入控制体系:操作人员是最大的颗粒与离子污染源,关键工序应推进自动化传片与最小干预原则;光刻胶、显影液、靶材与高纯气体的批次波动会直接映射为器件参数漂移,靶材纯度(铝靶常用99.999%)、气体露点与化学品金属离子含量都应建立进厂检验与批次追

溯。量子芯片的洁净室规范,本质上是把半导体污染控制方法论按"微波损耗敏感性"重新校准了一遍权重。

8.2 衬底选择与超导薄膜沉积

8.2.1 衬底:高阻硅与蓝宝石的工程权衡

衬底是全部后续工艺的基底,其介电损耗、表面质量与工艺兼容性直接设定器件性能的起点。当前主流选择是高阻硅与蓝宝石。高阻硅要求室温电阻率大于 $10^4\ \Omega\cdot\mathrm{cm}$,常用区熔法单晶,其优势在于与硅基微纳工艺完全兼容,可刻蚀硅通孔、可深刻蚀释放结构,是三维集成路线的天然载体;劣势是表面天然氧化层为非晶二氧化硅,损耗角正切偏高,必须在沉积前以氢氟酸或缓冲氧化物刻蚀液彻底剥除并尽快进腔。蓝宝石为单晶三氧化二铝,本征介电损耗极低,低温损耗角正切可达 10^{-8} 量级,对追求极限相干时间的器件颇具吸引力,并且其高温稳定性支持钽膜生长所需的五百摄氏度级衬底加热;但其硬度高、化学惰性强,通孔加工与深刻蚀困难,大尺寸晶圆供应链也弱于硅。衬底选型因此必须与第4.7.5节的三维集成路线联合决策:走倒装焊加硅通孔的大规模路线,高阻硅几乎是唯一现实选择;做单层高相干演示器件,蓝宝石则常常胜出。

衬底表面预处理的目标是给薄膜一个化学态确定、粗糙度受控的起点。硅衬底的标准流程为有机清洗、氧化性清洗去除碳污染、稀氢氟酸终处理形成氢钝化表面,处理后至进入沉积腔的暴露时间应控制在十分钟量级;蓝宝石则常采用高温退火重构出原子级平整的台阶表面,配合进腔后的原位除气。表面粗糙度应控制在亚纳米均方根量级,因为粗糙界面既放大界面损耗,又会在薄膜中诱发晶界与应力集中。这些看似平凡的清洗步骤应被当作正式工序管理,清洗液寿命、漂洗水电阻率与干燥方式都需写入工艺卡并留痕——相干时间的批次性劣化,相当比例可以回溯到预处理环节的细微变更。

8.2.2 超导薄膜材料与沉积方式

超导薄膜的材料选择在铝、铌、钽与氮化钛之间展开,四者的临界温度、氧化行为与工艺窗口各不相同。铝的临界温度约1.2开尔文,超导能隙小、动能电感低,且能生成自限性的优质氧化铝势垒,是约瑟夫森结的不二之选,但其大面积电路的表面氧化物损耗中等;铌临界温度约9.3开尔文,微波工艺成熟、能隙大不易被准粒子毒化,长期用于谐振器与接地平面,弱点是表面会形成多种价态混杂的铌氧化物,损耗角正切偏高;钽在体心立方相下临界温度约4.4开尔文,表面只形成单一稳定的五氧化二钽,近年将transmon相干时间推入数百微秒量级,但获得纯体心立方相需要加热衬底至五百摄氏度左右或引入种子层,否则会混入临界温度不足1开尔文的四方相;氮化钛临界温度可在0.6至4.5开尔文间随氮组分调节,表面氮化层稳定、动能电感大,适合高阻抗谐振器与动能电感器件,代价是化学计量比控制敏感,溅射时氮分压百分之几的漂移即可显著改变膜性质。

沉积方式的选择同样构成一组工程折中。直流磁控溅射是铌、钽、氮化钛的主力工艺,沉积速率高、台阶覆盖好、易于规模化,典型条件为氩气压强0.1至1帕、功率密度数瓦每平方厘米,其膜为多晶结构,晶粒尺寸与应力随气压和功率变化,需要以应力测试片伴随监控;电子束蒸发是铝膜与结制备的标准手段,方向性好、适合剥离工艺与角度蒸发,但台阶覆盖差;分子束外延代表质量上限,在超高真空中以每秒亚埃级速率生长,可在蓝宝石上获得界面缺陷密度最低的外延单晶膜,代价是设备成本与产能约束;原子层沉积则以自限性表面反应在深孔与侧壁上实现原子级厚度控制,是硅通孔衬里等三维结构

的关键工艺。成熟的制造平台通常同时维护溅射、蒸发与原子层沉积三类腔体,并以严格的腔体专用制度防止交叉污染,铌腔不进铝、含氮工艺与纯金属工艺分腔。

8.2.3 薄膜质量表征:残余电阻比与临界温度

薄膜沉积的质量控制依赖一组可以快速获得的低成本表征量,其中最核心的是残余电阻比:

$$\mathrm{RRR} = \frac{R_{300}}{R_{res}} \tag{式 8-2}$$

其中 R_{300} 为薄膜在室温(300开尔文)下的电阻,R_{res} 为临界温度以上残余电阻平台处(铌约取10开尔文)的电阻。其物理含义是声子散射与缺陷散射的比值:室温电阻由声子散射主导,低温残余电阻则完全由晶界、杂质与点缺陷决定,因此RRR越高,膜的缺陷密度越低、电子平均自由程越长。典型量级为:普通条件溅射铌膜RRR约3至10,优化溅射可达20至50,外延生长的铌膜可超过100;蒸发铝膜RRR通常为5至20。RRR与微波品质因子之间虽无普适公式,但同一工艺平台内二者呈现稳定的正相关,使RRR成为无需降温至毫开尔文即可执行的日常放行判据——每炉沉积附带电阻测试条,RRR低于控制下限即拦截整批晶圆,这是薄膜工序统计过程控制的支点。

临界温度 T_c 是第二个关键判据,它对薄膜的化学计量与污染极为敏感。铌膜每溶入原子百分比量级的氧,T_c 即下降约1开尔文,因此溅射铌的 T_c 若从9.2开尔文滑落到8.5开尔文以下,通常指示本底真空劣化或靶材中毒;氮化钛的 T_c 则被直接用作氮组分的过程监控量。此外,薄膜应力需控制在百兆帕量级以内,过大的压应力引起翘曲起皱、过大的张应力导致微裂纹;膜厚均匀性应优于正负3%,因为动能电感与膜厚成反比,厚度梯度会直接转化为片内谐振频率梯度。把RRR、T_c、应力与厚度四项指标做成每炉必测的控制图,是薄膜工序从"能做"走向"稳定复现"的分水岭。

8.3 图形化与刻蚀

8.3.1 光学光刻与电子束曝光的分工

量子芯片的图形化任务在尺度上横跨五个数量级:最大的接地平面与焊盘达毫米级,共面波导中心导体与缝隙为微米级,而约瑟夫森结与Dolan桥则进入百纳米级。这一跨度决定了光学光刻与电子束曝光的分工格局。光学光刻的分辨能力由瑞利判据给出:

$$W_{min} = k_1 \frac{\lambda}{\mathrm{NA}} \tag{式 8-3}$$

其中 W_{min} 为可分辨的最小特征尺寸,λ 为曝光波长,NA 为投影物镜数值孔径,k_1 为综合工艺因子(通常0.4至0.8)。代入接触式或接近式光刻常用的365纳米i线、等效数值孔径约0.5、k_1 取0.6,得最小线宽约0.4微米,恰好覆盖共面波导与电容结构的需求,而其小时级处理整片晶圆的产能是电子束无法比拟的,因此毫米至微米级图层一律交给光学光刻。电子束曝光则以聚焦电子束直写,100千电子伏系统的束斑可小于5纳米,配合聚甲基丙烯酸甲酯类高分辨胶可稳定写出20纳米以下线条,是结区图形的唯一现实选择;其代价是逐点串行写入,速度慢且设备昂贵,故仅用于结与桥等关键小图层。两类曝光之间靠套刻标记衔接,套刻精度需优于关键尺寸的十分之一,即百纳米图层要求套准误差控制在十纳米量级。

电子束曝光的独特难点是邻近效应:入射电子在胶层与衬底中发生前向与背向散射,使剂量沉积扩展到设计图形之外数微米范围,导致密集图形与孤立图形所需剂量不同、结区细桥的实际线宽随周边图形密度漂移。工程上以蒙特卡洛模拟生成点扩散函数、对版图逐区做剂量修正来补偿,并以周期性的剂量矩阵试片标定工艺漂移。曝光剂量典型为数百微库仑每平方厘米,显影温度需控制在正负0.5摄氏度以内,因为显影对比度对温度的敏感性足以把剂量窗口吃掉一半。对结区而言,曝光与显影共同决定悬空桥宽度与胶层底切形貌,即8.4节结面积公差链条的最前端,必须以扫描电镜关键尺寸抽检纳入统计控制。

8.3.2 干法刻蚀与侧壁形貌控制

图形从光刻胶转移到超导薄膜主要依靠等离子体干法刻蚀。铌与钽采用氟基化学(六氟化硫或四氟化碳),铝采用氯基化学(氯气与三氯化硼),设备以感应耦合等离子体反应离子刻蚀为主流,其独立可调的等离子体密度与偏置功率允许在化学刻蚀与物理轰击之间连续调节配比。刻蚀质量的核心指标是各向异性度:

$$A_{etch} = 1 - \frac{r_l}{r_v} \tag{式 8-4}$$

其中 r_v 为垂直刻蚀速率,r_l 为横向刻蚀速率,A_{etch} 趋于1表示理想垂直侧壁,趋于0则为各向同性钻蚀。量子器件通常要求侧壁角85至90度、A_{etch} 大于0.9,原因有二:其一,共面波导的特征阻抗由中心导体与缝隙的几何比决定,侧壁倾斜等效于缝宽漂移,微米级缝隙上百纳米级的钻蚀即造成百分之几的阻抗偏移;其二,侧壁是金属-空气界面电场最集中的区域,粗糙或再沉积污染的侧壁会显著抬高界面损耗参与比。工程上以终点检测(等离子体发射光谱监控膜层击穿时刻)控制过刻量在10%至20%,既保证图形完全打开,又避免对衬底的过度轰击损伤——对硅衬底而言,过刻会在表面形成非晶损伤层与氟残留,若不做后处理,便成为埋伏在器件下方的损耗源。

侧壁形貌控制还须管理刻蚀副产物:氯基刻蚀铝后侧壁残留的氯化物遇潮即腐蚀,出腔后必须立即去离子水冲洗或氧等离子体钝化;氟基刻蚀形成的侧壁氟碳聚合物在经典器件中常被容忍,在量子器件中却是典型的两能级缺陷载体,需以氧等离子体加湿法清洗组合清除。刻蚀腔的记忆效应同样不可忽视,腔壁沉积物随批次累积并改变等离子体化学,应建立定期清腔与基线重标定制度,把刻蚀速率、片内均匀性(优于正负5%)与选择比纳入控制图管理。

8.3.3 剥离工艺与图形化路线的选择

除刻蚀路线外,量子芯片还大量使用剥离工艺:先曝光显影出反型图形,再全片沉积金属,最后溶去光刻胶把多余金属一并"剥离"。剥离免除了对已沉积膜的等离子体轰击,天然适配方向性好的蒸发沉积与双层胶底切结构,因此结区与小面积精细结构几乎全部采用剥离;其缺点是边缘会形成翘起的"毛边"与亚微米金属碎屑,且不适用于台阶覆盖强的溅射膜。刻蚀路线与剥离路线的分工由此形成:大面积基础电路层用溅射加刻蚀,追求膜质与侧壁可控;结层用蒸发加剥离,追求界面洁净与自对准能力。两条路线的交接面——即结引线与基础电路的搭接区——是工艺链中容易被忽视的薄弱点,搭接处若存在自然氧化层,会形成寄生结与额外损耗,主流对策是在结蒸发前对搭接区做原位氩离子铣清洗,或采用专门的过渡搭接结构(bandage工艺)以低能量沉积重建超导接触。

图形化阶段的质量控制以关键尺寸与缺陷密度为两大主轴:前者以扫描电镜抽检结区桥宽与波导缝宽,数据回传设计数据库以修正下一轮版图偏置;后者以光学自动检查扫描短路、断路与颗粒缺陷,并按缺陷坐标与低温测试结果做空间关联分析。谐振器品质因子的片内分布常与刻蚀均匀性或颗粒缺陷图样高度相关,这种空间关联分析正是8.8节工艺闭环的数据基础。

8.4 约瑟夫森结制备

8.4.1 Dolan桥双角度蒸发:自对准的几何学

约瑟夫森结制备是全链路中公差最紧、艺术性最强的一步,当前的主流方法仍是基于Dolan桥的双角度蒸发,其原理如图8-2所示。工艺以双层胶结构为基础:下层为高感光度的共聚物胶,上层为高分辨率的聚甲基丙烯酸甲酯,电子束曝光并显影后,下层胶因感光度高而形成大幅底切,在上层胶上留下一段悬空的"桥"。随后进行第一次角度蒸发,铝原子以角度 α_1 入射,在桥的阴影偏移作用下沉积于桥一侧;不破真空,原位通入氧气进行受控氧化,在第一层铝表面生成一至两纳米的氧化铝势垒;再以相反角度 α_2 进行第二次蒸发,第二层铝在另一侧偏移沉积,与第一层铝在桥下方形成交叠,交叠区即为约瑟夫森结。整个过程无需二次套刻,结面积由几何自对准决定,这正是该工艺历经数十年仍居主流的原因。

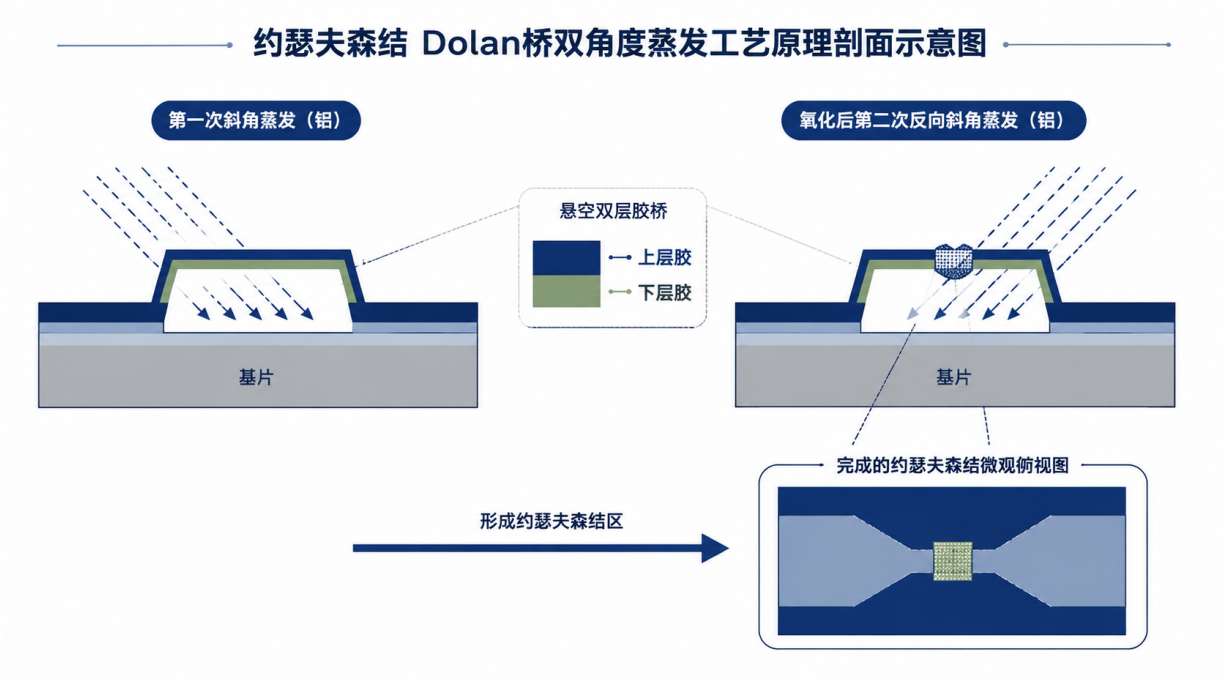


图 8-2 约瑟夫森结双角度蒸发工艺原理示意

结的交叠长度由胶层几何与蒸发角度共同决定:

$$L_J = h(\tan\alpha_1 + \tan\alpha_2) - w_b \tag{式 8-5}$$

其中 L_J 为两层铝膜的交叠长度,h 为悬空桥距衬底的有效高度(近似等于下层胶厚度),α_1、α_2 为两次蒸发相对衬底法线的入射角,w_b 为桥的宽度。代入典型参数 $h = 400\ \text{nm}$、$\alpha_1 = \alpha_2 = 22^\circ$、$w_b = 200\ \text{nm}$,得 $L_J \approx 120\ \text{nm}$,配合约200纳米的结宽,结面积约0.024平方微米。该式同时暴露了公

差链条:交叠长度对胶厚的灵敏度为 $\partial L_J/\partial h = \tan\alpha_1 + \tan\alpha_2 \approx 0.8$,即胶厚波动10纳米便带来8纳米的交叠变化,相当于约7%的面积漂移;桥宽的曝光涨落则以一比一的比例直接进入 L_J。因此旋涂胶厚均匀性、显影底切一致性与蒸发角度机械重复精度(样品台角度需优于0.1度)共同构成结面积控制的前置条件,任何一项失控都会在结电阻分布上留下指纹。

8.4.2 氧化参数窗口:势垒的原子级调控

隧穿势垒的形成是整条工艺链中唯一直接"生长量子器件核心"的步骤,其控制变量是氧化压强 P_{ox}、氧化时间 t_{ox} 与温度。大量实验表明,结的电阻面积乘积对氧化剂量呈幂律依赖:

$$R_n A_J \propto (P_{ox} t_{ox})^{\beta} \tag{式 8-6}$$

其中 R_n 为结的正常态电阻,A_J 为结面积,$P_{ox}t_{ox}$ 为压强-时间乘积(即氧暴露剂量),经验指数 β 约为0.4至0.5,反映了Cabrera-Mott型自限氧化中势垒随剂量对数式增厚、隧穿电阻随厚度指数式上升两种机制的复合结果。典型参数窗口为:静态氧化压强1至10毫巴、时间5至30分钟,例如3毫巴乘以10分钟的剂量配合0.02至0.04平方微米的结面积,可将 R_n 落位在5至10千欧姆区间,对应transmon所需的十几吉赫兹约瑟夫森能。幂律的小指数是把双刃剑:一方面它对剂量波动有压缩作用,剂量漂移20%只引起约8%的电阻变化;另一方面它意味着大范围调节电阻代价高昂——要把 R_n 翻倍,剂量需增至约五倍。若目标是把结电阻批内离散压到2%,则剂量控制精度需优于5%,这要求质量流量计定期标定、腔体温度稳定在正负1摄氏度,并把每炉的真实压强-时间积分记录归档而非仅记设定值。

氧化步骤之外,蒸发参数同样进入势垒质量:蒸发速率通常取每秒0.5至1纳米,过低则膜内混入残余气体、过高则表面粗糙;第一层铝的形貌直接决定势垒均匀性,粗糙底电极造成的厚度局部涨落经隧穿电流的指数敏感性放大,会把电流集中到少数"热点"上,既放大结参数离散,也被认为与势垒内两能级缺陷密度相关。结蒸发腔的本底真空(优于 10^{-6} 帕)、坩埚料面管理与速率闭环控制,因此应与氧化剂量一并纳入结工序参数卡。

8.4.3 从结电阻到临界电流:Ambegaokar-Baratoff关系

结制备的可控性之所以能够建立在室温电阻测量之上,关键在于正常态电阻与超导临界电流之间存在普适关系。对理想隧道结,Ambegaokar-Baratoff关系在零温极限下给出:

$$I_c R_n = \frac{\pi \Delta}{2e} \tag{式 8-7}$$

其中 I_c 为结的临界电流,R_n 为正常态电阻,Δ 为超导能隙,e 为元电荷。对铝膜取 $\Delta \approx 180\ \mu\text{eV}$(薄膜值略高于体材料的170微电子伏),得 $I_c R_n \approx 280\ \mu\text{V}$,即临界电流与电阻的乘积为一材料常数。由此,室温测得 $R_n = 8\ \text{k}\Omega$ 的结(考虑室温电阻与低温正常态电阻间约10%的系统偏差后)对应 $I_c \approx 35\ \text{nA}$,再经 $E_J = \Phi_0 I_c/2\pi$ 换算得约瑟夫森能 $E_J/h \approx 17\ \text{GHz}$,恰为典型transmon工作点。这条"室温电阻—临界电流—比特频率"的换算链,使结工序成为整条工艺链中反馈最快的环节:晶圆完成结制备后数小时内,自动探针台即可普测数千个结的电阻,给出频率预测分布,无需任何低温资源。按第二章2.4.2节给出的传导关系,频率相对散布约为电阻相对散布的一半,当前先进产线的批内电阻离散已能压到1%至2%,对应频率散布0.5%至1%,即5吉赫兹频段上25至50兆赫兹的落点精度。

对于需要更高频率命中精度的固定频率架构,制备后修调成为标准补充手段。激光退火通过局部热处理使势垒重构、电阻定向上调,可对单个结实施百分之十几范围内的电阻修调,把频率落点精度进一步收窄到10兆赫兹以内;修调决策完全基于室温电阻普测数据与架构频率规划算法,是"测量—计算—修调"闭环在结工序上的直接体现。而对磁通可调架构,结电阻公差可适当放宽,由在线磁通偏置吸收残余离散,但这是以额外的磁通噪声敏感性与布线开销为代价换取的工艺宽容度,属于设计与工艺之间的典型折中。

8.4.4 结老化与稳定化

约瑟夫森结并非制成即定型的静态器件,其电阻在室温存放中持续缓慢上升,这一老化现象的经验规律为对数式增长:

$$\frac{\Delta R}{R_0} = \beta_a \ln\left(1 + \frac{t}{t_0}\right) \tag{式 8-8}$$

其中 ΔR 为电阻相对初值 R_0 的增量,t 为存放时间,t_0 为特征时间(小时量级),β_a 为老化系数。典型幅度为:制备后第一周上升百分之几,数月累计可达5%至10%,对应比特频率下移百分之几——足以打乱精心规划的频率排布。其微观机制被归结为势垒内过剩氧的再分布与铝-氧化铝界面的弛豫,因此高温高湿会加速老化,而势垒一旦达到新的准平衡,漂移速率便按对数律衰减。工程对策有三:主动老化,以受控温度烘烤(如50摄氏度数小时至数天)加速结进入平缓段,再按老化后电阻做频率规划与修调,把"漂移"转化为可预测的一次性偏移;表面封帽,以钝化层隔绝水汽与氧压低老化速率;流程时序管理,把结普测、修调与封装的间隔标准化,使每批芯片在频率规划时刻处于老化曲线同一相位。老化管理是量子芯片"制造即校准"特征的缩影:器件参数不是被一次性制造出来的,而是被制造、修调与时效共同"排程"到目标值上的。

8.5 界面损耗与材料工程

8.5.1 工艺步骤与两能级缺陷的对应关系

第四章4.7.6节已给出界面损耗的定量框架:比特品质因子的两能级系统(TLS)贡献由各界面的电场参与比与损耗角正切的乘积求和决定(式4-14)。本章关心的是这一框架的工艺侧含义:参与比 p_i 的严格定义为区域电场储能占总储能的份额:

$$p_i = \frac{\int_{V_i} \varepsilon_i E^2 \, dV}{\int_{V} \varepsilon E^2 \, dV} \tag{式 8-9}$$

其中 V_i 为第 i 个损耗区域的体积,ε_i 为其介电常数,E 为电场强度,分母对全部储能空间积分。该定义指明了责任划分:分子中的 V_i(界面层厚度与范围)与 $\varepsilon_i \tan\delta_i$(界面材质)由工艺决定,而电场分布 E 由版图几何决定。工艺端的任务因此可以精确表述为:识别每一道工序在金属-空气、金属-衬底、衬底-空气三类界面上留下了什么材料、多厚、损耗角正切多大。逐工序盘点的结果构成一张"损耗责任清单":衬底预处理不彻底留下含碳吸附层与化学氧化物,沉积前真空暴露形成金属-衬底界面非晶氧化物,刻蚀等离子体在侧壁与沟槽底部造成损伤层与聚合物残留,光刻胶灰化不净留下交联碳膜,封装划片的碎屑与有机污染再覆盖全部表面。三类界面层厚度通常仅2至5纳米、合计参与比约 10^{-3} 量级,却贡献了主流器件的大部分损耗,这正是"工艺决定相干"的定量注脚。

这张清单的价值在于把玄学化的"相干时间波动"翻译为可执行的工序改进项,并给每一项配上验证载具。标准做法是设计参与比工程化的测试谐振器组:同一晶圆上布设不同缝宽、不同几何的共面波导谐振器,其各界面参与比经仿真标定后彼此不同,测量品质因子随参与比的回归斜率即可反演出各界面的损耗角正切,从而判定某次工艺变更(如更换清洗配方)究竟改善了哪个界面。这种"以器件测工艺"的方法论,弥补了X射线光电子能谱、二次离子质谱等表面分析手段无法直接给出微波损耗的缺口,二者结合构成界面工程的完整表征体系。

8.5.2 表面处理:清洗、退火与封帽

界面工程的具体手段可归纳为减薄、置换与封闭三类。减薄类的代表是缓冲氧化物刻蚀与稀氢氟酸浸泡,在封装前剥除硅表面与金属表面的非晶氧化物,多个平台的公开结果表明,单是这一步即可把谐振器低功率品质因子提升数倍;其局限在于铝、铌表面在重新暴露大气后数小时内即重新氧化,故减薄必须与时序管理或封闭手段配合。置换类的核心思路是让表面只形成单一稳定的低损耗氧化物:钽与氮化钛之所以胜过铌,正在于其表面化学的确定性;对铌器件,则可在刻蚀后以退火使多价氧化物分解、或以微量氮化处理稳定表面。高温退火对蓝宝石上的钽膜尤为关键,五百摄氏度量级的生长温度同时完成了相选择与界面外延化,一举压低了金属-衬底界面的缺陷密度。封闭类手段则以钝化封帽为代表:在洁净表面上原位沉积数纳米的低损耗介质或惰性金属帽层,阻断后续大气暴露的再污染,其风险在于封帽材料自身必须足够低损,否则等于引狼入室。

表面处理的效果评估必须落到统计层面而非单点纪录。如4.7.6节所强调,纠错性能由相干时间分布的下沿决定,因此每一项表面处理变更都应以处理组与对照组并行的对照实验验证,统计量取品质因子或 T_1 的中位数与下四分位数,而非最佳值;处理后芯片的存放时限与破封时限也应写入工艺卡形成联合规范。界面损耗控制的终点形态,是像半导体产业管理缺陷密度那样管理TLS密度,而这要求表面工艺、结工艺与封装工艺共享同一套洁净时序纪律。

8.6 封装与互连

8.6.1 芯片-封装互连:打线、倒装焊与信号完整性

封装是芯片与低温测控系统之间的物理与电磁接口,其互连方式随规模演进。中小规模芯片以铝线超声打线为主:芯片焊盘经25微米铝线连接封装基板,单根键合线电感约1纳亨每毫米,对直流偏置绰绰有余,但在5吉赫兹频段毫米级键合线呈现数十欧姆感抗,阻抗失配与线间互感会造成读出链驻波与串扰,故微波端口需以多根并联短线压低电感,接地则以密集打线阵列维持低阻抗回流。规模超过数十比特后,边缘打线的引出能力与接地质量双双触顶,互连主力让位于第4.7.5节详述的倒装焊与硅通孔路线,本节只强调其封装工艺侧的控制要点:铟凸点高度一致性需优于正负0.5微米,否则键合后芯片间隙倾斜导致电容耦合梯度;键合压力与温度窗口必须避开铟的再结晶软化区间以保证低温循环可靠性;键合后间隙内不可残留助焊剂类有机物,倒装工艺因此普遍采用无助焊剂的热压键合。

互连质量控制的难点在于封闭界面的不可检性:倒装键合完成后,凸点阵列无法光学检查,失效分析只能依赖X射线成像、超声扫描与统计推断。工程对策是在版图中布设菊花链测试结构,把数百个凸点串联成可在室温测通断与电阻的链路,以链电阻分布监控键合良率,并以低温循环试验对工艺窗口

做加速考核。对量子封装而言,可靠性判据不仅是电学导通,还包括循环后比特参数漂移是否超限——键合应力的重新分布会经由衬底应变轻微移动结参数,这是经典封装规范中不存在的验收维度。

8.6.2 封装腔模与磁屏蔽

封装腔体本身是一个微波谐振结构,其本征模一旦落入比特与读出频段,便成为串扰通道与辐射损耗出口。对边长为 a、b 的矩形腔,最低阶模频率为:

$$f_{101} = \frac{c}{2}\sqrt{\frac{1}{a^2} + \frac{1}{b^2}} \tag{式 8-10}$$

其中 c 为光速,a、b 为腔体两个横向内尺寸(设高度为最小尺寸时该式给出基模)。代入边长3厘米的方腔得 $f_{101} \approx 7.1$ GHz,恰落在4至8吉赫兹的典型工作频段内——这解释了为什么大尺寸单腔封装不可行。工程对策沿三条线展开:缩小腔体使基模上移(2厘米方腔基模约10.6吉赫兹,已出频段);在芯片背面与封装盖板设置接地柱阵列,把大腔"缝合"为多个小腔;以及利用倒装结构中的硅通孔阵列在芯片内部完成同样的模式抑制。封装设计因此必须与芯片版图做联合电磁仿真,把全部杂散模推到工作频段上限之外至少2吉赫兹,并在样机阶段以扫频透射测量实测验证——腔模管理是少数可以在室温完成闭环验证的封装指标。

磁屏蔽的目标是把芯片处的静磁场与低频磁噪声压到微特斯拉乃至纳特斯拉量级。地磁场约50微特斯拉,若直接穿透芯片,冷却过程中将在超导膜中冻结磁通涡旋,涡旋芯的正常态耗散与运动噪声会同时压低品质因子与相干时间,磁通可调器件还会获得不可控的偏置漂移。标准配置为多层嵌套屏蔽:外层高磁导率合金(坡莫合金类)在4开尔文以上温区分流低频磁场,内层铝或铌超导罩在转变温度以下以迈斯纳效应排斥剩余磁场;关键控制点是冷却时序,超导罩必须在内部磁场已被高磁导率层压低之后才进入超导态,否则会把残余磁场"冻结"在罩内。屏蔽体的接缝、引线孔与光学窗都是磁泄漏点,开孔尺寸应远小于屏蔽层间距,并以冷却后比特频率随外加磁场的实测响应作为屏蔽效能终检。

8.6.3 红外滤波与热光子管理

封装工程的第三个战场是辐射与热光子。制冷机各温级的黑体辐射与沿同轴线下行的室温热噪声以两种方式伤害比特:能量高于两倍超导能隙的红外光子(对铝约90吉赫兹以上)在超导膜中拆散库珀对产生准粒子,压低 T_1 并造成电荷宇称跳变;落在读出腔频段附近的微波热光子则经色散耦合造成退相位,其强度由腔内残余光子数决定,热平衡值遵循玻色-爱因斯坦分布:

$$\bar{n} = \frac{1}{\exp(\hbar\omega / k_B T) - 1} \tag{式 8-11}$$

其中 $\bar{n}$ 为频率 ω 的模式在温度 T 下的平均光子占据数,$\hbar$ 为约化普朗克常数。代入6吉赫兹读出腔:若线路有效噪声温度为100毫开尔文,$\hbar\omega/k_B T \approx 2.9$,$\bar{n} \approx 0.06$,由此引起的退相位已足以把 T_2 压到百微秒以下;而把有效温度压到40毫开尔文,$\bar{n}$ 即降至 10^{-3} 量级。这组数字给出了衰减链设计的定量依据:输入线需在各温级分布共约60分贝的衰减,使室温约翰逊噪声被逐级"冷却"到混合室温级的热占据水平;输出线则以循环器与隔离器阻断放大器反向噪声。红外光子的对策是内壁涂敷吸波环氧的同轴滤波段,对百吉赫兹以上辐射强吸收而对工作频段几乎透明,封装内部则以不透光设计与吸波涂层消灭"漏光"路径;芯片端还可在远离比特的区域布设正常金属或低能隙超导体的准粒子陷阱作为补强。

滤波与屏蔽件本身也需纳入质量体系——吸波材料的低温批次差异、隔离器的磁泄漏都曾是"同一芯片换一套封装性能大变"的元凶。

8.7 低温测试筛选与良率

8.7.1 分级测试流水线:从室温普测到低温全测

低温测试是量子芯片制造中最昂贵、最慢的环节,一次稀释制冷机降温耗时一至两天、单机位一次装载能力有限,因此测试体系必须按"便宜的测试尽量前置、昂贵的测试只留给幸存者"的漏斗原则分级组织。第一级是室温普测:自动探针台测量全部结电阻与关键连通性,数小时内完成整片晶圆,按式8-7换算频率落点并淘汰开路、短路与严重偏靶的芯片,这一级可拦截大部分制造缺陷。第二级是液氦温区(4开尔文)快筛:以浸入式杜瓦或快速循环平台测量谐振器频率与品质因子的粗值、超导转变行为,周期以小时计,可验证薄膜与图形化质量,但无法测量比特相干。第三级才是毫开尔文全测:在稀释制冷机中完成比特频率、非简谐性、T_1、T_2、单双比特门保真度与读出保真度的全参数标定,周期以天到周计。三级漏斗的筛选比设计,直接决定了昂贵的第三级资源是否被有效利用;成熟产线的目标是让进入全测的芯片中大多数是"参数合格、只待验证"的候选者。

低温测试自身的产能也是工艺平台的硬约束,扩产手段包括多机位并行、以射频开关矩阵分时复用的单机多芯片装载与自动化标定软件。其中自动化标定的意义超出效率范畴:人工调机带有主观性,不同操作者测得的 T_2 可有系统性差异,只有全自动流程把测试条件标准化,跨批次数据才具备统计可比性。

8.7.2 相干时间统计与频率碰撞

低温全测数据的第一重价值是刻画相干时间的统计分布。同一晶圆上比特的 T_1 通常呈近似对数正态分布,中位数与下沿之间可差二至三倍,且单个比特的 T_1 还会随时间起伏数十个百分点——这是TLS缺陷谱漂移的直接表现。因此规范的报告口径应给出中位数、四分位距与时间稳定性,并以重复降温验证分布的可复现性。判定一次工艺变更是否有效,样本量必须覆盖分布宽度:若批内 T_1 相对标准差为40%,要以八成置信度分辨20%的中位数改善,每组至少需要数十个比特的数据,工艺实验因此必须以整片多器件版图而非单器件样品为载体。相干统计的另一用途是坏点判定,纠错架构可容忍少量坏比特,但需要制造端提供每个比特的"健康档案"供编译器绕行映射,测试数据库应按芯片-比特粒度长期留存。

频率碰撞是固定频率多比特架构良率的另一主导因素。以交叉共振门为代表的门方案对相邻比特频率关系有明确禁区:失谐过小则寻址串扰、失谐等于非简谐性则能级简并、失谐过大则门速率不足。单对比特落入禁区的概率约为禁区总宽度与频率落点分布宽度之比,整片无碰撞概率随耦合对数指数下降。代入量级:未经修调的 $\sigma_f \approx 50\ \mathrm{MHz}$ 时,百比特级芯片几乎必然存在多处碰撞;而激光退火把 σ_f 压到10兆赫兹以内后,配合频率规划算法,无碰撞良率才进入可接受区间。这正是8.4.3节"制备加修调"路线的系统级理由:频率精度不是单器件指标,而是以指数杠杆作用于整机良率的制造能力指标。

8.7.3 良率模型与过程能力指数

把上述各环节的合格率组织成可管理的体系,需要借用并改造半导体产业的良率模型。对颗粒与图形缺陷类的"硬失效",泊松良率模型给出基本框架:

$$Y = \exp(-AD_0) \tag{式 8-12}$$

其中 Y 为无缺陷良率,A 为芯片有效敏感面积,D_0 为单位面积致命缺陷密度。代入 $A = 2\ \text{cm}^2$ 的大尺寸量子芯片与 $D_0 = 0.2\ \text{cm}^{-2}$ 的缺陷密度,得 $Y \approx 67\%$;若芯片面积因集成度提升翻倍,良率即降至45%,这解释了为何大芯片路线必然伴随对缺陷密度的加倍苛求,也构成了"多芯片模块拼接"与"单片放大"两条规模化路线之间的制造经济学分界。量子芯片的特殊性在于"参数失效"与"硬失效"同样致命:一个导通良好但频率偏出窗口、或 T_1 落在分布下尾的比特,对架构而言等同坏点,因此总良率应表述为硬良率与参数良率之积,而参数良率由第二章2.4.4节的指数律主导,对单器件命中率提出远高于直觉的要求。

参数良率的过程管理工具是过程能力指数:

$$C_{pk} = \frac{\min(T_u - \mu,\ \mu - T_l)}{3\sigma} \tag{式 8-13}$$

其中 T_u、T_l 为参数规格窗口的上下限,μ 与 σ 为该参数实测分布的均值与标准差,$\min$ 取较紧的一侧。$C_{pk} = 1$ 对应约99.7%的单器件命中率,$C_{pk} = 1.33$ 对应约99.99%。以结电阻为例:若架构要求频率落点正负30兆赫兹,按频率-电阻半比例关系折算为电阻窗口约正负1.2%,当前2%的批内离散给出 $C_{pk} \approx 0.2$,远不足以支撑百比特级无修调制造——这一计算把"必须引入激光退火修调"从经验判断升格为过程能力的数学必然。对每个关键参数建立规格窗口、控制图与 C_{pk} 追踪,当指数趋势性下滑时先于良率崩塌启动排查,是量子芯片制造从实验室模式转向工程模式的标志性管理形态。

8.8 工艺-性能闭环与本章小结

8.8.1 数据驱动的工艺闭环

前述各节反复出现同一模式:每道工序既产生器件结构,也产生数据——沉积炉的RRR与应力、曝光机的关键尺寸、刻蚀腔的终点曲线、结普测的电阻分布、低温全测的相干统计。工艺-性能闭环的实质,是把这些分散在数周时间、数十台设备上的数据以晶圆-芯片-器件三级坐标串联成谱系,使任何一个终测异常都能回溯到工序参数,任何一次工序变更都能前推其终测后果。闭环的最小可行形态包括四个组件:统一的制造执行记录(每片晶圆的完整工序履历与设备参数快照)、器件级测试数据库、把电学数据落到物理位置的版图-坐标映射、以及定期运转的相关性分析,其典型产出是"某月 T_1 中位数下滑与某刻蚀腔清腔周期延长同步"这类可执行归因。

闭环的高阶形态是把设计规则与统计模型耦合进来,走向类似工艺设计套件的平台模式。当结电阻分布、膜厚梯度、线宽偏置等统计特性被稳定表征后,架构设计即可基于真实分布做蒙特卡洛良率仿真,在流片前预测频率碰撞率与参数良率,把"设计-制造"迭代的一部分从数周的实体流片压缩为数小时的计算;反过来,架构对参数窗口的需求也以 C_{pk} 目标的形式明确下达给各工序,使工艺改进有清晰的优先级排序——本章的定量估算已多次演示这种排序逻辑:结电阻离散的收窄优先于绝对值精度,界面损耗角正切的下沿管理优先于中位数优化,缺陷密度的压低优先于单点相干纪录。制造与设计由

此从上下游交付关系,演变为围绕统计模型的双向约束协商,这是量子芯片制造走向成熟的组织学标志。

8.8.2 本章小结

综上所述,本章沿工艺时序完整梳理了量子芯片制造的现场图景:洁净室与真空环境为全链路设定污染基线(式8-1);衬底与薄膜工程以残余电阻比(式8-2)和临界温度为放行判据,在高阻硅与蓝宝石、溅射与外延之间做出与集成路线绑定的选择;图形化与刻蚀以分辨率判据(式8-3)划分光学与电子束的分工,以各向异性度(式8-4)守卫侧壁形貌;约瑟夫森结制备构成公差链条的核心,自对准几何(式8-5)、氧化剂量幂律(式8-6)、Ambegaokar-Baratoff换算(式8-7)与老化对数律(式8-8)共同支撑起"室温可测、可修调、可排程"的结工程体系;界面损耗控制以参与比框架(式8-9)把相干问题分解为逐工序的表面责任清单;封装工程以腔模判据(式8-10)与热光子占据数(式8-11)量化屏蔽与滤波需求;测试与良率体系以分级漏斗、泊松模型(式8-12)与过程能力指数(式8-13)把全部环节收拢为可管理的统计对象。

贯穿全章的主线可以凝练为三点。其一,量子芯片制造的核心矛盾是参数窗口的狭窄性与工序扰动的普遍性之间的矛盾,化解之道不是追求单点完美,而是建立"制备加修调加排程"的复合控制,结电阻靠氧化剂量粗调、激光退火细调、老化管理定型,频率命中由此从工艺极限问题转化为系统工程问题。其二,质量控制的重心必须从均值转向分布下沿,因为纠错性能与整机良率都被最差器件与指数律放大机制主导,统计过程控制、对照实验与器件健康档案必须成为产线的默认基础设施。其三,工艺与性能之间的数据闭环是制造平台的真正护城河,设备与配方可以采购,而把数十道工序的参数波动与毫开尔文温区的量子指标稳定关联起来的数据谱系,只能靠长期积累。第九章将在全书视野下作总结与展望,而本章的判断在此先行一步:量子计算的规模化竞争,最终将在很大程度上以制造统计学的语言分出高下。

第九章 总结与展望

9.1 核心要点回顾

9.1.1 三大支柱架构的总体回顾

本报告围绕量子芯片技术解决方案建立了一个贯穿器件、体系与产业的分析框架，其第一层核心贡献，在于将纷繁复杂的技术现象收束为三大支柱架构，即量子比特物理实现、量子纠错与容错体系、以及面向规模化制造与控制的系统集成工艺。若缺少这一架构，讨论往往会停留在单一指标的比较，例如只看相干时间、只看双比特门保真度，或者只看晶圆制造能力，而忽略这些指标之间并非线性叠加，而是在约束耦合中共同决定可计算性。量子芯片之所以不同于传统微电子芯片，正在于其"可用性"不是某一层的局部最优，而是三大支柱同时达到工程闭环后的系统结果。也就是说，性能最强的单个量子比特并不必然导向最优量子处理器，最先进的纠错码如果无法被控制电子学和互连封装稳定承载，也无法转化为真实算力。

三大支柱之间的耦合关系，可以用一个"短板乘积"的直觉来把握：系统可交付的有效算力，近似正比于三层能力中最弱一环所设定的上限，而非三者的算术平均。若以 C_{phy}、C_{qec}、C_{eng} 分别刻画物理层、纠错层与工程层的成熟度，则系统能力大体满足 $C_{sys} \sim \min(C_{phy}, C_{qec}, C_{eng})$ 的结构性约束。这意味着任何一层的孤立冒进都会遭遇边际收益递减：物理保真度从 99.9% 提升到 99.99% 固然重要，但若纠错解码延迟无法跟上纠错周期、若低温布线密度无法支撑比特数扩张，这一提升就无法兑现为逻辑层面的可计算性改善。反过来，这一约束结构也解释了为什么头部团队近年普遍从"单点纪录竞赛"转向"全栈协同优化"，因为在耦合系统中，识别并抬升当前短板，才是资源配置效率最高的路径。这种系统观贯穿了本报告对每一条技术路线、每一个发展阶段的分析。

进一步回看全书，各章节实际上都在说明同一事实：量子芯片不是一类孤立器件，而是一种跨层级的技术组织。物理层决定可被编码的信息载体，容错层决定错误是否能被抑制到可计算区间，工程层决定实验室原型能否被持续复制、稳定运维并进入产业链。三者的关系，不是从下往上的简单堆砌，而是自上而下定义目标、自下而上满足约束的双向耦合。正因为如此，本报告没有将量子芯片理解为"更快的芯片"，而是将其定义为"在量子噪声环境下，通过编码、控制与制造共同实现可扩展计算的系统平台"。这一界定，既解释了当前技术瓶颈，也奠定了后续总结与展望的逻辑基础。

- **物理支柱**: 关注量子态制备、操控与读出的基本载体，决定系统的原生噪声结构与可扩展边界。
- **纠错支柱**: 关注逻辑量子比特如何从脆弱物理比特中涌现，决定量子计算能否跨越"可演示"与"可实用"的鸿沟。
- **工程支柱**: 关注工艺、控制、封装、互连与运维体系，决定技术能否从实验室样机走向可复制的产业能力。

9.1.2 量子力学的工程化诠释

本书第二个贯穿性要点，是对量子力学进行了工程化诠释。量子叠加、纠缠、测量塌缩、退相干等概念，若仅停留在物理学描述中，容易被理解为抽象且难以落地的理论特性；而一旦进入芯片技术语境，这些概念就转化为门保真度、噪声谱、串扰矩阵、读出错误率、校准漂移和热负载等可

被测量、建模与优化的工程变量。换言之，量子芯片并不是"把量子力学搬进芯片"，而是把微观量子规律转译为一整套可设计、可制造、可维护的工程对象。这种诠释方式使得量子技术不再只是科学发现的延伸，更成为复杂系统工程的新边界。

工程化诠释最直接的产物，是一组能够对"有效算力"进行定量约束的关系式。在无纠错的噪声中等规模体系中，若每层电路的等效错误率为 ε_2（以双比特门错误率为主导近似），则一台 N_q 比特处理器在结果尚可信赖的前提下所能执行的电路深度，大体受限于

$$D_{max} \approx \frac{1}{N_q \cdot \varepsilon_2} \tag{式 9-1}$$

其中 D_{max} 为最大有效电路深度，N_q 为参与计算的量子比特数，ε_2 为平均每门错误率。将当前主流水平 $\varepsilon_2 \approx 10^{-3}$ 与 $N_q = 100$ 代入，可得 $D_{max} \approx 10$，即整机可信操作总量 $N_q \cdot D_{max}$ 被压制在 10^3 门的量级，且该总量与比特数无关——比特越多，可用深度反而越浅。这一条简单的估算，几乎解释了 NISQ 时代全部的应用困境：没有纠错，规模扩张无法换来电路深度，因而无法承载真正有价值的算法。与之配套的综合评价指标是量子体积，其定义可写为

$$\log_2 V_Q = \max_n \min(n, d(n)) \tag{式 9-2}$$

其中 n 为参与测试的比特数，$d(n)$ 为该规模下可可靠执行的最大电路深度，V_Q 为量子体积。由式 9-1 可知 $d(n) \approx 1/(n\varepsilon_2)$，因此理想情况下最优工作点位于 $n^* \approx 1/\sqrt{\varepsilon_2}$。代入 $\varepsilon_2 = 10^{-3}$ 得 $n^* \approx 31$，即理论上 $\log_2 V_Q$ 的上限约为 31；而公开报道的实测量子体积多在 2^9 至 2^{15} 区间，与理论上限相差一个数量级以上，差距主要来自串扰、读出错误与编译损耗。这一"理论上限与实测值的系统性落差"，恰恰量化了工程层噪声治理的改进空间，也说明比特数、保真度与相干时间必须作为组合量纲被同时优化，任何单项宣传都不足以刻画真实算力。

这一转变具有方法论意义。传统科学问题强调解释世界，而量子芯片的核心任务是构造一个足够稳定的人造量子世界，使其在有限时间内执行可验证的算法流程。于是，量子态不再只是理论上的波函数描述，而是受制于封装材料、微波链路、制冷功耗、布线密度与误差预算的系统资源。退相干也不再只是"环境扰动"这一抽象概念，而是具体落实为介质损耗、磁通噪声、电荷噪声、激光频率漂移、离子加热、原子散射或自旋浴耦合等物理机制。只有将量子力学放入这种工程化坐标系中，我们才能理解为什么今天量子芯片的竞争，实质上已转向噪声治理能力、参数稳定能力和跨尺度协同设计能力的竞争。

- **概念可测化**: 把量子力学中的抽象概念映射为可实验标定的指标体系，是工程落地的前提。
- **误差预算化**: 一切物理过程都必须纳入门级、周期级与系统级误差预算，否则无法谈论可扩展性。
- **跨层协同化**: 物理规律只有与控制架构、制造工艺、软件编排共同设计，才能形成真正可运行的量子系统。

9.1.3 六大技术路线的竞合格局

本报告系统梳理了超导量子比特、半导体自旋量子比特、离子阱、光量子、中性原子与拓扑量子六大路线，并非为了给出一个简单的"胜负榜"，而是为了揭示其长期竞合关系。六条路线在物理机理、门实现方式、环境要求、互连模式与容错路径上存在根本差异，因此它们面临的工程瓶颈也

高度异构。超导路线在控制成熟度和集成速度上先行，但在低温布线、相干保持与大规模封装方面承受明显压力；离子阱与中性原子在高保真操控和全连接特性上具有吸引力，却需要解决速度、并行度与复杂控制系统带来的约束；半导体自旋路线兼容成熟CMOS工艺的潜力巨大，但材料一致性、读出方式与大规模均匀性仍是难点；光量子适合通信和特定计算模型，但确定性门与大规模纠错代价不容低估；拓扑量子具有理论上的高鲁棒性愿景，却尚处于实验验证与器件确证的关键阶段。

从评价方法上看，路线比较本质上是一个多目标优化问题而非单目标排序问题。每条路线都可以被抽象为在保真度、门速度、连接度、可制造性、控制复杂度与运行成本构成的多维指标空间中的一个可行域，不同应用场景对应不同的权重向量，因此"最优路线"随目标函数而变。举例而言，若目标是尽快演示逻辑比特寿命超越物理比特的盈亏平衡点，那么门速度快、纠错周期短的超导路线具有天然节拍优势，因为在相同墙钟时间内它能完成多一到两个数量级的纠错轮次；若目标是以最少物理资源实现中等规模高保真模拟，则全连接的离子阱与可重构的中性原子阵列可能在编译开销上占优；若目标是十年尺度的单位比特制造成本，则与CMOS产线兼容的自旋路线具有斜率上的想象空间。承认权重向量的多样性，是本报告拒绝"押注式结论"的方法论根据。

更重要的是，这六大路线之间并非零和替代。未来相当长时间内，不同路线更可能在不同应用、不同规模和不同成本结构下并存发展。技术竞争会推动性能边界不断上移，而产业合作则可能在材料、控制、算法、软件栈和测量基础设施等层面共享能力。也就是说，量子芯片产业的成熟路径，不会复制传统CPU或GPU"单一架构一统天下"的历史，而更像高性能计算、通信系统与精密仪器产业的混合体：底层物理多样、上层接口逐步收敛、应用生态按问题类型分层展开。对这一格局的认识，有助于避免过早押注单一路线，也有助于建立更稳健的技术评价框架。

- **竞的方面**: 各路线围绕比特质量、扩展速度、制造成本与应用适配性展开持续竞争。
- **合的方面**:　测控电子学、算法编译、误差表征、低温工程等通用能力会形成跨路线共享基础设施。
- **演化特征**: 路线分化将长期存在，而接口标准化和平台化能力将逐步增强。

9.1.4 四阶段演化路径的历史定位

本书提出的四阶段演化路径，即科学验证阶段、噪声中等规模原型阶段、容错门槛跨越阶段与产业化系统部署阶段，为理解量子芯片发展节奏提供了更清晰的时间结构。第一阶段的重点是证明量子态可被稳定操控，建立基本门操作、测量与校准能力；第二阶段则进入NISQ体系，在有限规模和噪声条件下展示特定任务上的潜在优势；第三阶段的核心，是通过纠错与容错实现逻辑量子比特，使计算结果摆脱物理错误的直接支配；第四阶段才真正对应可持续运营、可验证交付、可嵌入产业流程的量子计算基础设施。四个阶段既有递进关系，也存在重叠与回摆，因为很多系统会在某一子能力上提前进入下一阶段，而在另一子能力上仍停留于前一阶段。

若把"容错量子计算的产业渗透率"视作一个整体成熟度变量，其随时间的演化大概率遵循技术扩散研究中反复得到验证的 S 形曲线，即

$$f(t) = \frac{1}{1 + e^{-k(t - t_0)}} \tag{式 9-3}$$

其中 $f(t)$ 为归一化成熟度（0 代表纯实验室阶段，1 代表基础设施化完成），t_0 为曲线拐点年份，k 为扩散速率常数。综合逻辑比特演示进度、纠错开销收敛速度与资本投入节奏，本报告估计拐点 t_0 落在 2035 年前后、速率常数 $k \approx 0.35$ 每年是一组中性假设。代入计算可得：$f(2030) = 1/(1+e^{1.75}) \approx 0.15$，即 2030 年行业整体仍处于加速前夜，仅完成成熟化进程的一到两成；$f(2035) = 0.5$，对应早期容错系统开始承担真实工作负载的临界时刻；$f(2040) = 1/(1+e^{-1.75}) \approx 0.85$，对应容错平台成为科研与部分产业的常规工具。由该曲线还可推出一个常被忽视的结论：从 10% 成熟度爬升到 90% 所需时间为 $2\ln 9/k \approx 12.6$ 年，即整个陡峭爬坡期横跨约 2029 年至 2041 年。这意味着"突变叙事"与"停滞叙事"都不符合扩散动力学——变化是快的，但快得有过程。

这一演化框架的价值，在于它纠正了"比特数线性增长即技术成熟"的误解。量子芯片发展的关键不只是规模扩张，更是每一阶段主导矛盾的切换：从"能否实现"转向"能否稳定"，再从"能否稳定"转向"能否纠错"，最终从"能否纠错"转向"能否经济部署"。因此，技术评估必须关注阶段性目标与瓶颈的匹配程度，而不能用单一横向指标覆盖所有时期。当前全球产业事实上正处在第二阶段向第三阶段过渡的关键窗口，即 S 曲线从缓变段进入陡升段的起点区域，谁能率先在逻辑比特寿命、容错门集、错误解码效率与系统资源开销之间建立可验证优势，谁就更有机会定义下一轮产业标准。

- **阶段一**: 证明量子操控可行，核心是基础物理与实验平台搭建。
- **阶段二**: 追求原型机规模与特定任务展示，核心是噪声条件下的有效算力组织。
- **阶段三**: 进入容错拐点，核心是逻辑比特和纠错开销的工程化平衡。
- **阶段四**: 面向产业部署，核心是成本、可靠性、运维与应用价值的闭环。

9.1.5 产业影响与价值释放逻辑

量子芯片的产业影响并不会以单次"技术奇点"方式突然降临，而更可能沿着模拟、优化、密码与基础科学工具化等路径逐步释放。首先，量子系统与量子过程的模拟，是最有希望率先出现结构性突破的场景，因为其问题本身天然处于高维希尔伯特空间中，经典计算往往面临指数级困难。其次，组合优化、采样与部分机器学习相关任务，可能在混合算法、启发式框架与专用硬件协同下形成阶段性应用窗口。再次，密码学影响则具有更强的制度外溢性，一旦容错量子计算进入实用区间，公钥基础设施、长期数据安全与国家级通信体系都必须提前迁移。由此可见，量子芯片的产业价值释放不是单线程推进，而是能力成熟度、应用匹配度与制度准备度共同作用的结果。

价值释放的时间结构，还可以从投资回报的折现算术中得到印证。对一项初始投入为 I_0、未来第 t 年产生净现金流 C_t 的量子技术投资，其净现值为

$$\mathrm{NPV} = -I_0 + \sum_{t=1}^{T} \frac{C_t}{(1+r)^t} \tag{式 9-4}$$

其中 r 为折现率，T 为评估期限。量子芯片投资的特殊性在于正现金流普遍后置：若主要回报出现在 10 年之后，则以风险资本常用的 $r = 0.10$ 计，折现因子 $1.1^{-10} \approx 0.39$；若按深科技项目更严格的 $r = 0.15$ 计，则 $1.15^{-10} \approx 0.25$。也就是说，十年后一元钱的回报，在今天的估值账面上只剩两角五分到四角钱，十五年后更是压缩到一角到两角。这一简单计算解释了三个产业现象：其

一，纯市场化短期资本天然不足以支撑容错攻坚期，政府与战略投资者的"耐心资本"在拐点之前不可替代；其二，企业普遍选择"云接入+算法服务+专用场景"的近期变现组合来改善现金流曲线的形状，而非等待终极容错机器；其三，一旦 S 曲线进入陡升段、回报期从十年压缩到五年以内，折现因子将从 0.25 量级跳升至 0.5 以上，估值体系会发生跃迁式重排——这正是当前各方争相卡位的财务逻辑。

与此同时，量子技术对产业组织方式的影响，也值得特别强调。它不仅会催生新的硬件平台公司，更会牵引低温工程、特种材料、射频微波、激光与光学、EDA、算法软件、云服务与安全治理等多层级生态重构。产业竞争不再局限于"谁先做出更多比特"，而会延伸到谁能更快建立开发工具链、测试验证体系、用户接口和行业合作网络。在这一意义上，量子芯片不是一个孤立行业，而是一类牵引多学科、多产业联动升级的"平台型技术引擎"。它的真正影响力，不仅来自计算能力本身，更来自它重组技术分工和创新路径的能力。

- **价值释放顺序**: 更可能先在量子模拟与科研工具中显现，再逐步扩展到优化与密码迁移。
- **产业牵引效应**: 会带动材料、制冷、封装、控制、软件和安全等配套产业共同升级。
- **平台化特征**: 未来竞争重点将从单点器件性能转向全栈生态的组织效率与交付能力。

9.1.6 风险治理的总体逻辑

本报告最后一项核心回顾，是风险治理在量子芯片技术演进中的基础性地位。量子技术之所以需要治理，不仅因为其可能改变算力结构和密码安全，更因为其研发过程本身就具有高投入、高不确定性、长周期与强政策敏感性的特征。若缺乏治理框架，市场容易在概念繁荣与预期透支之间反复波动，科研体系也可能在短期绩效压力下偏离真正重要的基础问题。治理的首要任务，不是给技术设限，而是为其建立可信的评价机制、合理的资源配置方式和前瞻性的安全迁移路径，使发展速度与社会承载能力相匹配。

治理的紧迫性同样可以被量化理解。以密码安全为例，业界常用的迁移时间不等式指出：若数据需要保密的年限为 x、密码体系完成迁移需要 y 年、容错量子计算机在 z 年后到来，则只要 $x + y > z$，"先窃取、后解密"的威胁就已经在今天成立。取机构敏感数据的典型保密需求 $x \approx 15$ 年、大型基础设施密码迁移的历史经验 $y \approx 10$ 年，则即便容错机器要到 $z \approx 15$ 至 20 年后才出现，不等式也早已被满足——这正是后量子密码迁移必须"现在启动"而非"看到机器再启动"的算术根据。类似的前置逻辑也适用于标准体系与人才培养：一名合格的量子工程师需要五到八年的交叉训练周期，若等到产业爆发再培养，供给缺口将持续整整一个技术代际。

从更深层看，量子芯片的治理问题并不只属于政策层，它同样内嵌于工程实践之中。误差报告是否透明、基准测试是否可复现、应用宣称是否与实际算力相符、密码迁移是否提前启动、人才培养是否覆盖交叉能力，这些都直接影响行业健康度。换言之，技术路线的优劣不仅体现在物理指标上，更体现在能否形成长期可信的创新制度。只有当技术演进与治理演进同步推进，量子芯片才可能避免"科学突破很强、工程兑现很慢、市场信任不足"的结构性失衡。

- **评价治理**: 建立可重复、可审计、可跨平台比较的测试与披露体系。
- **安全治理**: 提前布局后量子密码迁移、关键数据保护与基础设施韧性建设。
- **创新治理**: 在鼓励探索与防止泡沫之间寻找平衡，保障长期主义研发环境。

9.2 主要贡献与综合结论

9.2.1 系统性框架贡献

本报告的首要贡献，在于为量子芯片技术建立了一个兼具物理真实性、工程可操作性与产业解释力的系统性框架。过去关于量子计算的讨论，往往分散在基础物理、单一路线综述、算法潜力或资本叙事之中，缺乏一个能够贯通"从量子比特到产业部署"的整体视角。本报告通过三大支柱架构、六大技术路线比较与四阶段演化路径的组合分析，构建了一种能够跨层级组织知识的研究方式。它不仅回答"有哪些路线、各自特点是什么"，更回答"为什么这些路线会表现出不同的产业节奏、为何纠错成为分水岭、何以评价真正的成熟度"。

这种框架贡献的意义，在于把量子芯片从"零散热点集合"重新组织为"有内在逻辑的系统工程对象"。在此框架下，读者可以理解某项指标提升为何重要，也可以理解其重要性何以受限于其他层面的约束。比如，门保真度的提升若无法转化为逻辑比特寿命的改善，其工程价值就需要重新评估；又如，工艺兼容性若不能带来大规模一致性和可校准性，也不意味着可以直接跨越容错门槛。由此形成的研究框架，不仅适用于本书所讨论的现状，也可用于未来对新技术路线、新器件范式和新产业结构的持续分析。框架的另一层用途在于风险识别：当某项公开宣称只覆盖三大支柱中的一柱、或只对应四阶段中的某个局部里程碑时，框架能够帮助评估者迅速定位其未言明的前提与未解决的短板，从而在信息不对称的环境中保持判断力。

9.2.2 工程化视角贡献

本报告的第二个主要贡献，是将量子芯片明确置于工程化视角之下加以重构。这里的"工程化"并不意味着削弱基础科学的重要性，相反，它强调任何基础物理突破最终都必须通过设计规则、制造公差、测控闭环、误差模型与运维体系来体现其现实价值。量子芯片的难点，恰恰不在于单个实验现象是否惊艳，而在于这些现象能否在数百、数千乃至更多耦合单元上保持可复制、可维护与可扩展。工程化视角因此提供了一把更严格的衡量尺度，使我们能够区分"科学上成立"与"系统上成立"之间的距离。

这一贡献尤其重要，因为量子产业当前最容易出现的偏差，就是以实验室里程碑替代产业化能力，以局部极值替代系统最优。工程化视角要求我们把器件、控制、软件、封装、制冷、测试与应用一起纳入同一张资源约束图中考察，并且承认许多瓶颈将出现在接口而非单点。历史经验反复表明，复杂系统的失效概率随接口数量近似指数增长，而量子系统的接口密度——微波线缆、低温连接器、时序同步链路、校准依赖关系——远高于同规模经典系统。正是在这种视角下，量子芯片技术路线的成败标准被重新定义：不是谁最先做出更大数字，而是谁能最先建立从噪声控制到逻辑抽象、从硬件平台到应用验证的全链路闭环。

9.2.3 六条综合结论

结论一:量子芯片已从科学问题转变为工程问题。 这一判断并不是说科学探索已经结束，而是说决定未来十年技术领先地位的关键变量，越来越集中在工程组织能力上。量子比特的存在性、基本门的可实现性以及量子优势的原则性可能性，已经得到广泛确认；真正的挑战在于如何把这些原理转化为稳定、可复制、可维护且具有经济可行性的系统。未来竞争不会只比谁懂更多量子力学，而

会比谁更擅长把物理规律封装成工程能力，把实验成功率转化为长期产能，把学术里程碑转化为产业标准。

工程问题的一个显著特征，是规模演化呈现出可拟合、可外推的统计规律。回顾过去十余年公开系统的物理比特数：从数个、数十个到 2019 年前后的 50 至 100 个，再到 2023 年前后千比特量级原型的出现，整体符合指数增长模型

$$N_p(t) = N_0 \cdot 2^{(t - t_0)/T_d} \tag{式 9-5}$$

其中 $N_p(t)$ 为 t 年可实现的物理比特数，N_0 为基准年 t_0 的比特数，T_d 为倍增周期。以 $t_0 = 2023$、$N_0 \approx 1.1 \times 10^3$ 为锚点，历史数据拟合给出 T_d 在 1.5 到 2 年之间。取保守值 $T_d = 2$ 外推：2030 年 $N_p \approx 1.1 \times 10^3 \times 2^{3.5} \approx 1.2 \times 10^4$，2035 年 $N_p \approx 7 \times 10^4$，2040 年 $N_p \approx 4 \times 10^5$；取乐观值 $T_d = 1.5$，则 2035 年可达 3×10^5、2040 年逼近 3×10^6。综合两组参数，本报告的中性预测是：2030 年物理比特数进入万级，2035 年进入十万级区间，2040 年在数十万到数百万之间。必须强调，这类"类摩尔外推"成立的前提是模块化互连、低温控制与良率工程同步兑现——指数曲线描述的从来不是物理定律，而是产业组织能力持续投入下的经验轨迹，一旦某一支柱掉队，曲线就会走平。

结论二:纠错是未来十年的主线。 不论采用何种物理路线，只要目标是通用量子计算，纠错与容错几乎都是无法绕开的主战场。原因在于物理量子比特天然脆弱，噪声积累会快速吞噬长电路计算的有效性，而逻辑量子比特正是跨越这一极限的唯一可靠路径。容错理论的核心定量关系，是逻辑错误率随码距的指数压低规律：

$$p_L \approx A \cdot \left(\frac{p}{p_{th}}\right)^{(d+1)/2} \tag{式 9-6}$$

其中 p_L 为每纠错周期的逻辑错误率，p 为物理错误率，p_{th} 为纠错码阈值（表面码约为 10^{-2}），d 为码距，A 为量级为 0.1 的常数因子。这条公式解释了为什么物理保真度跨过阈值后每一点改善都价值巨大：当 $p = 10^{-3}$、即 $p/p_{th} = 0.1$ 时，取 $d = 25$，可得 $p_L \approx 0.1 \times 0.1^{13} = 10^{-14}$，足以支撑总门数达 10^{12} 量级的深层算法；而若 p 只做到 5×10^{-3}，同样的 $d = 25$ 只能给出 $p_L \sim 10^{-5}$，几乎不具实用价值。指数压低的代价是多项式的资源开销，表面码单个逻辑比特所需物理比特数近似为

$$R = \frac{n_{phys}}{n_{logic}} \approx 2d^2 \tag{式 9-7}$$

其中 R 为纠错开销比，$d = 25$ 时 $R \approx 1250$，即一千余个物理比特才能供养一个高质量逻辑比特。将式 9-5 的规模外推与式 9-7 的开销约束合并，可以得到逻辑比特数量的时间轨迹估计：

$$N_L(t) = \frac{N_p(t)}{2d(t)^2} \tag{式 9-8}$$

其中 $d(t)$ 为该时期达到目标逻辑错误率所需的码距，随物理错误率改善而缓慢下降。代入中性参数：2030 年 $N_p \approx 10^4$、$d \approx 15$（对应早期 $p_L \sim 10^{-8}$ 的演示级需求），得 $N_L \approx 20$，对应"数十个逻辑比特的容错原型机"；2035 年 $N_p \approx 10^5$、$d \approx 20$，得 $N_L \approx 125$，进入百逻辑比特的早期实用区；2040 年 $N_p \approx 10^6$、$d \approx 25$，得 $N_L \approx 800$，接近千逻辑比特门槛。未来十年的核心指标，可

能不再只是物理比特数量，而是逻辑比特数量、逻辑门错误率、纠错周期效率、解码延迟和每个逻辑比特所需的资源开销。谁能更有效地压缩这些开销，谁就更接近真正可用的量子计算。

结论三:多技术路线将长期并存。 六大路线之间不存在足以在短期内彻底清场的压倒性优势，不同路线会在不同目标函数下表现出不同最优性。超导可能继续在通用原型平台上领先，离子阱与中性原子可能在高保真或特定联接结构上形成优势，半导体自旋可能在高密度制造方向取得突破，光量子可能在通信与采样场景维持独特位置，拓扑量子则代表一种高风险高回报的长期押注。产业更合理的策略，不是强行寻找唯一王者，而是建立分层评估、动态比较与接口兼容的生态结构。值得补充的是，路线并存并不意味着路线均势：资本、人才与供应链会沿着阶段性成果向头部路线集中，形成"多样性收窄但不归一"的动态格局，落后路线必须依靠差异化生态位而非全面对标来维持演化空间。

结论四:经典—量子混合将是常态形态。 即便进入容错时代，量子计算也不会脱离经典计算而孤立存在。量子处理单元需要经典系统完成编译、调度、校准、读出后处理、纠错解码与任务编排，很多应用还需要经典启发式算法、数值优化器和高性能计算平台提供外环支持。仅以纠错解码一项为例：一台千逻辑比特、码距 25 的容错机器，每个纠错周期需要处理约 10^6 个物理比特的伴随式测量流，若周期为微秒量级，则解码系统必须维持每秒 10^{12} 比特级的实时处理带宽，这本身就是一个不折不扣的经典高性能计算问题。其关系并非简单的"量子替代经典"，而是形成一种深度耦合的新型计算体系。未来真正有竞争力的平台，往往不是拥有单独最强量子芯片的平台，而是能够把经典资源与量子资源高效拼接起来的平台。

结论五:产业价值将沿"模拟→优化→密码"次序释放。 量子价值不会在所有行业同时到来，而会遵循问题结构与技术成熟度的耦合顺序。量子模拟最贴近量子系统本体，因此最可能率先形成科研与工业材料领域的突破；优化问题则需要在算法、映射和实例特征上找到更清晰的优势边界，可能以行业化、专用化方式渐进释放价值；密码影响虽然最具制度震荡性，却高度依赖容错量子计算真正进入实用区间，因此其社会准备必须前置，但商业兑现未必最早。这一次序也与资源需求的定量分层一致：有价值的量子模拟大约在百逻辑比特量级即可起步，行业优化需要数百至数千逻辑比特，而密码分析则要求数千逻辑比特叠加万亿级门操作，按式 9-8 的轨迹分别对应 2035 年前后、2030 年代末与 2040 年之后的时间窗。理解这一顺序，有助于避免产业界在错误时间期待错误回报。

结论六:治理与技术必须同步演进。 量子芯片的发展速度越快，越需要在评价标准、算力声明、数据安全、密码迁移、国际合作与人才制度上形成前置安排。若治理滞后，技术进步可能引发信任透支、资本误判与基础设施脆弱性；若治理过度保守，又可能抑制真正重要的前沿探索。因此更合理的路径，不是等待技术成熟后再补治理，而是在研发、测试、部署、应用的每个环节中嵌入治理原则，使技术成长与制度学习同步发生。

9.3 局限性与未决问题

任何关于量子芯片的综合性报告，都不可避免地受到方法边界与信息边界的限制。本报告的第一项局限，在于它采取的是面向技术解决方案的系统综述方法，而非面向单一器件或单一算法的原始研究方法，因此其优势是框架完整，弱项则是无法在每一个细分实验参数上穷尽最新结果。考虑

到量子领域发展极快，不同实验平台的最佳指标会持续刷新，部分公开数据也可能因测试条件差异而难以直接横向比较。报告因而更强调趋势、机制与结构性判断，而非追逐所有瞬时纪录。这样的取舍有助于保持论证稳定性，但也意味着某些前沿突破的短期影响需要在后续研究中动态更新。

与此相关的一项方法论局限，是本章多处使用的外推公式本身的适用边界。式 9-3 的 S 曲线与式 9-5 的指数外推，都属于对历史数据的现象学拟合，其参数区间（如倍增周期 T_d 取 1.5 至 2 年、拐点 t_0 取 2035 年前后）携带明显的不确定性：参数在合理范围内的摆动，足以使 2040 年的规模预测在一个数量级内变化。因此这些计算的正确用法，是给出量级判断与情景边界，而非精确的年份承诺；本报告在每一处外推旁均给出了保守与乐观双参数情形，正是为了防止读者将"辅助猜想的计算"误读为"确定性的预言"。

第二项局限，在于量子芯片技术本身仍处于快速演化阶段，许多关键问题尚无定论。首先，退相干的根源虽然在不同平台上已能归纳为若干主要机制，但很多噪声源仍具有材料依赖性、工艺依赖性和环境依赖性，其微观起源未被完全澄清。其次，最优纠错码尚不存在普遍答案。表面码因局域性和较高阈值而成为主流选择，但其开销巨大；LDPC型量子码、子系统码、偏置噪声友好码以及针对特定硬件结构优化的纠错方案，都有可能在未来改变资源成本曲线。再次，量子加速的真实边界依然需要更严谨界定，尤其是在经典算法不断改进、专用加速器不断演化的背景下，哪些问题能获得稳定且可重复的量子优势，仍是开放议题。

同样悬而未决的，还有规模化路径本身的形态问题。单体扩展与模块化互连之间的经济分界点究竟落在哪个规模，目前只能给出量级判断：若微波—光量子转换效率与模块间纠缠分发速率长期停留在当前水平，跨模块操作的时间成本（下节 8.4.1 将给出定量估算）将迫使系统设计尽可能推迟模块化；反之，若接口技术出现数量级改善，模块化将提前成为主流形态，届时单芯片良率与制冷机容量的约束权重都会被重新定价。此外，量子网络的协议栈——纠缠资源管理、跨节点时序同步、错误语义定义与网络层仲裁机制——尚无跨平台共识，其标准化进度将直接影响分布式容错的工程可行性。这类问题的答案不完全取决于科学发现，更取决于工程数据的积累速度与产业协作的组织效率，本报告只能将其标注为高影响、高不确定性的开放变量。

更进一步看，未决问题不仅来自技术内部，也来自系统外部。容错计算需要的能源、制冷与基础设施成本究竟能否在大规模部署时保持合理区间，目前缺乏足够长期的数据：一台百万物理比特级超导机器的稀释制冷与控制电子功耗究竟收敛在数百千瓦还是数兆瓦，直接决定其单位算力成本能否与经典超算竞争，而现有工程数据不足以给出可靠答案。量子软件栈能否建立跨硬件平台的高层抽象，而又不损失底层性能，也仍需时间验证。产业层面则面临人才供给结构失衡、标准体系尚不统一、应用需求与平台能力错配等现实约束。因此，量子芯片的发展虽然方向明确，但其实现路径并不单一，甚至可能经历多轮路线回摆与范式重组。对这些局限与未决问题保持清醒认识，不仅不会削弱量子技术的战略意义，反而能帮助行业以更稳健的方式推进真正重要的突破。

- **方法局限**: 本报告侧重系统整合与工程分析，难以覆盖全部最新实验细节与动态数据。
- **外推局限**: 类摩尔曲线与 S 曲线拟合只提供量级判断与情景边界，参数不确定性可使远期预测漂移一个数量级。
- **物理未决**: 退相干微观机制、材料缺陷来源与噪声长期稳定性仍需深入揭示。
- **理论未决**: 最优纠错码、量子优势边界与复杂性分类问题尚未形成最终共识。

- **工程未决**: 大规模封装、低温控制、能耗成本与跨平台软件抽象仍待验证。
- **互连未决**: 单体与模块化的分界规模、微波—光转换效率上限与量子网络协议栈标准仍无定论。
- **产业未决**: 标准、人才、商业模式与安全迁移节奏仍处于探索阶段。

9.4 未来研究方向

未来量子芯片研究若要取得实质性跨越，首先仍需回到器件物理这一源头问题。器件层的研究方向，不应只满足于继续追求单项纪录，而应更系统地面向可制造性与可重复性重构目标函数。对于超导平台而言，需要更深入地理解材料界面损耗、二能级系统缺陷、磁通噪声与封装寄生效应的来源，并将这些认识反馈到工艺流程控制与版图设计规则中。对于自旋、离子、原子与光量子平台，则需分别推进杂质控制、陷阱稳定性、光场一致性、单光子源与探测器效率等关键能力的协同优化。器件物理的下一阶段重点，不仅是"做出更好的比特"，更是"做出一批性质一致、长期稳定、适合编码的比特阵列"。从式 9-6 的指数压低规律看，物理错误率每改善一倍，达到同一逻辑错误率所需码距近似按对数比例缩小，进而通过式 9-7 以平方关系压缩物理资源——器件物理的每一分进步，都会在系统层被杠杆式放大，这正是源头研究长期值得重仓的定量理由。

纠错理论与解码工程是未来十年资源开销曲线能否被改写的关键变量。表面码之外，高编码率的量子LDPC码正在改变人们对纠错开销的预期，其核心指标是编码率

$$r = \frac{k}{n} \tag{式 9-9}$$

其中 k 为一个码块承载的逻辑比特数，n 为消耗的物理比特数。表面码单逻辑比特编码相当于 $r \approx 1/(2d^2)$，在 $d = 25$ 时约为 8×10^{-4}；而近年提出的双变量自行车类 LDPC 码已在理论与初步实验层面展示了 r 达到 $1/12$ 量级的可能，例如以 144 个物理比特承载 12 个逻辑比特的构造，相较表面码将开销压缩约两个数量级。若此类高率码的长程连接需求能够被模块化硬件消化、且高效实时解码器可以落地，则式 9-8 的逻辑比特外推将整体上移一到两个数量级，千逻辑比特的时间点可能从 2040 年前后提前至 2030 年代中后期。这正是纠错研究被称为"改变时间表的研究"的原因：它不改变物理曲线，却能改变物理曲线兑现为算力的汇率。

系统架构方向将是决定量子芯片能否跨越容错门槛的另一个关键前沿。未来研究必须从单芯片视角转向系统级协同视角，重点处理逻辑比特布局、模块化互连、二维与三维封装、低温电子学、控制链路带宽、测量吞吐与实时解码等问题。尤其在纠错时代，控制系统不再只是"辅助模块"，而会成为决定计算有效性的核心组成部分。如何在有限热预算和有限I/O资源下支持大规模并行校准与实时纠错，如何设计可扩展的时钟与调度架构，如何把异构模块拼接为可编排的量子系统，这些问题的重要性正在快速上升。量子架构研究因此必须吸收传统计算机体系结构、通信网络与嵌入式系统设计的方法，但又不能机械照搬，因为量子信息对延迟、噪声和观测方式的约束完全不同。

算法与应用方向也将出现更精细的分化。过去量子算法研究常以"理论加速是否存在"为主要目标，未来则必须更重视"在给定硬件与给定误差模型下，哪些算法结构具有现实可执行性"。这意味着算法设计要与编译、纠错、噪声缓释和问题映射深度耦合。面向量子化学、材料设计、优化、机器学习与密码分析的算法研究，都需要建立更扎实的基准体系，区分原理性优势、实例性优势与产业性优势之间的层次差异。与此同时，混合算法仍将是重要方向，因为它更符合近期与中期硬件能

力边界。真正有价值的研究，不是抽象证明一个算法在极限条件下优越，而是明确其所依赖的比特规模、门深、读出需求、容错等级和经典配套资源。

交叉学科方向的重要性将进一步提升。量子芯片并不是单一学科可以独立推进的对象，它天然要求物理学、材料科学、微电子、控制工程、计算机体系结构、数学、密码学与产业经济学共同参与。未来值得重点布局的交叉研究包括：基于机器学习的校准与噪声识别方法、面向量子器件的先进材料表征与缺陷诊断、量子纠错中的高效解码算法与专用加速硬件、后量子密码迁移与量子安全治理框架、以及量子计算与高性能计算中心融合的基础设施方案。这些方向之所以关键，是因为量子芯片的瓶颈越来越不在单学科内部，而在学科接口形成的"协同摩擦"上。谁能降低这种摩擦，谁就更可能率先推进真正意义上的系统突破。

- **器件物理方向**: 聚焦噪声根源、材料缺陷、批量一致性与适配纠错的器件阵列构建。
- **纠错解码方向**: 聚焦高编码率量子码、实时解码硬件与开销收敛路径的工程验证。
- **系统架构方向**: 聚焦模块化扩展、低温控制、互连封装与实时纠错协同。
- **算法应用方向**: 聚焦硬件约束下的可执行算法、可验证基准与行业场景映射。
- **交叉学科方向**: 聚焦材料、控制、软件、安全与基础设施的跨界融合研究。
- **互联网络方向**: 聚焦模块间纠缠分发、微波—光量子转换、量子中继与接口感知的分布式纠错架构。

9.4.1 量子互联网与分布式量子计算

在上述各方向之外,有一个正在从"补充选项"上升为"必经之路"的前沿,值得单独展开,这就是量子互联网与分布式量子计算。其兴起的根本原因,是单体扩展路线正在逼近一组难以绕开的物理与工程天花板:单台稀释制冷机的冷却功率、真空法兰可容纳的线缆数量、单芯片的制造良率与校准复杂度,共同将单模块可承载的物理比特数压制在万级量级附近,而按 9.5 节的资源估算,密码分析级的容错应用需要的是百万乃至千万物理比特。跨越这一鸿沟的共识性答案,不是把单个模块做到无限大,而是把系统组织为"多个中等规模模块加量子互连"的网络化结构。互连本身又分为两个层次:其一是同一低温平台内的芯片间微波互连,距离在厘米到米的量级,已有跨芯片纠缠门的实验演示,保真度正逐步逼近片内水平;其二是跨制冷机、跨机房乃至跨地域的光子互连,它要求把驻留在微波频段或物质体系中的量子信息映射到电信波段的飞行光子上,这正是量子互联网的物理起点。

长程光子链路的核心约束,是光纤损耗带来的指数衰减。单光子经过长度为 L 的光纤后的存活概率为

$$\eta(L) = 10^{-\alpha L/10} \tag{式 9-10}$$

其中 η 为单光子透射概率,α 为光纤衰减系数(电信波段约 0.2 dB/km),L 为链路长度。代入计算即可看清问题的量级结构:$L = 50$ km 时 $\eta \approx 0.1$,直连尚可工作;$L = 500$ km 时 $\eta = 10^{-10}$,即便光子源以 GHz 重复率工作,平均每十秒才成功一次;$L = 1000$ km 时 $\eta = 10^{-20}$,同样的源需要等待数千年量级才有一次成功,任何工程意义都已消失。由于量子态不可克隆,经典光通信中"每隔几十公里放一个放大器"的办法在原理上被禁止,唯一的出路是量子中继:将长链路切分为若干短段,在各段内并行建立纠缠,再通过纠缠交换逐级拼接,并辅以纠缠纯化提升保真度,从而把指数代价折算成多项式代价。

中继方案的两块基石——高效率长寿命的量子存储与高保真的贝尔态测量——目前仍处在保真度、效率与带宽互相牵制的阶段,是未来十年量子网络研究的主攻点。图 9-2 给出了从点对点密钥分发到分布式容错计算的量子互联网愿景分层示意。

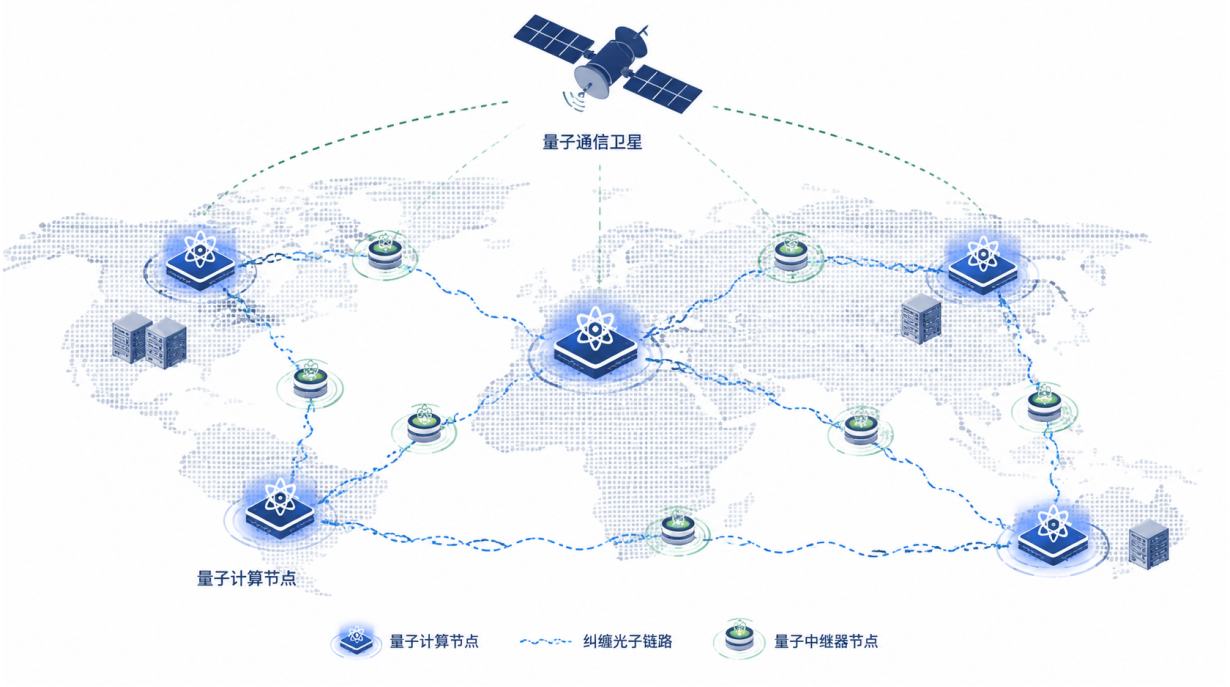


图 9-2 量子互联网与分布式量子计算愿景

如图 9-2 所示,分布式量子计算位于这一愿景的最上层,其可行性取决于跨模块操作的资源账本。跨模块双比特门通常经由门隐形传态实现:每执行一个非本地门,需要消耗模块间预先建立的一对贝尔态,并交换两比特经典信息。因此跨模块门的时间开销由纠缠分发速率设定下限,可用一个无量纲开销比来刻画:

$$K = \frac{1}{R_{ent} \cdot \tau_g} \tag{式 9-11}$$

其中 R_{ent} 为模块间纠缠对的有效生成速率,τ_g 为本地双比特门时间,K 表示一个跨模块门折合多少个本地门的时间。代入当前公开水平:离子—光子与原子—光子接口的远程纠缠速率大体在 10^2 至 10^3 Hz 量级,而超导本地门时间 $\tau_g \sim 10^{-7}$ s,可得 $K \sim 10^4$ 至 10^5,即一个跨模块门的时间成本相当于上万乃至十万个本地门。这一悬殊比例给出了分布式架构的两条设计铁律:其一,编译器必须以最小化跨模块门为首要目标,把算法图划分问题当作最小割问题来求解,使切口流量与 R_{ent} 相匹配;其二,纠错码必须做接口感知设计,例如让逻辑比特整体驻留在单一模块内,仅在模块边界通过格点手术式的逻辑操作完成拼接,使昂贵的跨模块资源只服务于逻辑层而非物理层。反过来,这也定义了互连技术的改进目标:纠缠速率每提升一个数量级,K 就同比缩小一个数量级,分布式系统的可用性随之发生台阶式改善。

从演化节奏上看,量子互联网大概率沿分层阶梯逐级抬升:第一层是基于可信中继的量子密钥分发网络,已有城域和骨干规模的部署实践;第二层是端到端纠缠分发网络,支持设备无关的密钥协商与分布式传感;第三层是量子隐形传态网络,支持量子态的搬运与盲量子计算;最高层才是跨节点的分布式

容错计算。就近中期而言,最现实的形态并非"跨城计算集群",而是同一机房内米级到百米级的多模块系统——距离短到无需中继,却已足以绕开单制冷机的扩展天花板。还应指出,不同物理路线在这一方向上的禀赋差异显著:离子阱与中性原子拥有天然的光学跃迁,与飞行光子的接口最为顺畅;超导路线则必须依赖微波—光量子转换,而目前转换的量子效率仍远小于 1(公开结果多在 10^{-2} 量级或更低),且伴随噪声光子问题,是其接入光互连的最大短板。互连能力因此可能成为路线权重向量中分量上升最快的一项,这与 8.1.3 节多路线长期并存的判断相互印证:未来的量子计算基础设施,很可能是异构模块经由量子网络协同工作的联合体,而非单一路线的孤岛式巨机。

9.5 量子时代的文明展望



图 9-1 容错量子计算时代愿景

如果把人类计算史放在更长的文明尺度中观察，量子芯片的出现可以被理解为一次计算范式变迁的延续，而不是孤立的技术插曲。机械计算装置把计算从人脑记忆与手工推演中解放出来，电子计算机把逻辑操作从机电系统提升到电子速度，集成电路又把算力压缩进可大规模复制的微观器件中。每一次跃迁都不仅提高了速度，更改变了知识生产、工业组织、军事安全、经济协作和社会认知的边界。量子芯片如果最终走向容错和规模化，同样不会只是"更强的一台计算机"，而会成为一种重新定义复杂问题可解性的基础设施。其文明意义，正在于它可能把某些过去被视为不可触及的高维系统，转化为可计算、可模拟、可设计的新对象。

这种意义首先体现在对科学研究方式的改变。自近代科学诞生以来，人类对自然规律的理解主要依赖理论推导、实验观测与经典数值模拟三种路径，而量子芯片可能使其中第三条路径发生质变。对于强关联材料、复杂分子反应、量子相变、核过程乃至某些高能物理模型，经典模拟常常因为状态空间爆炸而受限，使科学家不得不依赖近似方法与实验反推。这种受限具有清晰的算术形态：精确描述 n 个量子比特的一般纠缠态需要 2^n 个复振幅，$n = 50$ 时约为 10^{15} 个参数已逼近最大经典超算的内存极限，$n = 300$ 时 $2^{300} \approx 10^{90}$ 已超过可观测宇宙的原子总数——任何经典存储方案

在原理上都无从谈起。若量子芯片能够在容错条件下稳定工作，人类将第一次拥有一种更接近自然底层语言的计算媒介，用以直接逼近这些复杂系统的演化。这不仅会提高求解能力，更会改变科学提出问题、筛选假说与验证模型的方式，推动"可计算科学"进入新的深度层级。

它的第二重文明意义，在于可能引发技术体系的第二次量子革命。第一次量子革命的成果，塑造了晶体管、激光、核磁共振、半导体器件等现代工业基石，人类利用量子规律制造了宏观稳定的经典设备；而第二次量子革命，则试图直接操控单量子态、纠缠态和量子测量过程，把原本只属于微观世界的奇异性质转化为可工程部署的资源。两者的区别，不只是"用到更多量子概念"，而是在控制深度上发生了本质改变。前者利用量子规律的统计效应，后者则试图驾驭量子信息本身。若这一目标实现，量子芯片将与量子通信、量子传感、量子计量共同组成新的技术底座，使人类第一次能够在信息层面系统性地开发量子世界。

文明尺度的展望同样需要落回可计算的资源账本，密码学影响提供了最清晰的算例。运行Shor算法分解 n 位RSA模数，主流资源估计给出的逻辑比特需求约为 $3n$，叠加纠错后总物理比特需求近似为

$$N_{phys} \approx 3n \cdot 2d^2 \tag{式 9-12}$$

其中 n 为密钥位数，d 为所需码距。对 RSA-2048 取 $n = 2048$、$d = 27$（对应万亿门级算法所要求的 $p_L \sim 10^{-15}$），可得 $N_{phys} \approx 6.1 \times 10^3 \times 1458 \approx 9 \times 10^6$，与文献中"约两千万物理比特、运行八小时"的著名估计处于同一数量级。将这一需求与式 9-5 的规模外推对照：即便按乐观倍增周期，千万物理比特也要到 2040 年前后才可能出现，这为"密码迁移紧迫但机器未至"的判断提供了双向的定量支撑——迁移必须现在开始（因为 $x + y > z$ 的不等式已成立），而恐慌式的"明年破解"叙事同样不符合资源算术。文明层面的技术转折，往往正是这样被一组冷静的数量级计算所校准。

更深一层看，量子时代的真正价值，或许并不只是解决若干特定计算难题，而是推动人类重新认识"可知"与"可算"的关系。在经典计算时代，我们往往把算力视作认知能力的延伸，只要资源足够，原则上就可以不断逼近真实世界；而量子芯片提醒我们，认知边界本身与物理实现方式相关，计算并不是纯粹抽象的逻辑游戏，而是受制于宇宙允许何种信息过程的物理事实。正因为如此，量子芯片的成熟可能带来一种新的谦逊与新的雄心：谦逊在于承认经典方法并非普适钥匙，雄心在于承认人类仍能通过重新设计计算媒介，扩展理解世界的尺度与深度。这样的文明转向，并不空洞，因为它最终会落实为新材料发现、新药物设计、新密码秩序、新工业优化以及新的知识生产机制。

当然，宏大前景并不意味着线性通达。历史上的每一次计算革命，都经历了长期基础积累、产业试错与制度重构，其收益分布也并不均匀。量子芯片若进入大规模应用，同样会带来新的不平衡：掌握先进算力的平台可能拥有更强的科研与安全优势，算力基础设施的集中化可能加剧技术鸿沟，密码体系的更替也可能重塑国际治理格局。因此，文明意义不能只从"能力增加"来理解，更要从"如何分配、如何约束、如何普惠"来理解。真正成熟的量子时代，不应只是少数机构占有更深的计算能力，而应是在确保安全、可信与开放合作的前提下，让这种新算力成为推动整体文明跃升的公共力量。

9.6 行动建议与结语

对于研究者而言，最重要的建议是坚持问题导向与长期主义。量子芯片研究极易受到热点切换和短期绩效评价的干扰，但真正决定领域前进速度的，往往是那些看似基础却长期卡住系统上限的问题，例如材料缺陷、噪声起源、解码效率、标定稳定性和跨平台基准。研究者不仅要追求"首次实现"，更要重视"重复实现""稳定实现"和"可比较实现"。未来高价值成果，未必都来自最耀眼的单次演示，很多关键突破反而会来自对系统瓶颈的持续、耐心和可复现的打磨。本章的定量分析也为选题提供了一条朴素准则：优先选择那些出现在指数或平方位置上的变量——物理错误率、码距、编码率——因为对它们的改进会被系统以杠杆方式放大，而不是被线性稀释。

对于工程师而言，建议尽早建立跨层视角，不把自己局限在单一模块的最优解中。量子芯片工程的复杂性，决定了局部优化常常会在系统接口处失效。做器件的人需要理解控制链路与纠错需求，做控制的人需要理解热预算与编译调度，做软件的人需要理解硬件噪声模型与标定漂移。未来最稀缺的工程人才，不只是某个环节的专家，更是能在器件、系统与应用之间建立真实约束映射的人。工程师若能尽早形成这种跨层协调能力，就更可能在量子产业成熟过程中占据核心位置。

对于企业决策者而言，应避免把量子芯片视作短期财务回报项目，而应把它视作关乎未来技术主导权的战略能力建设。企业进入该领域，不能仅凭概念投资或品牌布局，而需要明确自身在材料、设备、控制、软件、云平台、行业应用或安全迁移中的真实位置。更重要的是，要接受量子产业早期"长链条、低确定性、强协同"的特征，以组合投资、场景共研和生态合作代替孤立押注。式 9-4 的折现算术给出了具体的操作含义：与其押注单一的远期终点，不如构造现金流时间形状互补的项目组合——近期的传感与安全业务、中期的云接入与算法服务、远期的容错平台能力——使组合整体的净现值对拐点年份的漂移保持稳健。真正稳健的企业战略，不是赌某一条路线瞬间获胜，而是围绕核心能力构建可穿越周期的参与方式。

对于政策制定者而言，建议从"支持前沿突破"与"建设长期制度"两端同时发力。一方面，需要继续支持基础研究、关键设备、公共平台和高水平人才培养，尤其要避免以短周期行政评价压缩高不确定性探索空间；另一方面，也应提前部署标准体系、测试认证、知识产权、国际合作边界和后量子密码迁移政策，使技术发展拥有稳定可预期的制度环境。政策的真正作用，不是替代技术判断，而是降低社会协调成本、提高长期投资信心，并为可能到来的算力与安全重构做好前置准备。政策时机的选择同样可以参考 S 曲线的结构：制度建设的最佳窗口位于拐点之前的缓变段，因为一旦进入陡升段，技术事实的形成速度将超过制度学习的速度，届时治理将从"塑造"退化为"追赶"。

对于青年学生而言，进入量子芯片领域最重要的不是急于站队某一条技术路线，而是尽快建立坚实的基础能力与跨学科语言。线性代数、量子力学、统计物理、半导体基础、信号与系统、控制理论、算法与编程、信息论与密码学，这些看似分散的知识最终会在量子芯片问题中汇合。青年学生若只追逐领域名词，容易被表面繁荣带偏；若愿意在基础训练上投入足够时间，则更有可能在未来十年真正参与定义这门技术。量子时代需要的不是"懂一点量子"的跟风者，而是能把深理论与真工程连接起来的建设者。

回到全书主题，量子芯片之所以值得被称为一种"技术解决方案"，正因为它不是单个器件、单种算法或单条产业路线的代名词，而是一个关于如何在量子噪声中组织计算、如何在物理极限下建

立工程秩序、如何在长期不确定性中塑造新基础设施的总体命题。它把比特、纠错与集成工艺联结为一个不可分割的整体，也把科学探索、工程实现与文明选择联结为同一历史进程中的不同层面。本章的各项外推计算一再表明：无论是物理比特的类摩尔曲线、逻辑比特的开销折算，还是成熟度的 S 形轨迹，量子芯片的未来都既不取决于某一次戏剧性的突破，也不受制于某一次令人沮丧的挫折，而取决于三大支柱在长周期中的持续协同抬升。未来道路仍将漫长，困难也不会因为愿景宏大而自动消失，但正是在这一持续逼近的过程中，量子芯片才逐渐显露出其真正价值：它不仅是下一代计算硬件的候选形式，更是人类重新定义可计算世界边界的一次深刻尝试。

参考文献

[1] Richard P. Feynman. Simulating physics with computers. International Journal of Theoretical Physics, 1982.[2] David Deutsch. Quantum theory, the Church-Turing principle and the universal quantum computer. Proceedings of the Royal Society A, 1985.[3] Peter W. Shor. Algorithms for quantum computation: discrete logarithms and factoring. Proceedings of the 35th Annual Symposium on Foundations of Computer Science, 1994.[4] Lov K. Grover. A fast quantum mechanical algorithm for database search. Proceedings of the 28th Annual ACM Symposium on Theory of Computing, 1996.[5] A. M. Steane. Error correcting codes in quantum theory. Physical Review Letters, 1996.[6] Peter W. Shor. Scheme for reducing decoherence in quantum computer memory. Physical Review A, 1995.[7] A. Yu. Kitaev. Quantum computations: algorithms and error correction. Russian Mathematical Surveys, 1997.[8] A. Yu. Kitaev. Fault-tolerant quantum computation by anyons. Annals of Physics, 2003.[9] Daniel Gottesman. Theory of fault-tolerant quantum computation. Physical Review A, 1998.[10] David P. DiVincenzo. The physical implementation of quantum computation. Fortschritte der Physik, 2000.[11] Michael A. Nielsen, Isaac L. Chuang. Quantum Computation and Quantum Information. Cambridge University Press, 2000.[12] Emanuel Knill, Raymond Laflamme. Resilient quantum computation. Science, 1996.[13] A. G. Fowler, Matteo Mariantoni, John M. Martinis, Andrew N. Cleland. Surface codes: towards practical large-scale quantum computation. Physical Review A, 2012.[14] John Preskill. Quantum computing in the NISQ era and beyond. Quantum, 2018.[15] Frank Arute, Kunal Arya, Ryan Babbush, et al. Quantum supremacy using a programmable superconducting processor. Nature, 2019.[16] Jerry M. Chow, Jay M. Gambetta, Antonio D. Córcoles, et al. Randomized benchmarking and process tomography for gate errors in a solid-state qubit. Physical Review Letters, 2009.[17] Lev S. Bishop, E. Ginossar, S. M. Girvin. Response of the strongly driven Jaynes-Cummings oscillator. Physical Review Letters, 2010.[18] Alexandre Blais, Ren-Shou Huang, Andreas Wallraff, S. M. Girvin, R. J. Schoelkopf. Cavity quantum electrodynamics for superconducting electrical circuits: an architecture for quantum computation. Physical Review A, 2004.[19] J. Koch, Terri M. Yu, Jay Gambetta, et al. Charge-insensitive qubit design derived from the Cooper pair box. Physical Review A, 2007.[20] M. H. Devoret, R. J. Schoelkopf. Superconducting circuits for quantum information: an outlook. Science, 2013.[21] J. M. Martinis, M. Ansmann, J. Aumentado. Energy decay in superconducting Josephson-junction qubits from nonequilibrium quasiparticle excitations. Physical Review Letters, 2009.[22] Christopher Neill, Pedram Roushan, Kunal Kechedzhi, et al. A blueprint for demonstrating quantum supremacy with superconducting qubits. Science, 2018.[23] Chad Rigetti, Michel Devoret. Fully microwave-tunable universal gates in superconducting qubits with linear couplings and fixed transition frequencies. Physical Review B, 2010.[24] Christopher Monroe, Jungsang Kim.

Scaling the ion trap quantum processor. Science, 2013.[25] Colin D. Bruzewicz, John Chiaverini, Robert McConnell, Jeremy M. Sage. Trapped-ion quantum computing: progress and challenges. Applied Physics Reviews, 2019.[26] D. Leibfried, R. Blatt, C. Monroe, D. Wineland. Quantum dynamics of single trapped ions. Reviews of Modern Physics, 2003.[27] H. Bernien, S. Schwartz, A. Keesling, et al. Probing many-body dynamics on a 51-atom quantum simulator. Nature, 2017.[28] M. Saffman, T. G. Walker, K. Mølmer. Quantum information with Rydberg atoms. Reviews of Modern Physics, 2010.[29] D. Jaksch, J. I. Cirac, P. Zoller, S. L. Rolston, R. Côté, M. D. Lukin. Fast quantum gates for neutral atoms. Physical Review Letters, 2000.[30] Hannes Bernien, Sylvain Schwartz, Alexander Keesling, et al. Nature, 2017.[31] Menno Veldhorst, C. H. Yang, J. C. C. Hwang, et al. A two-qubit logic gate in silicon. Nature, 2015.[32] Lieven M. K. Vandersypen, H. Bluhm, J. S. Clarke, et al. Interfacing spin qubits in quantum dots and donors—hot, dense, and coherent. npj Quantum Information, 2017.[33] F. A. Zwanenburg, A. S. Dzurak, A. Morello, et al. Silicon quantum electronics. Reviews of Modern Physics, 2013.[34] Jeremy L. O'Brien, Akira Furusawa, Jelena Vückovic. Photonic quantum technologies. Nature Photonics, 2009.[35] Hui Wang, Jian Qin, Xing Ding, et al. Boson sampling with 20 input photons and a 60-mode interferometer in a 10^14-dimensional Hilbert space. Physical Review Letters, 2019.[36] Han-Sen Zhong, Hui Wang, Li-Chao Peng, et al. Quantum computational advantage using photons. Science, 2020.[37] V. Mourik, K. Zuo, S. M. Frolov, S. R. Plissard, E. P. A. M. Bakkers, L. P. Kouwenhoven. Signatures of Majorana fermions in hybrid superconductor-semiconductor nanowire devices. Science, 2012.[38] Sergey Bravyi, Alexei Kitaev. Quantum codes on a lattice with boundary. arXiv preprint quant-ph/9811052, 1998.[39] Daniel Gottesman, Alexei Kitaev, John Preskill. Encoding a qubit in an oscillator. Physical Review A, 2001.[40] Zaki Leghtas, Gerhard Kirchmair, Brian Vlastakis, et al. Hardware-efficient autonomous quantum memory protection. Physical Review Letters, 2013.[41] N. H. Nickerson, Y. Li, S. C. Benjamin. Topological quantum computing with a very noisy network and local error rates approaching one percent. Nature Communications, 2013.[42] Nikolaus P. Breuckmann, Jens N. Eberhardt. Quantum low-density parity-check codes. PRX Quantum, 2021.[43] David C. McKay, Sarah Sheldon, John Smolin, Jerry M. Chow, Jay M. Gambetta. Three-qubit randomized benchmarking. Physical Review Letters, 2019.[44] Andrew W. Cross, Lev S. Bishop, Sarah Sheldon, Paul D. Nation, Jay M. Gambetta. Validating quantum computers using randomized model circuits. Physical Review A, 2019.[45] Easwar Magesan, Jay M. Gambetta, Joseph Emerson. Characterizing quantum gates via randomized benchmarking. Physical Review A, 2011.[46] National Institute of Standards and Technology. Announcing four candidates to be standardized from the NIST Post-Quantum Cryptography project. NIST, 2022.[47] National Institute of Standards and Technology. Transition to post-quantum cryptography standards. NIST, 2024.[48] OpenQASM Contributors. OpenQASM 3: A broader and deeper quantum assembly language. ACM Transactions on Quantum Computing, 2022.[49] Robin Harper, Steven T. Flammia. Fault-tolerant logical gates in the IBM Quantum

Experience. PRX Quantum, 2022.[50] Yasunobu Nakamura, Yu. A. Pashkin, J. S. Tsai. Coherent control of macroscopic quantum states in a single-Cooper-pair box. Nature, 1999.

[51] G. J. Dolan. Offset masks for lift-off photoprocessing. Applied Physics Letters, 1977.

[52] V. Ambegaokar, A. Baratoff. Tunneling between superconductors. Physical Review Letters, 1963.

[53] A. P. M. Place, L. V. H. Rodgers, P. Mundada, et al. New material platform for superconducting transmon qubits with coherence times exceeding 0.3 milliseconds. Nature Communications, 2021.

[54] C. Müller, J. H. Cole, J. Lisenfeld. Towards understanding two-level-systems in amorphous solids: insights from quantum circuits. Reports on Progress in Physics, 2019.

[55] J. M. Kreikebaum, K. P. O'Brien, A. Morvan, I. Siddiqi. Improving wafer-scale Josephson junction resistance variation in superconducting quantum coherent circuits. Superconductor Science and Technology, 2020.

[56] W. Woods, G. Calusine, A. Melville, et al. Determining interface dielectric losses in superconducting coplanar-waveguide resonators. Physical Review Applied, 2019.

附录

附录A 量子芯片关键术语表

- **量子比特（Qubit）**： 量子计算中的基本信息单元，可处于|0⟩与|1⟩的叠加态，其物理实现可以是超导电路、离子、光子、自旋或中性原子。与经典比特只取二值不同，量子比特的可操控叠加与纠缠决定了量子芯片的计算潜力。
- **叠加（Superposition）**：指量子态能够同时以复振幅形式包含多个基态分量，是量子并行性的数学基础。其可用性并不取决于“同时存在多少状态”的直观表述，而取决于是否能通过干涉将有用振幅放大。
- **纠缠（Entanglement）**：多个量子比特之间形成不可分解的关联态，对单比特局域描述不再充分。高质量纠缠不仅是量子优势的重要来源，更是纠错编码、量子模拟与多体算法的核心资源。
- **量子门（Quantum Gate）**：对量子态实施受控幺正变换的基本操作，包括单比特旋转门与双比特纠缠门。量子芯片的可编程性并非只看门集是否完备，更取决于门时间、误差模型和并行调度能力。
- **门保真度（Gate Fidelity）**： 描述实际量子门与理想量子门接近程度的指标，通常通过随机基准测试、交叉熵基准或层析等方法估计。工程上更关注其在长时运行、串扰环境和多比特并发条件下是否保持稳定。
- **读出保真度（Readout Fidelity）**：指测量结果正确反映量子态的概率，直接影响误差校正、反馈控制与实验结论可信度。对于超导平台而言，读出链路的放大噪声、阈值漂移和态准备偏差都会显著改变该指标。
- **相干时间（Coherence Time）**：量子信息在噪声环境中保持可用的时间尺度，通常以能量弛豫时间T1和退相位时间T2表征。相干时间并非孤立参数，它必须与门时长、热激发和控制误差结合起来评估有效计算深度。
- **T1弛豫时间（Energy Relaxation Time, T1）**：激发态向基态自发衰减的特征时间，反映系统与环境能量交换强度。T1过短会直接压缩可执行门层数，并放大量子纠错所需的时空开销。
- **T2退相位时间（Dephasing Time, T2）**：量子态相位信息丢失的特征时间，体现频率漂移、低频噪声和控制不稳定等因素。实际系统常见T2小于2T1，说明退相位并非只来自能量耗散，还包括显著的纯退相位贡献。
- **退相干（Decoherence）**： 量子系统因与环境耦合而丢失相位关系与纯态特征的过程，是量子芯片从物理可行走向工程可用时必须长期对抗的主导限制之一。其治理不能仅靠材料优化，更要求控制、封装、屏蔽和校准协同推进。
- **量子噪声（Quantum Noise）**：广义上指影响量子态演化与测量结果的随机扰动，包括弛豫、退相位、泄漏、串扰和测量反作用等。不同噪声具有不同频谱结构和相关长度，因此系统设计必须从“平均误差”转向“可建模误差”。

- **串扰（Crosstalk）**： 一个量子比特或控制线上的操作意外影响邻近器件或通道的现象，可表现为频移、残余耦合、测量污染或门误差放大。随着芯片规模扩大，串扰往往不再是局部缺陷，而成为限制并行度和编译效率的系统性瓶颈。
- **泄漏（Leakage）**：量子态逸出计算子空间而进入更高能级或非编码子空间的错误类型，在弱非简谐超导比特和多能级体系中尤为关键。泄漏的危害不仅在于单次错误，更在于其可跨周期持续存在并污染后续纠错过程。
- **量子线路深度（Circuit Depth）**：指量子线路在时间上串行堆叠的门层数，是衡量算法是否能在有限噪声预算内完成的重要尺度。对NISQ设备而言，深度限制往往比量子比特总数更早成为实际性能上限。
- **量子体积（Quantum Volume）**：IBM提出的综合系统指标，同时考察量子比特数、门误差、连接图与编译能力。它的重要性在于提醒业界，芯片价值并非由标称比特数线性决定，而是由可执行的有效随机模型线路规模决定。
- **CLOPS**: Circuit Layer Operations Per Second 的缩写，用于衡量量子处理器配合控制系统完成层级线路执行的吞吐能力。该指标将芯片、电子学、软件栈与实验自动化纳入统一视角，更贴近云端量子服务的工程表现。
- **交叉熵基准（Cross-Entropy Benchmarking, XEB）**：一类通过比较实验输出分布与理想分布相似度来评估量子线路性能的方法，在随机电路取样任务中应用广泛。它适于刻画特定复杂线路的整体执行质量，但不能简单替代通用纠错阈值分析。
- **随机基准测试（Randomized Benchmarking）**：通过随机Clifford门序列衰减曲线估计平均门误差的方法，能够较好抑制态制备与测量误差的影响。其优势在于稳健和可扩展，但对相干误差、泄漏和上下文相关误差仍需配合其他诊断手段。
- **量子非破坏测量（Quantum Non-Demolition, QND）**：在理想情况下，重复测量不会改变被测可观测量本征值的测量方式。QND能力对于稳定读出、反馈控制和重复综合子测量至关重要，是容错架构中不可或缺的基础条件。
- **Rabi振荡（Rabi Oscillation）**：两能级系统在谐振驱动下发生的周期性布居振荡，是校准脉冲幅度、频率和门时间的基本实验手段。Rabi实验虽属入门测量，却直接连接控制精度、漂移监测与自动标定流程。
- **Ramsey干涉（Ramsey Interference）**：通过两次π/2脉冲和自由演化区间测量相位积累，用于提取失谐和退相位信息。它不仅用于估计T2*，更常作为频率跟踪和噪声谱诊断的重要工具。
- **Josephson结（Josephson Junction）**： 由两层超导体夹一薄绝缘层形成的非线性无耗散元件，是超导量子比特实现非简谐能级结构的核心。没有Josephson结，超导电路更接近线性谐振器，难以构建可寻址的量子二能级系统。
- **Transmon比特（Transmon）**：一类通过增大约瑟夫森能与充电能比值来抑制电荷噪声敏感性的超导比特设计。其成功并不意味着问题已经解决，而是将主导误差从电荷噪声转移到材料损耗、辐射损耗和串扰管理等更复杂工程问题。

- **cQED（Circuit Quantum Electrodynamics）**：电路量子电动力学，研究超导量子比特与微波谐振腔之间相互作用的框架。它不仅提供读出与耦合机制，更构成现代超导量子处理器控制与测量体系的理论与工程基础。
- **离子阱量子比特（Trapped-Ion Qubit）**：以单个或多个受电磁场束缚的离子内部能级作为量子比特，具有高保真门和天然一致性优势。其扩展路径更多受制于光学系统复杂度、门速度和大规模模块互连，而非单器件品质不足。
- **中性原子量子比特（Neutral-Atom Qubit）**：通过光镊阵列捕获中性原子并利用里德伯激发实现相互作用的量子比特平台。该路线在二维阵列可重构性方面极具吸引力，但高保真并行控制与误差校正仍处于快速演进阶段。
- **自旋量子比特（Spin Qubit）**：以半导体量子点或施主中的电子/核自旋作为信息载体的量子比特，兼具CMOS兼容潜力与高密度集成前景。其挑战在于材料均匀性、读出复杂度以及大规模低温控制互连的系统设计。
- **光量子芯片（Photonic Quantum Chip）**：以波导、干涉器、相位调制器和单光子器件构成的集成平台，用于实现量子通信、采样和光学量子信息处理。光平台在室温传输与网络互联方面具有天然优势，但确定性双光子门与高效率纠错仍具显著难度。
- **拓扑量子计算（Topological Quantum Computing）**：依赖拓扑保护激发态或非阿贝尔任意子的编码与编织来提升容错性的计算范式。其吸引力在于从物理层降低误差敏感性，但相关物理证据、器件一致性和可扩展控制仍在持续验证中。
- **表面码（Surface Code）**：一类定义在二维局域相互作用格点上的稳定子量子纠错码，因其较高容错阈值与平面可实现性而被广泛视为主流工程路线。表面码的代价在于物理比特开销巨大，因此系统优化必须同时压低门误差和控制开销。
- **逻辑比特（Logical Qubit）**：由多个物理量子比特通过纠错编码构成的有效量子比特，用于在噪声存在时更稳定地存储和处理量子信息。逻辑比特的价值不在名义定义，而在于其逻辑错误率确实低于组成它的物理比特错误率。
- **稳定子测量（Stabilizer Measurement）**：对纠错码中一组对易算符进行重复测量，以检测错误综合子而不直接坍缩逻辑信息。稳定子测量的时序、读出延迟和解码反馈闭环决定了纠错是否能够从理论方案变成持续运行的系统能力。
- **魔态蒸馏（Magic State Distillation）**：为实现非Clifford容错门而对高噪声辅助态进行纯化提炼的过程，通常是容错量子计算资源开销的主要来源之一。其重要性表明，真正困难的并非只把逻辑比特做出来，更是以可承受成本执行通用算法。
- **格点手术（Lattice Surgery）**：在表面码等拓扑码中通过合并和分裂逻辑补片来实现逻辑操作的方法。它减少了对长程耦合的依赖，更适合二维芯片布局，但对调度、同步和空闲错误管理提出了严格要求。
- **阈值定理（Threshold Theorem）**：指只要物理错误率低于某一阈值并满足一定局域性与独立性假设，原则上可通过纠错实现任意长计算。它给出的是可扩展性的存在性证明，而不是工程上自动成立的成本保证。

- **NISQ（Noisy Intermediate-Scale Quantum）**：指尚未实现全面容错、但已具备数十到数百量子比特操控能力的噪声中等规模量子设备阶段。NISQ并非终点，而是算法探索、噪声表征和系统共设计的过渡窗口。
- **FTQC（Fault-Tolerant Quantum Computing）**：容错量子计算，指通过编码、纠错、容错门与反馈控制，使大型量子算法在噪声环境下可靠运行的体系。其实现需要物理、架构、控制、软件和制造五个层面协同成熟，而不能仅凭单一平台局部指标领先。
- **稀释制冷机（Dilution Refrigerator）**：为超导量子芯片提供毫开尔文级低温环境的关键低温设备，用于压制热噪声并维持超导态与量子相干。随着比特数上升，制冷机不再只是实验室配套，而成为决定布线密度、热负载和系统可维护性的核心基础设施。

附录B 量子芯片发展时间线

- **1981**：Richard Feynman在MIT关于物理模拟的讨论中明确提出，用量子系统模拟量子系统可能更为自然，奠定量子计算问题意识的早期框架。
- **1982**: Feynman发表《Simulating physics with computers》，系统阐述经典计算机模拟量子物理的困难，成为量子计算思想史上的代表性起点。
- **1985**: David Deutsch提出通用量子图灵机模型，使量子计算从物理直觉上升为可形式化的计算理论对象。
- **1994**：Peter Shor提出整数分解与离散对数量子算法，直接改变学界对量子计算实际价值的判断，并推动密码学界重新评估公钥体系安全性。
- **1995**：Shor与Steane等人相继提出量子纠错框架，表明噪声并非不可逾越障碍，而是可以被编码和纠正的工程问题。
- **1996**：Grover提出平方加速的无结构搜索算法，显示量子优势并不局限于数论问题，而具有更广泛的算法学意义。
- **1997**：DiVincenzo逐步形成后被广泛引用的量子计算物理实现判据，明确提出初始化、操控、读出与可扩展结构等基本要求。
- **1998**：Kitaev、Bravyi等工作推动拓扑纠错与晶格编码思想成熟，二维局域纠错架构开始显现工程吸引力。
- **1999**：Nakamura等人实现单Cooper对盒中的相干控制，超导量子比特从概念验证迈向可观测量子动力学。
- **2000**：DiVincenzo正式发表量子计算物理实现综述，物理平台竞争从分散探索转向按统一判据比较。
- **2001**：Gottesman、Kitaev、Preskill提出GKP编码，将振荡器自由度纳入纠错逻辑，为连续变量与离散变量纠错融合开辟路径。
- **2003**：Leibfried等人系统总结单离子量子动力学，离子阱路线在高保真操控与实验可重复性方面建立方法学优势。

- **2004**: Blais、Wallraff、Schoelkopf等建立cQED框架，超导比特与微波腔耦合的控制和读出体系获得统一理论基础。
- **2007**: Koch等提出transmon设计，大幅降低电荷噪声敏感性，超导路线由此进入器件工程快速迭代阶段。
- **2010**: Saffman、Walker、Mølmer综述里德伯中性原子量子信息处理，显示可重构原子阵列成为重要扩展候选。
- **2012**: Fowler等发表表面码工程综述，明确其高阈值与二维局域实现优势；同年Mourik等报道Majorana相关实验信号，引发拓扑量子计算广泛关注。
- **2013**: Devoret与Schoelkopf总结超导电路量子信息前景；Monroe与Kim讨论离子阱可扩展路线，平台竞争从“能否做”转向“如何做大”。
- **2015**: Veldhorst等实现硅中双比特逻辑门，表明半导体自旋路线已从单器件可控迈向基本量子处理单元。
- **2017**: Bernien等在51原子系统上演示多体动力学模拟，中性原子平台展示出大规模可重构阵列优势。
- **2018**: Preskill正式提出并阐释NISQ时代概念，学界开始区分近期噪声设备应用与长期容错量子计算目标。
- **2019**: Google团队在Nature 574发表随机电路取样结果，量子优越性之争进入可实验比较的新阶段；IBM同年系统化提出量子体积作为综合性能指标。
- **2020**: 中国团队发表“九章”光量子玻色采样结果，光量子路线在特定采样任务上展示高规模演示能力。
- **2021**: qLDPC等新型高效纠错码研究显著升温，学界寻求降低逻辑比特开销而非仅依赖传统表面码扩张。
- **2022**: NIST公布首批后量子密码标准化候选结果，量子计算发展首次在全球密码迁移政策层面形成明确外溢影响。
- **2023**: 多家机构相继展示逻辑比特错误抑制、重复综合子测量和早期容错门实验，量子芯片评估开始更多转向“逻辑层收益”而非单纯物理比特数量。
- **2024**: NIST推进PQC标准与迁移指南，产业界对“先迁移经典安全、再等待通用量子机”的治理节奏形成更清晰共识。
- **2025**: 国际主流路线继续围绕超导、离子阱、中性原子、自旋和光量子推进工艺、纠错与系统集成，公开竞争焦点进一步集中到逻辑量子比特与稳定运行时长。
- **2026**: 量子芯片领域总体处于从物理可演示向系统可评价过渡阶段，研究重点不仅是扩展规模，更是建立跨平台可比、可复现、可审计的工程指标体系。

附录C 主要研究力量与公开资源

当前量子芯片研究力量大体可以分为企业主导型、国家实验室型、大学联合体型和开源生态型四类，其合作关系并非简单竞争，而是围绕材料、器件、控制、软件和应用验证构成多层共演化结

构。国际大厂中，IBM、Google、Microsoft、Intel、Amazon与Quantinuum等持续投入超导、离子阱、拓扑、自旋与云服务路线；初创公司如IonQ、Rigetti、PsiQuantum、QuEra、Pasqal、Alice & Bob等则往往聚焦特定物理平台或误差抑制策略。对这些主体的观察不应停留在发布会口径，而应回到其是否持续公开器件指标、误差模型、编译接口和复现实验结果。

主要研究机构方面，美国有NIST、MIT、Caltech、UCSB、University of Maryland、Yale、Stanford、Princeton、Argonne等长期处于前沿；欧洲有Oxford、ETH Zurich、TU Delft、CEA、INRIA、Max Planck体系与QuTech等；加拿大、澳大利亚、日本与新加坡也分别在超导、硅自旋、离子阱、中性原子和量子网络方向形成特色布局。中国范围内，中国科学技术大学、清华大学、北京大学、中国科学院相关研究所、浙江大学、上海交通大学等在超导、光量子、离子阱和量子通信交叉方向均有持续成果。需要指出的是，量子芯片并不是单一学科竞赛，真正决定进展的往往是材料科学、低温工程、微波电子学、算法编译和实验自动化的协同深度。

开源框架是公共知识扩散与技术验证的重要桥梁。Qiskit提供较完整的量子线路构建、后端接入、噪声模拟和教学资源，长期承担了超导云平台用户入口的角色；Cirq更强调量子线路描述、实验控制抽象与随机电路研究场景；PennyLane则突出量子机器学习与可微编程接口，使经典优化与量子节点组合更加自然。除此之外，OpenQASM、tket、Q#、ProjectQ、QuTiP、Stim、PyMatching、QEC Playgrounds等工具分别覆盖指令描述、编译优化、仿真分析和纠错研究等不同层面，其公共价值在于降低跨平台比较门槛，而不是替代真实硬件验证。

公开学习资源方面，可以优先关注Nielsen与Chuang教材、Preskill课程讲义、MIT与Caltech公开课、IBM Quantum Learning、Microsoft Quantum documentation、NIST与ETSI的标准与报告、各大学量子信息课程录像，以及Nature、PRX Quantum、Quantum、Physical Review系列期刊的综述文章。对研究生与工程团队而言，更有效的学习路径不是孤立阅读单篇热点论文，而是围绕“理论模型—实验实现—误差诊断—系统指标—应用边界”建立闭环式阅读框架。只有在统一术语、统一评价口径和统一复现实验条件的前提下，公开资源才可能真正转化为产业能力与研究积累。

附录D 量子技术治理与出口管制概览

量子技术治理已经从单纯的科研资助议题，逐步演变为国家安全、供应链韧性、密码迁移和高端仪器管制的复合政策议题。其核心并不在于“是否限制量子研究”，而在于如何在开放科学、产业竞争与安全防护之间建立可执行边界。对于量子芯片而言，真正受治理影响的对象往往不是抽象算法本身，而是低温设备、高频电子学、专用材料、先进制造能力、密码基础设施以及高性能计算支撑环境。

瓦森纳安排并未以单一“量子计算”名目覆盖全部活动，但其关于两用物项、先进电子、测量设备、高性能器件和特定材料的控制框架，会间接影响量子芯片研发链条中的关键环节。美国、欧盟、英国、日本、中国、加拿大、澳大利亚、新加坡等主要经济体近年来均发布或更新了量子科技战略文件，内容通常涵盖基础研究、人才培养、产业转化、标准体系、国家测试平台和安全应用。不同政策文本的措辞与重点虽有差异，但共同趋势是将量子纳入长期战略竞争领域，同时强调密码基础设施升级、关键器件自主可控与国际科研合作规则。

在密码治理层面，NIST后量子密码标准化进程已成为全球迁移的事实参照系。其意义并不仅在于给出算法名单，更在于迫使政府和企业将“量子威胁”具体化为资产盘点、协议替换、证书更新、混合部署、密钥生命周期重构和长期数据保密策略。欧美多份迁移指南已明确提出“先评估、再分级、后迁移”的路线，即便通用容错量子计算尚未落地，涉及十年以上保密需求的数据也必须提前考虑“先窃取后解密”风险。对量子芯片产业而言，这意味着其外部影响将越来越多通过安全政策与合规市场释放，而不只通过计算性能宣传体现。

出口管制方面，现实操作通常表现为对高端制冷设备、射频与微波测控链、电子束与薄膜制程设备、超纯材料、特种激光和EDA/仿真能力的限制与许可管理。研究机构与企业因此需要建立更细致的合规识别机制，例如区分基础研究公开交流、受限硬件流转、跨境实验协作、云平台访问权限和数据出境规范。量子技术治理的长期走向很可能不是全面封闭，而是在关键部件、关键软件与关键基础设施上形成“有限开放、重点审查、动态更新”的制度格局，这一点对于任何量子芯片技术路线都已构成外部约束条件。

附录E 量子芯片评估框架

量子芯片评估必须从单一器件指标转向分层指标体系，因为物理层优秀并不自动推导出系统层可用，系统层吞吐提升也未必带来应用层真实收益。较合理的框架至少应区分物理层、器件互连层、系统层、逻辑层和应用层，并在每一层同时记录“最好值”“中位值”“稳定性”“复现条件”和“测试方法”。其关系并非线性叠加，而是存在明显木桶效应：例如高T1如果伴随严重串扰与读出拥塞，最终算法表现仍可能不及规模更小但调度更稳的系统。

物理层指标应包括T1、T2、单比特门保真度、双比特门保真度、读出保真度、泄漏率、频率拥挤度、热激发率与封装引入损耗等；系统层则应加入连接图、可并行门层数、校准漂移周期、任务排队延迟、量子体积、CLOPS、XEB表现和有效占空比。进入逻辑与应用层后，重点需要转向逻辑错误率、综合子提取成功率、解码时延、逻辑门实现代价、算法成功概率、应用基准收益和跨日稳定性。只有把这些指标放入同一评估表，才能避免“单指标领先即全面领先”的误判。

建议在报告或项目验收中使用如下Markdown评估表，对不同平台或同平台不同版本进行并列记录：

评估层级	核心指标	典型量纲/口径	关注要点	备注
物理层	T1 / T2	微秒到毫秒量级	是否为批量统计而非单点最佳值	需注明温度与测量方法
物理层	单/双比特门保真度	1-误差率	是否区分RB、XEB、层析口径	关注漂移与上下文相关误差
物理层	读出保真度 / 泄漏率	概率	是否给出重复测量与复位性能	影响纠错闭环
器件层	连接图 / 耦合方式	拓扑结构	是否支持局域高并行	决定编译开销
系统层	量子体积	无量纲	是否包含真实编译与噪声约束	适合综合对比
系统层	CLOPS	层每秒	是否含经典控制与队列延迟	反映云服务吞吐
系统层	XEB / 随机线路成功率	分数或保真度	是否覆盖足够深度与宽度	适合复杂线路评估
逻辑层	逻辑错误率	每轮/每门错误概率	是否低于物理错误率	是迈向容错的关键标志
逻辑层	解码时延	微秒到毫秒	是否能闭环实时反馈	决定纠错可持续性
应用层	算法基准	成功率/能量/采样质量	是否优于经典启发式或达到目标精度	避免只做演示型任务
应用层	跨日稳定性	天/周	是否可复现输出与指标	体现工程成熟度

附录F 多层次研究问题清单

物理层开放问题

1. 如何在不显著增加控制复杂度的前提下继续提升超导与自旋平台的相干时间，并分离材料损耗、表面缺陷、辐射损耗和封装寄生效应的相对贡献？2. 对于多平台共存的未来格局，是否能够建立统一且可操作的噪声谱表征标准，使不同实验室公布的数据具备真正可比性？3. 高保真测量是否可以在更低反作用、更短延迟与更高并行度之间取得新的平衡，而不是长期受限于单一读出链路架构？4. 如何稳定抑制热激发、准粒子、磁通噪声和激光散射等平台特异性噪声源，并把瞬态异常纳入实时监控而非离线事后解释？5. 非马尔可夫噪声、长相关时间噪声与漂移噪声对容错阈值的真实影响有多大，现有近似模型在哪些条件下会系统性失真？6. 对于拓扑相关器件，哪些实验信号能够在统计上更可靠地区分平庸效应与真正可用于计算的受保护态？

器件层开放问题

1. 大规模二维量子芯片中，布线密度、热负载、屏蔽需求与可维护性之间如何形成可工业化的折中方案？2. Josephson结、量子点势垒、离子阱电极和光子波导等关键器件的批间一致性应如何

量化，才能支撑规模制造而非仅支撑少量精品样品？3. 封装、互连和三维集成是否会成为下一阶段比特扩展的主瓶颈，若是，其突破口更偏向材料、工艺还是架构改写？4. 如何降低控制电子学与芯片本体之间的接口损耗和串扰，使系统扩展不再以指数式增加校准难度为代价？5. 中性原子与光量子平台在可重构阵列和片上集成方面能否形成稳定制造流程，而不只是实验室级精密装调？6. 器件寿命、失效率与现场可修复性应如何纳入量子芯片工程评价，避免研究样机与可运营系统之间出现认知断层？

系统层开放问题

1. 在上百到上千量子比特规模下，自动校准系统如何从周期性维护转向连续在线自愈，并避免校准本身占满系统有效运行时间？2. 编译器是否能够显式感知硬件上下文相关误差、串扰窗口和暂态漂移，从而实现真正面向噪声的动态映射与调度？3. 实时控制、测量电子学和解码器之间的闭环延迟应压缩到什么量级，才能支撑稳定重复的综合子提取与反馈纠错？4. 云量子服务中的队列、作业切换、资源隔离和用户程序沙箱机制，会在多大程度上影响对底层芯片真实性能的判断？5. 跨模块、跨腔体或跨处理器互连如何实现高保真、可同步且可扩展的量子通信，以支撑分布式量子架构？6. 除量子体积与CLOPS之外，是否需要新一代系统指标来反映逻辑层可用性、运维稳定性和多租户吞吐表现？

应用层开放问题

1. 在NISQ条件下，哪些问题能够证明稳定且可重复的应用收益，而不是依赖过强问题剪裁、后处理补偿或选择性报告？2. 量子化学、组合优化、机器学习和采样任务中，怎样建立被行业接受的统一基准，避免平台方各自选择最有利案例？3. 当逻辑量子比特逐步出现后，哪些算法最先进入“成本虽高但价值明确”的阶段，资源估算应如何动态修正？4. 如何把算法成功率、能耗、总墙钟时间和经典前后处理成本放在同一评价面上，形成对实际用户有意义的指标？5. 混合量子经典工作流中的数据搬移、参数优化和误差缓解是否会抵消量子子程序收益，哪些场景最容易发生这种反转？6. 面向密码分析、材料设计和控制优化等高敏感领域，应用验证应如何兼顾学术公开与安全约束？

生态层开放问题

1. 国际标准组织能否形成跨平台通用的术语、测量流程与报告模板，以降低量子芯片评估中的口径碎片化问题？2. 后量子密码迁移节奏应如何与量子硬件真实进展相匹配，既避免过度恐慌，也避免因迟缓而暴露长期数据风险？3. 开源软件栈如何在保持开放创新的同时提升可验证性、长期维护性与对工业硬件的适配深度？4. 量子人才培养应如何打破“只懂理论”或“只会调机”的分裂，建立覆盖材料、器件、控制、软件和安全治理的复合训练路径？5. 政府资助、企业研发和学术发表之间应如何平衡短期里程碑压力与长期基础问题投入，避免指标驱动扭曲研究方向？6. 在出口管制、科研合作审查和供应链重组背景下，国际量子合作将形成怎样的新型网络结构，其对知识扩散效率有何影响？

致谢

本报告撰写过程中，笔者西楚霸王首先感谢量子信息学界数十年来持续公开的理论论文、实验数据、课程讲义与综述著作。正是这些可以被反复核验的公共文献，使量子芯片这一高度交叉且快速演进的领域，仍能够在纷繁叙事之外保持基本的学术坐标与技术尺度。笔者同时感谢开源软件社区、实验平台维护者与标准研究组织，他们通过代码、文档、接口与测试工具的长期积累，使研究者得以在共享方法论的基础上展开比较、复现与批判。最后，谨向本报告的审读者与提出修订意见的同行致谢，诸位对术语、史实、指标口径与论证边界的严格把关，实质上提升了文本的可信度与完成度。